

С. ЗАЙНОБИДДИНОВ, Х. АКРАМОВ

ЯРИМЎТКАЗГИЧЛАР ПАРАМЕТРЛАРИНИ АНИҚЛАШ УСУЛЛАРИ

Ўзбекистон Республикаси Олий ва ўрта маҳсус таълим вазирлиги олий ўқув юртларининг яrimўтказгичлар физикаси ва техникаси мутахассислиги бўйича таълим олувчи талабалар учун ўқув қўлланма сифатида тавсия этган.

ТОШКЕНТ “ЎЗБЕКИСТОН” 2001

**Тақризчилар — проф. Р. А. Мўминов, ф.-м. ф.н. доцент
О. С. Сайдхонов
Муҳаррир — Р. С. Тоирова**

Зайнобиддинов С., Акрамов Х.

Яrimўтказгичлар параметрларини аниқлаш усуллари:
Олий ўқув юртларининг талабалари учун ўқув қўлланма.— Т.: “Ўзбекистон”, 2001. — 320 б.

1. Муаллифдош.

Ўқув қўлланма яrimўтказгичли моддаларнинг асосий параметрлари — электр, гальваномагнит, ҳар хил структурали намуналарнинг хусусиятларини аниқлашнинг замонавий усулларини ўрганишга бағишиланган бўлиб, унда 36 хил усулнинг таърифи ва моҳияти келтирилган.

Мазкур китоб Давлат таълим стандартининг бакалавр мутахассислиги Б—010404 “Физика” йўналишига мос келади. У магистратура мутахассислиги М-010404 “Яrimўтказгичлар ва диэлектриклар физикаси” йўналишида таълим олувчи талабаларга, шунингдек университетлар, педагогика ва техника олий ўқув юртларининг яrimўтказгичлар, микроэлектроника, электрон асбоблар ва бошқа соҳалар бўйича ихтисослашаттган талабалар, аспирантлар, шунингдек, шу соҳа ўқитувчилари ва илмий ходимларга мўлжалланган.

ББК 22.379я73

ISBN 5-640-02839-5

**A 1604010000-67
351 (04) 2000 2001**

© “ЎЗБЕКИСТОН” нашриёти, 2001 й.

КИРИШ

Илмий-техникавий ривожланишни яримўтказгичли электроникасиз, хусусан микроэлектроникасиз тасаввур қилиш қийиндир. Замонавий микроэлектроникада яримўтказгичли материаллар ва кўп қатламли структуралардан кенг кўламда фойдаланилади ва улар асосида турли хил яримўтказгичли асбоблар ва микросхемалар тайёрланади. Яримўтказгичли материалларни ишлаб чиқаришнинг ривожланиши уларнинг сифатини лаборатория ва саноат шароитида текширишнинг юқори даражага кўтарилиши билан боғлиқ. Бунда ишлаб чиқариш соҳалари технологик йўқотишлари ва уларнинг ишлаб чиқаришдағи сифатини назорат қилишга кетган моддий харажатларнинг ўлчамлари аниқланади. Шунинг учун саноат корхоналарини юқори аниқликдаги ва юқори ишлаб чиқариш унумига эга воситалар билан жиҳозланган, яримўтказгич материалларнинг сифатини текширувчи янги, илгор усулларни ишлаб чиқиши ва ўзлаштириш яримўтказгич материаллар ва структураларни ишлаб чиқариш иқтисодий самарадорлигининг ўсиши билан бевосита боғлиқдир.

Афсуски яримўтказгичларнинг ҳамма параметрларини ҳам оддий ва қурай бўлган усуллар билан ўлчаш мумкин эмас. Уларнинг кўпчилигини ўлчаш маҳсус физик услубиятни ва мураккаб аппаратураларнинг ишлатилишини талаб қиласи. Шунинг учун яримўтказгичларнинг параметрларини ўлчаш усуллари сўнгги йилларда яримўтказгичлар физикаси ва техникаси бўлимлари билан бир қаторда ривожланиб мустақил йўналиш бўлиб қолмоқда. Яримўтказгичлар физикаси ва яримўтказгичли электроника масалалари ёритилган китобларнинг сони кам эмас,

лекин уларда яримўтказгичларнинг параметрларини ўлчаш ва яримўтказгичли материалларни текшириш усулларига кам эътибор берилган. Умид қиласизки, мазкур кўлланма маълум даражада ўқувчиларнинг яримўтказгичлар физикасининг бу бўлимига бўлган эҳтиёжини қондиради. Кўлланмада яримўтказгич материаллар параметрларини ўлчаш усулининг физик асослари кенг ёритилган. Яримўтказгич параметрларини ўлчашнинг айрим муаммолари яримўтказгич материалларнинг хоссаларини ўрганувчи китобларда кенг ва тўла ёритилганлигини ҳисобга олган ҳолда ўлчаш усусларини ёритишнинг ҳожати бўлмади. Бу китоб ўзбек тилидаги дастлабки китоб бўлиб, у яримўтказгичлар физикаси ва техникаси масалалари билан бевосита шугулланувчи талабаларга мўлжалланган.

Кўлланмада ҳар хил катта ҳажмдаги намуналар, пластинкалар, юпқа қатламлар, ҳар хил турдаги яримўтказгичли структуралар параметрларини ҳамда номувозанат ҳолатидаги заряд ташувчилар параметрларини, яъни заряд ташувчилар яшаш вақтини, диффузион узунликни диффузия коэффициентини, сирт рекомбинация тезлигини ва ниҳоят чуқур сатҳли марказлар параметрларини ўлчаш усуслари ёритилган.

I-БОБ

ЯРИМЎТКАЗГИЧЛАРДА СОЛИШТИРМА ҚАРШИЛИКНИ ЎЛЧАП УСУЛЛАРИ

1.1-§. Яримўтказгичли намунанинг солишири мақомини унинг тўла қаршилиги бўйича аниқлай

Солишири мақоми ρ ни намунанинг тўла қаршилиги бўйича топишда таёқча (стержен) кўринишидаги намуна кўндаланг кесимларига металл контакт олинади. Металл яримўтказгич чегарасида заряд ташувчилар концентрацияси яримўтказгич ҳажмидагидан кичик бўлганда потенциал тўсиқ қатлами ҳосил бўлиши мумкин, шунинг учун бу қатлам намуна қаршилигини оширади. Намунада Ом контакти олинганда қаршилиги катта бўлган қатлам ҳосил бўлмайди. Ҳажм бўйича намунада металл чегарасигача заряд ташувчилар концентрацияси бир хил бўлади ёки заряд ташувчилар билан бойиган (антизапор) қатлам ҳосил бўлади.

Заряд ташувчилар билан бойиган қатламнинг қалинлиги намуна узунлигидан жуда кичик бўлгани учун унинг умумий қаршиликка қўшган ҳиссасини ҳисобга олмаслик мумкин. Токнинг Ом контакти орқали оқиши намунада концентрациянинг ўзгаришига олиб келмайди, яъни **инжекция**, **экстракция**, **эксклюзия** ва **аккумуляция** каби ҳодисалар бўлмайди. Кўрилаётган ҳолатда **контактлардан** оқаётган ток ва намунага тушаётган кучланиш орқали тўла қаршилик топилади:

$$R = \frac{U}{I} = \rho \frac{l}{S} \quad (1.1)$$

Бундан

$$\rho = R \frac{S}{l} = \frac{U}{I} \frac{S}{l} \quad (1.2)$$

келиб чиқади. Бу ерда: R — тўла қаршилик, l — намуна-нинг узунлиги, S — кўндаланг кесими юзаси, U — икки контакт орасидаги кучланиш, I — намунадан ўтаётган ток. Солиштирма қаршиликни намунанинг тўла қаршилиги билан аниқлаш кичик солиштирма қаршиликка ($\rho < 0,01$ Ом · см ва ўртача солиштирма қаршиликка ($0,01 < \rho < 1\,000\,000$ Ом · см) эга бўлган намуналарда ҳеч қандай қийинчилик туғдирмайди.

Юқори Ом ли намуналарда ($\rho > 1\,000\,000$ Ом · см) бу усул билан солиштирма қаршиликни аниқлашда бир қанча ҳодисаларни, яъни сифим токини, намуна қутбланишини, токнинг сирт ўтказувчанлиги бўйича сирқиб оқишини ҳисобга олиш керак. Булар ўлчовни бир мунча қийинлаштиради. Шунинг учун аввал уларнинг тажрибага кўрсатётган таъсири камайтирилиб, сўнгра ўлчанади (I.1-расм).

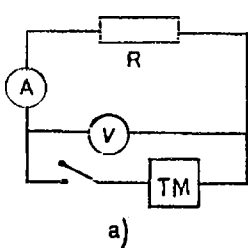
a. Сифим токи. Намуна ички қаршилиги r , бўлган ток манбай ва қаршилиги R , бўлган ток ўлчайдиган асбоб — амперметр (A) кетма-кет уланган, намунадаги кучланишнинг тушувини ўлчаш учун эса вольтметр (V) уланган. $R_V \gg R_A + R$ да V дан оқаётган токни ҳисобга олмаймиз. Ток манбанинг улаш пайтида намунадан оқаётган ток ўтказувчанлик ва силжиш токларининг йифиндисидан иборат бўлади. Шунинг учун мос равишда ток зичлиги:

$$j = \frac{E}{\rho} + \epsilon \epsilon_0 \frac{\partial E}{\partial t}, \quad (1.3)$$

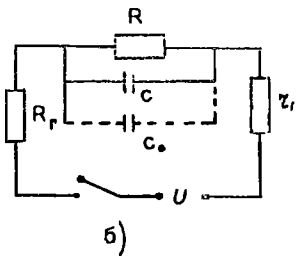
Бу ерда: E — намунадаги электр майдон кучланганлиги, ϵ — намунанинг диэлектрик сингдирувчанлиги, t — вақт. $E = \frac{U}{l}$ бўлишини ҳисобга олиб, (1.3) дан тўла ток ифодасини топамиз:

$$I = \frac{U}{R} + C \frac{dU}{dt}. \quad (1.4)$$

Бу ерда, $C = \frac{\epsilon \epsilon_0 S}{l}$ — намуна сифими (1.1-расм). Силжиш токи намунани эквивалент схемада сифим пайдо бўлишига олиб келади. Бунга параллел уланган монтажлар



a)



б)

1. 1-расм. Намуна тұла қаршилигини ўлчаш схемаси (а) ва унинг эквивалент схемаси (б): А — амперметр, В — вольтметр, К — калит, R — намуна қаршилиги, ТМ — ток манбай, R_f — амперметр қаршилиги, r_f — ток манбаининг ички қаршилиги.

сифими (паразит) C_0 намуна сифимидан анча күп бўлиши мумкин. C_0 ва C зарядлангунча амперметрдан ўтказувчаник токи билан бирга сифимни зарядлаш токи оқади. Амперметрдан оқаётган токни вақтга боғлиқлиги қуйидаги формула билан аниқланади:

$$I(t) = \frac{U_0}{R_A + R + r_f} \left(1 + \frac{R}{R_A + r_f} e^{-R'(C+C_0)} \right) \quad (1.5)$$

$$R' = \left(\frac{1}{R} + \frac{1}{R_A + r_f} \right)^{-1}. \quad (1.6)$$

$t \gg R'(C+C_0)$ да (1.5) формула қуйидаги кўринишга келади

$$I = \frac{U_0}{R_A + R + r_f} = \frac{U}{R}. \quad (1.7)$$

Сифим токи солишишим қаршиликни аниқлашда хатоликка олиб келиши мумкин. (1.5) ва (1.7) формуладан кўринадики, бу билан боғлиқ бўлган хатоликни йўқотиш учун токни $t \gg R'(C_0 + C)$ тенгсизликни қаноатлантируви вақтда ўлчаш керак. Агар намунада қутбланиш ҳодисаси кузатилмаса, бу усул билан ρ ни ўлчаш ҳеч қандай қийинчилик туғдирмайди.

6. Кутбланиш ҳодисалари. Кутбланиш ҳодисалари контактлар орасидаги кучланишнинг тушуви ўзгармас бўлганда ўтказувчанлик токининг ўзгаришига олиб келади. Бу намунада ион дрейфи ҳажмий заряд соҳасида электрон ёки кавак инжекциясининг пайдо бўлиши билан боғлиқдир. Намуналарнинг турига қараб токнинг характерли релаксация вақти τ_p секунднинг улушларидан тортиб, то соатлар, баъзан суткаларгача етиши мумкин. Кутбланишнинг аниқданаётган солиштирма қаршиликка таъсирини камайтириш учун ўлчовни (1.7) ва $t \gg \tau_p$ (1.9) тенгсизликларни қаноатлантирадиган вақтда ўтказиш керак. Бу тенгсизликлар бажарилиши учун

$$R'(C + C_0) \ll \tau_p \quad (1.8)$$

бўлиши керак.

Кутбланиш ҳодисаси мавжуд бўлганда, солиштирма қаршиликни аниқлаш $\nu \ll \frac{1}{\tau_p}$ частотада намунанинг аддитансини (z^{-1}) ўлчаш масаласига келади: z^{-1} актив ва резактив қаршиликларнинг тескари қиймати йифиндиси. Бу ҳолда қутбланиш ҳодисаларининг инерционлиги туфайли, намунадан ток оқишига таъсир кўрсатмайди ва аддитанс қуйидаги кўринишни олади:

$$z^{-1} = \frac{1}{R} + i\omega(C + C_0). \quad (1.9)$$

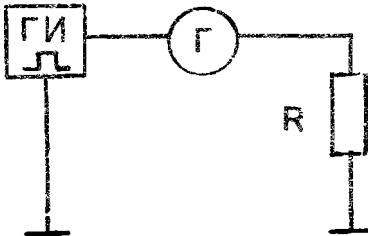
Бу формула R ва $C + C_0$ ни алоҳида топишга имкон беради. Бу ерда: $i = \sqrt{-1}$. z^{-1} ни ўлчашда ўзгарувчан ток кўприклари ишлатилади.

Кутбланиш ҳодисалари мавжуд бўлганда солиштирма қаршиликни ўлчашда импульс ток манбаларидан фойдаланиш ҳам мумкин (1.2-расм). Кутбланиш эффектининг таъсирини йўқотиш учун тўғри бурчакли импульснинг давомийлиги, импульс такрорлангунча бўлган вақт (T)

$$\tau_u \ll \tau_p \ll T$$

тенгсизликни қаноатлантириши керак. 1.2-расмда кўрсатилган схемада гальванометр билан занжирдан оқаётган

1.2-расм. Намуна қаршилигиги туғри бурчаклы импульс кучланиши усули билан ўлчащ схемаси. ГИ — импульслик кучланиш генератори, Г — гальванометр R — намуна қаршилиги.



Ўртача ток ўлчанади. Импульс таъсир қилаётган вақтда намуна сифими ва унга параллел уланган ўтказгичлар монтажи сифими гальванометр орқали зарядланади, импульс тугаши билан улар ўлчанаётган ўртача токка ҳеч қандай ҳисса қўшмайди. Намунадан импульс кучланиши ўтаётганда токнинг ўртача қиймати

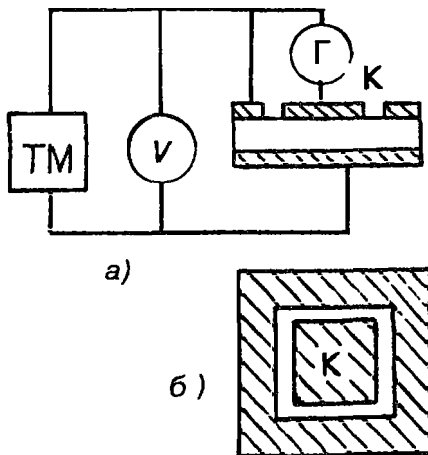
$$\bar{I} = I_u \frac{\tau_p}{T} \quad (1.10)$$

ифода билан топилади. Бу ерда: I_u — импульс кучланиши таъсир этаётган вақтдаги ўтказувчанлик токи. (1.10) формула орқали I_u ни топиб, импульс кучланиши U_u ни билган ҳолда тўла қаршилик $R = U_u/I_u$ ҳисобланади ва (1.2) формула бўйича солиштирма қаршилик аниқланади.

Бу усул билан импульс кучланишининг амплитудаси $U_u = (1 \div 2) \text{ кВ}$, импульснинг давомийлиги $\tau_u \approx 10^{-6} \text{ с}$ $T/\tau_p = 10$ нисбатда бўлган импульс ток манбаидан фойдаланиб, солиштирма қаршиликни $10^{+10} \text{ Ом} \cdot \text{см}$ гача ўлчаш мумкин. Саноатда ишлаб чиқарилган ўзгарувчан ток кўприклари билан солиштирма қаршиликни $10^6 \div 10^7 \text{ Ом} \cdot \text{см}$ гача ўлчаш мумкин.

в. Сиртнинг сирқиши токи. Одатда яримўтказгичли намуналарнинг сиртига яқин соҳасидаги солиштирма қаршилиги ҳажмидагидан фарқ қиласи. Бу сирт соҳасида заряд ташувчиларнинг концентрацияси ҳажмидагидан катта ёки кичик бўлган ҳажмий заряд соҳасининг мавжудлиги билан боғлиқдир. Ҳажмий заряд соҳасида заряд ташувчиларнинг ҳаракатчанлиги кичик. Ҳажмий заряд соҳасининг қалинлиги намуна кўндаланг кесимининг чизиқли ўлчовларининг улушларини ташкил этиб, экранлаш узунлиги тартибида бўлади. Агар бу соҳада концент-

рация ҳажмдагидан катта фарқ қилмаса, сирт соҳасидаги қаршиликнинг ўзгаришини ҳисобга олмаслик мумкин. Агар заряд ташувчилар концентрацияси сирт соҳасида ҳажмдагидан кўп марта ортиқ (юқори Ом ли намуналарда пайдо бўлиш эҳтимоли катта) бўлса, яхши ўтказувчаникка эга бўлган сирт соҳасидан токнинг кўп оқишига, яъни токнинг сирт бўйлаб оқишига олиб келади. Сиртдан оқаётган ток намуна қаршилигини камайтиради ва солиширма қаршиликнинг кичиклашишига олиб келади, шунинг учун ўлчов пайтида сирт бўйлаб оқаётган ток таъсирини йўқотиш керак. Модомики сиртдан ва ҳажмдан оқаётган токлар нисбати намунанинг шаклига, ўлчовига боғлиқ экан, унинг узунлигини камайтириб, кўндаланг кесимини орттириб, сирқиши токининг кичик бўлишига эришиш мумкин. Бундай йўл билан фақат катта намуналарда эришиш мумкин. Сирт сирқиши токининг солиширма қаршиликка таъсирини камайтирувчи бошқа усули ҳам бор бўлиб, бунда намунада бир-биридан (изоляцияланган) ажralган икки контакт олинади, яъни кўндаланг кесимининг четига яқин ҳимоя ҳалқасидан иборат 0-контакт ва марказига туташ К контакт олинади (1.3-расм). Бу контакtlар орасидаги масофа намуна



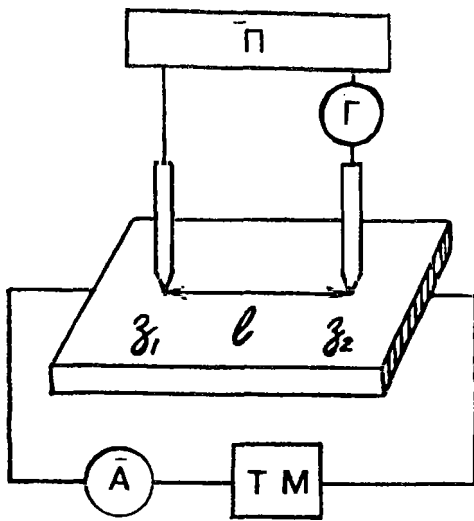
1.3-расм. Солиширма қаршиликни ҳимоя ҳалқаси билан ўлчаш схемаси (а), намуна устки кўндаланг кесимининг кўриниши (б).

узунлигидан жуда кичик. Йккинчи кўндаланг кесим юзи-дан яхлит контакт олиниди. Ток ўлчайдиган асбонинг қаршилиги кичик бўлганда, унга тушаётган кучланиш на-мунага қўйилган кучланишдан жуда кичик бўлади. Шу-нинг учун К контактнинг ҳимоя ҳалқасини эквипотен-циал контактлар деб ҳисоблаш мумкин. Кўрилаётган ҳолда сирт токи фақат ҳимоя ҳалқаси орқали оқади. Марказий контактдан ўтаётган ток у намуна ҳажмидан ўтади ва у Г асбоб билан ўлчанади. Демак, солиштирма қаршиликни ҳимоя ҳалқаси ёрдамида аниқлаш марказий туташ кон-такт юзаси S_k ни ва намуна узунлиги J ни билган ҳолда ток ва кучланишни ўлчаб, (1.2) формула орқали ҳисобла-нади.

1.2-§. Солиштирма қаршиликни ўлчашнинг бир ва икки зондли усуллари

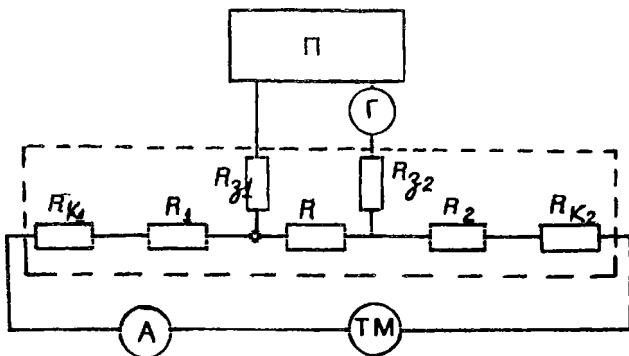
а. Икки зондли усул билан ρ ни аниқлаши.

Солиштирма қаршиликни юқорида кўрилган тўла қар-шилик бўйича аниқлаш усулида Ом kontaktнинг олини-ши кераклигини кўрган эдик. Kontakt қаршиликлари катта бўлганда бу усул солиштирма қаршиликни ҳақиқий қийматига нисбатан орттириб беради. Бу камчиликни зонд усуллари билан ўлчашда йўқотиш мумкин. Солиштирма қаршиликни ўлчашнинг икки зондли усулининг чизмаси 1.4-расмда келтирилган. Унда намунанинг кўндаланг ке-сими юзасига K_1 ва K_2 Ом kontaktлари ўтказилган ва унинг сиртига бир-биридан I масофада бўлган иккита Z_1 ва Z_2 нуқтавий зондлар ўрнатилган. Зондлар сифатида ўткир учли қаттиқ металл (вольфрам, осмий, молибден) симлар ёки қотишмалардан ясалган симлар, карбид, вольфрам ва ВК ишлатилади. Солиштирма қаршиликнинг қиймати куйидагича аниқланади. Намунадан ток манбаи (ТМ) орқали I ток ўтказилади ва у А — амперметр билан ўлча-нади, зондлар орасидаги кучланиш потенциометрда ком-пенсация усулида ўлчанади ва унда гальванометрдан оқаётган токнинг таъсирини йўқотишга эришилади. Бу ҳолатда потенциометрдаги кучланиш U_n икки зонд ора-сидаги намуна бўлагига тушган кучланиш U га teng бўла-



1.4-расм. Солиширма қаршиликтин икки зондли усул билан ўлчаш схемаси. Π — потенциометр, Γ — гальванометр.

ди. Икки зондли усулда ҳам ρ (1.2) формуладан фойдаланиб аниқланади. Бу ифодага кирган катталиклар R — намунанинг икки зонд орасидаги қисмининг қаршилиги, S — намуна кўндаланг кесимининг юзаси, l — зондлар орасидаги масофа. Икки зондли усул билан U компенсация усулида ўлчангандা, контакт қаршилигининг ўлчови натижаларига таъсири тўла йўқотилади дейилган фикрни қандай ҳолатда ўринли бўлишини аниқлайлик. Икки зондли усул билан ўлчашда намунанинг эквивалент чизмасини кўрайлик (1.5-расм). Чизмада R_{x1} , R_{x2} , K_1 ва K_2 контактлар қаршилиги, R_{z1} ва R_{z2} — зондлар қаршилиги, R_1 — зонд Z_1 ва K_1 контакт орасидаги намуна қисмининг қаршилиги, R_2 зонд Z_2 билан K_2 контакт орасидаги намуна қисмининг қаршилиги. R_{x1} , R_{x2} , R_{z1} ва R_{z2} — қаршиликлар металл-яrimytказгич чегарасида оксид қатламини ва потенциал тўсиқ қатламини ҳосил бўлиши билан пайдо бўлиши мумкин. Кичик юзали металл зонд билан яrimytказгич контактлашганда, қаршилиги катта бўлмаган қатлам ҳосил бўлмаса ҳам контакт қаршилиги катта бўлади. Зонд-



1.5-расм. Икки зондли усул билан солишиштirma қаршиликни ўлчашда намунанинг эквивалент схемаси.

лар занжирида Кирхгоф қоидасига кўра қуйидаги ифодани ёзамиш:

$$IR = i_r(R_{s1} + R_{s2} + R + R_r) + U_n \quad (1.11)$$

Бу ерда: R — гальванометрнинг ички қаршилиги, i_r — ундан оқаётган ток. (1.11) формуладан қўринадики, потенциометрдаги кучланиш ва намунанинг зондлар қисмига тушаётган кучланиш (IR) дан R_{s1} , R_{s2} , R , R_r — қаршиликларда i_r — ток ҳосил қилган кучланиш йифиндиси билан фарқланади. $i_r=0$ бўлганда улардаги кучланиш нолга тенг бўлиб, (1.10) формулада инобатта олинмайди. Шундай қилиб, зондлар қаршилигининг солишиштirma қаршиликка таъсири кучланишни компенсация усули билан ўлчаганда йўқотилади, чунки ўлчов пайтида зондлардан оқаётган ток нолга келтирилади: бу идеал ҳолатга тўғри келади. Ҳар қандай асбоб занжирда токнинг йўқлигини қандайдир хатолик билан кўрсатади. Қайд қилиниши мумкин бўлган кичик ток $i_{r,\min}$ га тенг. Зондлар занжирдан оқаётган ток $i_r < i_{r,\min}$ бўлади, тасодифан $i_r=0$ бўлиши ҳам мумкин. (1.15) формула билан аниқланаётган солишиштirma қаршиликтининг хатолиги:

$$\frac{\Delta\rho}{\rho} = \frac{i_{r,\min}(R_{s1} + R_{s2} + R + R_r)}{IR} \quad (1.12)$$

Зондлар қаршилиги солишири маңыздағы қаршилик натижаларынан таъсир күрсатмаслиги учун уларнинг қаршилиги йиғинди $R_{31} + R_{32} \ll R + R_g$ бўлиши керак. $R_{31} + R_{32} \ll R$ бўлганда нисбий хатолик минимум бўлади ва:

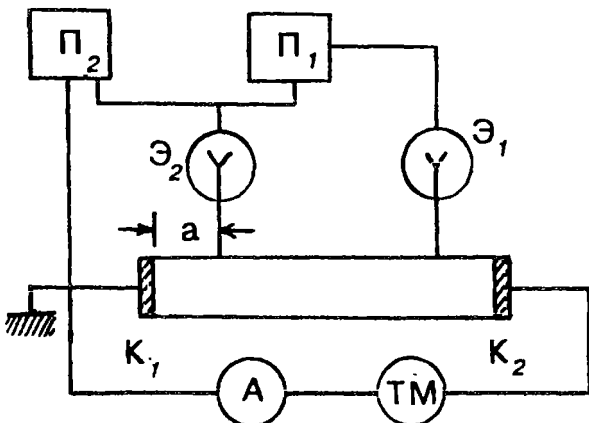
$$\frac{\Delta\rho}{\rho} = \frac{i_{r,\min}}{I}$$

Агар зондлар орасидаги кучланиш ички қаршилиги юқори Ом ли бўлган ($R_v > 10^{10} \Omega$) вольтметр-электрометрлар билан ўлчангандан зондлардан оқаётган токларнинг кичик бўлиш шартини, яъни зондлар қаршилигига тушаётган кучланишни эътиборга олмаса бўладиган шароитни таъминлаш мумкин. Бу ҳолда вольтметр билан

$$U_v = \frac{IR}{1 + \frac{(R_{31} + R_{32} + R)}{R_v}} \quad (1.13)$$

кучланиш ўлчанади. Бу ерда: R_v — вольтметрнинг ички қаршилиги. $R_{31} + R_{32} + R \ll R_v$ бўлганда $U_v = IR$ бўлади. Бундан (1.2) формула орқали солишири маңыздағы қаршилик ҳисобланади. Агар кучланишни ўлчашда уни автоматик компенсацияланмаса, вольтметр билан кучланишни ўлчаш тез бўлади. Одатда юқори Ом ли намуналарда солишири маңыздағы қаршиликни ўлчашда электрометрлар ишлатилади. Потенциометр ишлатилганда у ноль асбоби сифатида қўлланади. K_1 ва K_2 контактларнинг ρ ни аниқлашга таъсири тўғрисида шуни айтиш мумкинки, агар бу контактлар қаршилиги ошади ва натижада ток камаяди. Лекин ток амперметр билан ўлчангани учун у ҳеч қандай таъсир күрсатмайди. Юқорида кўрсатилганидек, агар бу контактлардан ток ўтганда контакт соҳасида заряд ташувчилар концентрациясини инжекция, эксклюзия, экстракция, аккумуляция туфайли ўзгаришга олиб келса, солишири маңыздағы қаршилик ўзгариши мумкин. Концентрация ўзгарадиган соҳа кенглиги заряд ташувчиларнинг икки, уч диффузион узунлигига teng бўлади, одатда ρ кичик электр майдон кучланганлигига ўлчанади.

Зондларни K_1 ва K_2 контактлардан ($a_1 \geq 3L$) шу масофадан каттароқ бўлган масофада жойлаштириб, хатолик пайдо бўлишидан қутулиш мумкин. Бу ҳолда диффузион узунликни камайтириш мумкин. Концентрациянинг ўзгариш таъсирини сусайтириш учун намунада контакт соҳасининг сиртига йирик кукунсизмон моддалар билан ишлов берилади, бу билан сирт рекомбинация тезлиги оширилади. Ўлчов асбоблари ва қурилмаларни электр билан таъминлаш тармоғидаги ва уни ўраб олган атроф фазодаги электромагнит майдонлар қурилмада ўзгарувчан қўшимча (кераксиз) — (паразит) сигналлар пайдо қилиши мумкин. Ўзгарувчан электромагнит майдонлар ўзгарувчан сигнал ҳосил қиласди. Бундан ўзгарувчан сигналнинг ўзгариш даври ўлчов асбобларини қайд қилиш вақтидан жуда кичик бўлганда, катта частотали сигнални қайд қилмаслиги, ўлчов асбобларининг инерционлиги туфайли эса юқори частотали сигналларни қайд қилмаслиги келиб чиқади. Лекин бу ундей эмас. Агар металл-ярим-үтказгич контакти чизиқли бўлмаган вольт ампер характеристкасига эга бўлса, ундан оқаётган ўзгарувчан токнинг доимий ташкил этувчиси вужудга келади. Уни ўлчов асбоблари қайд қиласди ва ўлчашни қийинлаштиради. Ўлчанаётган фойдали сигнал кичик бўлгани сари, фойдасиз

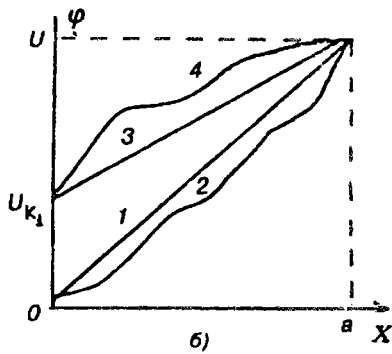
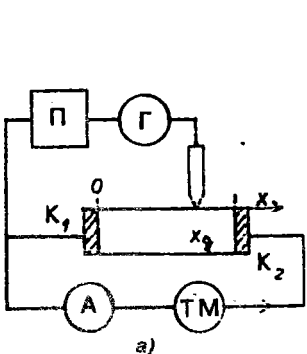


1.6-расм. Икки электрометр (потенциометр) билан солиштирма қаршиликни ўлчаш схемаси.

сигнални йўқотиш қийинлашади. Симларни экранлаштириш ва тажриба курилмасини ерга улаш билан фойда-сиз сигналларни камайтириш мумкин. Икки зондли усул билан ρ ни ўлчашда фойдасиз сигналларни камайтиришнинг самарали усулидан бири 1.6-расмда келтирилган. Бу схемани 1.4-расмда келтирилган схемадан фарқи шундаки, бунда иккита потенциометр ва иккита нуль индикатор бор. Нуль индикатор сифатида электрометр ишлатилади. Π_1 ва Π_2 потенциометрларда кучланишни ўзгартириб, икки электрометр \mathcal{E}_1 ва \mathcal{E}_2 да нульга эришилади. Бундай ҳолатда Π_1 кучланиш зондлар орасидаги кучла-нишга тенг бўлади. Мана шуларни билган ҳолдагина ρ аниқланади. Потенциометр Π_2 нинг вазифаси шундаки, жуда катта бўлмаган ички қаршилиги орқали зондлар орасидаги кучланишни ўлчайдиган занжирни ерга урайди. Унинг ёрдамида намуна ва монтаж симларини эк-рансиз ҳолатда солиширма қаршиликни 10^{12} Ом. см гача ўлчаш мумкин. У яrimутказгичли намуналарнинг хосса-ларини текширишда кенг қўлланилади.

б. Бир зондли усул.

Бир зондли усул билан солиширма қаршиликни ўлчаш усули икки зондли усулнинг бир кўринишидир (1.7а-расм). Бунда потенциометрнинг бир учи ток ўтказувчи контактлардан бири, масалан, K_1 билан уланади, сиртдаги зонд кўзғалувчан бўлади. Бу билан зонддан K_1 — контакттacha



1.7-расм. Бир зондли усул билан солиширма қаршиликни ўлчашнинг схемаси (а), намуна бўйлаб потенциалнинг тақсимланиш турлари (б).

бўлган масофани ўзгартириш мумкин бўлади. Масофа-нинг икки қийматида зонд билан K_1 — контакт орасидаги кучланиш ўлчаниб, солиширма қаршилик (1.2) га кўра қуидаги формула билан аниқланади:

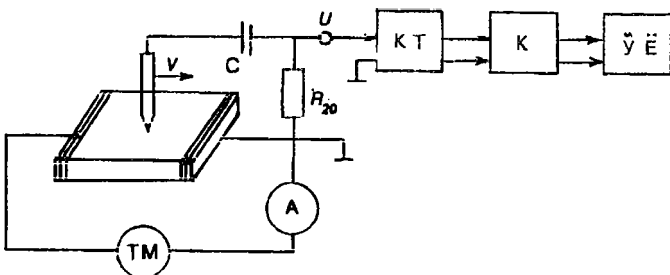
$$\rho = \frac{S}{I} \cdot \frac{U(X_{31}) - U(X_{32})}{X_{31} - X_{32}} \quad (1.14)$$

$U(x)$ — намунадан ўтаётган ток I нинг K_1 kontaktдан зондгача бўлган қисмида ҳосил қилган кучланиши. Бунда kontaktning солиширма қаршилик натижасига тарьсири икки зондли усул каби бўлади. Бу усул намуналарни бир жинсликка текширишда, бир жинсли бўлмаган намуналарда солиширма қаршиликни намуна узунлиги x бўйича тақсимотини аниқлашда, kontaktlarни Ом kontaktiga текширишда, ток ўтувчи kontaktlarning қаршилигини топишда кўлланиши мумкин.

$U(x)$ ни дифференциаллаб қуидагини топамиз:

$$\rho(x) = \frac{S}{I} \frac{dU(x)}{dx} \quad (1.15)$$

Намунанинг берилган нуқтасидаги солиширма қаршилик $U(x)$ графикнинг x нуқтасига ўтказилган уринманнинг тангенсига пропорционал. $U(x)$ ни масофага боғлиқлиги 1.76-расмда келтирилган. Чизмадаги 1-боғланиш K_1 kontakt қаршилиги $R_{K_1} = 0$ бўлган бир жинсли намунага; 2— K_1 kontakt қаршилиги $R_{K_1} = 0$ бир жинсли бўлмаган намунага; 3—4— K_1 kontakt қаршилиги $R_{K_1} \neq 0$ бўлган мосравишида бир жинсли ва бир жинсли бўлмаган намуналарга тегишилдири. 3 ва 4 графикларда $x=0$ да кучланишнинг сакраши U_{K_1} — кучланишни kontakt қаршилигига тушиши билан боғланган. Унинг катталиги $R_{K_1} = U_{K_1}/I$ билан топилади. Kontakt қаршилигини вужудга келтирувчи қатламнинг қалинлиги кичик ва зонд билан қаршиликни бу соҳадаги тақсимотини текшириб кўриш мумкин бўлмайди. Бу боғланишлар K_2 kontakt Ом kontakti бўлганда ўринли бўлади. Агар бу kontakt *омик* бўлмаса, $x=a$ да кучланишнинг сакраши кузатилиши керак. Одатда kontaktlarning хусусияти вольт-ампер характеристикасини ўрганиш орқали аниқланади.



1.8-расм. Бир зондли усул билан $\rho(x)$ ни автоматик ўлчаш схемаси:
 V — зонд тезлиги, K_T — катод такрорлагич, K — кучайтиргич,
 $\dot{Y} \ddot{E}$ — ўзи ёзгич.

Бир зондли усулни яримүтказгич монокристалларининг кичик соҳаларидағи нуқсонларини ўрганишга қўллашда зонд V — тезлик билан сирт бўйлаб ҳаракатланади. Зонд билан контактлардан бири орасида пайдо бўлган кучланишни дифференциалловчи RC занжирга берилади. Шу сабабли конденсатордан ўтаётган ток унга тушаётган кучланишнинг ҳосиласига пропорционал:

$$i_C = C \frac{dU_c}{dt} \quad (1.16)$$

Дифференциалловчи занжирнинг доимий вақти, $\tau = RC$ етарли кичик бўлганда R — қаршиликка тушган кучланиш

$$U_R = i_c R = RC \frac{dU_c}{dt} = CR \frac{dU_c}{dx} = R \cdot c \cdot V \frac{dU_c}{dx} = R \cdot C \cdot V \frac{I}{S} \rho(x) \quad (1.17)$$

ифода билан аниқланади. Ўзиёзар асбоб билан қайд қилинган R қаршилиқдаги кучланиш солиштирма қаршиликка пропорционал бўлиб, г нинг намуна бўйича тақсимотини кўрсатади. Усулнинг нобиржинсликни қайд қилиш қобилияти қўзғалувчи зонд диаметрига, уни қўзғалиш тезлигига, V га, асбобларнинг сезгирлигига ҳамда RC — занжир параметрига боғлик. Бир зондли усулда ўртача солиштирма қаршилик зонд билан намуна кон-

тактлашиш юзасига мос келади, бундан кўринадики, бир жинсли бўлмаганликнинг энг кичик кўлами зонднинг контактлашиш диаметри d дан ошмайди. Ўлчаш чизмасининг инерционлиги икки доимий вақтнинг энг каттаси билан аниқланади: занжирнинг доимий вақти $RC=\tau$ ёки қайд қилувчи асбобларнинг доимий вақти τ_a дир. Бу катталиклар зонднинг сўрилиш тезлигини чегаралайди. Ҳар бир доимий вақт $RC=\tau$ ёки τ_a d — масофанинг зонд ўтиш вақтидан кичик бўлиши керак:

$$\frac{d}{V} > RC \quad \text{ва} \quad \frac{d}{V} > \tau_a \quad (1.18)$$

Бундай ҳолда, яримўтказгичнинг контакт қаршилиги кичик ва зонд ҳаракатланганда ўзгармайди деб фараз қилинган. Ҳақиқатда, агар контакт қаршилиги фақат контактнинг тарқалган қаршилиги билан аниқланса (1.8-§ га қаранг), у ҳолда радиуси ~ 10 мкм бўлган контакт учун солиширма қаршилиги 100 Ом. см бўлган намунада контакт қаршилиги 20 кОм га етади. Зонд намуна бўйлаб ҳаракатланғандек кўчиш қаршилиги, зонд билан яримўтказгичнинг ҳар бир нуқтада контактлашиш юзасининг ўзгариши туфайли кучли ўзгариши мумкин. Бунда чизма бир вақтда солиширма қаршиликнинг намуна бўйича тақсимланишини ва контакт қаршилигининг тебранишини қайд қиласи, натижалар эса қайтарилмайди. Контакт қаршилигини тўғри ўлчашнинг зарурый шарти

$$R_{\text{кир}} \gg R_x + \Delta R$$

бўлади. $R_{\text{кир}}$ — қайд қилувчи қурилманинг тўла кириш қаршилиги, ΔR — контакт қаршилигининг ўзгариши. Шуни таъкидлаш керакки, бир зондли усул билан ўзгармас ва ўзгарувчан токларда солиширма қаршиликни ўлчаш мумкин. Ўзгарувчан ток билан ўлчашда зонддан кучланишини олдин ажратувчи конденсатор орқали катодли такрорлаш қурилмасига берилади (бунда катта қаршиликли кириш сигналини кичик қаршиликли чиқиши сигналига амплитудасини ўзгартирмай айлантириб беради), сўнг сигнал тўғриланади ва дифференциалловчи занжирга берилади. Бу усул билан намуналарда солиширма

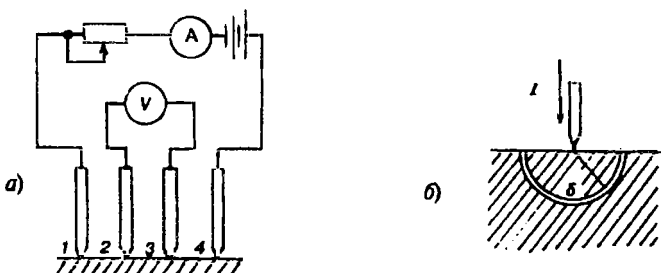
қаршилик 250 Ом. см гача бўлган оралиқда ўлчангандан, хатолик 5% дан ошмайди. Солиширма қаршилиги катта бўлган намуналарни ўлчашда контакт қаршилиги ошиши билан боғлиқ хатолик пайдо бўлади.

Бу усул билан солиширма қаршиликни ўлчашнинг қуи чегараси унинг қизиши билан чекланган ва 0,005 Ом. см тартибидадир. Кўзгалувчан зонд сифатида қаттиқ материаллар (масалан, карбид-кремний) симлари ҳамда диаметри 2 мм ли думалайдиган пўлат шардан ясалган зонд манипулятори ишлатилади.

1.3-§ Тўрт зондли усул

Яrimўтказгичли намуналарнинг солиширма қаршиликларини ўлчаш усулларидан бир қанча афзалликларга эга бўлган 4-зондли усул кенг кўлланилади. Бунга ўлчаш (метерологик) кўрсаткичининг юқорилигини, ўлчаш учун намуналарга Ом контактларини олиш талаб этилмаслигини, бир томони ясси текисликдан иборат шакли ва ўлчамлари ҳар хил бўлган ҳажмий яrimўтказгич намуналарини ҳамда кўп қаватли структураларда эпитаксиал, диффузион қатлам солиширма қаршиликларини ўлчаш мумкинлигини кўрсатиш мумкин. Бу усул билан ҳажмий монокристалларда, пластинка (тахтасимон) намуналарида солиширма қаршиликни $10^{-4} \div 10^3$ Ом · см оралиқда, эпитаксиал, диффузион сирт қаршилигини $1 \div 5 \cdot 10^5$ Ом оралиқда ўлчаш мумкин.

Тўрт зондли усулнинг бир кўриниши 1.9-расмда кўрсатилган. Бир томони ясси текис сирт билан чегараланган яrim чексиз намунанинг сиртига бир чизиқда жойлашган тўртта уни ингичкалаштирилган металл электродлар (зондлар) жойлаштирилган. Икки четки зонддан ток ўтказилади ва икки ўрта зондлардан кучланиш (зондлар орасидаги потенциаллар айрмаси) ўлчанади. Бу икки катталик — ток ва кучланиш орқали солиширма қаршилик аниқланади. Усул назарияси Вальдес томонидан 1954 йилда яратилган бўлиб, яrimўтказгич ва зондни кичик юзаси билан kontaktлашган нуқтасидан токнинг яrimўтказгичда тарқалишига асосланган.



1.9-расм. Яримчексиз намуналарда солиширма қаршиликтин түрт зондли усул билан ўлчаш схемаси (а), нүқтавий зонд модели (б).

Солиширма қаршиликтин ток (1) ва кучланиш (U) билан боғланган ифодасини топиш учун ярим чексиз (ўлчамлари зондлар орасидаги масофа S дан жуда катта, ($a, b, d \gg S$) намунанинг ясси сирти билан контактлашган алоҳида олинган нүқтавий зонд чегарасидан ярим-ўтказгичга ток тарқалиш масаласини ечиш керак (1.9брасм). Ярим чексиз намуналарда нүқтавий контактлашган зонд билан яримўтказгич чегарасидан тарқалаётган ток, потенциал тақсимоти сферик симметрияга эга бўлади. Бу ҳол учун Ом қонуни

$$j = \sigma E = -\frac{1}{\rho} \cdot \frac{d\varphi}{dr} \quad (1.19)$$

ва ток зичлигининг

$$j(r) = \frac{I}{2\pi r^2} \quad (1.20)$$

ифодаларидан фойдаланиб, намунада потенциал тақсимланишини топамиз:

$$\varphi(r) = \frac{I\rho}{2\pi r} + A \quad (1.21)$$

бу ерда, A -ўзгармас катталик.

Потенциал ишораси ток йўналиши билан аниқланади, исталган нуқтадаги потенциал ҳар бир ток зондларининг ҳосил қилган потенциалларининг йигиндисидан иборат. Намунага кираётган токнинг ҳосил қилган потенциали мусбат, чиқаётган токнинг ҳосил қилган потенциали эса манфий бўлади. Демак, ўлчов зондларининг контактларидағи 2 ва 3 потенциаллари 1 ва 4 зондлар ҳосил қилган потенциаллар йигиндисига тенг. Ток йўналишини, яъни 1 ва 4 ток манбалари ҳосил қилган потенциаллар ишораларини назарда тутганда 2 ва 3 нуқталардаги потенциаллар ифодаси (1.21) га кўра қўйидаги кўришишни олади:

$$\varphi_2 = \frac{I\rho}{2\pi} \left[\frac{1}{S_1} - \frac{1}{S_2 + S_3} \right] + A \quad (1.22)$$

$$\varphi_3 = \frac{I\rho}{2\pi} \left[\frac{1}{S_1 + S_2} - \frac{1}{S_3} \right] + A$$

Икки ички (2 ва 3) зондлардаги потенциаллар айрмаси-нинг кучланиш тушуви U_{23} қўйидагича бўлади:

$$U_{23} = \varphi_2 - \varphi_3 = \frac{I\rho}{2\pi} \left[\frac{1}{S_1} - \frac{1}{S_2 + S_3} + \frac{1}{S_3} - \frac{1}{S_1 + S_2} \right] \quad (1.23)$$

Зондлар орасидаги масофалар бир-бирига тенг ($S_1=S_2=S_3=S$) бўлганда (1.23) дан солиширма қаршилик ифодаси қўйидаги кўринишни олади:

$$\rho = \frac{U_{23}}{I_{14}} \cdot 2\pi S \quad (1.24)$$

Тўрт зондли усул билан солиширма қаршиликни аниқлашда зондларнинг исталган иккитасидан ток ўтказиб, қолган иккитасидан кучланишни ўлчаш мумкин. Бу ҳолда (1.24) ни

$$\rho = \frac{U_{23}}{I_{14}} \cdot SF_1^* \quad (1.25)$$

кўринишида ифодалаймиз. Бунда F^* зондларнинг чизмага уланишига қараб, ҳар хил қийматларни қабул қиласди (1.1- жадвалга қаранг)

1.1. жадвал

Зондларнинг чизмага уланиши	Ток ўтадиган зондлар	Кучланиш ўлчанадиган зондлар	F_1^* $a, b, d \gg S$	F_2^* $a, b \gg S,$ $d \ll S$
1	1—4	2—3	2π	4,532
2	2—3	1—4	2π	4,532
3	1—3	2—4	3π	15,5
4	2—4	1—3	3π	15,5
5	1—2	3—4	6π	21,84
6	3—4	1—2	6π	21,84

F_1^* — ярим чексиз қалин намуналар учун,

F_2^* — ярим чексиз юпқа намуналар учун тузатиш коэффициентлари. Жадвал таҳлилидан зондларни чизмага уланишида 1- ва 2-усулларнинг афзалигини кўрамиз, чунки бундай ҳолларда ўлчанаётган кучланиш энг катта қийматга эришади. Умумий тарзда ярим чексиз намуналарда потенциалнинг тақсимоти, яъни потенциалнинг (r) масоғага боғлиқлиги сферик координата системасида ифодаланган Лаплас тенгламаси ечимидан топилади. Биз кўраётган масалада потенциал сферик симметрия бўйича тарқалганлигини ҳисобга олиб, Лаплас тенгламасининг фақат (r) га боғлиқ ҳади кўрилади:

$$\Delta\varphi = \frac{1}{r^2} \frac{d}{dr} \left(r^2 \frac{d\varphi}{dr} \right) = 0 \quad (1.26)$$

Лаплас тенгламаси (1.26) ни $r = 0$ нуқтада мусбат, масофанинг жуда катта қийматида нольга интилувчи, яъни $r = 0$ да $\varphi(r) > 0$ ва $r \rightarrow \infty$ да $\varphi(r) \rightarrow 0$ чегаравий шартни қаноатлантирувчи ечими

$$\varphi(r) = -\frac{C_1}{r} + A \quad (1.27)$$

бўлади. Интеграллаш доимийси (C_1) $r=r_0$ да майдон кучланганлигини $E(r_0)$ га тенглик шартидан топилади:

$$E(r_0) = j\rho = \frac{I\rho}{2\pi r_0^2} \quad (1.28)$$

Юқорида айтилганидек, $j = \frac{I}{2\pi r_0^2}$, радиуси r_0 га тенг бўлган яримшар сиртидан оқаётган ток зичлигидир. Иккинчи томондан, $\bar{E}(r_0)$ ни (1.27) дан фойдаланган ҳолда қуидагича ёзиш мумкин:

$$E(r_0) = -\left. \frac{d\varphi}{dr} \right|_{r=r_0} = \frac{C_1}{r_0^2} \quad (1.29)$$

Бу икки (1.28) ва (1.29) ифодалардан интеграллаш доимийси (C_1)

$$C_1 = \frac{I\rho}{2\pi} \quad (1.30)$$

бўлади. Интеграллаш доимийси (C_1) ни (1.27) га қўйсак, худди (1.28) га ўхшаш ифодани оламиз.

Солиширма қаршиликни тўрт зондли усул билан ўлчаш шартларини таъкидлаб ўтиш зарурдир.

1. Ўлчов бир жинсли намунанинг ясси текис сиртида бажарилиши керак.

2. Контакт орқали асосий бўлмаган заряд ташувчиларнинг инжекцияси бўлмаслиги керак. Бу сирт рекомбинация тезлиги катта бўлган намуналарда кузатилади, бу сиртга маълум ишлов бериш билан эришилади.

3. Токнинг сирт бўйича сирқиши (оқиши) бўлмаслиги керак.

4. Зондлар намуна сирти билан нуқтада контактлашган бўлиши ва бир чизикда ётиши керак.

5. Ток ўтказувчи зондлар билан яримўтказгич намуна сирти чегарасида зондлар кичик радиусли яримшар кўринишида бўлиши керак.

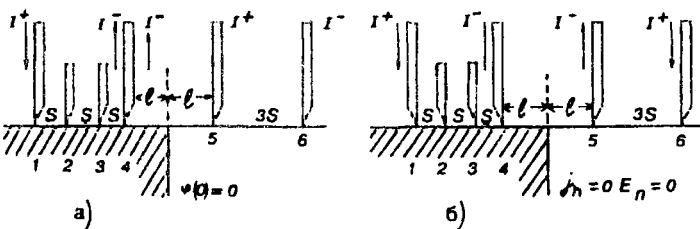
6. Зондларни намуна сирти билан контактлашган юзасининг диаметри зондлар орасидаги масофадан жуда кичик бўлиши керак ($D_x \ll S$).

Шуни эслатиб ўтиш керакки, кўп ҳолларда яримўтказгич намуналари аниқ геометрик ўлчамларга эга бўлади ва зондлар билан намуна қирраси орасидаги масофа l зондлар орасидаги масофа тартиби билан бир қаторда бўлади, бу ток зичлигининг потенциал тақсимотида сферик симметрия қонунининг бузилишига олиб келади. Натижада (1.24) формула билан аниқланган солиштирма қаршиликнинг қиймати ҳақиқий қийматдан фарқли бўлади, яъни хатоликка олиб келади. Шунинг учун умумий ҳолда ρ нинг ҳақиқий қийматини топиш учун яримчексиз намуналар учун ўринли бўлган (1.28) формулага намуна ўлчовларига ва зондларнинг намуна сиртида жойлашишига боғлиқ бўлган тузатиш функцияси (F) киритилиди ва (1.24) қўйидагича ифодаланади.

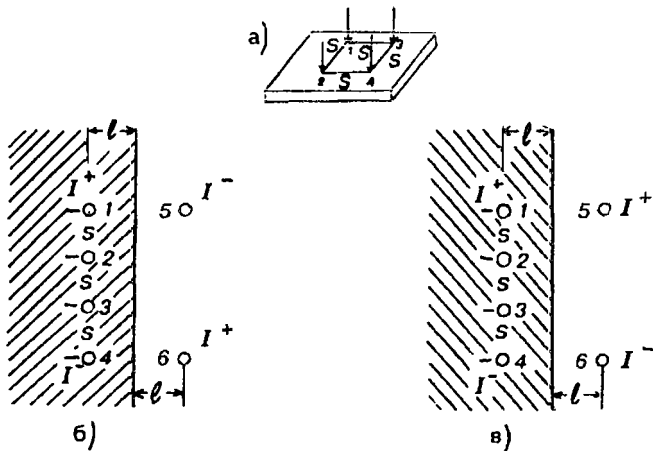
$$\rho = \frac{U}{I} 2\pi SF(l/S) \quad (1.31)$$

Баъзи бир ҳоллар учун тузатиш функциясини кўриб чиқайлик.

1. Яримчексиз, яъни геометрик ўлчамлари бир чизикда жойлашган зондлар орасидаги масофадан жуда катта



1.10-расм. Яримчексиз намунанинг электр ўтказувчан (а), изолятор (б) мухит билан чегараланган томонига зондлар чизиги тик бўлганда тузатиш функциясини ҳисоблаш модели чизмаси.



1.11-расм. Зондлар чизиги яримчексиз намунанинг ўтказувчан (б) изолятор (в) мұхит билан чегараланган томонига параллель бўлгандаги тузатиш функциясини ҳисоблаш модели чизмаси. Солиширма қаршилиликни тўрт зондли (квадрат) усул билан ҳисоблаш (а).

бўлган намунада ($a, b, d \gg S$) зондлар ётган текислик намунанинг ўтказувчан (металл қатлам — Ом контакти) ёки ток ўтказмайдиган мұхит (масалан, ҳаво) изолятор билан контактлашган чегарасига тик ва параллел бўлсин. Биринчи ҳолда зондларнинг четки зонди, иккинчи ҳолда зондлар текислиги намуна чегарасидан I масофада жойлашган (1.10 ва 1.11-расм).

Тузатиш функцияларини электростатикада кенг қўлланиладиган кўзгуда тасвир усули (метод зеркального изображения) орқали ҳисобланади.

Маълумки, намунанинг бирон сирти ток ўтказмайдиган мұхит (ҳаво, изолятор) билан чегараланган (контактлашган) бўлса (1.10б-расм), шу сиртда ток зичлигининг, электр майдон кучланғанлигининг тик (нормал) ташкил этувчиси нолга teng бўлади.

$$\varphi_n = 0; E_n = 0 \quad (1.31a)$$

Агар намуна сирти ўтказувчан мұхит (Ом контакти) билан чегараланган бўлса, шу сиртда унинг потенциали нолга teng бўлади (1.11а-расм):

$$\varphi(0)=0 \quad (1.31б)$$

Кўзгуда тасвир усули билан тузатиш функцияларининг аналитик ифодасини аниқлаш учун намуна сирти қандай муҳит билан контактлашганинг қараб (1.31а) ёки (1.31б) шартларни бажарилишини таъминловчи симметрик жойлаштирилган мавхум нуқтавий ток манбалари жойлаштирилади ва потенциал зондлар контактлашган нуқталаридаги натижавий потенциалларини ҳамда икки зонд орасидаги потенциаллар айрмаси (потенциал тушувини топиш керак бўлади). Мисол учун энг содда ҳолни кўрайлик. Зондлар бир чизиқда жойлашган бўлиб, улар орасидаги масофалар тенг бўлсин ($S_1=S_2=S_3=S$). Зондлар (ётган текислик) чизиги ток ўтказмайдиган муҳит билан чегараланган қиррасига тик бўлиб, четки зонди чегарадан l масофада жойлашсан. Намунанинг қолган томонлари S дан жуда катта масофада бўлиб, потенциал тақсимиотига таъсир кўрсатмайди (1.10-расм). Бу ҳолда қаралаётган ён сиртидан 1 — масофага симметрик жойлаштирилган бир хил ишорали мавхум нуқтавий (5 ва 6) ток манбалари (1.31а) шартни бажарилишини таъминлайди. Потенциал 2 ва 3 зондларда тўртта (1, 4, 5, 6) нуқтавий ток манбалари ҳосил қилган натижавий потенциаллари

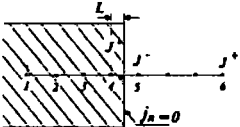
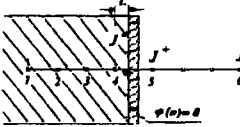
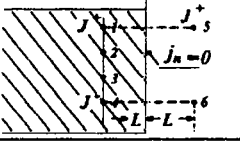
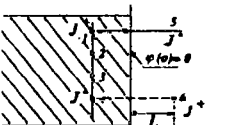
$$\varphi_2 = \frac{I\rho}{2\pi} \left(\frac{1}{S} - \frac{1}{2S} - \frac{1}{2S+2l} + \frac{1}{5S+2l} \right) + A \quad (1.32)$$

$$\varphi_3 = \frac{I\rho}{2\pi} \left(\frac{1}{2S} - \frac{1}{S} - \frac{1}{S+2l} + \frac{1}{4S+2l} \right) + A \quad (1.33)$$

бўлади. Икки ички (2 ва 3) зондлардаги потенциаллар айрмаси — кучланиш тушуви

$$U_{23} = U_2 - U_3 = \frac{I\rho}{2\pi S} \left(1 + \frac{1}{1+2l/S} - \frac{1}{2+2l/S} + \frac{1}{5+2l/S} \right) \quad (1.34)$$

кўринишни олади. (1.34) дан солиширма қаршиликни (1.30) кўринишда ифодаласак, тузатиш функцияси

№	Зондларнинг жойланиши	Бир чизиқда жойлаштирилган 4 зондли усулнинг тузатиш функциялари
1		$F_1 = \left(1 + \frac{1}{1 + 2l/S} - \frac{1}{2 + 2l/S} - \frac{1}{4 + 2l/S} + \frac{1}{5 + 2l/S} \right)^{-1} \quad (1.35)$
2		$F_2(l/S) = \left(1 + \frac{1}{2 + 2l/S} - \frac{1}{4 + 2l/S} - \frac{1}{1 + 2l/S} - \frac{1}{5 + 2l/S} \right)^{-1} \quad (1.36)$
3		$F_3(l/S) = \left[1 + \frac{2}{\sqrt{1 + (2l/S)^2}} + (1 + (l/S)^2)^{-\frac{1}{2}} \right]^{-1} \quad (1.37)$
4		$F_4(l/S) = \left[1 - 2 \cdot (1 + (2l/S)^2)^{-\frac{1}{2}} + (1 + (l/S)^2)^{-\frac{1}{2}} \right]^{-1} \quad (1.38)$

$$F_1(l/S) = \left(1 + \frac{1}{1+2l/S} - \frac{1}{2+2l/S} + \frac{1}{4+2l/S} + \frac{1}{5+2l/S} \right)^{-1} \quad (1.35)$$

бўлишлигини кўрамиз. Юқорида қайд этилган бошқа ҳолатлар учун тузатиш функциялари, мавхум нуқтавий ток манбаларининг жойланиши 1.2а-жадвалда, уларнинг ҳар хил l/S учун қийматлари 1.2-жадвалда келтирилган.

1.2б-жадвал

l/S	$F_1(l/S)$	$F_2(l/S)$	$F_3(l/S)$	$F_4(l/S)$
0	1,82	0,62	0,5	∞
0,2	1,365	0,79	0,533	8,07
0,5	1,182	0,882	0,658	2,08
1	1,06	0,947	0,842	1,232
2,0	1,01	0,992	0,965	1,038
5,0	1,004	0,996	0,997	1,003
10,0	1,005	0,9995	0,9996	1,004

Жадвал таҳлилидан кўринадики, $l \geq 3S$ бўлганда ҳамма кўрилган ҳолатлар учун тузатиш функциялари бирга яқин. Шунинг учун уни инобатга олиш шарт бўлмайди. Намуналарда солищтирма қаршиликни аниқлашда зондларнинг томони S бўлган квадрат учига жойлаштирилган усул билан ҳам аниқлаш мумкин (1.11а-расм). Бу усул билан солищтирма қаршиликни аниқлашда 1 ва 2 зондлардан I ток ўтказилиб, 3 ва 4 зондлар орқали потенциаллар айирмаси аниқланади. Яримчексиз намуналар учун ($a, b, d \gg S$), яъни, намуна ўлчамлари зондлар орасидаги масофадан жуда катта бўлганда солищтирма қаршилик

$$\rho = \frac{U_{34}}{I_{12}} \cdot \frac{2\pi S}{2 - \sqrt{2}} \quad (1.39)$$

формула билан ҳисобланади.

Зондлар яримчексиз намунанинг бирор томонига зондлар орасидаги масофа тартибида жойлашган бўлса, ρ нинг тузатиш функцияси ҳисобга олинадиган

$$\rho = \frac{U_{23}}{I_{14}} \cdot \frac{2\pi S}{2 - \sqrt{2}} F_s(l/S) \quad (1.40)$$

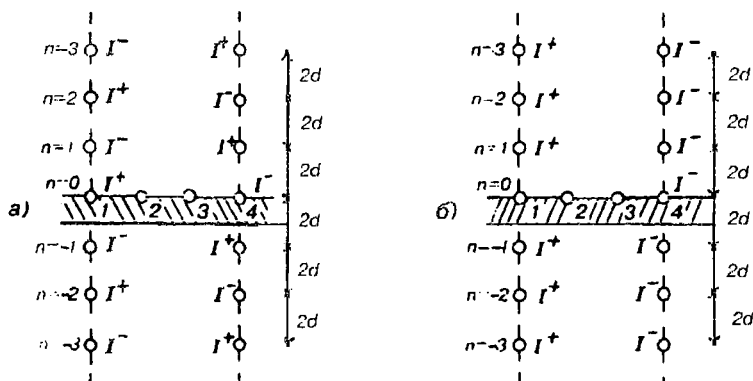
ифода билан аниқланади.

Тузатиш функцияси $F_s(l/S)$ нинг ҳар хил ҳолатлар учун аналитик ифодаси 1.3а-жадвалда келтирилган. Бу функцияларни ҳисоблашлардан кўринадики, бирорта изоляцияланган ёки ўтказувчан қиррадан l — масофада ток зондлари перпендикуляр ёки параллел жойлашганда қирранинг таъсирини ҳисобга оладиган тузатиш функциялари $l/S \geq 3$ да бирга яқин.

Намуна ўлчамлари (эни, бўйи, диаметри) чексиз катта ($a, b \gg S$), лекин қалинлиги зондлар орасидаги масофа тартибидаги пластина кўринишида бўлсин.

Бу намуналарда солиштирма қаршиликни аниқлаш яримчексиз намуналар каби тузатиш функциясини тошишга келтирилади. Аммо бу ҳолда ҳам остки, ҳам устки сиртларидаги шартлар бир вақтда бажарилиши керак.

Агар намуна остки сатҳи ток ўтказувчан муҳит (Ом контакти) билан чегараланган бўлса, (1.12а-расм) юқори



1.12-расм. Остки сирти ўтказувчан (а), диэлектрик (б) муҳит билан чегараланган пластиинкаларда мавҳум ток манбаларининг жойланиш тартиби.

№	Зондларнинг жойланиши	Квадрат учларига жойлаштирилган 4-зондли усулнинг тузатиш функциялари
1		$F_{S1}(l/S) = (2 - \sqrt{2}) \left(2 - \sqrt{2} + \frac{2}{(1 + 2l/S)} - \frac{2}{\sqrt{1 + (1 + 2l/S)^2}} \right)^{-1} \quad (1.41)$
2		$F_{S2}(l/S) = (2 - \sqrt{2}) \left(2 - \sqrt{2} - \frac{2}{(1 + 2l/S)} + \frac{2}{\sqrt{1 + (1 + 2l/S)^2}} \right)^{-1} \quad (1.42)$
3		$F_{S3}(l/S) = (2 - \sqrt{2}) \left(2 - \sqrt{2} + \frac{1}{(1 + 2l/S)^2} - \frac{2}{\sqrt{1 + (1 + 2l/S)^2}} + \frac{1}{\sqrt{1 + (2 + 2l/S)^2}} \right)^{-1} \quad (1.43)$
4		$F_{S4}(l/S) = (2 - \sqrt{2}) \left(2 - \sqrt{2} - \frac{1}{(1 + 2l/S)^2} + \frac{2}{\sqrt{1 + (2 + 2l/S)^2}} - \frac{1}{\sqrt{1 + (2 + 2l/S)^2}} \right)^{-1} \quad (1.44)$

сиртида $j_n=0$, $E_n=0$, остки сиртида $\varphi=0$ шартлари, агар остки сатҳи ток ўтказмайдиган изолятор мұхит (масалан, ҳаво) билан чегараланган бўлса. 1.12б-расм икки сиртида $j_n=0$, $E_n=0$ шартлари бажарилиши керак.

Намунанинг остки сирти ўтказувчан мұхит билан чегараланган ҳолни кўрайлик (1.12а-расм). Бу ҳолда остки сиртида $\varphi=0$ шарт бажарилиши учун ($n=-1$) да намунадан пастда d масофада (I^-) ва (I^+) мавҳум ток манбаларини жойлаштирамиз, лекин устки сиртида $j_n=0$, $E_n=0$ ток зичлигининг нормал ташкил этувчисининг нолга тенглик шарти бузилади, унинг бажарилиши учун (пластина) намуна устки сиртидан ($n=+1$) да $2d$ масофага ($+I$) ва ($-I$) ток манбалари жойлаштирилади, бу билан остки сиртида $\varphi=0$ шарти бузилади, буни қаноатлантириши учун яна $n=2$ да $2d$ масофада ток манбалари киритамиз, бу ток манбаларини жойлаштириш чексиз кўп марта тақрорланганда (1.12-расм) намунанинг остки ва устки сиртларида (1.31а, б) шартлар бажарилади. Агар намуна остки сирти изоляцияланган мұхит билаң чегараланган бўлса, икки сиртида (1.31а) шарт бажарилиши худди юқоридагига ўхшаш кетма-кетликда мусбат ($+I$) ток манбай томонида мусбат мавҳум ток манбаларини, манфий ($-I$) ток манбай томонида манфий мавҳум ток манбаларини чексиз кўп марта тақрорлаб жойлаштириш керак (1.12б-расм). Аввалдан айтилганидек, 2 ва 3 нуқталардаги потенциаллар чексиз кўп ток манбалари ҳосил қилган потенциаллар йигиндисига тенг. Ток манбаларининг ишорасини ҳисобга олган ҳолда U_2 ва U_3 лар остки сирти ўтказувчан мұхит билан чегараланган намуна учун (1.2) га кўра

$$U_2 = \frac{I\rho}{2\pi} \sum_{n=-\infty}^{+\infty} (-1)^n \left\{ [S^2 + (2dn)^2]^{-\frac{1}{2}} - [(2S)^2 + (2dn)^2]^{-\frac{1}{2}} \right\} + A \quad (1.45)$$

$$U_3 = \frac{I\rho}{2\pi} \sum_{n=-\infty}^{+\infty} (-1)^n \left\{ [(2S^2 + (2dn)^2]^{-\frac{1}{2}} - [(S^2 + (2dn)^2]^{-\frac{1}{2}} \right\} + A \quad (1.46)$$

ифодалар билан аниқланади.

Бу икки тентгламадан $U_{23} = U_2 - U_3$ ни топиб солиштирма қаршилигиди.

$$\rho = \frac{U_{21}}{I} 2\pi S g_1 \left(\frac{d}{S} \right) \quad (1.47)$$

кўринишда ифодалаймиз. Тузатиш функцияси кўйидаги кўринишига эга бўлади:

$$g_1 \left(\frac{d}{S} \right) = \left\{ 1 + 4 \sum_{n=1}^{\infty} (-1)^n \left[\left(1 + 4n^2 \frac{d^2}{S^2} \right)^{-\frac{1}{2}} - \left(4 + 4n^2 \frac{d^2}{S^2} \right)^{-\frac{1}{2}} \right] \right\}^{-1} \quad (1.48)$$

Юқоридаги усул билан ҳисоблаш икки томонидан ток ўтказмайдиган муҳит (изолятор) билан чегараланган қалинлиги d — бўлган намуна учун тузатиш функцияси

$$g_2 \left(\frac{d}{S} \right) = \left\{ 1 + 4 \sum_{n=1}^{\infty} \left[\left(1 + 4n^2 \frac{d^2}{S^2} \right)^{-\frac{1}{2}} - \left(4 + 4n^2 \frac{d^2}{S^2} \right)^{-\frac{1}{2}} \right] \right\}^{-1} \quad (1.49)$$

бўлишини кўрсатади. $g_1(d/S)$ ва $g_2(d/S)$ функцияларни (d/S) нинг ҳар хил қийматларидаи натижалари 1.3б-жадвалда келтирилган.

1.3б-жадвал

d/S	0,1	0,2	0,5	1	2	3,333	5	10
$g_1(d/S)$	$1,9 \cdot 10^{-6}$	$3,42 \cdot 10^{-3}$	0,228	0,683	0,983	0,988	0,9948	0,9993
$g_2(d/S)$	13,86	6,139	2,78	1,504	1,094	1,0228	1,007	1,00045

Жадвал натижалари таҳлилидан кўринадики, $g_1(d/S)$ ва $g_2(d/S)$ ларнинг қийматлари $d/S \geq 4$ бўлганда бирга инти-

лади. Лекин $g_2(d/S)$ функция (d/S)нинг 0 дан 0,4 гача бўлган оралифида (d/S) билан тўғри чизиқли боғланган бўлиб, $(2\ln 2)^{-1} d/S$ га пропорционал бўлади:

$$g_2(d/S) = (2\ln 2)^{-1} d/S \quad (1.50)$$

Шунинг учун $0 \leq d/S \leq 0,4$ оралифида икки томони ток ўтказмайдиган муҳит билан чегараланганда намунанинг солиштирма қаршилиги зондлар орасидаги масофага боғлиқ бўлмайди ва (1.47) га кўра

$$\rho = \frac{\pi d}{\ln 2} \cdot \frac{U}{I} = 4,53d \frac{U}{I} \quad (1.51)$$

формула билан аниқланади.

1.4-§. Юпқа қатламларда солиштирма қаршиликни тўрт зондли усул билан аниқлаш

Агар намунанинг қалинлиги d зондлар орасидаги ма-софадан жуда кичик ($d \ll S$) ва унинг чегаралари чексизликка узоқлаштирилган ($a, b \gg S$) бўлса, 1 ва 4 зондлар соҳасида қалинлик бўйича кучланиш тушувини ҳисобга олмаслик мумкин. Бундай ҳолда токнинг ва потенциалнинг тақсимотини икки ўлчамли деб қараш мумкин. Потенциалнинг цилиндрик симметрия бўйича тақсимланишини ҳисобга олсан, икки ўлчамли Лаплас тенгламасининг (азимут бурчаги θ ни ҳисобга олмаймиз).

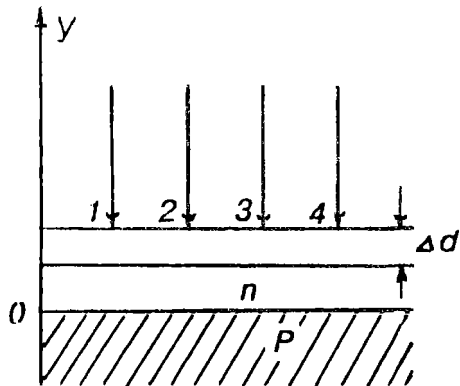
$$\Delta\varphi = \frac{1}{r} \frac{d}{dr} \left(r \frac{d\varphi}{dr} \right) = 0 \quad (1.52)$$

ечимидан потенциал ифодаси

$$\varphi(r) = C_1 \ln r + A \quad (1.53)$$

кўринишни олади C_1 — интеграллаш доимийси, у электр майдон кучланганигининг $r=r_0$ да $E(r_0)$ га teng бўлишидан аниқланади. Агар заряд ташувчиларнинг концентра-

1.13-расм. Бир жинсли бүлмаган юпқа намуналарда солиширма қаршиликтин қалинлик бўйича тақсимотини ўлчаш.



цияси ва ҳаракатчанлиги қатlam қалинлиги бўйича у координатасига боғлиқ бўлса (1.13-расм) радиуси r , баландлиги d бўлган цилиндр сиртидан оқаётган тўла ток ифодаси

$$I = \int_0^d 2\pi r \cdot \bar{E} en(y) \mu(y) dy = 2\pi r \bar{E} \sigma_n = 2\pi r \frac{\bar{E}}{\rho_n} \quad (1.54)$$

бўлади. Бу ерда:

$$\sigma_n = \frac{1}{\rho_n} = \int_0^d en(y) \cdot \mu(y) dy \quad (1.55)$$

сирт солиширма ўтказувчанлиги, $\rho_n = \sigma_n^{-1}$ эса сирт солиширма қаршилиги деб юритилади.

Бир жинсли намуналарнинг ҳажмий солиширма қаршилиги, солиширма ўтказувчанлиги

$$\rho = \rho_n d; \quad \sigma = \sigma_n / d \quad (1.56)$$

билан аниқланади. Бу формула билан аниқланган каттаглиқ солиширма ўтказувчанликнинг қалинлик бўйича ўрталашган қийматини беради. (1.53) ифодадаги C_1 интеграллаш доимийиси (1.54) дан $r=r_0$ да аниқланган

$$E(r_0) = \frac{I\rho_n}{2\pi r_0} \quad (1.58)$$

ва

$$E(r_0) = -\frac{d\varphi}{dr} \Big|_{r=r_0} = -\frac{C_1}{r_0} \quad (1.59)$$

ифодаларнинг тенглигидан

$$C_1 = -\frac{I\rho_n}{2\pi} \quad (1.60)$$

билин аниқланишини кўрамиз

Шундай қилиб, (1.60) ни (1.53) га қўйсак, потенциал ифодаси

$$\varphi(r) = -\frac{I\rho_n}{2\pi} \ln r + A \quad (1.61)$$

бўлади. Бу ерда r ток зондлари, 1 ва 4 дан r_1 ва r_4 масофа-да жойлашган нуқта координаталари 1 ва 4 зондлардан ўтётган мусбат ва манғий токлар ҳосил қилган 2 ва 3 зондлардаги потенциалларни (1.61) билан ҳисоблаб, $U_{23} = U_2 - U_3$ дан сирт солиширига қаршилиги ифодаси

$$\rho_n = \frac{\pi}{\ln 2} \cdot \frac{U_{23}}{I_{14}} \approx 4,532 \frac{U_{23}}{I_{14}} \quad (1.62)$$

кўринишда бўлишлигини топамиз. Бир жинсли юпқа қатламларнинг солиширига қаршилигини умумий ҳолда

$$\rho = \rho_n d = \frac{\pi d}{\ln 2} \cdot \frac{U_{23}}{I_{14}} = \frac{U}{I} \cdot d \cdot F_2^* \quad (1.63)$$

кўринишда ифодалаш мумкин. Агар намунадан ҳар хил комбинацияда уланган зондлар орқали ток ўтказилса, (1.63) формуладаги F_2^* коэффициент ҳар хил қийматлар қабул қилиши мумкин (1.1-жадвал). Масалан, 1 ва 2 ёки 3 ва 4 зондлардан ток ўтказиб, 3 ва 4 ёки 1 ва 2 зондлардан потенциаллар айирмаси ўлчанса, $F_2^* = 21,84$ бўлиши аниқланган.

Бир жинсли бўлмаган намуналарда сирт $\rho_n(Y)$ ва ҳажм бўйича солиширма қаршиликлар ρ (y) ни юпқа қатламларда қалинлик бўйича тақсимотини топиш учун қатлам қалинлиги ҳар бир ўлчовдан сўнг Δd га камайтириб борилади. Бир-биридан Δd га камайтириб ўлчангандан сирт солиширма қаршиликлари ρ_{n1} , ρ_{n2} орқали Δd га камайтирилган қатламнинг сирт солиширма қаршилигини ва у орқали ρ

$$\rho_n = \rho_{n1}\rho_{n2}/\rho_{n2} - \rho_{n1}; \quad \rho = \rho_n \Delta d \quad (1.64)$$

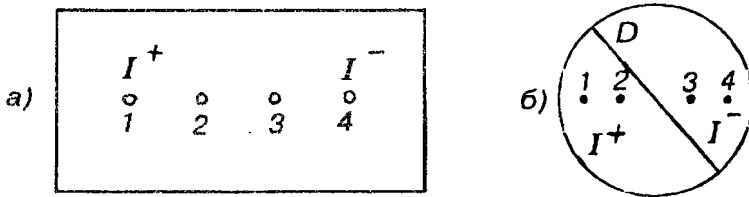
ифодалар билан ҳисобланади.

Юқорида кўрилган ҳолатда юпқа қатламнинг икки сирти изоляцияланган, яъни ток ўтказмайдиган тагликдаги юпқа қатлам деб фараз қилинган. Қалинлиги зондлар орасидаги масофалар тартибида, лекин зондлар жойланған сирт ўлчамлар чексиз катта ($a, b \gg S$ ёки $D \gg S$) қатламларнинг, яъни пластинка (диск) шаклидаги намуналарнинг солиширма қаршилигини аниқлашда (1.62) формулага қалинликнинг таъсирини ҳисобга оладиган тузатиш функцияси киритилади ва у

$$\rho = \frac{\pi d}{\ln 2} \cdot \frac{U_{23}}{I_{14}} f(d/S) \quad (1.65)$$

формула орқали ҳисобланади.

Тузатиш функцияси $f(d/S)$ нинг қиймати жуда юпқа қатламларда, яъни $d/S \leq 0.4$ да бирга яқин (унинг $d/S \geq 0.4$ даги қийматлари 1.4-жадвалда келтирилган). Амалиётда кўп ҳолларда геометрик ўлчамлари чекланган юпқа қатламларда (доира ва пластина кўринишидаги намуналар) солиширма қаршиликни аниқлашга тўғри келади. Бу ҳолда кўзгуда тасвир усулини кўллаб, тузатиш функцияларининг ифодаси топилади. Тузатиш функцияси энг содда ҳоллар — тўғри тўртбурчак шаклидаги пластина, диск кўринишидаги шакллар учун ҳисобланган (1.14-расм). Томонлари a ва b бўлган тўғри тўртбурчакли юпқа ($d \ll S$) намунада зондлар катта томони (a)га параллел чизиқда жойлашган бўлса, солиширма сирт қаршилиги



1.14-расм. Геометрик ўлчамлари чекланган юпқа ($d \ll S$) түғри түртбұрчак (а), доира — диск (б) шаклидаги намуналарда зондларнинг жойланиши.

$$\rho_n = \frac{U_{23}}{I} \cdot f\left(\frac{a}{b} \cdot \frac{b}{S}\right) \quad (1.66)$$

диаметри D бўлган диск шаклидаги юпқа намунада эса (1.14б-расм)

$$\rho_n = \frac{U_{23}}{I} \cdot f\left(\frac{D}{S}\right) \quad (1.67)$$

формулалар билан ҳисобланади.

Тузатиш функцияси $f(D/S)$ зондлар диск марказидан ўтган чизикда ётса, куйидаги кўринишга эга бўлади

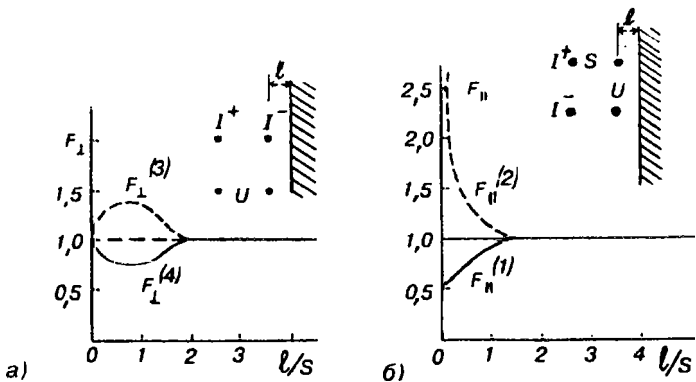
$$f(D/S) = \frac{\pi}{\ln 2 + \ln[(1 + 3(S/D)^2)/(1 - 3S^2/D^2)]} \quad (1.68)$$

Тузатиш функцияси $f(a/b, b/S)$ (b/S) нинг кичик қийматларида

$$f(a/b; b/S) \cdot \frac{S}{b} \approx f(a/b) \approx 1 \quad (1.69)$$

Шунинг учун (1.66) ни куйидагича ифодалаймиз:

$$\rho_n = \frac{U_{23}}{I_{14}} \cdot \frac{b}{S} \cdot f(a/b) \approx \frac{U_{23}}{I_{14}} \cdot \frac{b}{S} \quad (1.70)$$



1.15-расм. Квадрат учларига жойлаштирилган түрт зондли усули билан ρ -ни аниқлашни ток үтказмайдыган мұхит билан чегараланған намуналарда ток зондларини туташтирувчи қисық параллель (б) ва перпендикуляр (а) бұлған ҳол учун тузатиш функциялари қызметаси.

Бұндан солишиктерма сирт қаршилигининг тақрибий қиймагини аниқлаш мүмкін. Тузатиш функцияларининг $f(a/b, b/S)$, $f(D/S)$, $f(a/b)$ сон қийматлари 1.5-жадвалда көлтирилген. Агар намуна ның үлчамлари (эни, бүйи, қалинлиги түрі түртбұрчак шаклидаги ва қалинлиги d , диаметри D диск шаклидаги намуналарда) зондлар орасидағы масофа тартибида бұлса, унда иккى тузатиш функцияларини $f(d/S)$ ва $f(a/b, b/S)$ ёки $f(D/S)$ ҳисобға олган ҳолда ρ аниқланади. Намуна түртбұрчак шаклида бүлганды эса

$$\rho = \frac{U_{23}}{I_{14}} \cdot \frac{\pi d}{\ln 2} \cdot f\left(\frac{d}{S}\right) \cdot f\left(\frac{a}{b}, b/S\right) \quad (1.71)$$

күриниши олади.

1.4-жадвал

d/S	0,4	0,5	0,714	1	1,25	1,4286	1,666	2
$f(d/S)$	0,9995	0,9974	0,9798	0,9214	0,849	0,7538	0,7225	0,6636

b/S D/S	$f(D/S)$	$f(a/b, b/S)$			
		$a/b=1$	$a/b=2$	$a/b=3$	$a/b \geq 4$
1,00				0,9988	0,9994
1,25				1,2467	1,2248
1,50			1,4788	1,4893	1,4893
1,75			1,7196	1,7238	1,7238
2,00			1,9454	1,9475	1,9475
2,50			2,3532	2,3541	2,3541
3,00	2,265	2,457	2,7000	2,7005	2,7005
4,00	2,929	3,114	3,2246	3,2248	3,2248
5,00	3,362	3,510	3,5750	3,5750	3,5750
2,50	3,927	4,0095	4,0361	4,0362	4,0362
10,00	4,172	4,2209	4,2357	4,2357	4,2357
15,00	4,365	4,3882	4,2947	4,3947	4,3947
20,00	4,436	4,516	4,4553	4,4553	4,4553
40,00	4,508	4,5120	4,5129	4,5129	4,5129
	4,532	4,5324	4,5324	4,5325	4,5325

Намуна диск кўринишида бўлганда

$$\rho = \frac{U_{23}}{I_{14}} \cdot \frac{\pi d}{\ln 2} f\left(\frac{d}{S}\right) \cdot f\left(\frac{D}{S}\right) \quad (1.72)$$

бўлади. Квадрат учларига жойлаштирилган тўрт зондли усул билан ўлчанган юпқа қатламларнинг солиштиurma қаршилиги

$$\rho = \frac{U}{I} \cdot \frac{2\pi}{\ln 2} d = R_s d = G_s \cdot \frac{U}{I} d \quad (1.73)$$

формула билан аниқланади. Бу ердаги $R_s = \rho/d$ қатламнинг сирт қаршилиги деб номланади. Диаметри D бўлган циравий намунада ρ ни ўлчашда зондлар доира марказида жойлашган бўлса, тузатиш функцияси:

$$G_S^* = 2\pi \left[\ln 2 + \ln \left(\frac{1 + 2S^2/D^2}{1 + 4S^2/D^2} \right) \right]^{-1} \quad (1.74)$$

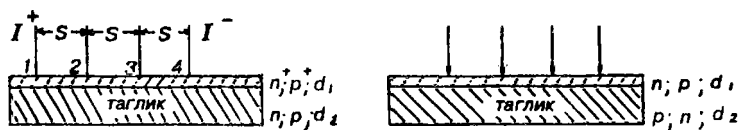
1.5-§. Эпитаксиал, диффузион қатламларнинг солиширма қаршилигини тўрт зондли усул билан аниқлаш

Икки қатламли структураларда, масалан, таглик сиртида диффузия йўли билан олинган қатламни ёки тагликдан ўтказувчанлигининг катталиги ва тури билан фарқланган эпитаксиал қатламларнинг солиширма қаршиликларини, уларнинг қалинлик бўйича тақсимотини аниқлашда тўрт зондли усул қўлланилиши мумкин (1.16-расм).

Чегаралари чексизликка силжиган юпқа икки қатламли структура ($S > d_1, d_2$) ток зондларига нисбатан параллел уланган занжир ҳосил қиласди. Демак, 1 ва 4 зондлардан ўтаётган токнинг бир қисми I_1 биринчи қатламдан, I_2 қисми иккинчи қатламдан ўтади, яъни

$$I = I_1 + I_2 \quad (1.75)$$

$$U = I_1 \rho n_1 \frac{\ln 2}{\pi} = I_2 \rho n_2 \frac{\ln 2}{\pi} \quad (1.76)$$



1.16-расм. Солиширма қаршилигни тўрт зондли усул билан ўлчаш мумкин бўлган эпитаксиал структура турлари.

Бу ерда: ρ_{n1}, ρ_{n2} — солиширма сирт қаршилиги. Иккинчи ифода параллел уланган занжирдаги кучланишни, 2 ва 3 зондлардаги потенциаллар айирмасини беради. Бу икки формуладан $\rho_1 = \rho_{n2} d_1$, $\rho_2 = \rho_{n2} d_2$ эканлиги ҳисобга олинганда

$$(\sigma_1 d_1 + \sigma_2 d_2)^{-1} = (d_1/\rho_1 + d_2/\rho_2)^{-1} = \frac{\pi}{\ln 2} \cdot \frac{U}{I} \quad (1.77)$$

тенгликни топамиз. Агар қатламлардан бирини ўтказувчанлиги жуда катта, масалан, биринчи юпқа қатламники $d_1 \sigma_1 \gg d_2 \sigma_2$ бўлса, иккинчи қатлам структурада токнинг ўтишига таъсир этмайди. Бундай ҳолда ўлчанган солиширма қаршилик биринчи қатламга тегишли бўлиб, (1.51) орқали аниқланади:

$$\rho_1 = \frac{U}{I} \cdot \frac{\pi d_1}{\ln 2} \quad (1.78)$$

Юпқа эпитаксиал қатлам ва таглик икки хил тур ўтказувчанликка эга бўлса, чегарада ҳосил бўлган $p-n$ ўтиш токнинг ости қатлам орқали ўтишига тўсқинлик қиласиди. Демак, тўрт зондли усул $p+p$, $n+n$ структураларда, яъни тагликнинг солиширма қаршилиги эпитаксиал қатламнидан камида юз марта катта бўлган ҳолларда $p-n$, $n-p$ туридаги структураларда солиширма қаршиликни аниқлашда қўлланилиши мумкин ва юқорида кўрилган икки қатламли структураларда диффузион, эпитаксиал қатламнинг солиширма қаршиликлари юпқа намуналар учун ўринли бўлган формула билан ҳисобланади.

1.6-§. Солиширма қаршиликни тўрт зондли усул билан ўлчашдаги хатоликлар

Тўрт зондли усул билан ўлчашдаги хатоликлар солиширма қаршиликни ўлчашнинг физик моделининг назарияда қабул қилинган моделидан фарқли бўлиши формулага кирган катталикларни ўлчаш, ўлчаш шарти ва тартибига боғлиқ бўлган тасодифий, мунтазам хатоликлар орқали аниқланади. Бу хатоликлар манбайнин гўриб чиқайлик.

1. Зонд контакти юзасининг киритган хатолиги

Маълумки, солишири маълумкни тўрт зондли усул билан ўлчашнинг физик асоси-назарияси кўрилган вақтда яrimўтказгич билан зонд нуқтавий контакт ҳосил қиласди, деб қабул қилинган эди. Амалиётда бу шарт ҳеч вақт бажарилмайди, чунки контактнинг маълум юзачага эга бўлиши ўлчов натижасига мунтазам хатолик киритади. Ток ёки потенциал зондлари яrimўтказгич билан контактлашганда радиуси r бўлган доирacha ҳосил қилса, унинг киритган хатолиги $(r/S)^2$ билан аниқланади. Хатоликнинг ишораси ва катталиги зондлардан қайси бирида контактнинг нуқтавий бўлиш шарти бажарилмаслиги билан аниқланади. Зондлар бир чизикда ётган ҳолда зонд контакт юзачаси потенциал зондлардан бирида пайдо бўлса, нисбий хатолик

$$\delta = \frac{\Delta\rho}{\rho} = \left(-\frac{1}{2} \ln 2 \right) \ln \left[\left(2 + \frac{r^2}{S^2} \right) / \left(2 - \frac{r^2}{S^2} \right) \right] \quad (1.79)$$

формула билан аниқланади. Агар ток зондларидан бирида контактни нуқтавий бўлиш шарти бажарилмаса, нисбий хатолик

$$\delta = \left(\frac{1}{2} \ln 2 \right) \cdot \ln \left[\left(6 - \frac{r^2}{S^2} \right) / \left(6 - \frac{2r^2}{S^2} \right) \right] \quad (1.80)$$

ифода билан аниқланади. Зондлар томони S бўлган квадрат учларига жойлашган ҳолда потенциал ёки ток зондларидан бирида контакт юзачага эга бўлса, мунтазам хатолик қуидагича аниқланади:

$$\delta = \left(-\frac{1}{2} \ln 2 \right) \cdot \ln \left[2 \left(1 + \frac{r^4}{S^4} \right) / \left(1 + \left(1 - \frac{r^2}{S^2} \right)^2 \right) \right] \quad (1.81)$$

Тўртта зонднинг ҳаммасида контакт нуқтавий бўлмаса, умумий хатолик юқоридаги формулалар орқали аниқланган хатоликлар йиғиндиси билан ифодаланади.

2. Зондлар орасидаги масофанинг тақрорланмаслиги билан боғлиқ хатолик

Зондлар орасидаги масофанинг тақрорланмаслиги со- лиштирма қаршиликни аниқлашда мунтазам хатоликлар киритади. Ҳар бир зондлар ҳолати яримўтказгичда бир- бирига боғланмаган ҳолда ўртача квадратик хатолик билан ΔS га силжиса, қаршиликни ўлчашдаги тасодифий хатолик зондлар орасидаги масофалар teng ва ишончли- лик эҳтимоли 0,95 бўлган ҳолда ҳажмий намуналар учун

$$\delta \approx \frac{\Delta\rho}{\rho} = 2,06 \left(2 \frac{\Delta S}{S} \right) \quad (1.82)$$

бўлади. Солиштирма қаршилик юпқа қатламларда ўлчан- ганда зондлар орасидаги масофанинг ўзгариши билан боғлиқ тасодифий хатолик

$$\delta \approx \frac{\Delta\rho}{\rho} = \frac{\sqrt{5}}{2 \ln 2} \left(2 \frac{\Delta S}{S} \right) \quad (1.83)$$

формула орқали аниқланади.

3. Кучланишини ўлчашдаги хатолик

Тўрт зондли усул билан солиштирма қаршиликни аниқ- лашда кучланишни ўлчашдаги асосий хатолик потенциал зондларининг контакт қаршилиги билан боғлиқдир. Кон- такт қаршилиги германий ва кремнийларда потенциал зондлар орасидаги намуна қаршилигидан $10^3 \div 10^4$ марта катта бўлиши мумкин. Потенциал зондларнинг контакт қаршилигига тушадиган кучланишни йўқотиш учун 2 ва 3 потенциал зондлар орқали ўтадиган токни йўқотиш керак. Бунинг учун кириш (ички) қаршилиги катта бўлган вольтметрлар (электрометрлар) қўлланилади ёки компен- сация усули билан кучланиш ўлчанади.

4. Токнинг киритган хатолиги

Намунадан ток ўтганда у қизийди. Бу эса солиштирма қаршиликнинг ўзгаришига олиб келади. Қаршиликнинг температура коэффициенти кремнийда 0,009 К гача ети-

ши мумкин. Ток зондларининг контакт қаршиликлари натижасида намунада зондлар чизиги бўйича температура градиенти ва потенциал зондларда қўшимча потенциаллар айирмаси (термик электр юритувчи куч) пайдо бўлиши мумкин. Бу хатолик манбанини йўқотиш учун солиштирма қаршиликни аниқлашда токнинг кичик қийматларида ва токнинг икки йўналишида ўлчаш ўтказилади. Бу икки ўлчов натижаларининг ўртачаси олинади. Яримўтказгич намуналарида солиштирма қаршилик аниқлананётганда, унинг қизимаслиги учун солиштирма қаршиликнинг катталигига қараб токнинг маълум бир қийматида (оптималь ток қийматларида) ўлчаш тавсия қилинади. 1.6-жадвалда кремний намуналарининг солиштирма қаршиликларини ўлчашда қўлланилаётган ток қийматлари келтирилган. Шуни айтиб ўтиш керакки, баъзан юқори Ом ли кремний намуналарида ($1000 \div 10000$ Ом. см) токнинг кичик соҳасида ($I > 0,3$ mA) солиштирма қаршиликнинг токка боғлиқлиги кузатилган. Буни кичик ток соҳасида намунада киришмалар текис тарқалмаганлиги — флюктуацияси натижасида пайдо бўлган ички майдоннинг ташки майдондан катталиги билан тушунтириллади. Шунинг учун юқори Ом ли намуналарда ток $1\text{mA} > I > 0,3\text{mA}$ оралиғида ўлчанади, бу билан намунанинг қизиши камайтириллади.

1.6-жадвал

ρ , Ом·см	0,012	$0,008 \div 0,6$	$0,4 \div 60$	$40 \div 1260$	800
I , mA	100	10	1	0,1	0,01

5. Kontakt қаршилиги билан боғлиқ хатолик

Зонд билан яримўтказгич орасидаги контакт қаршилиги тўрт зондли усулнинг қўлланилишини чегараловчи энг асосий омиллардан биридир. Тақиқланган зона кенглиги катта бўлган A_2B_6 ва A_3B_5 турдаги яримўтказгичларда сиқиб қўйиладиган зондлар ҳосил қилган контакт қаршилиги шундай катта бўлиши мумкинки, бунда тўрт зондли усул ишламайди.

Баъзи бир ҳолларда бу қийинчиликни енгишда зарядланган сифимни зонд-яримүтказгич орқали зарядсизлаш кўлланилади, бу билан контактга ишлов берилади. Натижада контакт қаршилиги камайтирилади, металл- яримүтказгич орасидаги потенциал тўсиқ йўқотилади. Контакт қаршилиги билан металл-яримүтказгич орасидаги потенциал тўсиқ билан боғлиқ бўлган хатоликни камайтириш учун металл зондга ишлатиладиган материалнинг қаттиклиги яримүтказгичнидан катта бўлиши керак.

Зонд материаллари сифатида диаметри $D=0,05\pm0,5$ мм бўлган вольфрам, карбид вольфрам симлари ишлатилади. Зондларнинг учлари одатда 45° дан 150° гача бурчак билан чархланади. С2080 маркали зондлар қурилмасида ҳар бир зондга қўйилган куч $1,75\pm0,25$ Н га тўғри келади, зондлар орасидаги масофа $1,3\pm0,01$ мм. С2171, зондлар қурилмасида зондлар орасидаги масофа $0,75\pm0,008$ мм, ҳар бир зондга қўйилган ўртacha сиқиш кучи $0,7\pm0,07$ Н. Бу қурилмалар билан сирт қаршилигини $0,1$ дан 10^5 Ом оралиқда $\pm4,5\%$ хатолик билан ўлчаш мумкин.

6. Солиширма қаршиликнинг температурага боғлиқлиги

Солиширма қаршиликнинг температурага боғлиқлиги билан боғланган мунтазам хатоликларни йўқотиш учун ўлчов вақтида температура назорат қилиб борилади. T — температурада солиширма қаршилик $\rho(T)$ ни билган ҳолда шартли белгиланган T_0 — температурага мос келадиган қийматга

$$\rho(T_0)=\rho(T)[1-C_T(T-T_0)] \quad (1.84)$$

формула орқали келтирилади. Бу ерда: C_T — солиширма қаршиликнинг температура (термик) коэффициенти бўлиб, у яримүтказгичларнинг турига, киришмаларнинг табиатига ва концентрацияларига боғлиқ. $n-p$ — тур кремнийнинг термик коэффициентининг солиширма қаршиликка боғлиқлиги ($291-288$ К температура оралиғида) 1.7-жадвалда келтирилган.

ρ , Ом·см	0,006	0,01	0,1	1	10	100	1000
$C_t(n\text{-тип})$	0,002	-0,00022	0,0486	0,00736	0,00813	0,0083	0,0083
$C_t(p\text{-тип})$	0,0016	0,0031	0,0372	0,00707	0,00825	0,00862	0,009

7. Икки қатламли структураларда ρ ни ўлчашда учрайдиган хатоликлар

Эпитаксиал қатламларнинг солиширма қаршилиги ни аниқлашда уларнинг хусусияти билан боғлиқ бир қанча хатоликлар пайдо бўлиши мумкин. Эпитаксиал қатламда солиширма қаршилик ўлчанаётганда p - n ва n - p структураларда p - n ўтишнинг ҳажмий заряд соҳаси кенгаяди. Эпитаксиал қатламнинг солиширма қаршилиги таглиникнидан катта бўлганда ҳажмий заряд соҳасининг кенгайиши эпитаксиал қатлам томонга бўлади. Бу ҳодисани ҳисобга олмай (1.62) ва (1.63) формулалар билан солиширма қаршилик ҳисобланганда, унинг қиймати орттириб ўлчанганд бўлади. Юқори Ом ли, юпқа эпитаксиал қатламларни ўлчашда бу хатолик $10 \div 20\%$ га етиши мумкин.

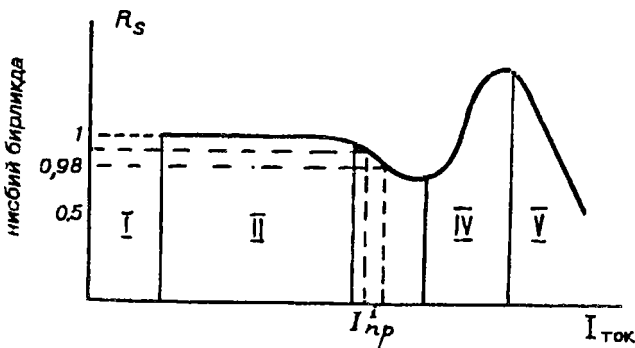
8. Изоляцияловчи p - n ўтиши орқали ток ўтишдаги хатолик

Зондлардан ўтаётган токнинг кўпайиши p - n ўтишга қўйилган тескари кучланишни орттиради, натижада ҳажмий заряд соҳасидаги электр майдон қучланганлиги ўсади. Бу шароитда p - n ўтишини изоляция қилиш хоссаси токнинг маълум қийматигача сақланади. Токнинг катта қийматларида ҳажмий заряд соҳаси орқали таглиқдан ток ўта бошлайди. Аниқланишича, солиширма қаршилиги $0,1 \div 2$ Ом·см, қалинлиги $0,9 \div 4$ мкм n -тип эпитаксиал

қатлам, солишири маңызда $\rho = 10 \text{ Ом} \cdot \text{см}$ p — типли тағлика үтказилған бўлса, унда эпитаксиал қатламнинг қаршилиги ўлчанаётганда $p-n$ ўтиш орқали шунтланмаслиги учун сирт қаршилигининг 5% ўзгариш соҳасида потенциал зондлардаги кучланиш 100 мВ, сирт қаршилигининг 2% ўзгариш соҳасида 50 мВ бўлиши керак.

9. Зондларга қўйилган босим кучининг киритган хатолиги

Юпқа эпитаксиал қатламларнинг солишири маңызда металл зонд билан эпитаксиал қатламнинг тешилиши ва тағлика шунтланиш кучайиши мумкин. Бу ҳодиса содир бўлмаслиги учун зондга қўйилган кучни кичик қилиб танлаш керак. Зондга қўйилган ўртacha кучланиш $0,3 \div 0,03 \text{ Н}$ бўлиши тавсия этилади. Зондга қўйилган кучни бундан кам бўлиши зонд контакт қаршилигини оширади, бу эса ўлчов асблорининг кириш қаршилигини оширишни талаб қиласади. Эпитаксиал қатламларда юқорида кўрилган омиллар унинг сирт қаршилигини токка боғлиқ бўлишига олиб келади (1.17-расм). Бу боғланиш графигини бешта соҳага ажратиш мумкин. 1-соҳада ток ортиши билан сирт қаршилигининг камайиши, зонд яримўтказгич орасидаги потенциал тўсиқнинг камайиши ва потенциал контактлари қаршилигининг

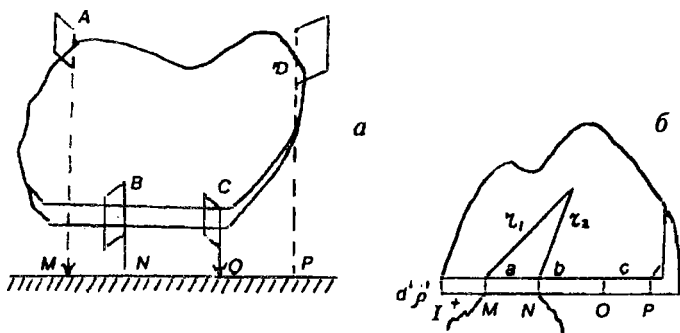


1.17-расм. Эпитаксиал қатламларда сирт қаршилигини зондлардан оқаётган токка боғлиқлиги.

ошиши билан тушунтирилади. Агар $R_{\text{кир}} \gg R_{x_1} + R_{x_2}$ тенгсизлик бажарилмаса R_{x_1} ва R_{x_2} ларнинг токка боғлиқлиги 1-соҳани пайдо қиласди. Агар зондлардаги босим ортирилса ва вольтметрнинг кириш қаршилигининг каттаси олинса, 1-соҳа йўқолиши мумкин. 2-соҳада R_s — сирт қаршилиги токка боғлиқ эмас. Бу соҳада $R_{\text{кир}} \gg R_{x_1} + R_{x_2}$ бўлганда энг катта аниқлик билан солиштирма қаршилик үлчанади. Бу тенгсизлик бажарилмаса, 2-соҳада мунтазам равищда хатолик пайдо бўлиб, у $R_{x_1} + R_{x_2}/R_{\text{кир}}$ катталик билан аниқланади. 3-соҳанинг пайдо бўлиши изоляцияловчи $p-n$ ўтиш орқали ток сирқиши билан боғлиқ. Сирт қаршилигининг ошиши 4-соҳада $p-n$ ўтишнинг ҳажмий заряд соҳаси кенгайиши билан боғлиқ. 5-соҳада R_s -нинг тез камайиши ток (бир қисми)нинг таглик орқали ўтиши шунтланиши билан боғлиқдир.

1.7-§. Ван-дер-Пау усули билан солиштирма қаршиликни ўлчаш

Исталган геометрик шаклга эга бўлган пластина кўринишидаги яrimўтказгичли намуналарнинг солиштирма қаршилигини тўрут зондли усулнинг бир кўриниши бўлган Ван-дер-Пау усули билан ўлчаш мумкин (1.18-расм). Бу усулнинг қулайлиги шундан иборатки, ясси намуна ён



1.18-расм. Ван-дер-Пау усули билан солиштирма қаршиликни ўлчашда чизиқли A, B, C, D контактларни (оригиналда) асл нусхада (a), ясси яrimчексиз пластинада (аксида) M, N, O, P контактларнинг жойланиши (b).

сиртига түртта A , B , C , D нуқтавий (ёки чизиқди) контакт олиниб, A ва B контактлардан ток ўтказилади, C ва D контактлар орасидаги потенциаллар айрмаси ўлчанади. Сўнг эса A ва D контактлардан ток ўтказилади. B ва C контактлар орасидаги кучланиш ўлчаниб

$$R_1 = \frac{U_{CD}}{I_{AB}} = R_{ABCD} \text{ ва } R_2 = \frac{U_{BC}}{I_{AD}} = R_{ADBC}$$

қаршиликлар ҳисобланади. R_1 ва R_2 қаршиликларни билган ҳолда солиштирма қаршилик

$$\rho = \frac{\pi d}{\ln 2} \frac{R_1 + R_2}{2} \cdot f(R_1/R_2) \quad (1.85)$$

формула билан аниқланади. Бу ерда: $f(R_1/R_2)$ — қаршиликлар нисбатига боғлиқ бўлган тузатиш функцияси, d — намунанинг қалинлиги. Тузатиш функцияси

$$ch\left[\frac{R_1/R_2}{R_1/R_2 + 1} \cdot \frac{\ln 2}{f(R_1/R_2)} \right] = \frac{1}{2} \exp\left(\frac{\ln 2}{f(R_1/R_2)} \right) \quad (1.86)$$

тенгламани қаноатлантиради, (R_1/R_2) — нинг ҳар хил қийматларидағи $f(R_1/R_2)$ — нинг натижалари 1.9-жадвалда келтирилган. Жадвал таҳлилидан кўринадики, R_1/R_2 нисбатнинг $0,7 \leq R_1/R_2 \leq 1,5$ оралиғида $f(R_1/R_2) \approx 1$. Тўғри геометрик шаклдаги, масалан, квадрат, доира кўринишидағи намуналарда контактлар симметрик жойлаштирилган ҳолда $R_1=R_2$ ва $f(R_1/R_2)=1$ бўлиб, солиштирма қаршиликни 2% дан кам хатолик билан ўлчаш мумкин. Қаршиликлар нисбати $R_1/R_2 \approx 1$ бўлганда тузатиш функциясини

$$f(R_1/R_2) = 1 + \left(\frac{R_1 - R_2}{R_1 + R_2} \right)^2 \frac{\ln 2}{2} - \left(\frac{R_1 - R_2}{R_1 + R_2} \right)^4 \left[\left(\frac{\ln 2}{2} - \frac{\ln 2}{12} \right)^3 \right] \quad (1.87)$$

билан ҳисоблаш мумкин. Ван-дер-Пау усулининг назарияси конформ акслантириш назариясига асосланган.

Конформ акслантириш назариясига кўра, исталган шаклдаги бир аргумент билан боғланган (односвязанную) ёпик D -соҳани яримчексиз ясси текислик D' — соҳага алмаштириш мумкин. Бунда асл намунанинг (оригиналнинг) A, B, C, D контактларига уларнинг акси бўлган M, N, O, P контактлар мос келади (1.18-расм). Бундай алмаштиришда асл нусхадаги ва намуна акси бўлган яримчексиз ясси пластина контактлари орасидаги кучланиш бир хил бўлади, яъни

$$U = (E \cdot r) = \frac{\rho Ir}{d\pi r} = \frac{\rho' I'}{\pi d'} \frac{r}{r} \quad (1.88)$$

Бу ерда: E электр майдон кучланганлиги

$$E = j\rho = \frac{I}{\pi r d} = \frac{I'}{\pi r d'} = -\frac{d\phi}{dr} \quad (1.88a)$$

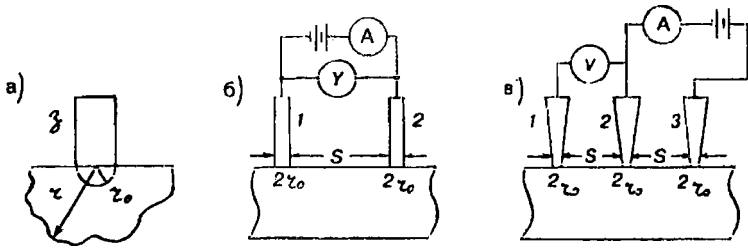
Бу ифода (1.88) дан

$$R_{ABCD} \cdot \frac{d}{\rho} = R_{MNOP} \frac{d'}{\rho'}; \quad R_{ADBC} \cdot \frac{d}{\rho} = R_{NOMP} \frac{d'}{\rho'} \quad (1.89)$$

тенгликларни олиш мумкин. ρ, d — ўлчанаётган намунанинг солиштирма қаршилиги ва қалинлиги. ρ', d' — тасвирнинг солиштирма қаршилиги ва қалинлиги. (1.89) даги тенгликлар конформ алмаштиришга нисбатан инвариантлик хоссасини ифодалайди.

Тасвирни яримчексиз ясси текислик (пластина) кўринишида бўлиши, чизиқли ток манбаларининг ҳосил қилган потенциаллари ва токи цилиндрик симметрия қонуни билан тақсимланишига олиб келади. Шунинг учун чизиқли ток манбаларининг г масофадаги потенциали майдон кучланганлигининг (1.88a) ифодасини интеграллашдан тасвирда жойлашган г масофадаги нуқтанинг потенциали топилади

$$\varphi'(r) = -\frac{I\rho'}{\pi d'} \ln r + A \quad (1.90)$$



1.19-расм. Радиуси r_0 бўлган яримсферик зонд орқали намунадан ток ўтганда потенциал тақсимотни ҳисоблашга чизма (а), намунада тарқалган қаршиликни ўлчашнинг икки (а) ва уч (б) зондли усууллари схемалари.

Биринчи I^+ ток манбаидан r_1 , иккинчи I^- ток манбаидан r_2 масофада бўлган нуқтанинг потенциали (1.18-расм) ток манбаларининг ишораларини ҳисобга олганда (1.90)

$$\begin{aligned}\varphi'(r) = \varphi(r_1) + \varphi(r_2) &= -\frac{I\rho'}{\pi d'} \ln r_1 + \frac{I\rho'}{\pi d'} \ln r_2 + A = \\ &= \frac{I\rho'}{\pi d'} \ln \left(\frac{r_2}{r_1} \right) + A\end{aligned}\quad (1.91)$$

бўлишлигини кўрамиз. Демак, яримчексиз текисликда исталган нуқтадаги потенциални топиш икки ток манбаидан иборат бўлган тизимда потенциални аниқлаш масаласига боғлиқ экан. (1.91) формуладан фойдаланиб, M ва N контактларидан ток ўтганда O ва P контактларда ҳосил қилинган φ_o , φ_p потенциалларни ва улар асосида O ва P контактлар орасидаги потенциаллар айримасининг

$$U_{op} = \varphi_p - \varphi_o = -\frac{I'_{MN}\rho'_n}{\pi d'} \ln \left(\frac{(b+c+a)d}{(a+b)(b+c)} \right) \quad (1.92)$$

ва ундан R_{MNO_P} қаршиликнинг

$$R_{MNO_P} = \frac{U_{op}}{I'_{MN}} = -\frac{\rho'_n}{\pi d'} \ln \left(\frac{b(a+b+c)}{(a+b)(b+c)} \right) \quad (1.93)$$

ифодасини топамиз. A ва D контактлар акси (тасвири) бўлган M ва P контактлардан ток ўтказиб, N ва O контактлардаги потенциаллар (φ_N , φ_O) ни, улар орқали эса O ва N контактлар орасидаги потенциаллар айирмасини

$$U_{ON} = \varphi_O - \varphi_N = -\frac{I'_{MP}\rho'}{\pi d'} \ln\left(\frac{ac}{(a+b)(b+c)}\right) \quad (1.94)$$

ва ундан R_{MPN} қаршиликни аниқлаймиз

$$R_{MPNO} = \frac{U_{ON}}{I'_{MP}} = -\frac{\rho'}{\pi d'} \ln\left(\frac{ac}{(a+b)(b+c)}\right) \quad (1.95)$$

(1.93) ва (1.95) формулалардаги логарифм остидаги ҳадлар йифиндиси бирга тенг бўлишлигини, яъни

$$l^{-\frac{\pi d'}{\rho'} R_{MNP}} + l^{-\frac{\pi d'}{\rho'} R_{MPNO}} = 1 \quad (1.96)$$

ифода билан аниқланишини кўрамиз. Инвариантлик хоссаси (1.89) га кўра тасвиридан оригиналга ўтсак, (1.96) куйидагича бўлади:

$$l^{-\frac{\pi d'}{\rho'} R_1} + l^{-\frac{\pi d'}{\rho'} R_2} = 1 \quad (1.97)$$

(1.97) да R_1 ва R_2 ларнинг ўрнига

$$R_1 = \frac{1}{2}[(R_1 + R_2) + (R_1 - R_2)] \quad (1.98)$$

$$R_2 = \frac{1}{2}[(R_1 + R_2) - (R_1 - R_2)]$$

кўйилса,

$$ch\left[\frac{\pi d}{\rho} \cdot \frac{R_1 - R_2}{2}\right] = \frac{1}{2} \exp\left(\frac{\pi d}{\rho} \cdot \frac{R_1 + R_2}{2}\right) \quad (1.99)$$

кўринишга келади. Бунда

$$\frac{\pi d}{\rho} \cdot \frac{R_1 + R_2}{2} = \frac{\ln 2}{f(R_1/R_2)} \quad (1.100)$$

белгилаш билан (1.99) формулани (1.86) кўринишида бўлган тузатиш функцияси f нинг тенгламасини оламиз. Бу ерда, $f(R_1/R_2)$ қаршиликлар нисбати R_1/R_2 га боғлиқ бўлган (юқорида келтирилган) тузатиш функцияси. (1.100) ифодадан юқорида келтирилган солиширма қаршиликни Ван-дер-Пау усули билан ҳисоблаш формуласи келиб чиқади. Бу усул билан солиширма қаршиликни ўлчашда одатда намунанинг ён сиртида Ом контактлари манипуляторга ўрнатилган тўртта йўналтирувчи учларига ўрнатилган қирраси чархланган тантал, карбид вольфрамнинг пластинкалари контактлаштириб олинади. Ҳар бир зонд намунанинг ён қиррасига пружина билан сиқилади, шу билан бирга, сиқиш кучини бошқариш мумкин. Солиширма қаршиликни Ван-дер-Пау усули билан ўлчашдаги хатолик контакт юзасини катталashiши билан ортиб боради. Диск шаклидаги пластинкаларда контактнинг жойланишига ва ўлчовига боғлиқ хатолик назарий ҳисобланган. Баъзи бир ҳоллар учун хатолик 1.8-жадвалда келтирилган.

Шуни таъкидлаш керакки, бу усулни автоматлаштириш қулайдир. Бу усулга асосланган доира, квадрат, тўғри тўртбурчак шаклидаги қалинлиги $d=80 \div 1000$ мкм, солиширма қаршилиги $\rho=10^{-2} \div 100$ Ом · см оралиқда бўлган пластинкаларнинг солиширма қаршилигини ўлчайдиган автоматик курилма ясалган, намуналарни ρ бўйича 4% хатолик билан 10 та гуруҳга ажратади, солиширма қаршилиги эталондан $\pm 20\%$ га фарқ қилганларини яроқсиз намунага чиқаради.

Энди ρ -ни ўлчашнинг икки комбинацияли тўрт зондли усулини кўрайлик. Кўп ҳолларда яrimётказгич намуналарнинг физик хоссаларини аниқ ўлчаш зарурияти туфилади. Бунга бир жинсли яrimётказгич қатламларда сирт қаршилигини юза бўйича тақсимотини тадқиқот қилишни кўрсатиш мумкин. Баъзан ўлчашнинг тасодифий хатолиги сирт қаршилигининг ўзгаришига тенг бўлиб қолиши мумкин ва текширилаётган намуналарнинг бир жинслилиги тўгрисида мавжуд бўлган маълумотларни олиш мумкин бўлмай қолади.

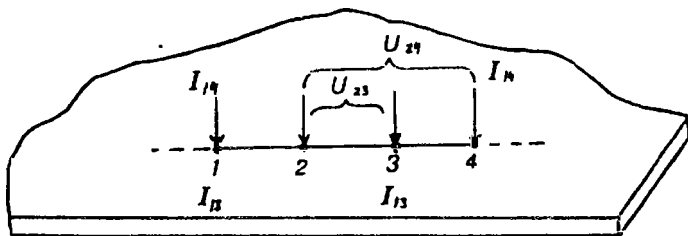
1.8-жадвал

Контакт шакли			
Нисбий хатолик	$0,77(I/D)^2$	$3,09(I/D)^2$	$8,14(I/D)^2$

1.9-жадвал

R_1/R_2	$f(R_1/R_2)$	R_1/R_2	$f(R_1/R_2)$	R_1/R_2	$f(R_1/R_2)$
1	1	4	0,882	12	0,7
1,2	0,995	4,5	0,865	14	0,675
1,4	0,990	5,0	0,847	16	0,650
1,6	0,985	5,5	0,830	18	0,625
1,8	0,975	6,0	0,815	20	0,610
2,0	0,970	7,0	0,800	25	0,57
2,2	0,963	8,0	0,790	30	
2,4	0,955	8,5	0,765	35	
2,6	0,945	9,0	0,757		
2,8	0,935	9,5	0,747		
3,0	0,925	10	0,730		

Тўрт зондли усулларда зондлар орасидаги масофанинг тақрорланмаслигини йўқотиш қийин бўлган тасодифий хатолик манбаларидан бири бу намуна ўлчовларини зондлар жойланишининг таъсирини ҳисобга олган тузатиш функциясининг сон қийматларини аниқлаш билан боғлиқ бўлган хатоликдир. ρ -ни ўлчашда икки комбинацияли тўрт зондли усул кўрсатилган хатоликларни чеклайди.



1.20-расм. Бир чизиқда жойлашган ўзаро масофалари тенг бўлган тўртта зонд билан ρ ни ўлчаш.

Бу усулнинг моҳияти шундан иборатки, бир чизиқда жойлашган, зондлар орасидаги масофалари тенг бўлган тўртта зонд билан икки марта ўлчазилади.

1 ва 4 зондлардан ток ўтказиб, 2 ва 3 зондларда кучланиш ўлчанади. Иккинчи галда 1 ва 3 зондлардан ток ўтказиб, 2 ва 4 зондларда кучланиш ўлчанади (1.20-расм) ва уларга мос келган қаршилик ҳисобланади:

$$R_1 = \frac{U_{21}}{I_{14}}; \quad R_2 = \frac{U_{23}}{I_{13}}$$

Юқорида аниқланганидек, пластина кўринишидаги юпқа намуналарнинг сирт солиштирма қаршилиги (1.62) формула каби

$$\rho_n = \frac{\pi}{\ln 2} \cdot \frac{U_{23}}{I_{14}} = \frac{\pi}{\ln 2} \cdot R_1 \quad (1.101)$$

орқали аниқланади. Агар намуна ўлчамлари чекли ва намуна тўғри геометрик шаклда бўлса, (1.101) га тузатиш функцияси киритилиши лозим бўлади, яъни

$$\rho_n = \frac{\pi}{\ln 2} R_1 G^* \quad (1.102)$$

G^* — тузатиш функцияси. G^* — намуна нинг геометрик ўлчамларига, зондлар чизигининг намуна симметрия

ўқларига нисбатан қандай жойланишига, ток ва потенциал зондларининг қандай уланишига боғлиқ бўлган тузашиб функцияси. Пластина шаклидаги намуналарни бир чизиқда жойлашган тўртта зонд икки қисмга бўлади. Бу намуналарнинг ҳар бирини Ван-дер-Пау усули билан ρ ни ўлчашда намунани (оригинални) конформ акслантирилгани деб қарааш мумкин (1.18-расм). Шунинг учун бу ерда ҳам (1.100) ифода ўринли бўлади. Тўртта зонд бир чизиқда жойлашган доира кўринишидаги пластинкаларда (1.97) га ўхшаш

$$\exp\left(-\frac{2\pi d}{\rho} R_1\right) + \exp\left(-\frac{2\pi d}{\rho} R_2\right) = 1 \quad (1.103)$$

ифодани оламиз. R_1 ва R_2 ларни

$$R_1 = \frac{R_1}{2} \left[\frac{R_1/R_2 + 1}{R_1/R_2} + \frac{R_1/R_2 - 1}{R_1/R_2} \right] \quad (1.104)$$

$$R_2 = \frac{R_2}{2} \left[\frac{R_1/R_2 + 1}{R_1/R_2} - \frac{R_1/R_2 - 1}{R_1/R_2} \right]$$

кўринишда ифодалаб (1.103) га қўйсак,

$$\exp\left[-\frac{\pi d}{\rho} R_1 \left(\frac{R_1/R_2 + 1}{R_1/R_2}\right)\right] ch\left[\frac{\pi d}{\rho} R_1 \left(\frac{R_1/R_2 - 1}{R_1/R_2}\right)\right] = \frac{1}{2} \quad (1.105)$$

формулани оламиз. Агар (1.105) формулага қуйидаги белгилашни киритсак,

$$\frac{\pi d}{\rho} \cdot \frac{R_1/R_2 + 1}{R_1/R_2} \cdot R_1 = \frac{1}{2} \cdot \frac{\ln 2}{f(R_1/R_2)} \quad (1.106)$$

(1.105) ифода қуйидаги кўринишга келади:

$$\frac{1}{2} \exp\left[\frac{\ln 2}{f(R_1/R_2)}\right] = ch\left[\frac{\ln 2}{f(R_1/R_2)} \cdot \frac{R_1/R_2 - 1}{R_1/R_2}\right] \quad (1.107)$$

(1.106) ифодадан солиширма сирт қаршилигини топамиз,

$$\rho_s = R_1 \cdot \frac{\pi}{\ln 2} \left(1 + \frac{1}{R_1/R_2} \right) \cdot f \left(\frac{R_1}{R_2} \right) \quad (1.108)$$

Шундай қилиб, (1.102) даги

$$G^* = f(R_1/R_2) \left(1 + \frac{1}{R_1/R_2} \right) \quad (1.109)$$

кўринишдаги кўпайтма намунанинг геометрик шаклига боғлиқ бўлган тузатиш функциясидир. Тузатиш функциясини шундай кўринишда олишнинг ютуғи шундаки, тузатиш функцияси зондлар орасидаги масофага боғлиқ бўлмайди, бу билан зондлар орасидаги масофанинг такрорланмаслиги билан боғлиқ бўлган тузатиш функциясини ҳисоблашдаги хатоликлар йўқотилади. Тузатиш функцияси $f(R_1/R_2)$ ни 0,05% дан катта бўлмаган хатолик билан $1,2 < R_1/R_2 < 1,32$ оралиқда иккинчи даражали полином кўринишида ифодалаш мумкин:

$$f\left(\frac{R_1}{R_2}\right) \left[1 + \left(\frac{R_1}{R_2}\right)^{-1} \right] = 14,696 + 25,173 \left(\frac{R_1}{R_2}\right) - 7,872 \left(\frac{R_1}{R_2}\right)^2 \quad (1.110)$$

R_1/R_2 ни ўзгариш соҳаси тўрт зондли усул билан аниқладиган

$$R_1/R_2 = \ln 4 / \ln 3 = 1,262$$

қийматга яқин соҳада олинган. Шуни таъкидлаш керакки, агар зондлар чизиги ёки четки зонд пластина четидан қандайдир масофада жойлашган бўлса, (1.110) ифода зонд чизиқларининг исталган йўналишида қўлланилиши мумкин. Пластина четидан ($5S$) масофада зондлар жойлашган бўлса, сирт қаршилигини ҳисоблаганда хатолик 0,1% дан ошмайди. Шу усул асосида автоматлашган, сирт бўйича қадамлаб силжийдиган зондлар қурилмаси ясалган.

1.8-§. Солиширма қаршиликни нүқтавий контактнинг тарқалган (ёйилган) қаршилик усули билан аниқлаш

1. Усул назарияси.

Бу усул яримўтказгич ва унинг (ясси) текис сиртига тик жойлашган зонддан иборат бўлган структура қаршилигини ўлчашга асосланган. Агар металл зонд яримўтказгичнинг ясси сирти билан кичик юзачали Ом контактни ҳосил қиласа, шу контактдан ток ўтказиб ўлчанганд қаршилик тарқалган (ёйилган) қаршилик деб аталади. Яримўтказгичда контакт қаршилиги кичик бўлган катта юзали $S_0 \gg \pi r_0^2$ иккинчи контакт ҳам бор ва у металл зонддан узоқда $l \gg r_0$ катта масофада жойлашган деб фараз қилинади. Бу усул кенг тарқалган бўлиб, бир жинсли яримўтказгичларда, эпитаксиал структураларнинг ҳамма турида, диффузион қатламларда солиширма қаршиликни $10^{-3} \div 10^2$ Ом · см оралиқда ва қаршиликни қалинлик бўйича тақсимотини аниқлашда қўлланилади, унинг афзаликларига яна намунанинг муайян нүқтасидаги кичик ҳажмда қаршиликни ўлчашни кўрсатиш мумкин. Тарқалган қаршилик усулининг назарияси яримчексиз яримўтказгич намуналаридан нүқтавий зонд контакти орқали ток ўтганда ҳосил қилган потенциалнинг тақсимланишига асосланган (1.13а-расм). Маълумки, бундай ҳол учун потенциал тақсимоти (1.21) формула билан аниқланади. Равшанки, зонднинг яримўтказгич билан ҳосил қилган контактининг диаметри $2r_0$ яримшар кўринишида бўлган ҳолида ҳам потенциал тақсимоти (1.21) га ўхшаш бўлади. Контакт радиуси r_0 бўлганда намунадаги икки зонд орасидаги кучланиш тушуви зонднинг электр потенциалига тенг бўлади.

$$U = \varphi(r_0) - \varphi(l) = \left(\frac{I\rho}{2\pi r} \right)_{r=r_0} - \left(\frac{I\rho}{2\pi r} \right)_{r \gg r_0} \approx \frac{I\rho}{2\pi r_0} = \varphi(r_0) \quad (1.111)$$

Агар $r=10r_0$ бўлса, контакт соҳасида қалинлиги $r-r_0$ бўлган қатламнинг кучланиши

$$U = \varphi(r_0) - \varphi(10r_0) = \frac{I\rho}{2\pi} \left(\frac{1}{r_0} - \frac{1}{10r_0} \right) = 0,9 \frac{I\rho}{2\pi r_0} \quad (1.112)$$

бўлади. У намунага тушган тўла кучланишдан 10% кам. Бундан кўринадики, зонддан оқаётган токнинг қийматини асосан контакт соҳасининг қаршилиги аниқлар экан, унинг кўлами контакт радиуси қанча кичик бўлса, у ҳам шунча кичик бўлади. Яримчексиз намуналарда электр потенциалининг тарқалиши қонунидан, тарқалган қаршиликни (1.111) га кўра

$$R_p = \frac{U}{I} = \frac{\rho}{2\pi r_0} \quad (1.113)$$

билин аниқлаш келиб чиқади. Яримўтказгич сиртидаги оксид қатлами ва сирт ўтказувчанигининг структура қаршилигига таъсири кичик бўлса, уни тарқалган қаршилик қиймати сифатида олиш мумкин. Маълумки, зонд ва яримўтказгичларнинг деформацияланишлари туфайли, зонд билан яримўтказгич орасидаги контактнинг ҳақиқий шакли ва ўлчамини аниқлаш жуда қийин. Шу билан бирга, у зонд контакти радиусига материалларнинг механик хоссаларига, зондга қўйилган кучга боғлиқ.

Кўрилаётган усулнинг тўрт зондли усулдан фарқи шундаки, бунда контакт шакли қандайдир r_0 — радиусга эга бўлган ясси айланадан иборат. Икки материалнинг Юнг модулларини ва зондга қўйилган кучни билган ҳолда контактнинг радиусини ҳисоблаш мумкин. Радиуси r_0 бўлган ясси контактнинг яримчексиз намуналарда электр потенциалининг тақсимланиши Лаплас тенгламаси орқали аниқланади. Бундай структура (тузилма)нинг тарқалган қаршилиги

$$R_p = \frac{\rho}{4r_0} \quad (1.114)$$

формула билан топилади.

Тажрибада тарқалган қаршилик одатда икки, уч зондли чизмалар билан ўлчанади (1.206,в-расм). Агар намунада потенциалнинг тарқсимланиши маълум бўлса, у ҳолда

$$R_p = \frac{U(r_0)}{I_{12}} = \frac{U_{12}}{2I_{12}} - \frac{U(S)}{I_{12}}$$

бўлади. Бу ерда: S — зондлар орасидаги масофа, $U(r_0)$ — зонддаги потенциаллар. $S > r_0$ бўлганда $U(S) \rightarrow 0$, $R_p = U_{12}/2I_{12}$ ўлчанган структура қаршилиги

$$R_{y\pi} = \frac{U_{12}}{I_{12}} = 2R_p = \frac{\rho}{2r_0} \quad (1.115)$$

бўлади. Бу ерда, $U(S)/I_{12}$ — барьер қаршилиги.

Уч зондли усул билан ўлчангандага 2 ва 3 зондлардан ток ўтказиб, 1 ва 2 зондлардан кириш қаршилиги катта бўлган вольтметрда кучланиш ўлчанади. Бу билан 3 зонд kontaktига тушган кучланиш йўқотилади ва ўртадаги 2 kontaktнинг тарқалган қаршилиги ўлчанади:

$$R_p = \frac{U_{21}}{I_{23}} + \frac{U(S)}{I_{23}} + \frac{U(2S)}{I_{23}} \quad (1.116)$$

Уч зондли чизма билан ўлчангандага зондларнинг бир хил бўлиши талаб этилмайди, лекин бир қанча сабаблар борки, металл-яримтўтказгич структураларидағи қаршиликни идеал структуралардаги тарқалган қаршиликдан фарқли бўлишига олиб келади.

Металл-яримтўтказгич орасида потенциал тўсиқ пайдо бўлса, яъни уларнинг чиқиши ишлари ҳар хил бўлган A_u/A_m ҳолда заряд ташувчилик билан бойиган ёки камбағаллашган қатлам ҳосил қиласди. Омик бўлмаган kontaktдан ток ўтганда, кучланишнинг тескари йўналишида потенциал тўсиқ соҳаси қатламишининг қаршилиги ортади, кучланишнинг тўғри йўналишида инжекция туфайли kontakt қаршилиги камаяди. Булар билан бир қаторда kontaktдан ток ўтганда kontakt соҳасининг қизиши, термо Э Ю К ҳосил бўлиши қаршиликнинг ўзгаришига олиб келади. Қаршиликнинг ўзгаришига олиб келадиган сабаблардан яна бирини кўрсатиш мумкин. Kontaktнинг кичик юзачага эга бўлиши ва kontakt соҳасида электр майдони кучланганлигини катта бўлишилиги ҳаракатчанликнинг камайишига, яъни қаршиликнинг ўзгаришига олиб келиши мумкин. Бу кўрилган ҳодисалар тарқалган қаршиликни ҳисоблашда қабул қилинган яримтўтказгичнинг бир жинсли ва Ом kontaktли бўлсин деб қабул қилинган фаразлар-

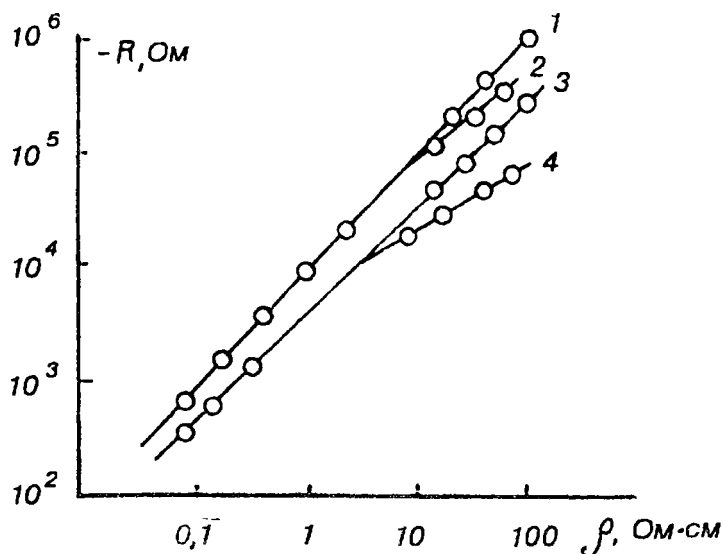
нинг бузилишига олиб келади. Шунинг учун структуранинг тарқалган қаршилиги ҳақиқий қиймати (1.115) га мос тушади деб кутиш қийин.

Тарқалган қаршиликни кичик токларда ($10^{-7} \div 10^{-2} A$), кичик кучланишларда ($U=kT/e$) ўлчаш билан юқорида қайд этилган баъзи бир ҳодисаларнинг таъсирини камайтириш-минимумга келтириш мумкин. Ҳисоблашларнинг кўрсатишича, кремний намуналарида зонд контакти радиуси 4 мкм, кучланиш $U \leq 15$ мВ бўлганда контакт соҳаси температурасининг ўзгариши $0,1^{\circ}\text{C}$ дан ортмайди, электр майдон кучланганлиги заряд ташувчилар ҳаракатчанлигининг майдонга боғлиқлик соҳасидан кичик ($E < 10^3 \div 10^4$ В/см) бўлади. Юпқа, қаршилиги катта намуналарда сирт ҳолатлари ҳосил қилган сирт ўтказувчанликнинг тарқалган қаршиликка таъсири қўйилган кучланишни камайтиргани билан йўқолмайди, шунинг учун ўлчангандан структура қаршилиги (1.115) дан фарқ қиласди. У ҳолда эмперик коэффициент $K(\rho)$ орқали ўлчангандан структура қаршилиги қўйидагича ифодаланади:

$$R_{y_{\text{лч}}} = K(\rho) \frac{\rho}{4r_0} \quad (1.116,6)$$

Бу ҳодисалар контакт радиусининг ҳақиқий қийматини тўғридан-тўғри аниқлаш мумкин эмаслиги, тарқалган қаршиликни солиштирма қаршилиги аниқ бўлган (этalon) намуналардан фойдаланиб даражалаш заруриятини туғдиради, яъни, $R_{y_{\text{лч}}} = f(\rho)$ боғланишни топиш керак бўлади. Ўлчов натижалари аниқ ва такрорланувчан бўлиши учун солиштирма қаршилиги ўлчанаётган ва этalon намуналарнинг сирти бир хил ишловдан ўтиши ва унинг сифати сирт ишловининг маълум стандарт талабига жавоб бериши керак. Зонд манипулятори тузилиши ва зонд ўлчами kontakt юзасининг хар доим бирдай бўлишини таъминлаши керак. Кўп ҳолларда зондлар сифатида учига осмийдан яримшар кўринишида қопланган қаттиқ материаллар, рутений қотишмаларининг симлари ишлатилади. Зондлар учидаги яримшар кўринишидаги осмийдан иборат пойнак (учлик)нинг радиуси 25 мкм чамасида бўлганда, kontakt радиуси тахминан 4 мкм ни ташкил этади. Пойнакка юқори аниқликда ишлов берилади. Кон-

тект хоссаларининг такрорланиши учун зондларга қўйилган кучланиш, яъни юза бирлигига қўйилган куч $10^2 \div 10^4$ Н/см² оралиқда ўзгаради. Бунда зондга қўйилган юк бир хил сақланиши ва зондларни оҳиста тик кўтарилишига эришиш керак. Юқорида келтирилган босим зондлар намуна сиртидаги оксид қатламни тешишга етарли бўлган қониқарли Ом контакти ҳосил қиласди. Бу усул билан ажратилган муайян жойдаги, асосан қалинлиги бир неча контакт радиуси (r_0) га тенг бўлган қатламнинг тарқалган қаршилигини, яъни солиштирма қаршиликни ўлчаш мумкин. Фазовий ажратиш қобилияти тахминан контакт диаметри (10 мкм)га тенг. Солиштирма қаршилик ўлчанаётган соҳанинг ҳажми $10^{-10} \div 10^{-11}$ см⁻³ тартибида бўлсин. Бу ҳолат кремнийда ва бошқа яримўтказгич намуналарида солиштирма қаршиликнинг сирт ва қалинлик бўйича флюктуациясини ўрганишга имкон беради. Солиштирма қаршиликни ўлчащдаги хатоликлар яримўтказгич билан зонд орасидаги масофани контакт ўлчамини ҳар хил бўлишидан, оксидланган қатламнинг (парданинг) қатнашишидан, контакт соҳасининг қизишидан, ҳаракатчанликнинг кучли электр майдонида камайиши билан содир бўлиши мумкин. Солиштирма қаршилиги катта намуналарда сирт соҳасида бўладиган ҳажмий заряд соҳасининг ва вақт бўйича сирт потенциалининг ўзгариши кучли таъсир кўрсатиши мумкин. Ҳар хил яримўтказгичлар учун уларнинг сиртига ишлов бериш, намунани даражалашга тайёрлаш ва ўлчащдаги шарт-шароитларнинг таклифлари ишлаб чиқилган. Кремний намуналарини ўлчашга ва (ко-либровка) даражалашга тайёрлаш учун қуидаги ишлов ўтказилиши тавсия этилади. Кремний намуналарини кесгандан сўнг калий ишқорида (КОН) 100°C да 10 минут қайнатиб, икки томонидан тахминан 15 мкм қатлам едириб юборилади, сўнг унга механик кимёвий сайқал бериб 25—35 мкм чамасида қатлам олиб ташланади, сўнг пероксид-аммиак эритмасида ювилиб, ҳавода 150°C да 15 минут ушланади. Шу усул билан ишловдан ўтган намуналарда ишонч эҳтимоллиги 0,95 бўлгани ҳолда қаршиликни ўлчащдаги хатолик 3,5% дан ошмайди. Бундан ташқари, кремний намуналарида яхши натижаларга эришиш учун кетма-кет икки технологик босқични ўз ичига олган ишлов қўлланилади: олмос пастаси АП—2 билан силлиқ-

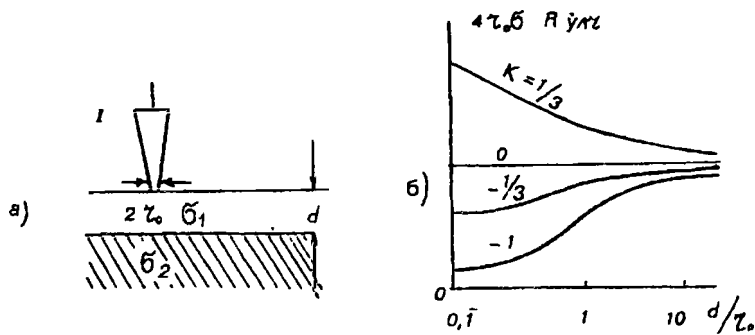


1.21-расм. Сирти ҳар хил ишланган намуналарда тарқалған қаршиликті солиши тиң мағниттегі қаршиликтікка бояланиши: 1,2 — механик сайқалланган; 3,4 — HCl буғида едириш; 2,4 — HF кислотада ишловдан кейинги намуналар учун.

лаш, сўнг ишқорли эритмага SiO_2 кукуни солинган суспензияда ялтиратилади, яъни сайқал берилади ёки водород хлорид (HCl) кислотаси буғида сиртни едириш учун фойдаланилади. Бу усул билан ишланган намуналарда (1.21-расм) солиши тиң қаршиликтік $0,001 \div 10$ Ом · см оралықда ўлчангандан ва ишонч эхтимоли 0,95 бўлганда хатолик 5% дан ошмайди. Арсенид галлий ($GaAs$) намуналарида сирт ишловига кўйилган талаб оксид қатламини олиб ташлаш ва ўлчаш вақтида унинг йўқлигини текшириш ҳисобланади, чунки оксидланган парда бўлганда контакт қаршилиги жуда ортиб кетади. Охирги ишлов босқичида заррачасининг катталиги 0,3 мкм бўлган кукунсимон Al_2O_3 билан сайқал бериш ва $HCl : H_2O = 1 : 1$ нисбатда бўлган эритмада ёки 40% HF да кимёвий ишлов бериш ва тоза дистилланган сувда ювиш, ишловдан сўнг тез ўлчов ўтказиш тавсия этилади.

2. Солиширма қаршиликтинг қалинлик бўйича тақсомотини ўлчаши.

Нуқтавий контактнинг тарқалган қаршиликтинг усули бир жинсли бўлмаган намуналарда, диффузион, эпитаксиал қатламларда солиширма қаршиликтин қалинлик бўйича аниқлашда ҳам қўлланилиши мумкин. Бунинг учун ўлчов намуна сиртини кимёвий ёки қуқунсимон моддалар пастасида кетма-кет едириш, яъни, қалинликни камайтириш усули билан ёки бир томонга нишаб ясси сирт ҳосил қилиш усули орқали ўтказилади. Иккинчи усул билан ўлчашада горизонтал x — ўқи бўйича силжитиб ўлчанганд қаршиликтин ($R(x)$) чуқурлик бўйича бўлган қаршиликтин $R(y)$ га келтирилади. Қатлам қалинлиги у горизонтал x кордината орқали $y = x \operatorname{tg} \alpha$ ифода билан топилади. Бу ерда, α — намунанинг горизонтал сирти билан бир томонга нишаб сирти орасидаги бурчак. Чуқур диффузион қатламларнинг солиширма қаршилигини ўлчашда томонларининг нисбати $1 : 100$, саёз диффузион қатламларнинг солиширма қаршилигини ўлчашда томонларининг нисбати $1 : 1000$ бўлган қия сирт тайёрланади ($d = y : x = 1 : 1000$). Эпитаксиал структураларда нуқтавий контактнинг тарқалган қаршилигига тагликнинг таъсири тузатиш функцияси



1.22-расм. Бир жинсли бўлмаган намунанинг бир қатламили модели

(a), параметр $K = \frac{\sigma_1 - \sigma_2}{\sigma_1 + \sigma_2}$ нинг ҳар хил қийматидаги тузатиш функцияси $f(K, \frac{d}{r_0}) = 4r_0 s_i R_{y_{\text{нн}}}$ нинг $\left(\frac{d}{r_0}\right)$ га боғлиқлик графиги.

орқали ҳисобга олинади. Бир жинсли бўлмаган намуна-ларнинг бир қатламли моделини кўрамиз. Энг содда кўри-нишдаги қатламда қалинлик бўйича солиштирма қарши-лик ҳар хил бўлса, берилган қалинликда у бир жинсли қатлам, структура эса икки қатламли структура деб қара-лади. Қалинлиги d , солиштирма ўтказувчанлиги σ_1 қат-ламда радиуси r_0 бўлган Ом контакти жойлашган (1.22-расм). Иккинчи қатлам тагликнинг юқори қатлами билан бир хил типдаги ўтказувчанликка эга бўлсин. Унинг ўтказувчанлиги σ_2 қалинлиги етарлича катта бўлсин, у ҳолда тагликни ярим чексиз намуна деб ҳисоблаш мум-кин бўлади. Юқори қатламдаги электр потенциали φ_1 таг-ликдаги φ_2 Лаплас тенгламасини қаноатлантиради. Бунда чегаравий шартни куйидагича таърифлаш мумкин.

Металл-ярим ўтказгич контактида потенциал ўзгармас, қатламнинг юқори сиртида токнинг нормал ташкил этув-чиси нолга teng, қатлам билан таглик чегарасида ток ва потенциал узлуксиз бўлади. Бу шартлар қатлам ва таглик бир жинсли ва чегарада ҳажмий заряд йўқ деган фаразга тўғри келади. Бир жинсли бўлмаган намуна нинг бир қат-ламли модели бўйича Лаплас тенгламасини ечиш билан қатламдаги ҳамда тагликдаги электр потенциаллар (φ_1, φ_2) тақсимотини топиш ва улар асосида контактнинг тар-қалган қаршилигини тузатиш функцияси орқали ҳисоб-лаш мумкин. 1.226-расмда тузатиш функциясининг

$$f(K_1 d/r_0 = U r_0 \sigma_1 R_{y_{\text{пр}}})$$

$K=\sigma_1-\sigma_2/\sigma_1+\sigma_2$ параметрнинг ҳар хил қийматларида d/r_0 нисбатта боғланиши келтирилган. Бу ерда: σ_1 — ўлчани-ши керак бўлган қатламнинг солиштирма ўтказувчанли-ги, σ_2 — қиймати аниқ бўлган тагликнинг солиштирма ўтказувчанлиги. $\sigma_1=\sigma_2$ бўлганда $K=0$, намуна эса бир жинс-ли ярим чексиз ҳажмга эга бўлади. Шунинг учун

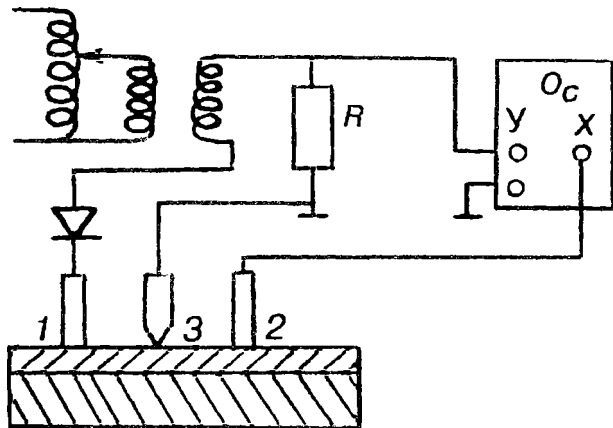
$$f(0, d/r_0) = 1$$

бўлади. Агар $r_0 > d$ бўлса, қатламнинг ва тагликнинг со-лиштирма ўтказувчанликлари бир-биридан катта фарқ-ланса, тузатиш функциялари бирдан жуда кўп фарқ қила-ди. Агар контакт радиуси қалинликдан кичик бўлса ($r_0 < d$),

түнгизи ш функцияси ўтказувчанликларнинг исталган қиймларидаги бирга яқин бўлади. Солиширма қаршиликни гарқаулган қаршилик усули билан ўлчашда бир жинсли бўлмаган намуналар учун тузатиш функциясини киригини ва электрон ҳисоблаш машиналарида ҳисоблаш билан боғлиқ бўлган қийинчиликларга қарамасдан, бу усул қилинлик бўйича солиширма қаршиликни аниқлашда қулаидир. Шунингдек, бу усулда қатлам қалинлиги ва унинг солиширма қаршилигига оид муҳим чеклашлар мажуд эмас. Юқорида келтирилган солиширма қаршиликни ўлчашдаги мулоҳазалардан кўринадики, уларни ўлчашдаги хатоликларнинг энг катта ташкил этувчилари контракт юзасини ҳар бир ўлчашда такрорланмаслиги, контактларни Ом контакти бўлмаслиги, сирт ишловига боғлиқлиги, ҳажмий заряднинг таъсири билан боғлангандир.

1.9-§. Солиширма қаршиликни металл-яrimётказгич нуқтавий контактининг тешилиш кучланиши бўйича ўлчаш усули

Солиширма қаршилиги ρ тагликникидан катта бўлган эпитетаксиал қатламларда (pp^+ , pr^+ — структураларда) солиширма қаршилик металл-яrimётказгич нуқтавий kontaktининг (диоднинг) тешилиш кучланиши орқали аниқланиши мумкин. Усулни бир жинсли намуналарга, pP^+ , r^+p , $p-n$ эпитетаксиал структураларга ҳам қўллаш мумкин. Лекин уни метрологик кўрсаткичлари бошқа усулларга нисбатан пастроқ бўлгани учун сўнгти туркум намуналарда ρ — ни ўлчашга кенг қўлланилмади. Кўрилаётган усул билан ρ — ни аниқлашда намуна сиртига учта зонд жойлаштирилади (1.23-расм). Зонд материалининг шакли шундай танланиши керакки, бунда 1 ва 2-зондлар контактлари Ом контактига яқин бўлиб, контакт қаршилиги кичик бўлсин, 3-зонд эса контакт яrimётказгич билан нуқтавий диод ҳосил қиласин. 1 ва 3-зондларга кутбланиши диоднинг тескари йўналишига мос келадиган пульсацияланувчан кучланиш берилади, 2 ва 3-зондлардан кучланиш, R — қаршилик ёрдамида диоддан ўтаётган ток ўлчанади. Диоднинг вольт-ампер характеристика (тавсифи)си кириш қаршилиги катта бўлган осциллографда кўрилади ва те-



1.23-расм. Металл-яримұтказгичли структураларда нүқтавий контактнинг тешилиш кучланиши бүйіча солишиштірма қаршиликни үлчаш схемаси (а), ВАХни тескари кучланиш соҳаси (б).

шилиш кучланиши соҳасидаги бурилиш нүқтаси қайд қилинади ($U_{\text{теш}}$). Зондни құллаш билан 1 зонд контакт қаршилигининг таъсири йўқотилади.

Амалий тадқиқотлар нүқтавий диоднинг тешилиш кучланиши күп омилларга, масалан, тешилиш кучланишининг ўтказувчанлик типига, зондга қўйилған кучланишга (босим кучига), контакт юзасига, сирт ишловига боғлиқлигини кўрсатади. Бу боғланишларни мукаммал ёритган нүқтавий диод назарияси ва тешилиш кучланишини солишиштірма қаршилик билан боғлаган аналитик ифодаси йўқ. Демак, кўрилаётган усул билан ρ ни тўғридан-тўғри үлчов ўтказиш орқали аниқлаб бўлмайди. Шу сабабли ρ ни аниқлашда солишиштірма қаршиликлари маълум бўлган (этalon) намуналар ёрдамида $U_{\text{теш}} = f(r)$ боғланишни даражалаш графиги олиниб, ундан фойдаланиш тақозо этилади. Яримұтказгичлар солишиштірма қаршилиги 0,1 дан 10 Ом. см гача бўлган оралиқда нүқтавий диодларда тешилиш кучланишининг ρ га боғлиқлик (даражалаш) графиги

$$U_{\text{теш}} = A\rho^b \quad (1.117)$$

қўринишида ифодаланади. Бу ерда: A , b — яримўтказгич, юнди материалларига ва бир қанча юқорида келтирилган омишларга боғлиқ коэффициентлар. Солиширма қаршилиги $0,08 \leq \rho \leq 4$ Ом. см бўлган n -тип кремний намуналар билан вольфрам зонди ҳосил қилган нуқтавий диодда тешнилиш кучланиши қўйидаги қўринища ҳисобланади:

$$U_{\text{теш}} = 92\rho^{0,57} \quad (1.118)$$

Бу боғланиш 1 ва 2 зондларга диаметри 250 мкм, 3 зондга юса диаметри 60 мкм бўлган вольфрам қўллаш билан олингани. Усулни кремний эпитаксиал структураларига қўллаш буйича ўтказилган текширишларга кўра эпитаксиал қатламларда ишончли натижалар олиш учун қатламнинг солиштирма қаршилиги $0,1 \leq \rho \leq 1$ Ом. см оралиқда бўлишлини, қалинлиги 5 мкм дан кам бўлмаслиги мақсадга муноифидир. ρ нинг қўйи чегараси ВАХни тешнилиш соҳасидаги қўринишининг ёмонлашиши, яъни тешнилиш соҳасида бурилишнинг аниқ намоён бўлмаслиги билан, юқори чегараси катта тескари кучланища тагликка томон силжиб, қатлам орқали тешнилиши билан тушунтирилади. $n-n^+$ эпитаксиал структураларда n -қатламнинг солиштирма қаршилигини аниқлашда даражалаш графиги

$$U_{\text{теш}} = 68,39 + \rho^{0,536} + 21,23\rho^{0,877} \quad (1.119)$$

қўринища ифодаланган муносабатдан фойдаланиш тавсия этилади. Зонд материалларининг $U_{\text{теш}} = f(\rho)$ га таъсирини ўрганишда пўлат, вольфрам, осмий қўлланилган. n -тип кремнийда зонд материалларининг таъсири катта эмаслиги аниқланган. Зонддаги босим кучининг тешнилиш кучланишининг қийматига таъсири кучлироқдир. Босим кучини 10 г дан 100 г гача ўзгариш этalon mono-kristall намуналарда 10%, эпитаксиал қатламларда 20% камайишга олиб келган. Кремний намуналаридағи қони-қарли натижалар зондга 50 г куч қўйилганда учининг диаметри 250 мкм бўлган осмий зонд қўллаш билан олинган. Эпитаксиал қатламларда оғиш бурчаги 1° бўлган қия текислик ҳосил қилиб, солиширма қаршиликнинг қалинлик бўйича тақсимотини ўрганиш мумкин. Икки ҳафта-

гача сақланган намуналарда ўзгармас ток билан ВАХ ни ўлчаш қўлланилганда натижаларнинг такрорланиши 5%, қисқа муддатда сақланган намуналарда 1% га етади. nn^+ , pp^+ — эпитаксиал қатлам солиширима қаршилигини аниқлашда нуқтавий диод ҳосил қилувчи зондга вольфрам, Ом контакtlари ҳосил қилувчи зондларга пўлат лезвия қўлланилган. Зондга босим кучи 1 г дан 10 г гача ўзгарганда даражалаш графиги

$$U_{\text{теш}} = rE_{\max} + \frac{r}{2\varepsilon\varepsilon_0\mu\rho_0} \left[2 - \sqrt[3]{r(3\varepsilon\varepsilon_0\mu\rho E_{\max} + r)^2} \right] \quad (1.120)$$

назарий муносабат билан аниқланиши кузатилган. Бу ерда: $E_{\max} = 210$ кВ/см; $\varepsilon = 16$; $r = 13$ мкм; μ — ҳаракатчанлик. Сирти охирги босқичда 5г $HF + 8\text{г} HNO_3 + 15\text{г} CH_3COOH$ — кислоталар аралашмасида кимёвий сайқалланган, солиширима қаршилиги тўрт зондли усул билан ўлчанган германий намуналари ёрдамида даражалаш графиги олинган. ρ 15% гача хатолик билан ўлчанган бу усулнинг хатолиги, даражалаш графигини олишдаги хатоликлардан иборатdir. Арсенид галийли nn^+ , pp^+ эпитаксиал структураларда қатламнинг солиширима қаршилигини, монокристалл намуналар солиширима қаршилигини ўлчаш учун диаметри 3 мм бўлган карбид вольфрам таёқчадан уни 30° бурчак остида, диаметри 225 мкм гача чархланган зонд ишлатилиб, унга қўйилган босим кучи 200 дина бўлган ҳолда олинган даражалаш графиги намунада заряд ташувчиларнинг концентрацияси $10^{15} \leq n \leq 10^{19}$ см⁻³ гача бўлган оралықда ўзгарганда

n — тип $GaAs$ учун $U_{\text{теш}} = 100(n/10^{15})^{-0.372}$

p — тип $GaAs$ учун $U_{\text{теш}} = 75(p/10^{15})^{-0.338}$

билан аниқланиши кўрсатилган. Даражалаш графиги 6 тадан Холл контакти олинган ва улар орқали n , p — аниқланган намуналар ёрдамида аниқланган.

Усулнинг хатоликлари тўғрисида қисқача тўхтalamиз. Усулнинг асосий хатоликлари икки омил билан тешишиш кучланишини ўлчашдаги ва этalon ҳамда текшириладиган намуналар сиртининг ишлови бир хил бўлмаслигидан ҳосил бўлган хатоликлар билан аниқланади. $U_{\text{теш}}$ ни аниқ ўлчаш учун ВАХ нинг тешилиш соҳасидаги бу-

рилиши кескин бўлиши керак. Бунга зонд, яримўтказгич материалларини, зондлар шаклини, унга қўйилган босим кучини танлаш билан эришилади. Потенциал тўсиқ ҳосил қилган контактнинг қаршилиги катта бўлиши керак. Зондлар уни диаметри $25 \div 100$ мкм оралиқда бўлади. Зондга қўйилган босим ошиши билан ρ камаяди. Босим кучи ортганда, зонд учларининг эластик ва пластик деформацияланиши туфайли, уларнинг контакт юзаси катталашади ва натижада тешилиш кучланишининг камайишига олиб келади. Зонд контакт юзаларининг такрорланмаслиги билан боғлиқ тасодифий хатоликларни камайтириш учун потенциал тўсиқ ҳосил қиладиган зонд-қаттиқ металл ёки қаттиқ қотишмалар, масалан, вольфрам, карбид-вольфрам, пўлат, осмий, родийлар ишлатилади.

Ўлчаш ва даражалаш пайтида зондларга қўйилган босим кучлари бир хил қилиб олинади: оқибатда, ўлчов натижаларининг бир-бирига яхши яқинлашиши таъминланади. Ўлчов зондига (нуқтавий диодга) қўйилган оптимал кучланиш $0,2 \div 0,4$ Н оралиғида ётади, ёрдамчи контакт қаршилигининг $U_{\text{теш}}$ га таъсирини камайтириш учун уларга қўйилган босим кучи $0,5$ дан 1 Н гача орттирилади, ўлчаш пайтида потенциал тўсиқ соҳасида 1 Вт гача қувват ажрапиши мумкин ва у контакт соҳасининг кучли қизишига олиб келиши мумкин. Шунинг учун тешилиш кучланишининг қиймати ўлчаш усулига боғлиқ. Контактда ажрапидиган қувватни камайтириш учун ўлчовни импульс режимда ўтказиш тавсия этилади. Импульс давомийлигининг камайиши билан U_T ортади. Тасодифий ва мунтазам хатоликлар этalon намуналар билан текшириладиган намуналар сиртининг ишловига боғлиқ. Одатда даражалаш графиги пластина шаклидаги монокристалл намуналарда ўтказилади, шунинг учун уларнинг сирти механик ёки кимёвий усул билан сайқалланади, эпитаксиал қатламда эса сирт ҳеч қандай ишловдан ўтмайди. Этalon намуна сиртини эпитаксиал қатлам сиртига яқинлаштириш учун HCl буғида едириш тавсия этилади, бу билан эталондаги сирт ишлов технология жараёни эпитаксиал қатлам ўстириш жараёнига яқинлаштирилади.

Тажрибада кузатилган даражалаш графигини ифодаловчи (1.117) формулада коэффициент (b) нинг $0,51$ дан $0,66$

гача ўзгариши ўлчаш натижаларига таъсир қилувчи қўп омиллар билан тушунтирилади, шунинг учун усулнинг хатолиги тўғридан-тўғри ρ ни ўлчаш усулларига нисбатан катта. Кўпгина муаллифларнинг кўрсатишларича, у 10% дан 70% гача етади. Статистик текширишлардан маълум бўлишича, усулнинг тасодифий хатолиги ишонч эҳтимоллиги 0,95% бўлганда солиштирма қаршилиги $\rho=0,1 \text{ Ом} \cdot \text{см}$ намуналарда 54%, $\rho=1,0 \text{ Ом} \cdot \text{см}$ учун 40%, $\rho=5 \text{ Ом} \cdot \text{см}$ учун эса 70% га тенг.

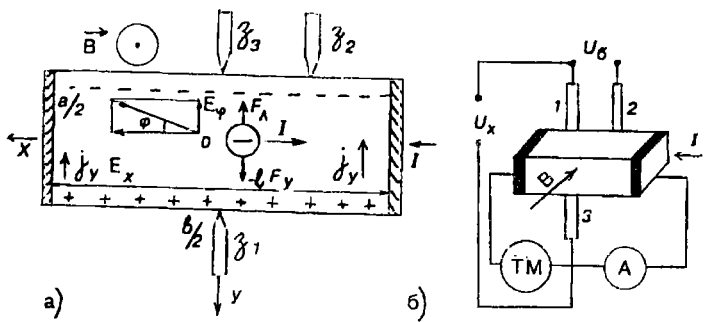
ЗАРЯД ТАШУВЧИЛАР КОНЦЕНТРАЦИЯСИ ВА ҲАРАКАТЧАНЛИГИНИ ЎЛЧАШ УСУЛЛАРИ

Эркин заряд ташувчилар (электронлар, каваклар) концентрацияси (n , p)ни ва ҳаракатчанлик (μ_p , μ_n)ни ўлчашнинг бир қанча усуллари мавжуд. У ёки бу усулнинг қўлланини уларнинг метрологик ҳарактеристикасига, ўлчанаётган параметрларни тушунтириш маълумотларга бойлиги, ўлчаш усулларининг физик асослари, намунанинг электрофизик хоссалари, геометрик шакли ва ўлчамларига боғлиқ. Ўлчаш усулини танлашда булардан ташқари ускуналарнинг техник мураккаблиги, физик катталикларни ўлчашдаги хатоликларни назарда тутиш керак. Заряд ташувчилар концентрацияси ва ҳаракатчанлигини ўлчаш усуллари ичida кенг тарқалгани Холл эффиқтига асосланган усулдир. Бу усул билан яримўтказгич намунада μ_p ни ўлчашдан ташқари, электр ўтказувчаник типини ҳам аниқлаш мумкин. Заряд ташувчилар концентрацияси ва ҳаракатчанлигини температурага боғлиқлигини ўлчаб, тақиқланган зона кенглигини, киришмаларнинг маҳаллий энергетик сатҳлари, ионизация энергияси, киришма атомларнинг концентрацияси ва заряд ташувчиларнинг сочилиши механизмларини аниқлаш мумкин.

2.1-§. Холл эффиқти ёрдамида заряд ташувчиларнинг концентрацияси ва ҳаракатчанлигини ўлчаш усуллари

a) Холл электр юритувчи кучи

Холл эффиқти яримўтказгич намуналарда уларга электр ва магнит майдонларининг бир вақтдаги таъсиридан вужудга келади. x ўқи йўналишида (намуна бўйи бўйлаб)



2.1-расм. Холл электр юритувчи кучининг пайдо бўлишини тушинтиришга чизма (а) ва Холл эффиқтини ўлчаш схемаси (б)

оқаётган параллелепипед шаклидаги намунани унга тик z ўқи бўйича йўналган магнит майдонига киритганда, намунада магнит ҳамда ток I йўналишига тик бўлган z ўқи йўналишида кўндаланг электр юритувчи куч (ЭЮ К) ҳосил бўлишига Холл эффиқти деб аталади (2.1-расм). Бу эффиқтнинг моҳиятини қисқача кўриб чиқайлик. Узунлиги a , эни b , қалинлиги d бўлган намуна берилган бўлсин. x ўқи бўйича I_x ток ўтаётган намунани z ўқи бўйича йўналган магнит майдонга тик қилиб ўрнатганда x — ўқи бўйича $V_x = -\mu_n E$ ўртacha дрейф тезлик билан ҳаракатланаётган электрон Лоренц кучи

$$F = -e[V_x \vec{B}] \quad (2.1)$$

таъсирида x ва z ўқларига тик бўлган y — ўқи йўналишига бурилади (оғади). Электрон ва кавакларнинг дрейф тезликларининг йўналиши ва заряд ишоралари ҳар хил бўлгани учун улар намунанинг фақат бир томонига оғади. Шундай қилиб, намунада y — ўқи йўналишида кўндаланг

$$I_y = I_{ny} + I_{py} \quad (2.2)$$

ток пайдо бўлади. Намунанинг y — ўқи йўналишидаги ўлчами чекланган ҳолда I_y — ток намуна устки сиртида (расмда келтирилган ҳол учун) заряд ташувчиларнинг тўпланишига, остки қисмида эса уларнинг ишораларига

тескари ишорали етишмаган зарядлар түпланишига олиб келади. Натижада намунанинг остки ва устки томонлари қарама-қарши зарядланади ва кўндаланг Холл электр майдонининг ошиб бориши унинг заряд ташувчиларга (электрон ёки кавакка) таъсир кучи ($F = eE$) Лоренц кучига ва кўндаланг I_y — ток нолга teng бўлгунча давом этади. Натижавий электр майдон кучланганлиги (\vec{E}) x — ўқига нисбатан магнит майдон индукцияси B_z га пропорционал бўлган Холл бурчакка оғади

$$\operatorname{tg} \psi_H = \frac{E_y}{E_x} = \mu_H \cdot B_z \quad (2.3)$$

бу ерда: μ_H — ҳаракатчанлик бирлиги билан ўлчанадиган пропорционаллик коэффициенти. У Холл ҳаракатчанлиги деб юритилади. Заряд ташувчиларнинг Холл ҳаракатчанлиги электр ўтказувчанликни ($\sigma = e\mu_H$) аниқловчи микроскопик ҳаракатчанлиқдан фарқ қиласди. Қаттиқ жисмларда кинетик ҳодисаларнинг назариясига кўра бу ҳаракатчанликлар

$$\mu_{nH} = e\langle\tau^2\rangle/\mu_e\langle\tau\rangle; \quad \mu_n = \frac{e\langle\tau\rangle}{m_e} \quad (2.4)$$

ифодалар билан аниқланади. Бу ерда: τ — заряд ташувчиларнинг релаксация вақти, μ^* — заряд ташувчиларнинг **эффектив массаси**, $\langle\tau\rangle$, $\langle\tau^2\rangle$ — релаксация вақти ва унинг квадратини заряд ташувчилар энергияси бўйича ўрталаштирилган қиймати. Бу ифодалардан кўринадики, μ_{nH} ва μ_n ҳаракатчанликларни фарқли бўлиши релаксация вақтининг энергия бўйича ҳар хил усул билан ўрталаштирилиши экан. Холл тажрибадан кучсиз магнит майдонда Холл электр майдон кучланганлиги ($E_H = E_y$) ни қўйидаги эмперик формула билан аниқланишини кўрсатди:

$$\vec{E}_y = \vec{E}_H = R_H [j_x \vec{B}] \quad (2.5)$$

Бу ерда: j_x — ток зичлиги, R_H — намуна хоссасига боғлиқ Холл доимийси, \vec{B} — магнит майдон индукцияси вектори. (2.3) ва (2.5) формулалардан

$$j_x R_H = \mu_H E_x \quad (2.6)$$

тengлигни оламиз. Намуна n — типли яримүтказгич бўлганда, ток зичлиги ифодаси $j_x = \sigma E = e\mu_n n E_x$ ни (2.6) га кўйиб, Холл доимиисининг

$$R_{nH} = \frac{\mu_{nH}}{en \mu_n} = \frac{r_n}{en} \quad (2.7)$$

кўринишдаги ифодасини оламиз. Худди шунга ўхшаш p — тип ўтказувчанликка эга бўлган яримүтказгичларда Холл доимииси қуйидагича бўлади:

$$R_{pH} = \frac{\mu_{pH}}{ep \mu_p} = \frac{r_p}{ep} \quad (2.8)$$

Бу ерда: n, p — мос равиша электрон ва кавак концентрацияси, r_n, r_p мос равиша электрон ва кавакнинг Холл омиллари бўлиб, Холл ҳаракатчанликларининг дрейф ҳаракатчанликларига нисбати $r_n = \frac{\mu_{nH}}{\mu_n}, r_p = \frac{\mu_{pH}}{\mu_p}$ билан ифодаланадилар ва улар $\langle r^2 \rangle / \langle r \rangle^2$ га тенг бўлган катталик билан аниқланади. r нинг қиймати заряд ташувчиликнинг сочилиш механизмига боғлиқ бўлиб, заряд ташувчиликнинг релаксация вақтини, уларнинг энергияяга боғланиш функциясини кўрсатади. Содда зонали айнимаган яримүтказгичларда заряд ташувчилик кристалл панжаранинг иссиқлик тебранишида сочилса, Холл фактори $r = r_n = r_p = 3\pi/8 \approx 1,17$ га, ионлашган киришма атомларида сочилса, $r = 1,93$ га, нейтрал атомларда сочилса, $r = 1$ га тенг бўлади.

Ўтказувчанликка икки хил заряд ташувчилик: электрон ҳамда кавак қатнашса, Холл доимииси қуйидаги ифода билан аниқланади:

$$R_H = \frac{r_n \mu_n^2 n - r_p \cdot p \cdot \mu_p^2}{(en \mu_n + ep \mu_p)^2} \quad (2.9)$$

Шундай қилиб, заряд ташувчилар концентрацияси ва ҳаракатчанлигини аниқлаш учун солиширма қаршиликни (ёки ўтказувчанликни) ва Холл доимийсини ўлчаш керак. Бу ўлчовни ўтказиш (216-расмда келтирилган ҳол) учун юқори сиртига иккита зонд (1 ва 2), пастки қисмига зондлардан бирининг қаршисига 3-зонд жойлаштирилади. 1 ва 3 зондлар орасидаги потенциаллар айирмаси орқали Холл электр юритувчи кучини, 1 ва 2 зондлар орқали U_b — намунанинг бир қисмидаги кучланишнинг тушуви ўлчанади. Холл электр майдони кучланганлиги $E_H = U_H/b$ ва ток зичлиги $j_x = I_x/bd$ га teng бўлганлигини ҳисобга олган ҳолда (2.5) формуладан Холл зондлари орасидаги потенциаллар айирмаси, яъни Холл кучланиши тушуви

$$U_H = R_H I_x B_z / d \quad (2.10)$$

ифода билан аниқланади:

$$R_H = \frac{U_H d}{I_x B_z}; \quad \left[\frac{m^3}{Kl} \right] \quad (2.11a)$$

Агар (2.10) га кирган катталиклар кучланиш, ток кучи, узунлик, магнит майдони индукцияси СИ системасида (Вольт, Ампер, Теслада) ўлчанса, Холл доимийси R_H бирлиги m^3/Kl бўлади ва (2.11a) формула билан ҳисобланади. Агар магнит индукцияси Гаусса ($IT=10^4 Гс$), узунлик сантиметрда ўлчанса, Холл доимийсининг бирлиги cm^3/Kl бўлади ва у

$$R_H = 10^8 \frac{dU_H}{I_x B}; \quad [cm^3/Kl] \quad (2.11b)$$

билин ҳисобланади. Юқорида кўрилган Холл эфекти узун $a > b$, d намуналарда ўринли. Чунки бунда, физик мулоҳазаларга кўра, намунанинг марказий қисмида ток зичлиги j_y ва майдон кучланганлиги x га боғлиқ бўлмайди. j_y ва E_x лар у координатага боғлиқ эмас. Намунанинг узунлик бўйича ўрта қисми бир жинсли бўлади. $y = \pm b/2$ сиртлар-

да тўпланган зарядлар намуна кўндаланг кесимига ўтказилган Ом контакtlари орқали оқа бошлади. Ток ўтадиган Ом контакtlари соҳасига яқин жойда x бўйича бир жинсли бўлмаган электр майдон кучланганлигининг пайдо бўлишига олиб келади. Бу соҳада Лоренц кучи Холл майдони билан тенглаша (мувозанатлаша) олмайди, у ўқи бўйича ташкил этувчиси $j \neq 0$ бўлади. Бу соҳанинг кенглиги эса $(1 \div 1,5)b$ га тенг. Ўлчов зондлари шу соҳадан ташқарида бўлганда (2.10) ва (2.11) формулалар ўринли бўлади. Бу уни $a \geq 3b$ бўлган намуналарга қўллаш мумкин деган сўздир. Акс ҳолда E_y ва U_H ларнинг заряд оқиши билан боғлиқ бўлган камайишини ҳисобга олишга тўғри келади. Кичик магнит майдонда $\mu_B \ll 1$ Холл зондлари 1 ва 3-намунанинг ўртасида ($x=0$ да) жойлашган бўлса, Холл Э Ю К

$$U_H = \frac{a}{b} \Phi \left(\frac{a}{b} \right) R_H \cdot \frac{IB}{d} \quad (2.12)$$

формула билан топилади. Ҳисоблашларнинг кўрсатишича, 0,7% дан кичик хатолик билан ўлчангандаги $\Phi(a/b)$ ни куйидаги формула билан аниқлаш мумкин:

$$\Phi(\alpha) = \Phi \left(\frac{a}{b} \right) = 0,742 \ln \left[\frac{\alpha(1 + \alpha/2\pi)}{0,742} \right] \quad (2.13)$$

б) Холл эффиқти билан бир вақтда содир бўладиган – (ҳамроҳ) эффиқтлар

Холл эффиқтини ўлчашда назорат қилиб бўлмайдиган мунтазам (систематик) ва тасодифий хатоликлар манбаи бўлган, ўлчов натижаларини хатоликка олиб келувчи бир қанча эффиқтлар (ҳодисалар) пайдо бўлади. Буларга куйидагиларни кўрсатиш мумкин:

Эттенгаузен эффиқти. Намунадан магнит майдон йўналишига тик бўлган йўналишда ток ўтганда уларга тик бўлган йўналишда температура градиентининг пайдо бўлишига Эттенгаузен эффиқти деб юритилади. Агар ток x ўқи, магнит майдони z ўқи бўйича йўналган бўлса, у ўқи бўйича пайдо бўлган температура градиенти магнит

майдон индукцияси B га, ток зичлиги j_x га пропорционал:

$$\nabla T_s = \frac{\partial T}{\partial y} = -K_s j_x B_z \quad (2.14)$$

Бу ерда: K_s — Эттенгаузен коэффициенти.

Магнит майдони тезлиги ўртача тезликдан катта “иссиқ” заряд ташувчиларга (электрон ёки кавак) каттароқ куч билан таъсир этади, тезлиги ўртача тезликдан кичик бўлган “совуқ” заряд ташувчиларга эса таъсир кучи кичикроқ бўлади. Маълумки, Холл электр майдонининг электронга (кавакка) таъсир кучи ўртача тезликка эга бўлган электронга (кавакка) магнит майдонининг таъсир кучини, яъни Лоренц кучини компенсациялай олади ва натижада улар оғмасдан x ўқи бўйича ҳаракатланади. Шунинг учун магнит майдон таъсирида заряд ташувчиларнинг тезлик бўйича ажралиши юзага келади. “Иссиқ” заряд ташувчилар (2.1-расм) юқори томонга, “совуқ” заряд ташувчилар пастки томонга оғади. Заряд ташувчилар билан кристалл панжара орасида энергия алмашинуви туфайли, “иссиқ” заряд ташувчилар тўпланган томон кристалл панжаранинг мувозанатдаги ҳолатига нисбатан исийди, “совуқ” заряд ташувчилар тўпланган томони сөвийди ва намунада кўндаланг температура градиентининг пайдо бўлишига олиб келади. Эттенгаузен эффектининг ишораси ҳам Холл эффекти каби майдон ва ток йўналишига боғлиқ. Кўндаланг температура градиенти ҳосил қилган Зеебек эффекти туфайли вужудга келган Эттенгаузен термоэлектр юритувчи кучи, яъни Эттенгаузен кучланиши ҳар доим Холл кучланишига қўшилади. Уни ток ёки магнит майдон йўналишини ўзгартириш билан ажратиб бўлмайди;

Нерист - Эттенгаузен эффекти x ўқи бўйича температура градиенти бўлган намунани x ўқига тик z ўқи бўйича йўналган магнит майдонига жойлаштирилганда буларга тик бўлган у ўқи бўйича намунада кўндаланг потенциаллар айирмасининг пайдо бўлишига Нерист-Эттенгаузен эффекти дейилади. Температура градиенти натижасида намунада иссиқ томондан совуқ томонга диф-

фузияланувчи заряд ташувчиларга магнит майдонида Лоренц кучи таъсир этиб, уларни бир томонга оғдиради. Бунинг оқибатида магнит майдон индукцияси \vec{B} га ва температура градиенти $\nabla_x T$ га пропорционал бўлган кўндаланг потенциаллар айрмаси — кучланиш пайдо бўлади.

$$U_{N\Theta} = A_{N\Theta} \cdot \nabla_x T \cdot B_z \cdot b \quad (2.15)$$

Бу ерда: $A_{N\Theta}$ — Нернст-Эттенгаузен коэффициенти, b -у ўқи йўналишидаги намуна ўлчами. Нернст-Эттенгаузен эффектининг ишораси магнит майдон йўналиши ўзгариши билан ўзгаради, у ток йўналишига боғлиқ эмас;

Риги-Ледюк эфектини x ўқи бўйича температура градиенти бўлган намунани унга тик магнит майдони \vec{B} га жойлаштирилганда Лоренц кучи таъсирида диффузияланувчи заряд ташувчилардан “иссиқ” заряд ташувчилар бир томонга, “совуқ” заряд ташувчилар иккинчи томонга оғади (бурилади) ва натижада уларнинг кристалл панжара билан энергия алмашинуви туфайли, Эттенгаузен эфектига ўхшаш кўндаланг у — ўқи бўйича температура градиенти пайдо бўлади:

$$\nabla_y T = A_{kz} \nabla_x T B_z \quad (2.16)$$

Бу намунаидаги кўндаланг температура градиенти Холл зондлари орасида кўшимча потенциаллар айрмасини U_{kz} вужудга келтиради. Бу ҳодиса Риги-Ледюк эфекти деб юритилади. U_{kz} нинг ишораси магнит майдон йўналишига боғлиқ бўлиб, ундан оқаётган ток йўналишига боғлиқ бўлмайди;

Кўндаланг магнит қаршилик эфекти (магнитосопротивление).

Юқорида кўрдикки, ўртача тезлик билан ҳаракатланадётган заряд ташувчиларга Лоренц кучи таъсир этмайди, чунки Холл электр майдони уни компенсациялади. Шунинг учун уларнинг магнит майдонида траекторияси ўзгармайди. Лекин заряд ташувчилардан тезликлари ўртача тезликдан катталари ҳамда кичиклари E , майдон йўналишига нисбатан икки томонга оғади. Уларнинг ҳаракат

тезлиги электр майдони E , бўйича камаяди деб қарашибурунганда магнитоқаршилик нисбий ўзгариши кичик иккинчи тартибли функция билан боғланган бўлиб,

$$\frac{\Delta\rho}{\rho} = (\mu_H B)^2 \quad (2.17)$$

билан аниқланади. Шунинг учун кичик магнит майдонида ($\mu_H B \ll 1$) ўлчанаётган солиштирма қаршиликка кўндаланг магнитоқаршилик эфектининг таъсирини эътиборга олмаса ҳам бўлади;

Холл зондларининг ноэквипотенциал сиртларда жойланishi. Холл Э Ю К ига таъсир этадиган яна бир омил сифатида Холл электродларини ноэквипотенциал сиртга жойлашганда ҳосил бўладиган кучланиш U_0 ни кўрсатиш мумкин. Бу кучланиш 1 ва 3-зондлар силжиган қисмининг қаршилигига, намунадан ток ўтгандаги кучланишнинг тушувига teng бўлади. U_0 Холл кучланишига кўшилиши ҳам, айирилиши ҳам мумкин. Унинг ишораси фақат ток йўналишига боғлик. Юқорида ёритилганлардан кўринадики, Холл кучланишини аниқ ўлчаш учун кўрилган эфектларни инобатта олиш зарур экан.

2.2-§. Холл Э Ю К ини ўлчаш усуслари

a) Ўзгармас ток ва ўзгармас магнит майдони ёрдамида Холл кучланишини ўлчаш

Бу Холл электр юритувчи кучини ўлчашнинг энг содда ва кенг тарқалган усулидир. Параллелепипед шаклидаги намунани ўзгармас ток манбаига улаб, ундан ток ўтказилади. Намуна ўзгармас магнит ёки электромагнит қутблари орасига киритилади. Холл эфектини кичик магнит майдонда ўлчаш учун магнит майдон индукцияси 1 Теслагача олинади. Магнит қутблари орасидаги масофа-ни ёки электромагнитда ундан оқаётган токни ўзгарти-

риб, магнит майдон индукциясининг исталган қиймати-ни олиш мумкин. Магнит майдон уланганда, унинг таъсирида қаршиликнинг ўзгариши намунадан ўтаётган токни ўзгартираслиги учун, ток манбанинг чиқиш қаршилиги катта бўлиши керак. Намунадан оқаётган токни амперметр билан ёки кетма-кет уланган қаршиликдаги кучланишни ўлчаш орқали аниқлаш мумкин. Холл электр юритувчи кучи намуналинг тегишли томонига жойлаштирилган (қисиб қўювчи) контактлар ёки нуқтавий зондлар билан ўлчанади. Ўлчов натижалари катта ишончга эга бўлиши учун, кўп ҳолларда, кавшарланган (қалайланган) ёки пайвандланган контактлар ишлатилади. Холл контактларининг юзаси катта бўлиб қолиши намунада ток тақсимотининг бузилишига ва намуналинг шунтланишига олиб келиши мумкин. Бу юқори Ом ли намуналарда айниқса муҳимдир. Контактлар қаршилигининг ўлчов натижаларига таъсирини йўқотиш учун зондлар орасидаги кучланиш одатда ички қаршилиги катта бўлган вольтметр-электрометрларда компенсация усули билан ўлчанади. Холл эфекти билан бирга содир бўладиган, юқорида кўрилган ҳодисаларни ҳисобга олганда, Холл электродлари (1 ва 3) да ўлчангандан кучланиш Эттенгаузен, Нерист-Эттенгаузен, Риги-Ледюк эфектлари ҳосил қылган кучланишлар ҳамда Холл зондларининг бир-бирига нисбатан силжишидан ҳосил бўлган ноэквипотенциал кучланишлар йиғиндисидан иборат бўлади. Бу натижавий (йиғинди) кучланишдан Холл кучланишини ажратиш учун магнит майдон йўналишини икки марта ўзгартириб, тўрт бора ўлчов ўтказилади. Бунда ўлчангандан кучланиш қуйидагича бўлади:

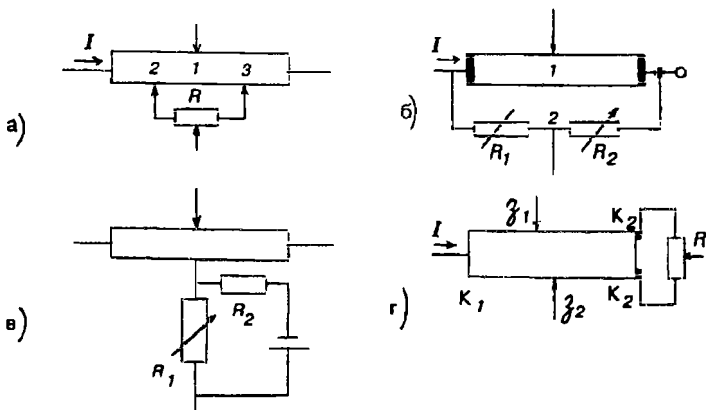
$$\begin{aligned}
 I+; B+ & U_1 = U_H + U_\Theta + U_{N\Theta} + U_{RZ} + U_0 \\
 I-; B+ & U^2 = -U_H - U_\Theta + U_{N\Theta} + U_{RZ} - U_0 \\
 I-; B- & U_3 = U_H + U_\Theta - U_{N\Theta} - U_{RZ} - U_0 \\
 I+; B- & U_4 = -U_H - U_\Theta - U_{N\Theta} - U_{RZ} + U_0
 \end{aligned} \tag{2.18}$$

Бў тўрт ўлчов асосида қуйидаги

$$U_H + U_3 = \frac{(U_1 - U_2) + (U_3 - U_4)}{4} \quad (2.19)$$

ифодани оламиз. Бундан кўринадики, Холл ва Эттенгаузен кучланишларининг ишоралари бир хил бўлгани учун Холл кучланишида кўшимча Эттенгаузен кучланиши сақланади. Қолган эфектларнинг Холл кучланишига таъсирини йўқотиш мумкин экан.

Шуни эслатиб ўтиш керакки, намунадаги бўйлама т е м п е р а т у р а градиенти ишораси ток йўналишига боғлиқ бўлса (масалан, Пельте эфекти ёки барьер туфайли), унда тўртта ўлчов билан фақат Холл электродларининг ноэкипотенциал кучланишини йўқотиш мумкин. Қолган эфектларни таъсирини йўқотиш учун ўзгарувчан ток, ўзгарувчан магнит майдон усувларидан фойдаланилади. Юқори Ом ли яримўтказгич намуналарда ноэкипотенциал кучланишни назарий йўқотиш усули тўрт марта Холл электродларидаги кучланишни ўлчаш каби) ҳамма вақт ҳам натижা беравермайди. Бу туркум намуналарда токнинг ортиши Холл зондлари орасидаги кучланишнинг ўсишига олиб келади, баъзан Холл кучланишидан ҳам катта бўлиб қолиши мумкин. Бундай ҳолларда U_H ни ўлчаш аниқлиги пасайиб, уни ўлчаш мумкин бўлмай



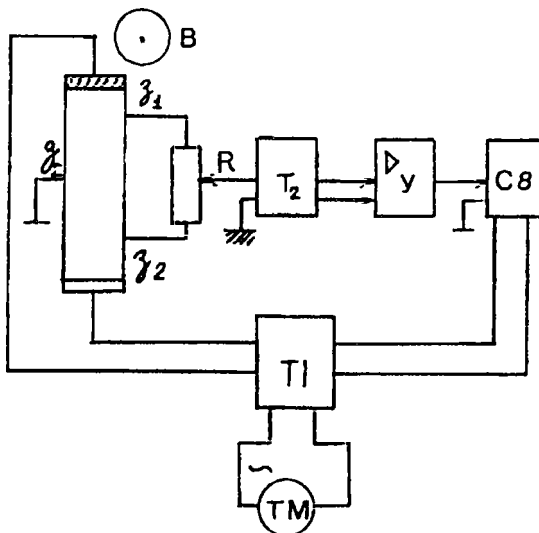
2.2-расм. Холл электродлари (контактлари) потенциалларининг бир хил бўлмаслиги билан боғлиқ кучланишни йўқотиш схемалари.

қолади. Шунинг учун Холл электродларининг аниқ ўрнатилмаганлиги билан боғлиқ бўлган U_R нинг ўлчов натижаларига таъсирини йўқотишда бошқа бир неча усуслар қўлланилади, яъни ноэквипотенциал кучланиш компенсацияланади. 2.2-расмда амалиётда қўллаб келинаётган кучланишни компенсациялаш усули билан ўлчашнинг чизмаси келтирилган. Уч зондли чизма билан U_R ни йўқотишда R потенциометрда (қаршилиқда) 1-зонднинг потенциалига тенг нуқта топилади. Бу қаршилик намунани шунтламаслиги учун, яъни ундан ўтадиган токнинг намунадан оқаётган токка нисбатини ҳисобга олмайдиган бўлиши керак. Шунинг учун унинг қаршилигидан катта $R_1 \gg R_2$, бўлиши керак. Ўлчаш чизмасига катта қаршиликнинг уланиши ўлчашнинг сезгирилигини камайтиради. Уч зондли чизма қўпроқ қаршилиги кичикроқ намуналарда қўлланилади. Кўприк чизмасини (2.2б-расм) қўллаш билан U_H ни ўлчашда 1-зонднинг чап ва ўнг томонидаги намуна қаршиликлари ҳамда ўзгарувчан R_1 ва R_2 қаршиликлар кўприкнинг тўртта елкасини ҳосил қиласди. Магнит майдон уланмаган ($B=0$) да R_1 ва R_2 қаршиликларни ўзгартириб, 1 ва 2-нуқталарда ҳар хил потенциалга эришилади. Бу усул билан Холл электродларида Холл электр кучининг ярми ўлчанади, чунки намунадан оқаётган ток икки қисмга бўлинади. Шунинг учун унинг сезгирилигини камчилик деб кўрсатиш мумкин. 2.2в-расмда келтирилган чизма ёрдмида U_0 — кучланишни йўқотиш учун K_2 ва K_3 контактлар орасига уланган қаршилик орқали уларда бир-бирига тенг бўлмаган шундай потенциаллар топиладики, бунда $B=0$ да 1 ва 2 зондлар орасидаги кучланиш нолга тенг бўлади ва эквипотенциал сиртлар силжийди. Уларнинг бундай силжиши натижасида 1 ва 2 зондлар битта сиртда ётади. Бу усул билан U_0 ни компенсация қилиш намунанинг узунлиги унинг кенглиги тартибida бўлганда оширилади. Акс ҳолда K_2 ва K_3 контактлар орасидаги потенциаллар айирмаси намунанинг ўрта қисмида эквипотенциал сиртларга таъсири кам бўлади. 2.2в-расмда келтирилган чизмада алоҳида олинган ташқи ток манбай билан U_0 компенсацияланади. Бунда R_1 қаршилиқдан ташқи ток манбай орқали ток ўтказилганда унга тушган кучланиш билан компенсацияланади. Ўлчов сезгирилигини камайтирмаслик учун чиз-

мада R , қаршилилек етарлича кичик қилиб олиниши керак. Заряд ташувчилар концентрацияси кичик, ёмон ўтказувчанилкка эга бўлган (юқори Ом ли) намуналарда Холл электр юритувчи кучи бир неча милливольт бўлади. Намуна қаршилиги ортиши билан U_x ни ўлчашдаги хатоликлар ортиб боради. Агар намуна қаршилиги 10^6 Ом тартибида, гальванометр сезгирилиги 10^{29} А/шк бўлса, электр юритувчи кучни ўлчашдаги хатолик ≈ 1 мВ бўлади. Ўлчов чизмаларининг сезгирилигини ошириш учун гальванометрни электрометрлар билан алмаштириш мумкин. Лекин ўзгармас ток билан Холл кучланишини ўлчашда электрометр ёки ўзгармас ток кучайтиргичлари билан ишлаш қийинчилиги пайдо бўлади. Юқори Ом ли намуналарда бу қийинчиликларни Холл токини ўлчаш билан йўқотиш мумкин (2.3 ва 2.4 ларни қаранг).

б) Ўзгарувчан ток ва ўзгармас магнит майдони ёрдамида. Холл электр юритувчи кучини ўлчаш

Холл кучланишини ўлчаётганда, намунада ток йўналишида пайдо бўлган температура градиенти ишораси ток йўналишига боғлиқ бўлса, ўзгармас магнит ва ўзгармас ток ёрдамида уларнинг йўналишини ўзгартириш усули билан Нернст, Риги-Ледюк кучланишларини йўқотиш мумкин эмаслигини юқорида эслатиб ўтган эдик. Иssiқлик жараёнларининг инерционлиги сабабли, намунадан юқори частотали ток ўтказиш билан намунадаги температура градиенти ва у билан боғлиқ бўлган Нернст, Риги-Ледюк эфектларининг Холл эфектига таъсирини йўқотиш мумкин. Қизиш ва у билан пайдо бўлган кучланишлар вақт бўйича ўзгармайди, Холл ўлчов асбоблари фақат ўзгарувчан электр сигнални ўлчайди. Намунадан ўзгарувчан ток ўтганда магнит майдонида ўзгарувчан ток частотасига тенг бўлган Холл кучланиши ҳосил бўлади. Одатда ўзгарувчан электр сигнални ўзгармас сигналга нисбатан кучайтириш осон. Ўзгарувчан токни маълум яримўтказгичларга қўллаш билан Холл кучланишини ўлчовчи сезгирилурмани яратиш мумкин. Бу усул Холл электр юритувчи кучини катта олиш қийин бўлган, ҳаракатчанлиги, солишиштирма қаршилиги кичик бўлган намуналарда концентрация ва ҳаракатчанликни ўлчашда катта аҳамиятга эга. Ўлчов пайтида намунадан ўтаетган ўзгарувчан ток-



2.3-расм. Холл электр юритувчи кучини ўзгарувчан ток ва ўзгармас магнит ёрдамида ўлчаш схемаси.

нинг Холл электр юритувчи кучи электр занжирда ҳосил қиласиган кераксиз сигналларни (наводокни), шовқинни йўқотиш керак. 2.3-расмда Холл электр юритувчи кучнинг ўзгарувчан ток ва ўзгармас магнит ёрдамида ўлчаш чизмаларидан бири келтирилган. Ўзгарувчан ток манбайдан (ТМ) ажратувчи трансформатор Тр1 орқали намунага кучланиш берилади. Шу трансформатордан яна таянч сигнал синхрон детекторга берилади. Ноэквипотенциал кучланиш $B=0$ да R — қаршилик орқали компенсацияланади. Холл контактларидан олинадиган кучланиш Тр2 — трансформатор орқали кучайтиргичга, сўнг синхрон детекторга берилади ва Холл кучланиши ўлчанади. Синхрон детектор ҳар хил шовқинларни камайтиради ёки тўлиқ йўқотади. Тр2 трансформаторнинг кириш қаршилиги R — қаршиликка ва зондлар орасидаги қаршиликка нисбатан етарлича катта бўлиши керак.

Бу чизмада частотаси $\nu=570$ Гц бўлган ўзгарувчан токни қўллаш билан кичик қаршиликли намуналарда Холл электр юритувчи кучини ўлчашда сезгирилиги 10^{-9} В га ет-

ган. Бу чизма билан магнит майдон индукцияси $B=4600$ Гс да заряд ташувчилар концентрацияси $\pi=6 \cdot 10^{21}$ см⁻³, ҳаралатчанлиги $\mu_s=2$ см/В. с бўлган намунада Холл эфекти ўлчанганд. Шуни таъкидлаш керакки, бу усул билан ўтказувчаникнинг типини ҳам аниқлаш мумкин. Агар Холл кучланиши билан намунадан ўтаётган ток бир фазада бўлса, p -тип намунада $R_H>0$ бўлади, агар қарама-қарши фазада бўлса, n -тип намунада $R_H<0$ бўлади.

в) Холл электр юритувчи кучини ўзгарувчан ток ва ўзгарувчан магнит майдони усули билан аниқлаш

Намунадан ўтаётган ток ва унга қўйилган магнит майдони ўзгарувчан бўлиб, уларнинг ўзгариши қўйидаги қонуниятлар бўйича бўлсин:

$$\begin{aligned} B &= B_0 \cos(\omega_1 t + \delta_1) \\ I &= I_0 \cos(\omega_2 t + \delta_2) \end{aligned} \quad (2.20)$$

Бу ерда: B_0 , I_0 — мос равишда магнит майдон индукцияси ва ток амплитудалари, ω_1 ва ω_2 — уларнинг частоталари. δ_1 ва δ_2 — фазалар силжиши, $\omega_2 > \omega_1$ деб ҳисобланса, (2.24) ни (2.15) га қўйсак, Холл электр юритувчи кучи ифодаси қўйидаги кўринишни олади:

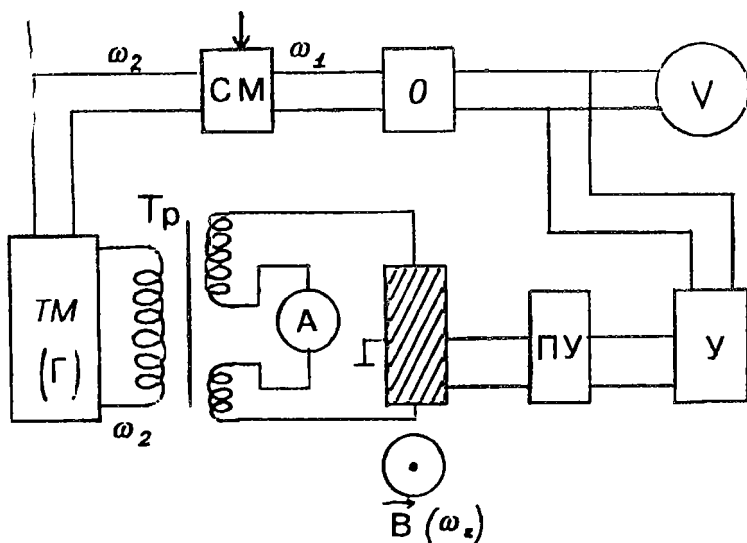
$$\begin{aligned} U_H &= \frac{I_0 B_0}{d} R_H \cdot \cos(\omega_1 t + \delta_1) \cdot \cos(\omega_2 t + \delta_2) = \\ &= \frac{I_0 B_0}{d} R_H \left\{ \cos[(\omega_2 - \omega_1)t + (\delta_2 - \delta_1)] + \right. \\ &\quad \left. + \cos[(\omega_2 + \omega_1)t + (\delta_1 + \delta_2)] \right\} \end{aligned} \quad (2.21)$$

Бундан кўринадики, ўзгарувчан Холл ЭЮК ифодаси частотаси $(\omega_2 - \omega_1)$ ва $(\omega_2 + \omega_1)$ бўлган иккита гармоникани ўзичига олади. Холл зондлари орасидаги ўзгарувчан кучланишни гармоника частоталаридан бирига $\omega_2 - \omega_1$ ва $\omega_2 + \omega_1$, созланган танловчи кучайтиргичга бериб, Холл ЭЮК ининг амплитудаси ўлчанади ва Холл доимийси

$$R_H = \frac{2U_H}{I_0 B_0} \cdot d \quad (2.22)$$

формула билан аниқланади. Бу билан ҳамма құшимча, иккінчи даражали эффектлар таъсири йүқотилади. Масалан, зондларни носимметрик жойланиши билан бөгланған ω_1 частотали кучланишни, магнит майдонининг ҳосил қылған ω_2 частотали ва иссиқлик эффектлари билан боғлиқ кучланишларни күрсатиш мумкин. Шундай қилиб, құшимча эффектларнинг катта электр сигнал шовқинида қиймати кичик бўлган Холл электр юритувчи кучини ўлчаш мумкин. Кучли ўзгарувчан магнит майдонини олишдаги қийинчиликларга қарамасдан, тор соҳали (узкополосный) кучайтиргичларнинг қўлланиши қурилманинг сезгиригини анча оширади. Холл ЭЮК ининг температурага боғлиқлигини ўлчаш ва Холл кучланишининг ўзгаришини узлусиз ёзиб олишни бу усулнинг афзаликларидан бири сифатида кўрсатиш мумкин. Ўзгарувчан магнит майдони электромагнит чулғамларидаги ω_2 частотали ток ўтказиш билан ёки механик усул билан ҳосил қилинади.

Частоталар бир-биридан кескин фарқ қылған ҳолда ЭЮК ни ўлчаща шовқин сигнал (наводка) бўлмайди. $\Delta\nu=0,5\div1$ Гц бўлған тор соҳали кучайтиргичларнинг қўлланиши ток ва магнит майдон частоталарининг жуда турғун бўлишигини талаб қиласди, акс ҳолда сигналнинг $\omega_2-\omega_1$ ёки $\omega_2+\omega_1$ частоталари кучли ўзгаришга учрайди ва $\omega_2-\omega_1$ ёки $\omega_2+\omega_1$ частотага созланған кучайтиргичда Холл ЭЮК и кучланишни кескин камайтиради. Одатда магнит чулғами частотаси $\nu=50$ Гц бўлған ўзгарувчан ток тармоғига уланади. Одатда саноатда ток частотасини турғун ушлаб туришга эришиб бўлмайди. Шу сабабли, ω_1 частотанинг ўзгариши билан мос равищда ω_2 частотани ўзгартирадиган шундай қурилма яратилғанки, у частоталар фарқини $\omega_2-\omega_1$ кучсиз ўзгартиради (сақлайди). Ўзгарувчан ток ва ўзгарувчан магнит майдон усули орқали Холл ЭЮК ини ўлчашга халақит берадиган сабаблардан бирига ω_1 ва ω_2 частотали кучланишларнинг аралашышига олиб келувчи ток контактларида ўзгарувчан токнинг тўғриланишини кўрсатиш мумкин, чунки бунда Холл Э Ю К частотасига тенг частотали тебранишни ҳосил қилувчи шовқин сигнал ҳосил бўлиши мумкин. Шунинг учун Ом контактларини эритиб олиш технологиясини яхшилаш (масалан, $n+n$, $p+p$ контактлар олиш) ҳамда гантель кўринишидаги намуналар



2.4-расм. Холл эффициентини ўзгарувчан ток ва ўзгарувчан магнит майдонда ўлчаш схемаси.

қўллаш билан бунинг таъсирини камайтириш мумкин. Шунга мувофиқ контактлар сифатига қўйилган талаб ўзгарувчан ток усулига нисбатан қаттикроқ. Бу усул билан Холл ЭЮК ини ўлчашнинг блок чизмаларидан бири 2.4-расмда келтирилган. Чизмада ўзгарувчан ток манбай сифатида чиқиши қаршилиги кичик бўлган иккита симметрик каналли паст частотали генератор ишлатилади. Кучланиш намунага генератордан ажратувчи трансформатор орқали берилади. Намунадан ўтаётган ток трансформатор T_p нинг иккиламчи чулғами ўртасига уланган амперметр билан, ўзгарувчан Холл ЭЮК $\omega_1 + \omega_2$ ёки $\omega_2 = \omega_1$ частотага созланган танловчи резонанс кучайтиргич билан ўлчанади. Бу усул билан Холл ЭЮК ишорасини аниқлашнинг бир қанча радиотехник чизмалари мавжуд: масалан, намунадаги Холл ЭЮК ни этalon намунадаги Холл ЭЮК га солишириб аниқлаш мумкин. Бунинг учун ўтказувчанлик типи аниқ бўлган этalon намуна олиб, уни Холл ЭЮК ўлчанадиган намуна Холл ЭЮК ига кетма-кет улаб, улар солишириллади. Бу ҳолда Холл ЭЮК

$$U_H = 2 \left(\frac{R_{H\Theta}}{d_{\Theta T}} \cdot BI_{\Theta} \pm \frac{R_H}{d} BI \right) \cos(\omega_2 - \omega_1)t \quad (2.23)$$

ифода билан аниқланади. Бу ерда: $R_{H\Theta}$, $d_{\Theta T}$ — эталон намунанинг Холл коэффициенти ва магнит йўналиши бўйича қалинлиги, I_{Θ} , I — эталон ва текширилаётган намунадан ўтгаётган ток.

Бир хил фазадаги токлари I_{Θ} , I нинг катталигини ўзгартириб, қарама-қарши тип ўтказувчанликка эга бўлган намуналарда Холл Э Ю К нолга тенг бўлган вазиятга эришилади. Агар намуна билан эталон электр ўтказувчанликлари типи ҳар хил бўлса, токлардан бирининг фазасини ҳамда I_{Θ} ва I ларни ўзгартириб, компенсацияга эришилади. Шундай қилиб, бу усул билан нафақат Холл Э Ю К ишорасини, балки текширилаётган намунанинг Холл коэффициенти (доимийси) нинг абсолют қийматини топиш мумкин

$$R_H = R_{H\Theta} \frac{d}{d_{\Theta T}} \frac{I_{\Theta}}{I} \quad (2.24)$$

Бу компенсация усулида магнит майдонининг катталигини билиш шарт эмас. Одатда эталон намуна электромагнит қутблардан бирига ёпиштириб қўйилади. Холл ЭЮК ини ўлчайдиган саноат курилмаларида ток генератори частотаси 70—75 Гц, магнит қутбларининг пойнаги (учлиги) 40 мм, улар орасидаги масофа 40 мм тартибида бўлса, 3000 эрстедгача бўлган магнит майдонини ҳосил қилиш мумкин. Бу усул билан ҳаракатчанликлари $5 \div 10^{-2}$ см²/В · с бўлган намуналарда Холл эфектини ўлчаш мумкин бўлган. Шуни назарда тутиш керакки, ўзгарувчан майдонда яхлит металл қисмлар (криостат), уни ушлаб турадиган тутқичлар индукцион ток билан қизиши мумкин.

2.4-чиzmадаги аралаштиргичдан чиқаётган стандарт фазали кучланиш билан намуна даги кучайтирилган Холл кучланиши осциллографда ҳосил қилган лиссажу шаклларига қараб Холл ЭЮК ишорасини, яъни намунада электр ўтказувчанлик типини аниқлаш мумкин.

2.3-§. Холл токи

Биз юқорида Холл эфектининг кўрганда бу эфектнинг назарияси стационар ҳолатда қўйидаги ифодаларга олиб келишини кўрган эдик:

$$\vec{E} = \vec{E}_n + \vec{E}_H; \quad \vec{E}_n = \frac{\vec{j}_n}{\sigma(B)}; \quad \vec{E}_H = \frac{\mu_n H}{\sigma(B)} [\vec{j}_n \vec{B}] \quad (2.25)$$

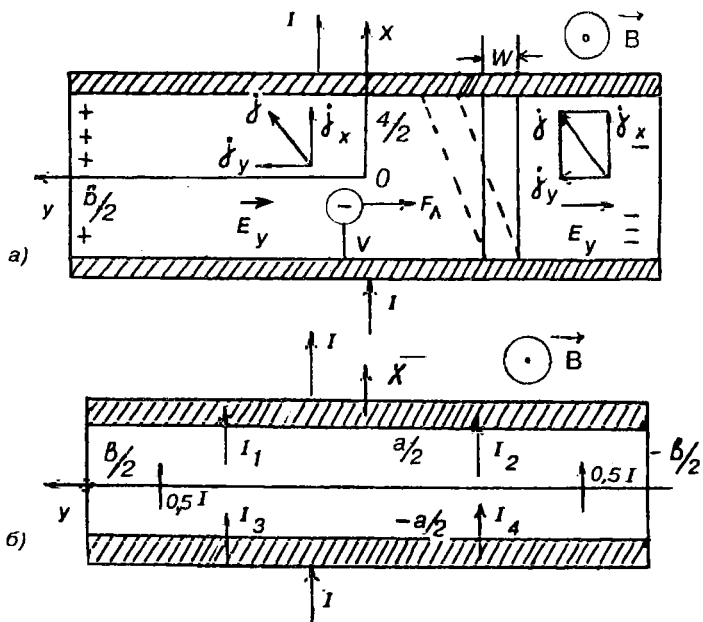
Бу ерда: \vec{E} — намунанинг натижавий электр майдон кучланганлиги, \vec{E}_n — намунадан оқаётган токнинг ҳосил қилган майдон кучланганлиги, \vec{E}_H — Холл электр майдон кучланганлиги, j — ток зичлиги вектори, $\sigma(B)$ — магнит майдондаги солиштирма электр ўтказувчанлиги.

Бу формуласалар ток ўтаётган намунани магнит майдонига киритганда пайдо бўлган Холл эфектининг бир жиҳатини намоён бўлишини кўрсатади, $\vec{B}=0$ да $\vec{E}=\vec{E}$ бўлади. Магнит майдони (Лоренц кучи) ток зичлиги векторига тик бўлганда магнит майдонига пропорционал бўлган Холл электр майдон кучланганлигини вужудга келтиради. (2.25) даги ифодаларнинг ток зичлигига нисбатан ечими қўйидаги

$$\begin{aligned} \vec{j} &= \vec{j}_n + \vec{j}_H + \vec{j}_I; & \vec{j}_n &= \sigma' \vec{E}; & \vec{j}_H &= \sigma' \mu_n [\vec{E}_n \vec{B}] \\ \vec{j}_I &= \sigma' \mu_n^2 \vec{B} (\vec{B} \vec{E}); & \sigma' &= \frac{\sigma}{1 + \mu_n^2 B^2} \end{aligned} \quad (2.26)$$

ифодаларга олиб келади. Холл ўлчовлари ўтказилганда одатда $E \perp B$ қилиб олинади, бунда $\vec{j}_I=0$ бўлади. (2.30) ифодалар Холл эфектининг иккинчи жиҳатини кўрсатади. Холл эфекти магнит майдон индукцияси ҳамда ўтказувчан ток зичлиги векторига тик ва магнит майдонига пропорционал Холл токини ҳосил қиласди. Намунада Холл эфекти текширилганда Холл электр майдон кучланганлигини характерловчи тенгламалар тизими (2.25) ёки унга эквивалент (2.26) тенгламалар яна қўйидаги ифодаларни ўз ичига олади:

$$div \vec{j} = 0; \quad rot \vec{E} = 0 \quad (2.27)$$



2.5-расм. Холл токининг пайдо бўлишини тушунтиришга чизма (а),
Холл токининг контактлар орқали уланиши.

Бунга қуидаги чегаравий шартлар қўйилади:

1. Намуна сиртининг металл қопланмаган қисмида электр майдон ва токнинг тангенциал (нормал) ташкил этувчиси

$$\vec{E}_t = 0; \quad j_t = 0 \quad (2.28)$$

бўлади. Бунда контактларнинг потенциали ёки ундан оқаётган ток берилиши керак. Маълумки, токли намунани ток йўналишига тик бўлган магнит майдонига киритсак, узун, тор намунанинг ўрта қисмида ностационар Холл токидан, зарядларининг тўпланиши сабабли, Холл электр юритувчи кучи (ЭЮК) пайдо бўлади. Калта, юпқа ва кенг ($a \ll b$) намунада Холл эффицитини кўрайлик (2.5-расм).

Узун ва тор намунадаги каби Лоренц кучи дрейф ҳаракати қилаётган заряд ташувчиларни оғдиради, аммо на-

мунанинг қалинлиги кичик ва эни катта шаклда бўлиши туфайли, намуна ўрта қисмининг бирор ерида оғган зарядлар тўпланиши кузатилмайди ва натижада Холл электр майдони пайдо бўлишига олиб келмайди, яъни Лоренц кучини мувозанатловчи майдон вужудга келмайди, Оу — ўқи бўйича стационар Холл токи оқади. $y = \pm b/2$ сиртларда тўпланган зарядлар намуна марказидан узоқлашган ва майдон кучланганлигининг E_y ташкил этувчиси пайдо бўлмайди. Бу эффектни миқдорий қарашда, намуна марказидаги катталикларни y га боғлиқ бўлмаслигидан фойдаланамиз. Бу ҳолда (2.28) дан кўринадики, j ва E_y лар x га боғлиқ, эмас, (2.28) га кўра

$$E_y, \left(x = \pm \frac{a}{2} \right) = 0$$

бўлади. Марказий қисмида E_y x га боғланмаган бўлгани сабабли, $E_y = 0$. Бу мулоҳазаларни ва (2.26) ифодани кўллаб,

$$j_x = j_n + \tau' E_x; \quad j_y = j_H = \mu_n B_z j \quad (2.29)$$

формулаларни оламиз. Булардан кўринадики, E_x ва j_x x га боғлиқ эмас ва электр майдон бир жинслидир. Магнит майдонида ток зичлиги вектори θ бурчакка бурилади. $y = \text{const}$ текисликдан оқаётган тўла Холл токи

$$I_H = a \cdot d \cdot j_y \quad (2.30)$$

формула билан топилади.

Намуна контактининг бир қисмидан оқаётган ток

$$I_B = db j \quad (2.31)$$

бўлади. Бу ерда: b — ток ўтаётган контакт соҳасининг кенглиги. (2.35) формуладан фойдаланиб, токнинг (2.30) ва (2.31) ифодаларини қўйидаги кўринишда олиш мумкин:

$$I_H = \mu_n B \sigma d \cdot U; \quad I_b = \sigma' \frac{bd}{a} U \quad (2.31 \ a)$$

Кучсиз магнит майдонида $1 \gg B^2 \mu^2$ намунада бир жинсли электр майдон ($\sigma = \sigma'$) бўлгани учун Холл токи

$$I_H = \frac{a}{b} \cdot \mu_n B \cdot I \quad (2.32)$$

кўринишни олади. Эслатиб ўтамизки, $y = \pm b/2$ сиртларда тўпланган зарядлар уларнинг атрофида $E_y \neq 0$ бўлишига олиб келади, ток зичликларини j_x ва j_y марказ яқинидаги қийматлардан фарқли бўлишига олиб келади ва электр майдонининг бир жинслилиги бузилади. Бир жинсли бўлмаган соҳа эса ён сиртлардан ($1 \div 1,5$) а масофагача бўлади. Бунда токнинг контактлар орқали уланиши содир бўлади. (2.31) формулалар намунанинг ўрта қисмida ($a \leq 3b$) соҳасида ўринли ҳисобланади. Акс ҳолда, Холл токи, Холл ЭЮК и каби тузатиш функциялари орқали ҳисобланади. (2.30) ва (2.31) ларга кўра, бўйи кичик ва эни катта намуналарнинг ($b \gg a$) марказий қисмida магнит майдони солиширма ўтказувчанлик ($\sigma = j_x/E_x$) ни $(1 + \mu^2 B^2)$ марта камайтиради, солиширма қаршиликни шунча марта оширади. Бу ҳодиса геометрик магнит қаршилик эффиқти деб аталади ва у куйидаги тушунтирилади: Холл токи намунада ток найини узайтиради ва унинг кўндаланг кесимини камайтиради (2.5a-расм). Чизмада $B=0$ да кенглиги $w \ll a$ бўлган контакт соҳасидан оқаётган ток найининг чизиқлари узлуксиз чизиқ билан белгиланган, $\tilde{B} \neq 0$ да узлукли чизиқ билан кўрсатилган. Бунда ток узунлиги катта бўлган най орқали оқади. Найининг ўтказувчанлиги ток найининг энига тўғри пропорционал, узунлигига тескари пропорционал, яъни ўтказувчанлик (w/a) га пропорционалдир. $B \neq 0$ да кенглиги $w/(1 + \tan^2 \theta)^{1/2}$ га, узунлиги $a(1 + \tan^2 \theta)^{1/2}$ ва ўтказувчанлиги

$$\sigma' \approx \frac{W}{a} \frac{1}{1 + \tan^2 \theta} \approx \frac{W}{a} \left(1 + \mu_n^2 B^2\right)^{-1} \quad (2.33)$$

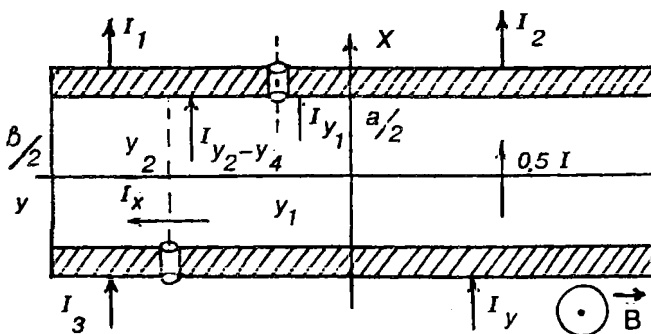
га тенг бўлади. Шундай қилиб, магнит майдони найининг ўтказувчанлигини камайтиради ва шунга мувофиқ найининг қаршиликини оширади. Геометрик магнит қаршилик эффиқти (кўпроқ) юпқа (ток йўналиши бўйича), эни

кенг намуналарда ҳам, узун намуналарнинг контактлар соҳасига яқин бўлган жойларда ҳам кузатилади. Бошقا шаклдаги намуналарда, масалан, “Корбино” доирасида ҳам кузатилиши мумкин (2.7-§ га қаранг). Узун намуналарнинг марказий қисмида, Холл токи йўқ жойларда бу эффект кузатилмайди.

2.4-§. Холл токларини ўлчаш ва у орқали яримўтказгич намуналарда заряд ташувчиликнинг концентрацияси ва ҳаракатчанлигини ўлчаш

Намуна сиртларидағи омик контактларни қисмларга ажратиш усули.

Биз кўрдикки, намунадан оқаётган Холл токи контактлар орқали уланади. Контактларни бўлакларга бўлиш (ажратиш) Холл токини ташқи занжирга чиқаришга ва ўлчашга имкон беради. Намуна сиртидаги контактлар бирбиридан бир жинсли майдон соҳасида ажратилган бўлсин (2.6-расм). Ўлчов чизмаларига уланган тўртта контактлар орқали $I_1 + I_4$ токлар ўтади. Бу токлар ажратилган қисмларда ажратилган контактларнинг эквипотенциаллигини таъминлайди. Стрелка билан кўрсатилган чизикчалар ток йўналишлари кесиб ўтаётган соҳада кўрсатилган. Ажратилган контактлар орасидаги масофа намуна узунлигидан жуда кичик ва бу майдоннинг бир жинслиигини бузмайди. Контактлар намуна марказида ажратилган ҳол



2.6-расм. Ом контактлари бўлакларга ажратилган намуна.

Энг содда ҳолга мос келади, лекин буни ҳамма вақт амалга ошириб бўлмайди, шунинг учун умумий бўлган ҳолда контактларнинг ажратилиш жойи марказга нисбатан силжиди. Координата ўқлари билан намуна тўртта бўлакка ажратилади. Контактлар намуна ўртасидан ажратилган бўлганда бу тўртта соҳада заряд сақланиш қонуни бажарилишини ҳамда тўла ток

$$I = I_1 + I_2 = I_3 + I_4 \quad (2.34)$$

бўлишлигини назарда тутиб, тўрт соҳа токларининг қуидаги ифодаларини олиш мумкин.

$$I_1 = 0,5I + 0,5I_H \quad I_2 = 0,5I - 0,5I_H \quad (2.35)$$

$$I_3 = 0,5I - 0,5I_H \quad I_4 = 0,5I + 0,5I_H \quad (2.36)$$

Лекин юқоридаги контактнинг чапга силжиши I_1 токнинг камайишига, I_2 нинг ортишига олиб келади. Бу қиймат $y \geq 0$ соҳага кирадиган I_{y1} ва I_{y2} токларга тенг, шунинг учун (2.35) ва (2.36) қуидаги кўринишни олади:

$$\begin{aligned} I_1 &= 0,5I + 0,5I_H - I_{y1} & I_2 &= 0,5I - 0,5I_H + I_{y1} \\ I_3 &= 0,5I - 0,5I_H - I_{y2} & I_4 &= 0,5I + 0,5I_H + I_{y2} \end{aligned} \quad (2.37)$$

Бу ифодалардан

$$I_1 - I_2 = I_H - 2I_{y1}; \quad I_1 - I_3 = I_H - I_{y1-y2} \quad (2.38)$$

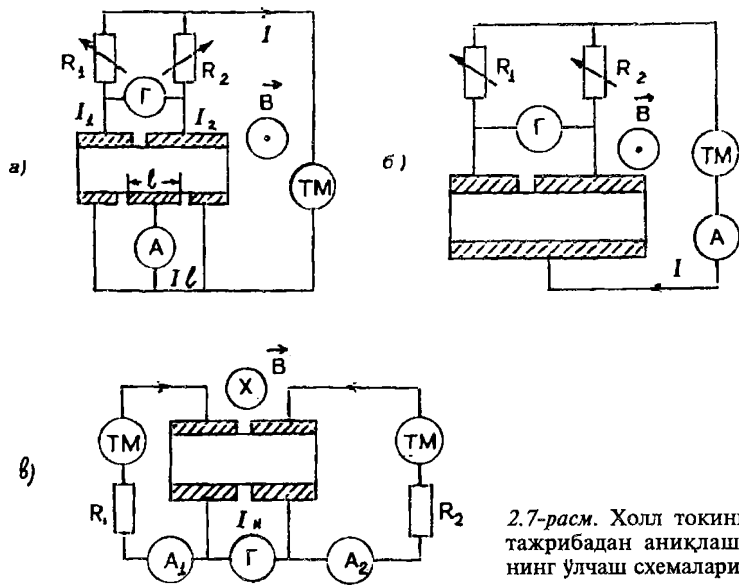
формулаларни топамиз. Холл токлари қаралаётган ҳолда

$$\begin{aligned} I_H(\vec{B}) &= -I_H(-B); & I_{y1}(B) &= I_{y1}(-B) \\ I_{y2-y1}(B) &= I_{y2-y1} = I(-B) \end{aligned} \quad (2.39)$$

бўлишлигини назарда тутиш керак.

Холл токини ўлчаш чизмалари

Холл токини ўлчаш чизмаларидан бири 2.7а-расмда келтирилган. Бу намунанинг юқори сиртида бир-биридан ажратилган контакт олинади, Холл токини ўлчаш учун



2.7-расм. Холл токини тажрибадан аниқлашнинг ўлчаш схемалари.

унга параллель ички қаршилиги (R_r) $R_1 + R_2$ қаршиликка ва ажратилган контакт орасидаги намуна қаршилигига нисбатан жуда кичик бўлган гальванометр уланади. Ток манбаига, намунага кетма-кет уланган амперметр намунадан ўтаётган токни ўлчайди. Холл токини ўлчаш учун $B=0$ да R_1 ва R_2 қаршиликлар орқали гальванометрдан ўтаётган ток нольга ($I_r=0$) келтирилади, сўнг магнит майдон уланади. Магнит майдон уланганда намунада Холл токи вужудга келади. $B \neq 0$ да гальванометр билан магнит майдонида вужудга келган, юқори сиртида ажратилган контактларни туташтирувчи Холл токининг бир қисми аниқланади. Гальванометрнинг ички қаршилиги кичик бўлганда гальванометрдан оқаётган ток Холл токининг ярмига teng бўлади. Намунанинг юқори қисмida ажратилган контактларга уланган электр занжири учун қуйидаги Кирхгоф қоидаси ўринлидир:

$$I_1 - I_2 = 2I_r \left(1 + \frac{R_r}{R_1 + R_2} \right) + I \frac{R_2 - R_1}{R_2 + R_1} \quad (2.40)$$

$B=0$ бўлганда $I_r=0$ қилиб олинса, (2.38) ва (2.40) лардан

$$\left. -\frac{2I_{y1}}{1} \right|_{B=0} = I_{y1} \frac{R_2 - R_1}{R_2 + R_1} \quad (2.41)$$

бўлишилигини топамиз.

Кучсиз магнит майдонида Холл токи I_{y1} га нисбатан умумий ток $I=I_1+I_2$ ва I_{y1} нинг ўзгаришини назарга олмаслик мумкин. Модомики шундай экан, улар (ΔI_1 , ΔI_{y1}) магнит — қаршилик эфекти билан пайдо бўлган. Бу эфектда ΔI_1 ва ΔI_{y2} иккинчи тартибли, I_H эса биринчи тартибли кичик катталиклардир. (2.40) ифодани ҳисобга олиб, (2.38) ва (2.41) лардан

$$I_r = \frac{I_H}{2} \left[1 + \frac{R_r}{(R_1 + R_2)} \right]^{-1} \quad (2.42)$$

ни топамиз. Агар $R_r \ll R_1 + R_2$ шарт бажарилса, $I_r = I_H/2$ бўлади. Юқорида айтилганларга кўра гальванометр Холл токининг ярмини ўлчайди. Бу гальванометрга $0,5I_H R_r$ га тенг бўлган кучланиш тушувини ва ажратилган контактларда ноэкипотенциалликни ҳосил қиласи. Холл токини ўлчашдаги нисбий хатолик

$$\frac{\Delta I_H}{I_H} = \frac{R_r}{R'} \quad (2.43)$$

бўлади. Бу ерда, R' — ажратилган контактлар орасидаги намуна қаршилиги. Маълумки, ток kontaktларининг ажратилиши намунада электр майдонининг маҳаллий бузилишига олиб келади ва контактлар потенциаллари бир хил бўлганда хатолик

$$\left| \frac{\Delta I_F}{I_H} \right| \approx \frac{\delta}{a} \quad (2.44)$$

бўлади. Бу ерда, δ — ажратилган контактлар орасидаги масофа. Холл токини, намунага қўйилган кучланишни

ва намунадан ўтаётган токни билган ҳолда, кучсиз магнит майдонида заряд ташувчилар концентрацияси ва ҳаракатчанлиги қуйидаги формуалардан аниқланади:

$$I = \sigma \frac{b \cdot d}{a} \cdot U; \quad I_H = \frac{a}{b} \mu_{nH} BI \quad (2.45)$$

2.7а-расмда келтирилган чизма билан ихтиёрий магнит майдонида Холл токини ўлчаш мумкин. Бунда ток I_r , нинг ўзгаришини ташлаб юбориш мумкин бўлмайди, уни йўқотиш учун магнитнинг икки йўналишида Холл токи ўлчаниди, яъни

$$I_H = (I_r(B) - I_r(-B)) \left(1 + \frac{R_r}{R_1 + R_2} \right) \quad (2.46)$$

$$R_r \ll R_1 + R_2 \text{ да } I_H = I_r(B) - I_r(-B) \quad (2.47)$$

Ҳаракатчанлик (2.26) асосида олинган тўла ток

$$I_t = \sigma' \frac{Id}{a} U; \quad I_H = \mu_{nH} B \sigma' d U \quad (2.48)$$

формулаларидан топилади. Бунинг учун кенглиги l бўлган соҳадан ўтаётган ток ва унга қўйилган кучланишни ўлчаш керак (2.7а-расм). Бу усул билан ўлчашда намунанинг остки Ом контакти икки қисмга ажратилади, яъни юқори Ом ли намуналарнинг солиштирма қаршилигини ўлчаш каби қўриқловчи ҳалقا ишлатилади. Икки контактда эквипотенциаллик шарти

$$I_t R_A \ll U \quad (2.49)$$

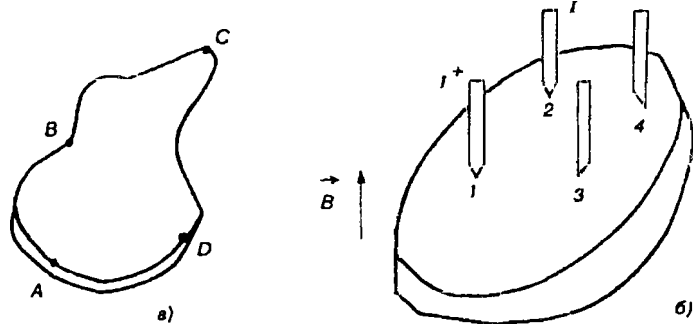
да бажарилади. Бу билан сирт бўйлаб оқаётган сирт ўтказувчанлиги токини ҳамда бир жинсли бўлмаган электр майдон соҳасида оқаётган токларнинг таъсирини йўқотиш мумкин. Холл токини ўлчашга доир яна бир чизма 2.7в-расмда келтирилган. Унга асосан ажратилган контактларда R_1 ва R_2 орқали $B=0$ да эквипотенциалликка

эришилади. Бунда R_1 , $R_2 \gg R_r$ булиши керак. Магнит майдон уланганда гальванометрдан ўтәётган ток I_r Холл токи I_H ни күрсатади. Намунадан оқаётган тұла ток A_1 ва A_2 амперметрлар билан ўлчанади. Чизма күчсиз магнит майдонида Холл ҳаракатчанлигини ўлчашга яроқлады.

Холл токини ўлчашга асосланған заряд ташувчилар ҳаракатчанлигини ва концентрациясини аниқлаш усули кейинги йилларда ишлаб чиқылған. Текширишларнинг күрсатишича, бу усул ҳам, Холл ЭЮК ини ўлчашга асосланған усул каби, намуна хоссалари тұғрисидаги маълумотларни беради, маълум шароитда Холл токини ўлчашни амалга ошириш енгилроқ ва қулайды. Масалан, бу усул билан юқори Ом ли намуналарнинг ҳамда қалинлиги бўйича бир жинсли бўлмаган диффузион қатламларни, эпитаксиал қатламларнинг параметрларини ўлчаш қулайды. Маълумки, Холл ЭЮК ини юқори Ом ли намуналарда ўлчаш учун ички қаршилиги катта бўлган электрометр-вольтметрлар қўлланилади. Намуна қаршилиги катта бўлганда сирқиши токи пайдо бўлиши мумкин. Бунда вольтметрлар билан ишлаш қийинчилик туғдиради. Холл токини ўлчашда эса ички қаршилиги кичик гальванометр қўлланилади, бу билан ток сирқиши йўқотилади. Кўп қатламли структураларда Холл ЭЮК и қийматига ҳар бир қатламнинг қўшган ҳиссаси мураккаб муносабатлар билан боғланган. Холл токини ўлчаш усулида натижавий Холл токига ҳар бир қатламнинг қўшган ҳиссаси содда боғланган бўлиб, у қўшилиб боради. Анистропик намуналарда Холл ЭЮК ини ўлчаш билан солиштирма қаршилик тензори, Холл токини ўлчаш билан солиштирма ўтказувчанлик тензорини аниқлаш мумкин.

2.5-§. Ван-дер-Пау ва тўрт зондли усул билан яrimўтказгич намуналарда заряд ташувчилар концентрацияси ва ҳаракатчанлигини ўлчаш

Ихтиёрий шаклдаги пластинкаларда, юпқа қатламларда, эпитаксиал структураларда концентрация ва ҳаракатчанликни ўлчашда энг қулай, хатолиги кичик бўлган Вандер-Пау усули қўлланилади. Бунинг учун намуна четидан тўртта контакт олинади. Бу контактларнинг иккита



2.8-расм. Ихтиёрий шаклдаги намуналарда Ван-дер-Пау усули билан Холл доимийсини аниқлашда контактларнинг жойланиши (а), Холл доимийсини аниқлашнинг тўрт зондли усули (б).

қарама-қаршиси орқали ток ўтказилиб (I_{AC}), иккита қарама-қаршисида кучланиш (U_{BD}) ўлчанади. Магнит майдони уланган ва уланмаган ҳолдаги кучланиш тушувлари $U_{BD}(O)$ ва $U_{BD}(\vec{B})$ ўлчаниб, Холл Э Ю К и аниқланади. Кучланиш ўлчанадиган контактлар умумий ҳолда экви-потенциал сиртларда ўтмаслиги мумкин (2.8-расм). Магнит майдонига киритилган намунанинг BD контактлари орасидаги кучланишнинг ўзгариши кучсиз магнит майдонда $\mu_n \vec{B} \ll 1$ Холл Э Ю К ига teng бўлади, чунки бу ҳолда B ва D контактлар орасидаги қаршиликнинг магнит майдонда ўзгариши билан боғлиқ кучланиш инобатга олмаслик даражада кичик бўлади

$$U_H = U_{BD}(\vec{B}) - U_{BD}(O) \quad (2.50)$$

Ўлчашиб даврида ток қиймати бир хил ушлаб турилса, Холл доимийси R_H (2.11а) га кўра

$$R_H = \frac{U_{BD}(\vec{B}) - U_{BD}(O)}{IB} d \quad (2.51)$$

формула билан аниқланади. Заряд ташувчилар ҳаракатчанлиги ва концентрацияси

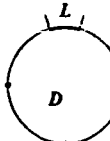
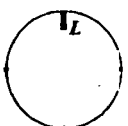
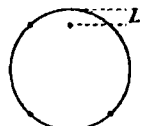
$$\mu_H = \frac{U_{ED}(\vec{B}) - U_{ED}(O)}{I \cdot \vec{B} \cdot \rho}; \quad n = \frac{r}{e \mu_H \rho} \quad (2.52)$$

формулалар орқали ҳисобланади. Солишири мақсади ρ ни Ван-дер-Пау усули билан аниқлаш 1.7-ғ да батафсил ёритилган. Контактларнинг таъсирини йўқотиш учун махсус шаклда, яъни беда барги шаклида намуна тайёрланади. Шуни эслатиш керакки, Ван-дер-Пау усули билан ўлчашда пластинка сиртлари ясси, параллел бўлиши ва, лекин унда дарча (тешик) бўлмаслиги керак. Эпитаксиал структураларда n , μ_n -ни ўлчашда қатламнинг солишири мақсади кичик $n-n^+$, ёки $p-p^+$, ёки $p-n$ типидаги эпитаксиал структуралар бўлиши керак.

Ом контактларини олиш мураккаб ва вақтни кўп оладиган жараёндир, бу эса Холл усулларининг амалиётда кўлланилишига қийинчилик туғдиради. Шунинг учун контакт қаршилигининг таъсири ўлчов билан боғлиқ хатоликларда унчалик муҳим бўлмаган ҳолларда қаршиликлари жуда юқори бўлмаган намуналарни, эпитаксиал структураларни текширишда, Холл доимийсини тез ўлчаш учун квадрат учларига жойлаштирилган тўрт зондли усулни қўллаш мумкин (2.8б-расм).

Ван-дер-Пау усули назариясида тўртта нуқтавий контактни намуна четига жойлашган бўлсин деб фараз қиласлик. Мабодо бу контактлардан бири нуқтавий бўлмай, қандайдир ўлчамга эга бўлса ёки намуна четига жойлашган бўлса, ҳисоблаш формулаларига тузатиш функцияси ни киритиш керак бўлади. Контактларни Ван-дер-Пау усулига киритган хатоликлари доира ва тўғри тўртбурчакли шаклдаги намуналар учун ҳисобланган. Контактлар бир-бирига нисбатан 90° бурчак остида жойлашган доира шаклидаги намуналарда мутлақ бўлмаган (нуқсонни) битта kontaktнинг киритган хатолиги 2.1-жадвалда келтирилган. 2.8б-расмда келтирилган чизма бўйича ўлчангандай, қалинлиги зондлар орасидаги масофадан жуда кичик ($d \ll S$) бўлган намуналарнинг икки зонд орасидаги потенциаллар айрмаси

$$U' = U_\rho + U_M + U_H = \frac{I_0 \ln 2}{\pi d} \cdot C_\rho [1 + \beta^2] + \frac{R_H IB}{d} C_H \quad (2.53)$$

Нисбий хатолик	Намунада контактларнинг кўриниши ва жойланиши		
			
$\Delta\rho/\rho$	$-\frac{1}{16} \frac{1}{\ln 2} \cdot \left(\frac{l}{D}\right)^2$	$-\frac{1}{4} \frac{1}{\ln 2} \cdot \left(\frac{l}{D}\right)^2$	$-\frac{1}{2} \frac{1}{\ln 2} \cdot \left(\frac{l}{D}\right)^2$
$\Delta\mu/\mu$	$\frac{2}{\pi^2} \left(\frac{l}{D}\right)$	$\frac{4}{\pi^2} \left(\frac{l}{D}\right)$	$\frac{2}{\pi} \left(\frac{l}{D}\right)$

билин аниқланади. Бу ерда $C\rho$, C_h — намуна ўлчамлари-ни ўлчашиб натижаларига таъсирини ҳисобга оладиган ту-затиш коэффициентлари,

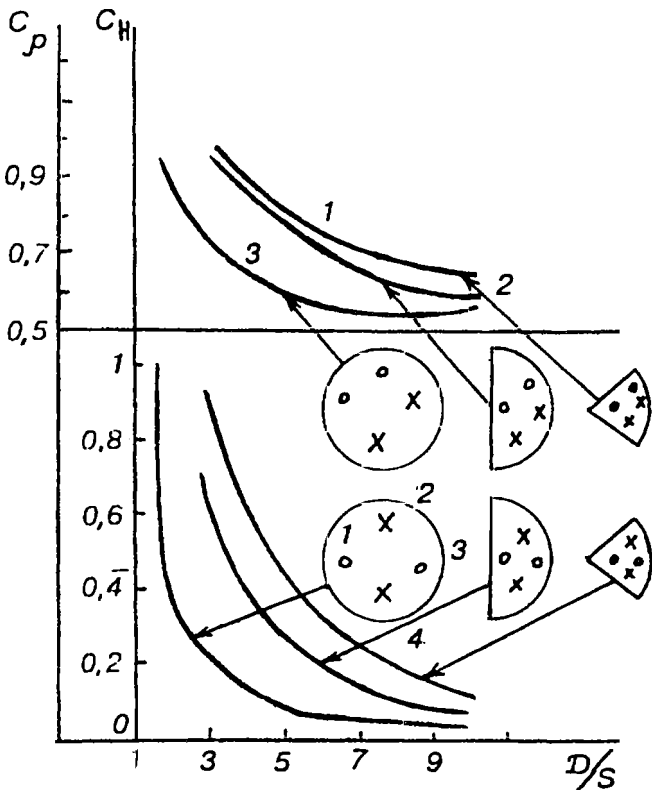
$$\beta = R_h \tilde{B}/\rho \quad (2.54)$$

U_o — биринчи ҳад, намуна ўлчамлари (четки томон эф-фектлар) таъсирини ҳисобга олган тўрт зондли усул билин солишиштирма қаршиликни аниқлаш формуласи. Ик-кинчи ҳад $(1+\beta^2)$ — кўпайтувчи намуна четки қисмлари-нинг Холл электр юритувчи кучини туташтиришидан вужудга келган Холл токига магнит майдонининг таъси-рини ифодалайди. Бу ҳодиса иккиласмачи Холл эфекти деб аталади.

U_M — зондлардан оқаётган токка қаршилик қиласди, шунинг учун U_M ни геометрик магнит қаршиликнинг на-моён бўлиши деб тушунтирилади.

U_h — учинчи ҳад Холл электр юритувчи кучи.

Кучсиз магнит майдонда (μ_n ; $\tilde{B} \ll 1$) U_M ҳадни инобатта олмаслик мумкин. Зондларнинг занжирга уланиш чиз-масини танлаб ҳамда намунадаги зондларни симметрик жойлаштириб, шунга эришиш мумкинки, потенциал зонд-



2.9-расм. Тўрт зондли усул билан ўлчашдаги доира, ярим доира, сектор кўринишдаги намуналар учун тузатиш функциялари ва зондлар жойланиши. X — ток зондлари, O — потенциал зондлари.

лар орасидаги тўла кучланиш (2.53) даги ташкил этувчи-ларнинг бирига тенг бўлишига эришиш мумкин. Доира ва яримдоира шаклидаги намуналарда U_p , U_H ни ўлчаш учун зондлар квадрати диагонали радиал симметрия чизиги бўйича жойлаштирилади. U_M ни ўлчашда потенциал зондлар сифатида (1,3 ёки 2,4) радиал симметрия чизигига тик диагонали бўйича жойлашган зондлар олинади. I_p ни ўлчашда ($\tilde{B}=0$) да 3 ва 4 зондлардан ток ўтказиб, I_{34} ва 2 зондлар орқали кучланиш ўлчанади ёки аксинча.

C_p , C_H — тузатиш коэффициентлари 2.9-расмда келтирилгандар. Бу ўлчовлар орқали солиштирма қаршилилар ва Холл доимийиси қуидаги

$$\rho = \frac{\pi d}{C_p I \ln 2}; \quad R_H = \frac{\pi U_H}{C_H BI} \quad (2.55)$$

ифодалардан топилади. 2.10-расмда тўғри тўртбурчак шаклидаги пластинкаларда зондларнинг жойланиши ва тузатиш коэффициентлари C_p , C_H келтирилгандар.

2.6 §. Холл эфектини ўлчашдаги мунтазам (систематик) хатоликларга таъсир этувчи омиллар

Холл эфекти билан ҳамроҳ (бирга содир бўладиган) бўлган термогальваномагнит ҳодисалардан ташқари, бир қанча омиллар борки, улар Холл эфектини ўлчашдаги мунтазам хатоликларга таъсир этади. Шу омилларни қисқача кўриб чиқайлик.

1. Намуна кўндаланг кесимида ўтказилган металл электродлар Холл кучланишини шунтлайди, натижада Холл зондлари орасидаги потенциаллар айирмаси унинг ҳақиқий қийматидан (U_H) кичик бўлади. Холл кучланиши Холл контактлари ва ток электродлари орасидаги масофага боғлиқ. Намунанинг ўртасида жойлашган Холл контактларидаги кучланиш намуна узунлигининг энига нисбати $a/b \geq 5$ бўлганда максимумга эришади ва Холл кучланишидан 1% дан катта бўлмаган қиймат билан фарқланади. Шунинг учун яримўтказгич намуналарда Холл эфектини ўлчашга тайёрлашда шунга амал қилиниши керак.

2. Холл доимийиси кучсиз магнит майдонида ($\mu_n B \ll 1$) намунадан ўтаётган токка I , магнит майдон индукциясига B_y ва Холл кучланишига тўғри пропорционал бўлади. Германий ва кремний намуналари учун магнит майдонининг кичиклик шарти магнит майдон индукциясининг $B < 1$ Тл бўлган соҳаларида бажарилади. Масалан, $InSb$ да $\mu_n B \ll 1$ тенгсизлик магнит майдон индукциясининг $B < 0,3$ Тл соҳаларида бажарилади. Шундай қилиб, ҳар бир ярим-

ўтказгич учун магнит майдонининг кичиклик шартини қаноатлантирувчи магнит майдон индукциясининг катталигини билиш керак, шунда бу билан боғлиқ ўлчашда-ги хатолик йўқотилади.

3. Холл доимийлари (2.7), (2.8)), (2.9) ифодаларининг хоссалари ҳамма йўналишда бир хил бўлсин деб фараз қилинган намуналар, яъни, изотроп намуналар учун ўрин-лидир. Умумий ҳолда хоссалари анизатроп бўлган яrim-ўтказгичлар учун бу муносабатлар бажарилмайди. Лекин ток ва магнит майдон йўналишлари намунанинг кристаллографик ўқлари йўналишидан катта фарқ қилмаса, бу билан боғлиқ хатоликни йўқотиш мумкин. Холл доимийсини аниқлашда U_H ни магнитнинг икки йўналишида ўлчаб, натижалар ўртасини олиш тавсия этилади. Бу тавсия, яъни ўзгармас ток ва ўзгармас магнит майдонида Холл доимийсини ўлчашда инобатга олинади.

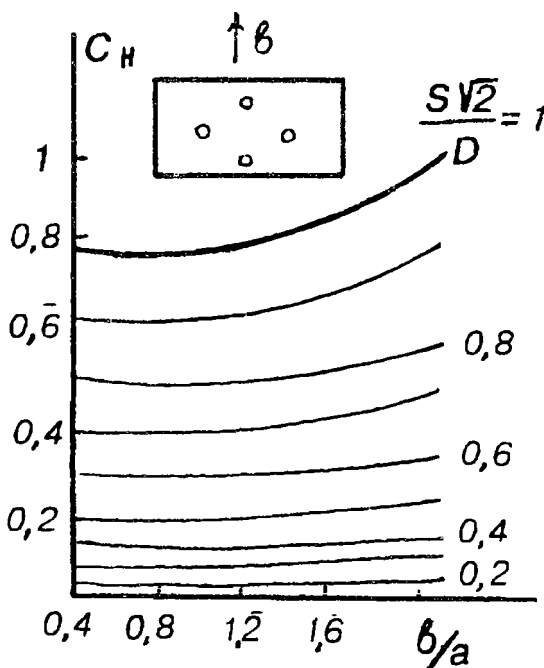
4. Холл эфектининг юқорида келтирилган формууларни фақат энергия зоналари *айнимаган* яrim-ўтказгичлар учун келтирилган, акс ҳолда ўлчанаётган Холл доимий-сига ҳар бир энергия зоналаридаги заряд ташувчиларнинг кўшган ҳиссасини ҳисобга олиш керак. Масалан, *p*-тип германий валент зонаси *айниган* бўлиб, у оғир кавакли ва енгил кавакли тармоқлардан, ҳамда ўзаро спин орбитал таъсирилашуви туфайли парчалангандан тармоқдан иборатдир. Маълумки, концентрациялари ва ҳаракатчанликла-рининг нисбатлари

$$\frac{P_l}{P_h} = 0,04; \quad \frac{\mu_{pl}}{\mu_{ph}} = 8 \quad (2.56)$$

мос равища тенгдир. *p*-тип германий учун Холл доимийси

$$R_{pH} = \frac{r_H e \mu_{pe}^2 P_e - r_{Hh} \mu_{ph}^2 P_h}{e(\mu_{ph} P_l + \mu_{ph} P_h)^2} \quad (2.57)$$

ифода билан аниқланади. Енгил ва оғир кавакларнинг тажрибада аниқланган Холл доимийсига кўшган ҳиссалирини ажратиш мумкин эмас, шунинг учун тажрибада аниқланган Холл доимийси, Холл ҳаракатчанлиги фақат

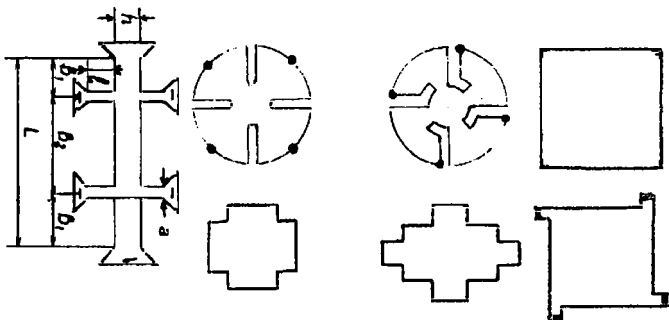


2.10-расм. Тўрт зондли Холл усули билан ўлчашда тўғри тўртбурчак шаклдаги намуна учун тузатиш функцияси.

яrimўтказгичнинг киришма билан легирланиш даражасини микдорий, заряд ташувчиларнинг сочилиш механизmlарини сифат жиҳатдан баҳолашда хизмат қилиши мумкин.

Зоналар тузилиши мураккаб бўлган яrimўтказгичларда тажрибадан олинган. μ_H ва R_H ларни аниқ изоҳлаш (тавсифлаш) учун текширилаётган муайян материалларда уларнинг зоналар тузилишини ҳисобга олган Холл эффиқти устида назарий тадқиқотлар ўтказиш керак.

5. Холл фактори магнит майдонининг индукциясига боғлиқ. Кучли магнит майдонида заряд ташувчилар релаксация вақтининг иссиқлик энергиясига боғлиқ, функцияси кучсиз. Щунинг учун заряд ташувчиларнинг сочилиш механизmlарида магнит майдон ошиши билан Холл фактори бирга интилади ($r_H \rightarrow 1$). Холл факторининг



2.11-расм. Холл эфектини ўлчашда қўлланиладиган ҳар хил кўринишдаги намуналар.

магнит майдонига боғлиқлиги, ҳаракатчанлиги катта бўлган яримўтказгичларда кучлироқ намоён бўлади. Масалан, n -тип GaAs да τ_h нинг магнит майдонга боғлиқлиги нисбатан кичик майдон соҳасида бошланади. Бу билан боғлиқ хатоликларни йўқотиш учун Холл кучланишини токка ва магнит майдонига чизиқли боғланиш соҳасида, яъни кичик магнит майдонда Холл эфекти ўлчаниши керак.

6. Холл эфекти ўлчанаётган намунанинг ёритилишидан баъзан пайдо бўлган фотоўтказувчанлик, фото ЭЮК хатоликка олиб келиши мумкин. Шунинг учун олдин намунани ёруғликка сезгирлиги текширилади, мабодо у ёруғликка сезгир бўлса, ўлчовлар қоронфуда олиб борилади. Хатоликни камайтириш учун бундан ташқари қўйидагиларга риоя қилиш керак. Электр майдон кучланганини 1V/cm тартибида бўлиши, контактларнинг инжекциясини йўқотиш, юқори Om ли намуналарда сирт ўтказувчанлиги билан боғлиқ сирт сирқиши токлари йўқотилиши керак. Бу омиллар маълум ўлчаш чизмаларини танлаш билан ёки ҳар хил кимёвий ишловлар бериш билан йўқотилади. Холл зондлари орқали намуна шунтланмаслиги учун маълум бир шаклда, масалан, “гантель” кўринишида намуналар тайёрлаш тавсия этилади (2.11-расм).

Тўртта Холл kontaktli намуна тайёрлашда уларнинг ўлчамлари $c \geq 0,1 \text{ см}$; $b_1, b_2 \geq 2h$; $d \leq 0,1 \text{ см}$; $1 \text{ см} \leq L \leq 1,5 \text{ см}$ тартибида бўлиши тавсия этилади.

2.7 §. Яримўтказгичларда заряд ташувчилар концентрацияси ва ҳаракатчанлигини намунанинг магнит қаршилиги бўйича аниқлаш

a) *Магнито қаршилик (магниторезистив) эффекти.*

Биз юқорида узун, энсиз намуналарда Холл эффицити-ни Холл электр юритувчи кучи пайдо бўлиши билан на-моён бўлишини кўрдик. Маълумки, n -тип ўтказувчаникка эга бўлса, намунада эркин электронларнинг релаксация вақтини уларнинг энергиясига боғлиқлигини назарда тут-сак, электр майдонида электронлар ҳар хил дрейф тезлик

$$V_{\text{др}} = -\frac{e}{m_e} \tau(\varepsilon) \vec{E}$$

билин ҳаракатланади. Шунинг учун уларга магнит майдонида ҳар хил катталикда бўлган Лоренц кучи

$$\vec{F}_x = -e \cdot \frac{e}{m_e} \cdot \tau(\varepsilon) E_x \cdot \vec{B}$$

таъсир этади. Холл электр майдони (E_H) мувозанатга (ста-ционар ҳолатга) эришганда тезликлари ўртacha энергияга (ε) мос келган электронларда (\vec{E}_H) нинг электронга таъ-сир кучи Лоренц кучига tengлашади. Шунинг учун дрейф ҳаракатига магнит майдон таъсир этмайди. Тезликлари ўртacha тезликдан катта ва кичик бўлган электронлар эса ҳаракат йўналишларини электр майдонига нисбатан ўзгар-тиради, уларнинг ҳаракат йўли оғади. Оқибатда магнит майдонида намуна қаршилигининг ортиши кузатилади. Бу ҳодиса физикавий магнит қаршилик эфекти деб ата-лади. Мазкур эфектнинг батафсил назарияси Больцман-нинг кинетик тенгламаси ечими асосида қаралади. Маг-нит майдонида нисбий солиштирма қаршиликнинг ўзга-риши $j_x = \text{const}$ ва $j_y = 0$ бўлганда

$$\frac{\Delta \varphi}{\rho} = \frac{E_x(B) - E_x(O)}{E_x(O)} = \frac{E(B)}{E(O)} - 1 \quad (2.58)$$

ифода билан аниқланади.

Кучсиз магнит майдонида ($\mu_n B \ll 1$ ёки $\mu^2 B^2 \ll 1$) киришмавий (n ёки p -тип) ўтказувчанликли яримўтказгичлар учун нисбий солиштирма қаршиликнинг магнит майдонида ўзгариши

$$\frac{\Delta\rho(B)}{\rho(O)} = \frac{\rho(B) - \rho(O)}{\rho(O)} \quad (2.59)$$

ифода билан, физикавий магнито солиштирма ўтказувчанлик

$$\sigma(B) = e\mu_n n(1 - \beta B^2 \mu_n^2) \quad (2.60)$$

ифода билан аниқланади. Бу ерда, β — физикавий

$$\beta = \frac{<\tau^3> <\tau> - <\tau^2>^2}{<\tau>^4} \quad (2.61)$$

магнито қаршилик коэффициенти. Релаксация вақтининг энергияга боғланишини назарда тутмаслик, яъни электронларнинг тезликлари энергияси қандай бўлишидан қатъи назар, бир хил бўлади деб олиш магнит қаршилик коэффициентини тўла йўқотишга олиб келади ($\beta=0$): β — заряд ташувчиларнинг сочилиш механизмига, яримўтказгичларнинг зоналар тузилишига боғлиқ. Кўп ҳолларда релаксация вақти (τ) нинг энергияга боғлиқлиги даражали функция $\tau \sim e^{-S}$ бўлади. Бунда электронларнинг изознергетик сатҳлари шар сиртидан иборат бўлса, кучсиз магнит майдонда ва айнимаган яримўтказгичларда заряд ташувчиларда турли сочилиш механизmlари содир бўлгандаги S -нинг, Холл фактори r_H , магнит қаршилик коэффициенти β -нинг қийматлари 2.2-жадвалда келтирилган.

Жадвал таҳлилидан кўринадики, магнито қаршилик коэффициенти Холл факторига нисбатан сочилиш механизмига кучлироқ боғлиқ экан. Кристалл панжараси кубик сингоний тузилишли яримўтказгичлар Ge , Si , $GaAs$, $InSb$ ва ҳоказоларда Холл эфектининг катталиги кристалл ўқларининг йўналишига боғлиқ бўлмайди. Холл ўлчовларини кристалл ўқларининг исталган йўналишида бажариш мумкин. Магнит қаршиликнинг катталиги эса

Ўлчашнинг қайси кристаллографик ўқларига нисбатан бажарилишига боғлиқ. Холл эффицидат магнитоқаршилик катталигини ўлчаш техник жиҳатдан Холл электр юритувчи кучини ёки Холл токини ўлчашга нисбатан соддароқ. Лекин юқорида кўрсатилганлар ҳаракатчаникни физикавий магнито қаршилик бўйича бир мунча қийинчиликларга ва катта хатоликларга олиб келиши мумкин. Бўйи калта, эни сербар намуналарда Холл эффицидат Холл токи пайдо бўлиши билан намоён бўлишини кўрган эдик. Бунда магнит майдонида ҳосил бўлган Холл токи (I_H) ўтказувчаник токини оғдиради (2.5-расм). Ток ўтаган наий шаклидаги каналнинг узунлиги (a) магнит майдонида ортиб $a(1+\mu^2B^2)^{1/2}$, эни (w) камайиб $w/(1+\mu^2B^2)$ бўлишилиги оқибатида, ўтказувчаник $w/a(1+\mu^2B^2)^{-1}$ га пропорционал бўлади. Шундай қилиб, магнит майдони намунасининг ўтказувчанигини камайтиради, яъни қаршилигини оширади. Бу ҳодиса, физикавий магнито қаршилиқдан фарқли ўлароқ, геометрик магнит қаршилик эффицидат деб аталади. Демак, тоза магнитоқаршилик эффицидат бўйи калта, эни сербар бўлган намуналарда электр майдонининг бир жинсли соҳасида амалга ошади. Ўлчамлари чекланган намуна учун нисбий магнито қаршилик $E_x = \text{const}$, $E_y = 0$ да ўлчангандা

2.2-жадвал

Сочилиш механизмлари	S	r_H	β	β_r
Ионлашган киришмаларда	3/2	1,93	2,15	5,89
Нейтрал киришмаларда	0	1	1	1
Акустик фононларда	-1/2	1,18	0,381	1,77

$$\left(\frac{\Delta\rho(B)}{\rho(O)} \right)_\Gamma = \frac{E_x(B) - E_x(O)}{E_x(O)} = \frac{j_x(B)}{j(O)} \quad (2.62)$$

кўринишишни олади. n -тип яримўтказгичларнинг геометрик магнитоқаршилик эффиқти орқали нисбий солиштирма қаршиликнинг магнит майдонида ўзгариши $\mu_n B \ll 1$ да

$$(\Delta\rho/\rho)_r = \beta_r \mu_n^2 B^2 \quad (2.63)$$

формула билан аниқланади. Бу ерда,

$$\beta_r = \frac{\langle \tau^3 \rangle}{\langle \tau \rangle^3} \quad (2.64)$$

геометрик магнитоқаршилик коэффициенти, β_r — сочилиш механизмига боғлиқ бўлган катталик бўлиб, унинг қиймати жадвалда келтирилган. Кучли магнит майдони $\mu_n B \gg 1$ да геометрик магнитоқаршиликни $\mu_n^2 B^2$ га пропорционаллиги сақланади, физикавий магнитоқаршилик эса заряд ташувчилар ҳаракатчанлигига боғлиқ бўлмаган қийматга эришиб тўйинади. Ҳаракатчанлиги катта бўлган яримўтказгичларда магнит майдон индукциясининг кичик қийматларида кучли магнит майдони шарти амалга ошгани учун бундай яримўтказгичларда геометрик магнитоқаршилик усули бўйича μ_n ни аниқлаш афзалроқдир. Бундан ташқари, физикавий солиштирма магнитоқаршилиги релаксация вақтларининг ҳар хил ўртачалаشتарилилган қийматларининг айрмаси билан боғланган (2.60) ва у жуда кичик бўлиши мумкин. Масалан, $GaAs$ да уй температурасида қаршиликнинг нисбий ўзгариши $B=1\text{ Тл}$ да $\Delta\rho/\rho \approx 2\%$ а $(\Delta\rho/\rho)_r \approx 50\%$ га тенг.

б. Заряд ташувчилар ҳаракатчанлигини намунанинг геометрик магнитоқаршилиги бўйича аниқлаш

Бу усул билан заряд ташувчилар ҳаракатчанлигини ўлчаш бўйи калта, эни сербар бўлган намуналарда геометрик магнитоқаршилик кузатиладиган ($E_x = \text{const}$, $E_y = 0$) шарт бажарилганда ўринли бўлган (2.72) ифодага асосланган. Намуна қисқа ва сербар бўлса, металл контактлар (электродлар) орқали Холл электр майдони уланади. Бунда электр майдони намуна бўйлаб йўналади, электр токи эса майдонга нисбатан Холл бурчагига оғган ҳолда оқади. n -тип яримўтказгичлар учун Холл ҳаракатчанлиги билан геометрик магнитоқаршилик бўйича ўлчангандан ҳара-

катчанлик орасидаги боғланишни кўрайлик. Геометрик магнитоқаршилик орқали аниқланадиган ҳаракатчанликни (2.63) дан топамиз

$$\mu_r = \frac{1}{B} \left[\frac{\Delta\rho(B)}{\rho(0)} \right]_r^{\frac{1}{2}} = \beta_r^{\frac{1}{2}} \mu_s \quad (2.65)$$

Магнит майдон уланмагандаги пластинада шаклидаги намуналарнинг юза бирлигидаги қаршиликлари $R(0)$ ва $R(B)$ бўлсин. Кучсиз магнит майдони $\mu B \ll 1$ да (2.63) га кўра уларнинг нисбати

$$\frac{\Delta R(B)}{R(0)} = (\mu_r B)^2 = (r_H \mu_s \xi B)^2 \quad (2.66)$$

бўлади, бу ерда

$$\xi = \frac{\beta_r^{\frac{1}{2}}}{r_H} = \frac{\mu_r}{(r_H \mu_s)} \quad (2.67)$$

(2.67) ифодадан сочилиш механизмига боғлиқ коэффициент ξ ни тажрибада аниқлаш мумкинлиги кўринади. Релаксациянинг вақт доимийси импульс бўйича ўзгармас бўлган тақрибидаги $\xi=1$, акустик фононларда сочилиш бўлса $\xi=1,13$, ионлашган киришма атомларида сочилса $\xi=1,26$ га тенг бўлади. (2.26) ва (2.31) формулалар чексиз катта ўлчамли $b \gg a$ юпқа намуналар учун, яъни Холл электр майдони кузатилмайдиган ҳол учун ўринли. Намуна ўлчамлари чекланганда Холл электр майдони қисман шунтланади (металл электродлари) ва геометрик магнитоқаршиликни камайтиради. Шундай қилиб, геометрик магнитоқаршилик эфекти намунанинг ўлчамларига боғлиқ. Холл электр юритувчи кучи қисқа тўғри бурчакли пластинкаларда аниқланганда, тенгламага Холл ЭЮК ини контактлар орқали шунтланиш даражасини ифодаловчи тузатиш функцияси f киритилади ва у орқали ўлчамлари чекланган намунанинг нисбий геометрик магнитоқаршилиги

$$\left[\frac{\Delta R(B)}{R(0)} \right]_i = \frac{\Delta R(B)}{R(0)} \cdot f \quad (2.68)$$

аниқланади. Энг содда ҳолда f намуна узунлигини кенглигига нисбати билан аниқланади. Нисбат $a/b \leq 0,35$ бўлганда, аниқланиш хатолиги 10% дан катта бўлмагандан $f=1-0,543 \frac{a}{b}$ билан ифодаланади. a/b нисбатнинг исталган қийматида f — релаксация вақтининг ўрталаштирилган қийматига боғлиқ. * Шундай қилиб, μ_r — ҳаракатчанликни сферикозэнергетик сиртли киришмавий яримўтказгичларда аниқлаш мумкин. Геометрик магнитоқаршилик шакли Корбино диски кўринишида бўлган намуналарда ҳам кузатилади (2.12,б-расм). Бунда марказий контакт айланма ҳалқасимон контакт билан ажратилган. Корбино диски шаклидаги намунада электр майдонининг азимутал ташкил этувчиси $E_4=0$ бўлади, бу йўналишда $j_n=j_p \neq 0$ Холл токи оқади. Магнит майдонидаги ток зичликлари ифодаси (2.26) дан

$$\frac{R(B)}{R(0)} = \frac{\rho(B)}{\rho(0)} (1 + \mu_{sh}^2 B^2) \quad (2.69)$$

ифодани олиш мумкин. Корбино доираси учун бу формулага

$$R(B) = \Delta R(B) + R(0); \quad \rho(B) = \Delta \rho(B) + \rho(0)$$

ни қўйиб, Холл ҳаракатчанлигининг

$$\mu_{sh} = \frac{1}{B} \sqrt{\frac{\frac{\Delta R(B)}{R(0)} - \frac{\Delta \rho(\bar{B})}{\rho(0)}}{1 + \frac{\Delta \rho(\bar{B})}{\rho(0)}}} \quad (2.70)$$

ифода билан аниқланишини кўрамиз. Физикавий магнитоқаршилик жуда кичик бўлган ҳолда $\frac{\Delta \rho(B)}{\rho(0)} \ll \frac{\Delta R(B)}{R(0)}$ Корбино доираси (диски)да магнитоқаршилик бўйича ҳаракатчанлик қўйидагича аниқланади:

$$\mu_{nH} = \frac{1}{B} \sqrt{\frac{\Delta R(B)}{R(0)}} \quad (2.71)$$

Геометрик магнитоқаршилик усули әпітаксиал қатламларда юқори Ом ли қатламлар заряд ташувчиларининг ҳарақатчанликларини ўлчашда энг қулайдир (nn^+ , pp^+ — структураларда). Бу усулда ҳам контактлар қаршилиги кичик бўлиши керак, чунки у $R(0)$ ни ошириб, ҳаракатчанликни камайтиради ва натижада мунтазам хатолик вужудга келади. Назарий текширишларнинг кўрсатишича, электр майдони йўналишида концентрация градиенти магнит қаршиликнинг ўзгаришига олиб келмайди. Магнит майдонидаги ва майдон бўлмагандаги қаршиликлар ўртача солиштирма қаршиликка пропорционал бўлади. Эпітаксиал технология билан қатламлар солища бу жуда муҳимдир. Магнит майдонининг электр майдони йўналишига нисбатан йўналишига қаттиқ талаб қўйилмайди. Масалан, магнит майдони 26° га оғганда ҳаракатчанликни ўлчашдаги хатолик 10% дан ошмайди. Намунани магнит майдонида текширганда ўзгармас ва ўзгарувчан ток қўприклидан фойдаланилади. Ўлчовлар магнит майдонининг ҳар хил қийматларида олиб борилади, $\Delta R(B)/R(0)$ нисбат B^2 ва пропорционал бўлади. Тажриба натижаларидан заряд ташувчиларнинг ҳаракатчанлиги (2.30) билан ҳисобланади. Қаршиликни ўлчаш қўприклиарининг чиқиши сигналларидан илдиз чиқариш учун, электрон чизмасини қўллаш билан ҳаракатчанликка пропорционал сигнал олинади. У геометрик қаршилик усули билан ҳаракатчанликни тўғридан-тўғри аниқловчи асбоб яратиш имконини туғдиради.

2.8 §. Яримўтказгичларда тақиқланган зона кенглигини, донор ва акцептор киришма атомларининг концентрацияси ва ионланиш энергиясини аниқлаш

a. Тақиқланган зона кенглигини солиштирма ўтказувчаникнинг температурага боғлиқлигидан аниқлаш

Яримўтказгичларнинг солиштирма ўтказувчаникни хусусий электр ўтказувчаник ($n-p-n$) соҳасида қўйидаги

$$\sigma_i = e n_i (\mu_n + \mu_p) \quad (2.72)$$

формула билан ифодаланади, бу ерда n_i — заряд ташувчилярнинг хусусий концентрацияси. Яримүтказгичларда электрон ва каваклар статистикасига кўра хусусий концентрация

$$n_i = (N_c \cdot N_v)^{1/2} \exp\left(-\frac{Eg}{2kT}\right) \quad (2.73)$$

ифода билан топилади. Бу ерда:

$$N_c = 2(2\pi m_n^* k T / h^2)^{3/2}; \quad N_v = 2(2\pi m_p^* k T / h^2)^{3/2} \quad (2.74)$$

бўлиб, улар мос равишида ўтказувчанлик ва валент зоналарида эффектив квант ҳолатларининг зичлиги, Eg — тақиқланган зона кенглиги, K — Больцман доимийси, T — температура, m_n^* , m_p^* — электрон ва кавакларнинг эффектив массалари. (2.74) дан кўринадики,

$$(N_c \cdot N_v)^{1/2} \sim T^{3/2}.$$

Электрон ва каваклар ҳаракатчанлигининг температурага боғлиқлиги бир хил бўлади деб қабул қилиб, уларнинг ҳар бирида ҳаракатчанликнинг температурага боғлиқлигини кенг температура оралиғида температуранинг даражали функцияси кўринишида ифодалаш мумкин:

$$\mu_{n,p} = A_{n,p} T^\eta \quad (2.75)$$

Ҳақиқатда электрон ва кавакларнинг температурага боғлиқлиги бир-биридан фарқ қиласди, бошқача қилиб айтганда, улар ҳар хил қийматдаги η — билан аниқланади. Ҳаракатчанликлар нисбати $b = \frac{\mu_n}{\mu_p}$ температурага боғлиқ бўлмаган доимий катталиқдир. Юқорида қайд қилинган фаразларга кўра, хусусий солиштирма электр ўтказувчанлик (2.72) ни

$$\sigma_i = C T^{\frac{3}{2}-\eta} \exp\left(-\frac{Eg}{2kT}\right) \quad (2.76)$$

кўринишида ёзиш мумкин. (2.76) ни логарифмлаб, қуйидаги кўринишида ифодалаш мумкин:

$$\ln(\sigma_i T^{(n-\chi)}) = \ln C - \frac{E_g}{2\kappa T} \quad (2.77)$$

Демак, тажрибада ўлчанган хусусий солиштирма электр ўтказувчанликнинг температурага боғлиқлигини (2.78) ифода кўринишидаги графигини тасвиirlаб E_g -ни аниqlаш мумкин экан:

$$E_g = -2\kappa \frac{\Delta \ln(\sigma_i T^{n-\chi})}{\Delta(1/T)} \quad (2.78)$$

Электрон-вольт бирлигига E_g ни аниqlаш учун қуйидаги формула ишлатилади:

$$E_g = -0,397 \frac{\Delta \ln(\sigma_i T^{n-\chi})}{\Delta(1000/T)} \quad (2.79)$$

(2.76) ва (2.77) формулалардан кўринадики, E_g ни аниqlаш учун η қийматини билиш керак. Лекин кўп ҳолларда $\eta \sim 3/2$ тартибида бўлгани учун $T^{n-\chi} = 1$ кўпайтмани ташлаб юбориш мумкин. Юқори температура соҳасида $\ln(\sigma_i T^{n-\chi})$ ни $(1/T)$ га боғланишини қўллашда хусусий ўтказувчанликнинг ҳамда аралашма ўтказувчанлик соҳаларида чизиқли боғланишдан четга чиқишини назарда тутиш керак. Юқори температураларда бу боғланишнинг чизиқли боғланишдан четга чиқиши заряд ташувчиларнинг юқори тартибли сочилиш эффиқти таъсирида вужудга келиши мумкин. Киришмавий электр ўтказувчанликда ҳаракатчанлиги кичик бўлган заряд ташувчилар пайдо бўлса, хусусий ўтказувчанликдан киришмавий ўтказувчанлик соҳасига ўтганда, чизиқли боғланишдан сезиларли даражада четга чиқиши кузатилади. $E_g = \text{const}$ бўлганда, яъни температурага боғлиқ бўлмаса, (2.77) ифода билан топилган E_g тақиқланган зонанинг катталигига teng бўлади.

Хақиқатда тақиқланган зона кенглиги температурага боғлиқ бўлади ва бу боғланишнинг кўриниши ўлчаш натижаларига қучли таъсир кўрсатади. Агар E_g нинг температурага боғланиши

$$E_g = E_{g_0} - \beta T \quad (2.80)$$

кўринишда бўлса, кўрилаётган усул билан (2.77) дан $T=0$ даги тақиқланган зона кенглигининг қиймати аниқланади. У исталган температурадаги қийматини (2.91) орқали аниқлаш учун β бошқа ўлчашлар билан топилган бўлиши керак. E_g нинг ҳароратга боғланиши мураккаброқ чизиқли бўлмаган кўринишда бўлса, $\ln(\sigma_e T^{n-3/2})$ нинг $1/T$ га боғлиқлиги чизиқли боғланишдан анча четта чиқади ва (2.78) формула билан топилган энергия қиймати тақиқланган зона кенглигининг ҳақиқий қийматини ҳеч қайси бир температурада бермайди (ифодаламайди).

б. Холл доимийсининг температурага боғланишига тақиқланган зона кенглигини аниқлаш

Биз юқорида келтирган аралашмавий (киришмавий) ўтказувчанликка эга бўлган яримўтказгичларнинг Холл доимийси (2.09) хусусий ўтказувчанлик соҳаси ($n=p=n_i$) да (2.09) ва (2.73) формулаларга кўра қуйидаги

$$R_H = \frac{r_H}{e} \frac{\mu_n - \mu_p}{\mu_n + \mu_p} (N_c \cdot N_v)^{-1/2} \exp\left(\frac{E_g}{2kT}\right) \quad (2.81)$$

кўринишга эга бўлишини кўрган эдик. Кўп ҳолларда амалда бажариладиган $\frac{\mu_n - \mu_p}{\mu_n + \mu_p}$ нисбатнинг температурага боғлиқ эмас деб фараз қилиб, (2.81)

$$R_H T^X = c \exp\left(\frac{E_g}{2kT}\right) \quad (2.82)$$

кўринишга келтирилади (2.82) дан кўринадики, Холл доимийсини ҳар хил температурада ўлчаб, хусусий ўтказув-

чанлик соҳасида E_g ни аниқлаш мумкин. Бунинг учун тажриба натижасини $\ln(R_H T^{n-\frac{1}{2}})$ нинг $1/T$ га боғланиши кўринишида чизиб, унинг оғиш бурчаги тангенси топилади ва у орқали E_g ҳисобланади:

$$Eg = 2k \frac{\Delta \ln(R_H T^{\frac{3}{2}})}{\Delta(1/T)} \quad (2.83)$$

E_g -ни электрон-вольт бирлигига аниқлаш учун

$$E_g = 0.397 \frac{\Delta \lg(R_H T^{\frac{3}{2}})}{\Delta \left(\frac{1000}{T} \right)} \quad (2.84)$$

ифода қўлланилади. Шуни айтиш керакки, бу усул билан топилган E_g температураси $T=0$ К га мос келган ҳақиқий тақиқланган зона кенглигини беради. Агар $\ln(R_H T^{n-\frac{1}{2}})$ нинг $(1/T)$ га боғланиши чизиқли боғланищдан кучли фарқ қиласа, буни тақиқланган зона кенглигининг температурага чизиқли боғланишидан фарқ қилиши билан ҳамда катта концентрацияли заряд ташувчиларни қўп фононли сочилиш ва электрон-кавак жуфтларида сочилиш жараёнларини вужудга келиши билан тушунтириш мумкин. Бу охирги икки жараён сочилиш механизмларига боғлиқ бўлган Холл коэффициентларига (r_{nh} , r_{ph}) таъсир қиласи, ҳаракатчанликнинг температурага боғланиши кўринишини ўзгартиради.

в. Эркин заряд ташувчиларнинг концентрациясини температурага боғланишидан ΔE , N_A , N_D -ни аниқлаш

Холл доимийсининг катта температура оралиғида ўзгаришини тадқиқ қилишда эркин заряд ташувчилар концентрациясининг ҳароратга боғлиқлигини таҳдил қилмоқ керак. Умумий ҳолда уни таҳдил қилиш анчагина мураккаб масаладир. Ҳақиқий n -тип яримўтказгичларда ҳамма вақт бир неча турдаги донор ва акцептор киришмалар бўлади. Баъзи бир киришма атомлари биргина электронни эмас, балки бир неча электронни бериши ёки қабул қилиши (бириктириши) мумкин. Киришма атомларининг

асосий сатҳидан ташқари, киришмаларнинг қўзғалган сатҳи электронни тутиб олиши мумкин. Булардан ташқари энергетик сатҳларнинг айнишини ҳисобга олиш керак.

Ҳар бир яримўтказгичда қандайдир миқдорда донор ҳамда акцептор киришмаларининг бўлиши яримўтказгични қисман компенсациялайди. Шунинг учун, ҳар бир алоҳида олинган ҳолда, нимани ташлаб юбориш кераклиги ҳал қилиниши керак.

Айтайлик, яримўтказгичнинг тақиқланган зонасида энергия сатҳлари E_D ва E_A бўлган донор ва акцептор киришмалар ва уларнинг концентрациялари N_D , N_A ва $N_D > N_A$ бўлсин. Шундай қилиб, яримўтказгич электрон ўтказувчанликка эга бўлиб, қисман компенсацияланган бўлади. Бизга маълумки, электронейтраллик шароитида мусбат зарядлар миқдори манфий зарядлар миқдорига тенг бўлади. Манфий зарядлар ўтказувчан зонадаги Эркин электронлар концентрацияси билан акцептор сатҳидаги ионлашган акцептор атомларининг йифиндисига тенг, мусбат зарядлар зичлиги валент зонадаги каваклар концентрацияси билан ионлашган донор киришма атомлари йифиндисидан иборат. Яримўтказгичларда электрон ва каваклар статистикасига кўра донор сатҳидаги электронлар ва акцептор сатҳидаги электронлар концентрациялари қуидаги ифодалар билан аниқланади:

$$n_D = \frac{N_D}{1 + \frac{1}{g_D} \exp\left(-\frac{E_D - E_F}{kT}\right)} \quad (2.85)$$

$$n_A = \frac{N_A}{1 + \frac{1}{g_A} \exp\left(-\frac{E_A - E_F}{kT}\right)}$$

Бу ерда g_D , g_A киришма сатҳларининг айниш коэффициенти омили содда бўлган ҳолда сатҳларнинг айниши факат электрон спини билан боғланган бўлганда, донор киришмаси учун $g_D=2$, акцептор киришмаси учун $g_A=1/2$ бўлади. Германийда саёз энергетик сатҳ ҳосил қиласидиган

донор киришмалар сатҳи учун $g_D=2$ га, акцептор сатҳлар учун $g_A=4$ га тенг бўлади. Юқоридаги изоҳга кўра айни-маган n -тип киришмавий яримутказгичлар учун электронейтраллик шарти

$$n + n_A = N_D - n_0 + p \quad (2.86)$$

кўринишни олади. Бу тенглама асосида заряд ташувчилар концентрациясининг температурага боғлиқлигини таҳдил қилиш мумкин ва уларда ўзига хос характерли соҳаларни аниқлаш мумкин. (2.86) да Маҳаллий рекомбинация марказларидағи электронлар ҳисобга олинмаган, яъни рекомбинация марказларининг концентрацияси кичик деб фараз қилинган. Паст температуранар соҳасида валент зонадаги каваклар концентрациясини электрон концентрациясига нисбатан ҳисобга олмаслик мумкин ($n \gg p$). Бундан ташқари, ҳамма акцептор киришма атомини ионлашган $n_A = N_A$ деб ҳисоблаш мумкин. Шу тахминларни назарда тутсак, электронейтраллик тенгламаси (2.86)

$$n + n_A - N_D - n_D = n + N_A - N_D + N_D \left[1 + \frac{1}{g_0} \exp \left(\frac{E_D - E_F}{KT} \right) \right]^{-1} = 0 \quad (2.87)$$

кўринишга келади. Бу тенгламада

$$n = N_c \exp \left(-\frac{E_D - E_F}{KT} \right) \quad (2.88)$$

бўлишини ҳисобга олиб, (2.87) ифодадан

$$\frac{(n + N_A)n}{N_D - N_A - n} = \frac{N_c}{g_p} e^{-\frac{\Delta E_D}{kT}} \quad (2.89)$$

формулага келамиз. Бу ерда $\Delta E_D = E_c - E_D$ — киришма атомининг ионланиш энергияси. Паст температура соҳасида электрон концентрацияси камаяди ва (2.89) нинг маҳражида электрон концентрациясини N_D -га нисбатан ташлаб юбориш мумкин. Бунда (2.89) дан

$$n = \frac{N_D - N_A}{N_A + n} N_c \exp\left(-\frac{\Delta E_D}{kT}\right) \quad (2.90)$$

ифодани оламиз ва уни температурага боғлиқ икки соҳасини текшириб кўрамиз:

Тўла ионланиш температурасидан

1. Паст температурада ($T_3 > T_1$)

$$\begin{aligned} n \ll N_A, \text{ агар } N_D > 2N_A \\ (2.91) \end{aligned}$$

$$n \ll N_D, \text{ агар } N_D < 2N_A$$

шартлар бажариладиган соҳада, яъни ярим ўтказгич компенсацияланган соҳада электрон концентрациясининг температурага боғлиқлиги

$$n = \frac{N_D - N_A}{g_D \cdot N_A} N_c \exp\left(-\frac{\Delta E_D}{kT}\right) \quad (2.92)$$

кўринишни олади.

2. Юқорироқ температура соҳасида ($T_3 > T_1 > T_0$), $N_D \gg N_A$, агар $N_D \gg n \gg N_A$ шартлар бажариладиган соҳада, яъни ярим ўтказгич компенсацияланмаган соҳада температура билан заряд ташувчилар (электронлар) концентрациясининг боғланишини

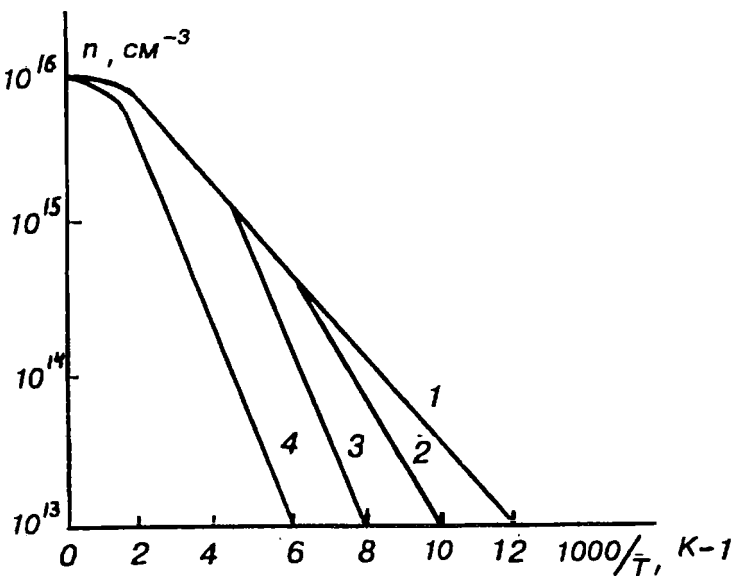
$$n = \sqrt{\frac{N_c N_D}{g_D}} \exp\left(-\frac{\Delta E_D}{2kT}\right) \quad (2.93)$$

кўринишда оламиз.

$n > N_A$ шарт $n < N_A$ шартга қараганда юқорироқ температурада бажарилади, шунинг учун электрон концентрациясининг температурага боғлиқлик графиги икки соҳадан иборат бўлиб, булардан биринчиси аста-секин иккинчи сига ўтади (2.12-расм).

3. Электрон концентрацияси логарифмининг температура ($1/T$) га боғланишини назарий ҳисоблаш натижаси.

Киришмавий электр ўтказувчанлик соҳасида (2.92) ва (2.93) ифодаларга кўра, донор ва акцепторларнинг энер-



2.12-расм. Ҳар хил акцептор концентрациясида назарий ҳисобланган заряд ташувчилар концентрациясининг температурага боғлиқлиги.

$$N_D - N_A = 10^{16} \text{ см}^{-3}; E_b = 0,1 \text{ эВ}; m_e = 0,25 m_0; g_b = \frac{1}{2} \text{ бўлган хол учун}$$

$$1 - N_A = 0 : 2 - N_A = 10^{14} \text{ см}^{-3} : 3 - N_A = 10^{15} \text{ см}^{-3} : 4 - N_A = 10^{16} \text{ см}^{-3}$$

гия ионизацияси ΔE_D , ΔE_A нинг тоза киришмавий электр ўтказувчанлик соҳасида Ҳолл доимийсининг температурага боғлиқлиги (компенсацияланмаган яримўтказгичда)

$$\lg(R_H T^{\frac{3}{4}}) = f(1000/T)$$

компенсацияланган киришмавий электр ўтказувчанлик ҳолида эса

$$\lg(R_H T^{\frac{1}{2}}) = f(1000/T) \quad (2.94)$$

функциялари оғиш бурчагининг тангенси орқали (2.83) ини (2.84) дан E_g ни аниқлаш каби топилади.

4. Донор ва акцептор киришма атомларининг концентрацияларини аниқлаш.

Заряд ташувчилар концентрацияларини тажрибада ўлчанган Холл доимийлари орқали n ва p -типдаги киришмавий яримўтказгичларда топишни кўрган эдик. Заряд ташувчилар концентрацияларининг назарий ифодалари тажрибада аниқланган заряд ташувчиларнинг концентрацияларининг температурага боғлиқлигини таҳлил қилишга имкон беради. Тажриба натижаларини таҳлил қилишнинг мақсади шундан иборатки, улар орқали назарий ҳисобланган муносабатларни қаноатлантирувчи катталикларни аниқлашдир. Назарий ҳисобланган катталикларни маълум деб фараз қилиш, тажрибада олинган катталиклардан киришмаларнинг тўла ионланиш соҳасида

$$n(T_3) = N_n - N_A \quad (2.95)$$

қийматни аниқлашга имкон беради. 1 n $n(T) = f(1/T)$ функция оғиши бурчагининг тангенсидан донор киришма атомининг ионланиш энергияси топилади. Бунда ΔE_D ни билган ҳолда T_1 температурада ($T_1 < T_3$) электрон концентрацияси $n(T_1)$ ни ўлчаб, (2.92) дан

$$N_A \cdot g_D = \frac{n(T_3) \cdot N_c}{n(T_1)} \exp\left(-\frac{\Delta E_F}{kT_1}\right) \quad (2.96)$$

ифодани оламиз.

(2.93) ифодани қаноатлантирувчи T_2 температура ($T_3 > T_2 > T_1$) соҳасида электрон концентрациясини билган ҳолда (2.93) дан

$$\frac{N_D}{g_D} = \frac{n^2(T_2)}{N_e} \cdot \exp\left(\frac{\Delta E_F}{kT_2}\right) \quad (2.97)$$

ифода топилади. (2.96) ва (2.97) ларнинг кўпайтмаси ва (2.95) N_D , N_A -га нисбатан тенгламалар тизимини ташкил этади. Тенгламалар тизимининг ечими

$$N_D = \frac{1}{2} A^{\frac{1}{2}} + \frac{1}{2} n(T_3) \quad (2.98)$$

$$N_A = N_D - n(T_3) = \frac{1}{2} A^{\frac{1}{2}} - \frac{1}{2} n(T_3)$$

бўлади, бу ерда

$$A = \left[n^2(T_3) + 4 \frac{n^2(T_2) \cdot n(T_3)}{n(T_1)} \cdot \exp \left[- \frac{\Delta E_D(T_2 - T_1)}{K T_1 T_2} \right] \right]^{\frac{1}{2}}$$

Агар киришма сатҳларининг айниш коэффициентлари (g_A , g_D) маълум бўлса ёки оддиндан танланган бўлса, киришма концентрациясини топишда назарий ҳисобланган (2.96) ёки (2.97) ифодаларнинг биридан фойдаланиш мумкин. Бунда ионланиш энергияси маълум бўлган киришма концентрацияларини аниқлаш Холл доимийсининг икки температурада ўлчангандан қиймати бўйича аниқлаш масаласига келади. Биринчи ўлчаш киришмаларнинг тўла ионланиш соҳасида ўтказилади:

$$R_H(T_3) = \frac{r_{H3}}{en(T_3)} = \frac{r_{H3}}{e(N_D - N_A)} \quad (2.99)$$

Иккинчи ўлчаш T_1 ёки T_2 соҳаларда ўтказилади:

$$R_H(T_1) = \frac{r_{H1}}{en(T_1)}; \quad R_H(T_2) = \frac{r_{H2}}{en(T_2)} \quad (2.100)$$

Булардан (2.96), (2.97) га кўра N_A ва N_D лардан бири

$$N_A = \frac{1}{g_D} \frac{r_{H3}}{R_H(T_3)} \cdot \frac{R_H(T_1)}{r_{H1}} N_c \cdot \exp \left(- \frac{\Delta E_F}{\kappa T_1} \right) \quad (2.101)$$

ёки

$$N_D = \frac{r_{H2}^2 g_D}{(eR_H(T_2))^2 N_c} \exp \left(- \frac{\Delta E_F}{\kappa T} \right)$$

аниқланади. (297) ифода ёрдамида донор концентрацияси N_D аниқланса акцептор концентрацияси N_A ҳисобланади. Аксинча, N_A аниқланса $N_D - N_A = n(r_3)$ дан ҳисобланади. Агар T_1 ва T_2 температураларда заряд ташувчиларда сочилиш кристалл панжарадан ионлашган киришмаларга ўтиш соҳасида бўлса, $\frac{r_{H3}}{r_{H1}} = 0,61$ бўлади ва зарурият бўлганда буни ҳисобга олиш керак. N_A ва N_D ларни аниқлашнинг яна бир усулини кўрайлик. Бу усул заряд ташувчилар концентрациясини аниқлашнинг (2.89) ифодасига асосланган, нейтраллик шартидан олинган (2.89) формуладан акцептор концентрациясини

$$N_A = \frac{1}{g_D} N_c \exp\left(-\frac{\Delta E_D}{kT}\right) \cdot \left(\frac{N_D - N_A}{n} - 1\right) - n \quad (2.102)$$

кўринишига келтирамиз. Бу ифода кенг температура оралифида аралаш ўтказувчанлик соҳасигача бажарилади, чунки буни олишда ҳеч қандай фаразсиз электронейтраллик шартидан тўғридан-тўғри олинган. (2.102) ифодага кўра, киришма атомининг ионланиш энергияси маълум бўлса, Холл доимийсининг икки марта ўлчангандай қиймати бўйича: 1) биринчи ўлчаш киришма атомининг тўла ионланиш соҳасида (T_3); 2) ихтиёрий T_1 температура ($T_1 < T_3$) да шу ўлчашларга кўра, N_D ва N_A

$$N_A = \frac{1}{g_D} N_c \exp\left(-\frac{\Delta E_D}{kT}\right) \cdot \left[\frac{r_{H3} R_H(T_1)}{R_H(T_3) \cdot r_{H1}} - 1 \right] - \frac{r_{H1}}{e R_H(T_1)} \quad (2.103)$$

$$N_D = \frac{r_{H3}}{e R_H(T_3)} + N_A$$

формулалардан ҳисобланади. Умуман 4 та катталиктини N_A , N_D , g_D , ва ΔE_D ни аниқлаш учун (2.102) ифодага кичик квадратлар усулини қўллаб, уларнинг шундай қийматлари топиладики, улар эксперимент натижалари билан мос тушсин. Юқорида келтирилган муроҳаза ва усулларни тўла p -тип ўтказувчанликка эга бўлган яримўтказгичларга ҳам кўллаш мумкин.

Юқорида кўрилган усуллардан ташқари, N_A ва N_B ни аниқловчи бир қанча усуллар бор. Масалан, паст температурада инфрақизил нурларнинг киришма атомларида ютилишига асосланган усулни кўрсатиш мумкин. Бундай тажрибалар ўтказиш мураккаб бўлиб, олинган натижалар етарли даражада ноаниқдир. N_B ва N_A ни алоҳида аниқлашда уларнинг параметрик резонансларини текшириш орқали аниқлаш мумкин. Бунда жуда ҳам катта қийинчиликларга дуч келинади. Шулар билан бирга, магнит майдонида қаршиликнинг ўзгаришига асосланган усулни ҳам келтириш мумкин.

ЯРИМЎТКАЗГИЧЛАР ПАРАМЕТРЛАРИНИ ОПТИК УСУЛЛАР БИЛАН ЎЛЧАШ

3.1-§. Яримўтказгичларнинг оптик параметрлари

Яримўтказгичларда оптик ҳодисалар асосида электромагнит тўлқинларнинг боғланган валент электронлар, боғланмаган эркин заряд ташувчилар, кристалл панжара ва киришма атомлари, электрон-ковак плазмалари билан ўзаро таъсири ётади. Шунинг учун оптик ҳодисалар яримўтказгичли кристалларда тўлқин узунлиги $0,2 \div 100$ мкм оралиғида бўлган электромагнит тўлқинлар таъсирида содир бўладиган кенг жараёнларни ўз ичига олади.

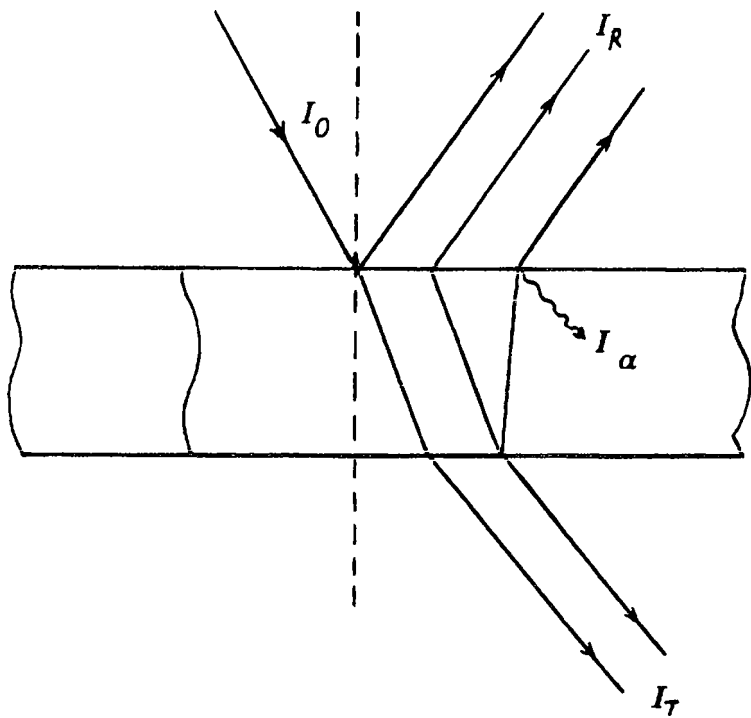
Яримўтказгич сиртига тушган ёруғлик уч қисмга ажralади: бир қисми қайтади, бир қисми синиб намунага киради, унинг бир қисми ютилиб, бир қисми эса намунадан ўтади (3.1а-расм). Намунадан қайтган I_R , ўтган I_T ва намунада ютилган I_a ёруғлик интенсивликларининг уларга тушган ёруғлик интенсивлиги I_0 га нисбати билан аниқланадиган катталиклар

$$R_v = \frac{I_R}{I_0}; \quad T_v = \frac{I_T}{I_0}; \quad A_v = \frac{I_a}{I_0} \quad (3.1)$$

мос равишда намунанинг ёруғликни қайтариш ва ўтказиш (шаффоффлик, тиниқлик) коэффициентлари, A_v — ютиш қобилияти деб аталади. Бу катталиклар намунадан ёруғлик оқимининг қандай қисми қайтишини, ўтишини ва намунада ютилишини кўрсатади. Энергиянинг сақлашиш қонунига мувофиқ:

$$R_v + T_v + A_v = 1 \quad (3.2)$$

бўлади. Оптика курсларидан маълумки, T_v , R_v , A_v лар билан оптик константалар орасидаги муносабатлар электр



3.1, а-расм. Пластина шаклидаги яримұтқазғыч намунада нурнинг йүли.

ұтказувчан мұхитда (солиширма электр ұтказувчанлиги $\sigma \neq 0$ бўлганда) комплекс нур синдириш кўрсаткичи билан аниқланади

$$\bar{n}^{\star 2} = c^2 \mu_0 \left(\mu \epsilon_1 \epsilon_0 - i \mu \frac{\sigma}{\omega} \right) = (n - i \chi)^2 \quad (3.3)$$

Бу ерда нур синдириш кўрсаткичи \bar{n}^* нинг ҳақиқий қисми $n = c/u$ бўлиб, у ёруғликнинг вакуумда тарқалиш тезлигини яримұтқазгичдаги тарқалиш тезлиги u га нисбати билан аниқланадиган катталиқдир. Мавхум қисми χ электромагнит тўлқинларининг мұхитда сўнишини кўрсатдиган катталиқдир. Шунинг учун χ — ютилиш кўрсат

кичи ёки экстенция коэффициенти деб юритилади, $\varepsilon_0 = (4\pi \cdot 9 \cdot 10^{-9}) \Phi/\text{м}$ — вакуумнинг диэлектрик сингдирувчанлиги, $\mu_0 = 4\pi \cdot 10^{-7} \text{ Гн}/\text{м}$ — вакуумнинг магнит сингдирувчанлиги, ε_1 — намунанинг диэлектрик сингдирувчанлиги, σ — солиштирма электр ўтказувчанлик. Умумий ҳолда ярим ўтказгич кристалларидан ε , μ , σ — тензор катталиклардир, яъни улар электромагнит тўлқинларининг кристалл ўқларига нисбатан тарқалиш йўналишига боғлиқ бўлган катталиклар. Куб шаклидаги кристалларда кристалл панжараси оптик ҳодисалар параметрларини скаляр катталиклар деб ҳисоблаш мумкин. ε_1 , σ , μ — параметрлар намунага тушаётган ёруғлик частотасининг функциялари. Электромагнит тўлқинларининг муҳитда тарқалиши Максвелл тенгламалари тизимининг ечими асосида ўрганилади. Ўтказувчан муҳитда Максвелл тенгламалари тизимининг ечимида кўра z ўки йўналишда тарқалаётган электромагнит тўлқинининг электр майдон кучланганлиги

$$E_z = E_{z0} \exp\left(-\frac{\omega\chi}{c} z\right) \cdot \exp\left(i\omega t - \frac{n z}{c}\right) \quad (3.4)$$

кўринишдаги ифода билан аниқланади. Бу формула амплитудаси экспонента қонуни бўйича сўнувчи ясси электромагнит тўлқинларининг электр майдон кучланганлигини ифодалайди. Одатда оптик асбобларда электр майдон кучланганлиги амплитудаси квадратига пропорционал бўлган ёруғлик интенсивлиги (I_ν) ўлчанади. Шунга кўра, (3.4) дан

$$I_\nu \sim \left[E_{z0} \exp\left(-\frac{\omega\chi}{c} z\right) \right]^2 = E_{z0}^2 e^{-\frac{2\omega\chi}{c} z} \quad (3.5)$$

бўлади. Бундан кўринадики, муҳитда тарқалаётган ёруғликнинг интенсивлиги намуна сиртидан узоқлашган сари камайиб боради. (3.5) тенгламанинг

$$I_\nu = I_0 e^{-\alpha z} \quad (3.6)$$

кўринишидаги ифодаси ёруғликнинг муҳитда ютилишини кўрсатувчи Бугер-Ламберт қонуни деб юритилади. Бу ерда

$$\alpha = 2 \frac{\omega \chi}{c} \quad (3.7)$$

α — ютилиш коэффициенти деб аталади.

Яримўтказгичларнинг оптик хоссаларини ёритишида n ва χ билан бир қаторда, комплекс диэлектрик сингдирувчанлик ҳам қўлланилади:

$$\varepsilon = \varepsilon_1 - i\varepsilon_2 \quad (3.8)$$

n^* билан ε орасидаги боғланиши

$$n^* = \sqrt{\varepsilon \mu} \quad (3.9)$$

формула билан аниқланади.

Электромагнит тўлқинларининг тўлқин узунлиги $\lambda=0,2 \div 100$ мкм соҳасида яримўтказгичлар кучсиз магнит хоссаларига эга бўлиб, магнит сингдирувчанлиги бирга яқин бўлади ($\mu \approx 1$). Бу вақтда (3.3), (3.7), (3.8) ва (3.9) тенгламалардан

$$\varepsilon_1 = n^2 - \chi^2; \quad \varepsilon_2 = 2n\chi = \frac{\sigma}{\varepsilon_0 \omega}; \quad \alpha(\omega) = \varepsilon_2 \frac{\omega}{\pi c} \quad (3.10)$$

бўлишигини кўрамиз. Яримўтказгичларнинг оптик хоссаларини ε_1 ва ε_2 орқали ҳисоблашга зарурият бўлган вақтда n ва χ параметрларга ўтиш унчалик қийинчилик туғдирмайди. Нур синдириш кўрсаткичлари n_1 ва n_2 бўлган муҳит чегарасига тушган ёруғлик иккига ажралади: бир қисми қайтади, бир қисми эса синиб, намунага киради. Маълумки, қутбланган ёруғлик икки муҳит чегарасига тушганда қайтган (E'), синган (E'') тўлқинларнинг электр майдон кучланганликлари амплитудалари Френель тенгламалари орқали аниқланади. Бунда $\mu_1 = \mu_2 \approx 1$ бўлганда E' ва E'' лар қуйидаги ифодалар орқали топилади:

$$E'_{vp} = E_{vp} \frac{\operatorname{tg}(\varphi - \varphi'')}{\operatorname{tg}(\varphi + \varphi'')}; \quad E''_{vs} = \frac{\sin(\varphi'' - \varphi)}{\sin(\varphi + \varphi'')} \cdot E_{vs}$$

(3.11)

$$E''_{vp} = E_{vp} \frac{2 \sin \varphi'' \cos \varphi}{\sin(\varphi + \varphi'') \cos(\varphi - \varphi'')}; \quad E''_{vs} = \frac{2 \sin \varphi'' \cos \varphi}{\sin(\varphi + \varphi'')} \cdot E_{vs}$$

Бу ерда φ — тушиш, φ'' — синиш бурчаклари. E_p , E_s — тушаётган түлқинларнинг электр майдон кучланганликлари амплитудаси. P ва S — индекслар электр майдон кучланганлигини ёруғликнинг тушиш текислигига параллел ва унга тик текисликда ётишини мос равищда кўрсатади. Кутбланган ёруғликнинг намунадан қайтиш коэффициентлари

$$R_{vs} = \left| \frac{E'_{vs}}{E_{vs}} \right|^2; \quad R_{vp} = \left| \frac{E'_{vp}}{E_{vp}} \right|^2 \quad (3.12)$$

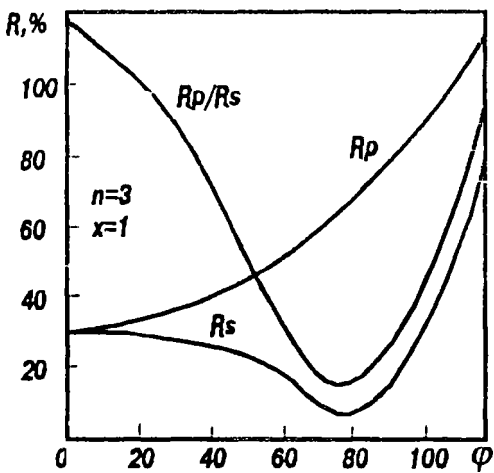
ўтиш коэффициентлари (шаффоффлик коэффициентлари) қуйидаги ифодалар билан аниқланади.

$$T_{vs} = \left| \frac{E''_{vs}}{E_{vs}} \right|^2; \quad T_{vp} = \left| \frac{E''_{vp}}{E_{vp}} \right|^2 \quad (3.13)$$

Френель тенгламаларидан кўринадики, ёруғликнинг намунадан қайтиш ва ўтиш коэффициентлари ёруғликнинг тушиш бурчагига (3.1б-расм), оптик константаларига, электр майдон кучланганлиги векторининг йўналишига боғлиқ. Эслатиб ўтамиз, Френель тенгламалари муҳитнинг нур синдириш кўрсаткичи комплекс бўлган ҳол учун ҳам ўринлидир. Бунда синиш қонуни

$$\frac{\bar{n}^*}{n_1} = (n - i\chi) = \sin \varphi / \sin \varphi'' \quad (3.14)$$

кўринишида бўлади. Биринчи муҳит ҳаво бўлганда $n_1=1$ бўлиб, синиш бурчаги комплекс бўлади. Ёруғлик ҳаводан



3.1, б-расм. Ҳаво яримўтказгич чегарасида чизиқли кутбланган ёруғликнинг қайтиш коэффициентларининг тушиш бурчагига боғланиши (нур синдириш кўрсаткичи $n=3$, ютиш кўрсаткичи $c=1$ бўлган хол учун).

яримўтказгич сиртига тик тушганда $\varphi = \varphi'' = 0$ бўлади. Френель муносабатларига кўра, ҳаво-яримўтказгич чегарасидан ёруғликнинг қайтиш коэффициентининг оптик константалар (n ва χ) билан боғланиши қўйидаги кўринишни олади:

$$R_v = R_s = R_{ps} = \frac{(n - 1)^2 + \chi^2}{(n + 1)^2 + \chi^2} \quad (3.15)$$

(3.15) дан кўринадики, қайтиш коэффициенти ёруғлик тик тушганда унинг қандай кутбланганлигига боғлиқ бўлмайди. Қайтиш коэффициентининг тушиш бурчагига боғлиқлиги шуни кўрсатадики, тушиш бурчагининг $\varphi = 0 \div 17^\circ$ оралиғида деярли ўзгармайди, шунинг учун амалиётда тушиш бурчагининг $0 \div 17^\circ$ оралиғида ўлчангандай қайтиш коэффициентини тик тушгандаги каби қарааш мумкин. (3.15) тенгламадан кўринадики, қайтиш коэффициентини ўлчаш билан бир вақтда икки параметр (n ва χ) ни аниқлаш мумкин эмас. Кўп яримўтказгичларда нур

синдириш кўрсаткичининг етарлича катта бўлиши туфайли, уларда ютиш кўрсаткичи $\chi=0$ бўлганда ҳам қайтиш коэффициентлари катта $R=30\div40\%$ бўлади. Намуналарда нур синдириш кўрсаткичи катта $n \gg \chi$ бўлганда қайтиш коэффициенти ҳам катта бўлади ($R \approx 1$).

3.2 §. Оптик параметрларни (константаларни) тажрибада аниқлаш усуллари

Биз юқорида ўтказувчан $\sigma \neq 0$ муҳитда диэлектрик сингидирувчаник $\varepsilon = \varepsilon_1 - i\varepsilon_2$ ни ёки нур синдириш кўрсаткичи ($\bar{n}^* = n - i\chi$) нинг комплекс бўлишилигини, уларнинг ҳақиқий (n , $\varepsilon_1 = n^2 - \chi^2$) ва мавхум қисмлари (χ , $\varepsilon_2 = 2n\chi$) нинг кристаллининг микроскопик параметрлари билан бевосита боғлиқ эканлигини кўрган эдик. Яримўтказгичлар тузилишини, параметрларини оптик усуллар билан аниқлашда биринчи навбатда n ва χ ларни алоҳида ёки $\varepsilon_1 = n^2 - \chi^2$ ва $\varepsilon_2 = 2n\chi$ ларни ёруғлик тўлқин узунлигининг кенг соҳасида ва ҳар хил температураларда аниқлаш лозим. Оптик параметрларнинг (константаларни) аниқлаш усулларини икки гуруҳга бўлиш мумкин. Биринчи гуруҳ усуллари ёруғликнинг қайтиш коэффициентини ўлчашга, иккинчи гуруҳ усуллари намунанинг тиниқлигини (шаффоғлигини) ўлчашга асосланган. Оптик константалар (n , χ , α) ни тажрибада ўлчаш усулларни қисқача кўриб чиқамиз. Ютиш кўрсаткичи нур синдириш кўрсаткичидан анча кичик ($n \gg \chi$) бўлган тўлқин узунлиги соҳасида (3.15) дан (3.16) тенгламани оламиз:

$$R_v = \frac{(n-1)^2}{(n+1)^2} \quad (3.16)$$

$n^2 \gg \chi^2$ шарт тўлқин узунлигининг катта $\lambda > \lambda_s$ соҳасида $\left(\lambda_s = hc/E_g = \frac{1,24}{E_g(\text{eV})}, [\text{мк}] \right)$ ҳам бажарилади, бу ерда E_g — тақиқланган зона кенглиги. Кўп яримўтказгичларда, ҳатто заряд ташувчилар концентрацияси катта бўлганда ҳам $n^2 \gg \chi^2$ шарт бажарилади. Шунинг учун (3.16) ифодадан нур синдириш кўрсаткичининг табиий ёруғликда қайтиш

коэффициентини ўлчаш билан аниқлаш мумкин. Кристалларда ёруглик тўлқин узунлигининг кучсиз ютилиш соҳасида R_p , ёки R_p/R_s -нинг тушиш бурчагига боғланиш графигидан Брюстер бурчаги, яъни R_p , R_p/R_s -лар минимумга эришадиган бурчак аниқланади. Брюстер бурчаги (φ_B) нур синдириш кўрсаткичи орқали ҳисобланади:

$$n = \operatorname{tg} \varphi_B \quad (3.17)$$

Агар намунада ютилиш содир бўлмаса, нур синдириш кўрсаткичини ясси параллель сиртли пластина кўринишида бўлган намунанинг шаффофлигига қараб ҳам аниқлаш мумкин. Ҳавода турган пластина кўринишидаги намуна ичидаги ёругликнинг қайта-қайта (кўп марта) қайтиши содир бўлса (интерференцияни ва ютилишни ҳисобга олмагандан), унинг шаффофлик ёругликнинг намунадан ўтиши) коэффициенти қўйидаги кўринишни олади.

$$T_v = \frac{1 - R_v}{1 + R_v} = \frac{2n}{n^2 + 1} \quad (3.18)$$

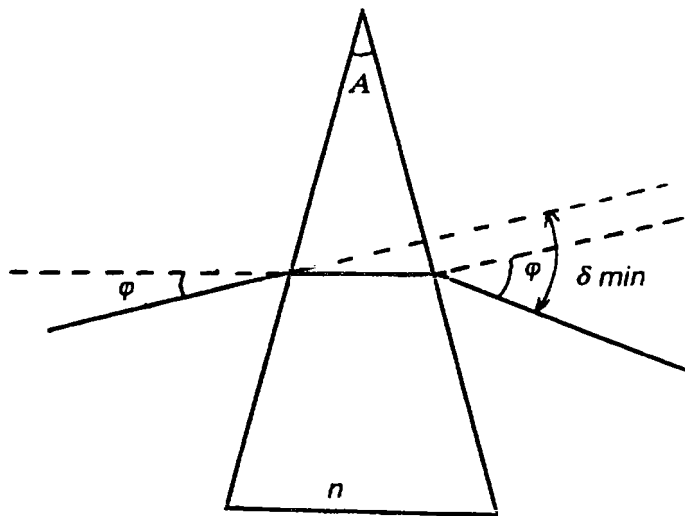
Шундай қилиб, намуна шаффофлигини билган ҳолда нур синдириш кўрсаткичи куйидаги ифода билан аниқланади:

$$n = \frac{1 - \sqrt{R_v}}{1 + \sqrt{R_v}} = \frac{1 - [(1 - T_v)/(1 + T_v)]^{1/2}}{1 + [(1 - T_v)/(1 + T_v)]^{1/2}} \quad (3.19)$$

Бу ҳолда тўла қайтиш коэффициенти

$$R_v + T_v = 1 \quad (3.20)$$

ифода билан аниқланади. Бу ерда ҳам энергиянинг сақланиш қонуни бажарилади. Намунанинг юқори шаффоффлик (тиниклик) соҳасидаги нур синдириш кўрсаткичини аниқлашда катта аниқлик билан ўлчайдиган призма усулидан фойдаланиш мумкин. Бунинг учун текширилаётган намунадан синдириш бурчаги A бўлган призма ясалади (3.2-расм). Тўлқин узунлиги λ бўлган монокроматик ёругликнинг параллел оқими (дастаси) призмадан ўтган-



3.2-расм. Ёруғликнинг кичик бурчакка четланиши (оғиши) ҳолида призма орқали нур йўли.

дан сўнг δ — бурчакка оғади, бунда нурнинг синиш бурчаги нурнинг призмадан чиқишидаги синиш бурчагига тенг бўлганда, n -ни ўлчашда энг катта аниқликка эришилади:

$$\varphi_{\text{кириш}} = \varphi_{\text{чиқиш}} = \varphi$$

Бу ҳолда δ — бурчак энг кичик бўлади. Шунинг учун призма усули одатда кичик бурилиш (оғиш) усули деб юритилади. Нур синдириш кўрсаткичи қуйидаги тенглама билан топилади:

$$n = \frac{\sin\left(\frac{A + \delta_{\min}}{2}\right)}{\sin(A/2)} \quad (3.21)$$

Текширишлар бу усул билан яримўтказгичларда нур синдириш кўрсаткичининг 0,01% аниқлик билан ўлчаш мумкинлигини кўрсатди.

Ютилиш кўрсаткичи (χ) ни ёки ютилиш коэффициенти (α) ни $n^2 \gg \chi^2$ бўлганда пластинка шаклидаги намуналарнинг шаффоффлик коэффициентини ўлчаш билан аниқлаш мумкин,

$$T_\nu = \frac{(1 - R_\nu)^2 [1 + \lambda \alpha / 4\pi n]}{(\exp(\beta) - R_\nu \exp(-\beta))^2 + 4R \sin^2(\delta + \psi)} \quad (3.22)$$

бу ерда: $\beta = \frac{\alpha d}{2}$ (d — намуна қалинлиги, α — ютилиш коэффициенти), δ — намунадан ёруғлик бир марта ўтганидаги фаза ўзгариши (фаза силжиши)

$$\delta = \frac{2\pi}{\lambda} nd \cos \varphi$$

билин ифодаланади (φ — плёнкада нурнинг синиш бурчаги), ψ — намунадаги ёруғликнинг \vec{E} ва \vec{H} векторларин орасидаги фазавий бурчаги бўлиб,

$$\operatorname{tg} \psi = \frac{2\chi}{n^2 + \chi^2 - 1} \quad (3.23)$$

билин аниқланади. Агар интерференция кузатилмаса (намуна сиртидаги нуқсонлар туфайли ёки ёруғлик тўлқин узунлигининг катта бўлиши туфайли), T , R ни α — орасидаги боғланишлари соддалашади ва

$$T_\nu = \frac{(1 - R)^2 [1 + (\lambda \cdot \alpha / 4\pi n)^2]}{\exp(ad) - R^2 \exp(-ad)} \quad (3.23a)$$

бўлади. $n^2 \gg \chi^2$ бўлганда, яъни $\frac{\alpha \lambda}{4\pi n} \ll 1$ да шаффоффлик коэффициентининг $(1-R)/(1+R)$ дан 10% гача бўлган ўзгариш соҳасида шаффоффлик коэффициенти куйидаги тенгламадан аниқланади:

$$T_\nu = \frac{(1 - R_\nu) 2e^{-ad}}{1 - R_\nu^2 e^{-2ad}} \quad (3.23b)$$

Таъкидлаш керакки, бу соддалашган тенглама билан α ни аниқлаш учун катта ҳисоб қилиш талаб қилинади. Шунинг учун одатда α ни аниқлашда ҳар хил R ларга мос келган номограммалардан фойдаланилади. Шаффофлик коэффициенти $n^2 \gg \chi^2$ бўлганда ($T < 10\%$ бўлса) $1 \gg R^2 e^{-\lambda ad}$ бўлади ва (3.22б) дан ютилиш коэффициенти қўйидагича аниқланади:

$$\alpha = \frac{1}{d} \ln \left[\frac{(1 - R_v)^2}{T_v} \right] \quad (3.24)$$

Агар синдириш кўрсаткичлари бир биридан фарқ қилса, плёнка (парда) тагликдан иборат структурани плёнкада ютилишини аниқлаш учун плёнка ҳаво ва плёнка таглик, таглик билан ҳаво чегараларидағи ёругликнинг қайтишини ҳисобга олиш керак. Агар тагликда кучсиз ютилиш содир бўлса, юпқа қатламда ютилиш коэффициенти қўйидагича ҳисобланади:

$$\alpha = \frac{1}{d} \ln \left[\frac{(1 - R_{v1})(1 - R_{v2})(1 - R_{v12})}{T_v} \right] \quad (3.25)$$

Бу ерда: R_{v12} , R_{v2} , R_v плёнка-таглик, таглик-ҳаво, плёнка-ҳаво чегараларидағи қайтиш коэффициентлари. Тажрибадан яrimётказгичларда ютилиш коэффициентини қайтиш ва шаффофлик коэффициентлари натижалари бўйича аниқлаш учун қўйидаги босқичлардан ўтилади. Дастреб намунанинг сиртига сайқал берилади, унинг қалинлиги $ad \gg 1$ шартига жавоб беради. Бу билан намунанинг остики сиртидан ёругликнинг қайтиши таъсири йўқотилади ва мумкин бўлган тўлқин узунлиги соҳасида турли температурада ва бошқа ташқи таъсирлар остида R_v ўлчанади, бу ёругликнинг сиртдан бир карра (марта) қайтиши коэффициентини беради. Сўнгра намунанинг қалинлиги камайтирилади: $ad < 1$ ёки $(1 - R_v)/(1 + R_v) > T_v > 10\%$ шаффофлик соҳасида ёругликнинг ўтиш интенсивигини текширилаётган соҳада аниқ ўлчаш мумкин бўлсин. Бу ҳолда T ни ўлчаш имкони вужудга келади. Ютилиш коэффициентини шаффофлик коэффициенти қиймати бўйича аниқ-

лашда $T > 10\%$ бўлганда (3.226) ва $T < 10\%$ бўлганда (3.25) тенгламадан фойдаланилади. Ютилиш коэффициентини аниқлашда фақат шаффофлик коэффициентини ўлчаш билан ҳам чегараланиш мумкин, бунинг учун қалинликлари d_1 ва d_2 бўлган бир хил кристаллдан намуналар тайёрланади, уларнинг қалинлиги шундай бўлиши керакки ($\alpha d_2 > 1$ ва $\alpha d_1 > 1$ бўлиб), шаффофлик коэффициентлари T_{v1} ва T_{v2} , 10% бўлсин, у ҳолда текширилаётган намуна-нинг ютилиш коэффициенти

$$\alpha = \frac{1}{d_2 - d_1} \ln \frac{T_{v1}}{T_{v2}} = \frac{1}{d_2 - d_1} \ln \frac{I_{v1}}{I_{v2}} \quad (3.26)$$

билин ҳисобланади. Бу ерда I_{v1} ва I_{v2} мос равища қалинлиги d_1 ва d_2 бўлган намуналардан ўтган ёруғлик интенсивлигидир. Агар тадқиқотчи ихтиёридаги намуна кичик бўлса, уни қалинлигини юпқалаштириш билан ўлчаш мумкин.

Ютилиш коэффициенти α ни ҳисоблаш тенгламаси (3.25) нинг таҳлили $T < 10\%$ ва $R = 35\%$ бўлганда, шаффоффликнинг 10^3 марта ўзгариши ютилиш коэффициентининг фақат 6 марта ўзгаришига олиб келади. Демак α нинг қийматини катта оралиқда ўлчаш учун битта материалдан ясалган ҳар хил қалинликдаги намуналар тўплами бўлиши керак. Масалан, яримўтказгичларда ёруғликнинг хусусий ютилиш чегарасида ютилиш коэффициенти (α) 10^2 дан то 10^4 см^{-1} гача ўзгаради. Қалинлиги d — бўлган ҳар бир намуна учун ютилиш коэффициентининг максимуми α_{\max} шаффофлик минимуми қиймати бўйича аниқланади. α_{\min} тажрибада α ни аниқлашда кузатиладиган энг катта хатоликка эришиш билан баҳоланади. Ютилиш коэффициентини ўлчашнинг нисбий $\delta\alpha = \frac{\Delta\alpha}{\alpha}$ хатолиги (3.26) учун

$$\delta\alpha = \delta d + \left(\frac{2R_v}{1-R_v} \delta R_v + \delta T_v \right) \left[\ln \frac{(1-R_v)^2}{T_v} \right]^{-1} \quad (3.27)$$

билин аниқланади. Агар α ни уни ташкил этувчилари-нинг хатоликлари йифиндисидан ($\delta R + \delta d + \delta T$) катта бўлмаган хатолик билан ўлчанади деб фараз қилинса, у ҳолда $R = 35\%$ бўлганда

$$\alpha_{\min} \approx \frac{1}{d} \quad (3.28)$$

ифода ўринли бўлади ва у шаффофлик коэффициенти $T=16\%$ бўлгандағи қийматига мос келади. Ютилиш коэффициентининг $\alpha < 1/d$ соҳасида α ни аниқлашдаги хатолик α_{\min} ни аниқлашдаги хатоликдан катта бўлади. Шундай қилиб, текширилаётган соҳада ютилиш коэффициенти $\alpha = 10^{-1} \text{ см}^{-1}$ дан $\alpha = 10^4 \text{ см}^{-1}$ гача ўзгарса, камида икки хил d_1 ва d_2 қалинликдаги намуна олиниши керак. ($d_2 > d_1$). d_1 қалинликни топиш учун (3.26) тенгламага ютилиш коэффициентининг юқори чегараси 10^4 см^{-1} , R ва T -нинг минимум қийматлари қўйилиб ҳисобланади. Масалан, 10^4 см^{-1} , $T_{\min} = 0,01\%$ ва $R = 35\%$ бўлганда, $d_1 = 8,3 \text{ мкм}$ эканлиги кўринади. d_2 — қалинлик эса қўйидаги (3.29) тенглама билан топилади:

$$d_2 = \frac{1}{\alpha_{\min}} = \frac{1}{10 \text{ см}^{-1}} = 1 \text{ мм}. \quad (3.29)$$

Қалинлиги $d_2 = 1 \text{ мм}$ бўлган намунада ютилиш коэффициентини 10 дан 84 см^{-1} гача, қалинлиги $d_1 = 8,3 \text{ мкм}$ намунада 240 дан 10^4 см^{-1} гача текшириш мумкин. Ютилиш коэффициентини $84 \div 240 \text{ см}^{-1}$ оралиқда текшириш учун қалинлиги $d_3 = 200 \text{ мкм}$ бўлган учинчи намуна зарур (керак). Бу намуна билан $\alpha_{\min} = 50 \text{ см}^{-1}$ дан $\alpha_{\max} = 415 \text{ см}^{-1}$ гача ўлчаш мумкинки, кичик ютилиш коэффициентларини ўлчашда ютилиш коэффициентини аниқлашдаги хатоликнинг минимум бўлиш шарти $\alpha d = 1$ дан ёруғликнинг тарқалиш йўналишида намуна қалинлиги катта бўлишилигини талаб этади. Жуда кичик ютилиш коэффициентларини $\alpha < 10^{-2} \text{ см}^{-1}$ ўлчаш учун маҳсус усуслар яратилган.

3.3-§. Заряд ташувчилар концентрацияси ва ҳаракатчалигини ўлчашнинг оптик усуслари

Яримўтказгичларда ёруғликнинг эркин заряд ташувчиларда ютилиши хусусий ютилишнинг қизил чегарасидан катта бўлган тўлқин узунлиги соҳаси ($\lambda > \lambda_g$ ёки $h\nu > E_g$) да айниқса муҳим ўрин тутади. Эркин заряд ташувчилар-

да ёруғлик ютилиш механизмининг классик назариясида эркин заряд ташувчиларнинг ёруғлик (электромагнит) тўлқинининг электр майдонида олган кинетик энергиясига яримутказгич намунасидаги ҳар хил нуқсонлар (кристалл панжара даврийлигининг бузилиши) билан ўзаро таъсирилашганда (сочилишида) иссиқликка айланиши деб қаралади. Квант механикаси нуқтаи назаридан кристалл панжаранинг даврий майдонида ҳаракатланаётган эркин электронлар импульснинг сақланиш қонунига кўра, ёруғликни ютмаслиги керак. Лекин кристалл панжаранинг тебраниши ёруғликнинг эркин электронда ютилишини вужудга келтиради. Оптик константаларнинг ёруғлик тўлқин узунлигига боғланиши аналитик ифодасини оптик константалар дисперсиясининг классик назарияси ёрдамида олиниши мумкин. Бу назарияга кўра қаттиқ жисм чизиқли осцилляторлар тўпламидан иборат деб ва электромагнит тўлқинларининг электр майдонида электроннинг ҳаракат тенгламаси ечими қаралади,

$$m\ddot{x} + m\omega_0^2 x + \frac{m}{\tau} \dot{x} = -eE_{v_0} e^{i\omega t} \quad (3.30)$$

Бу тенгламанинг биринчи ҳади Ньютон кучини, иккинчи ҳади мувозанат ҳолатидан силжиган x масофага пропорционал бўлган (қайтарувчи) эластиклик кучини, учинчи ҳади тормозловчи кучни, яъни заряд ташувчилар тезлигига пропорционал бўлган ишқаланиш кучини, ўнг томонидаги ҳади электронга электр майдонининг таъсири кучини тавсифлайди. Шундай қилиб, ўтказувчан зонадаги электронларнинг эффектив массаси m , га тенг бўлган эркин электрон деб қаралади, шунинг учун (3.30) тенгламадаги қайтарувчи кучни нолга тенглаштириб ва m массасини электрон эффектив массаси билан алмаштириб,

$$m_n \ddot{x} + \frac{m_n}{\tau} \dot{x} = -eE_{v_0} e^{i\omega t} \quad (3.31)$$

электромагнит тўлқинининг электр майдонидаги эркин электрон ҳаракат тенгламасини оламиз. Электр майдон таъсирида электроннинг гармоник тебранма ҳаракати содир бўлади. Шу билан бирга бу тебранишнинг комплекс амплитудаси (3.31) тенгламага кўра қуйидагича бўлади:

$$x_0 = -\frac{e\bar{E}_{v0}}{m_n} \cdot \frac{1}{\left(\omega^2 + \frac{\omega}{\tau} i\right)} \quad (3.32)$$

Бунда ҳосил бўлган қутбланиш вектори

$$\vec{P}_{vx} = eN\vec{x}_0 \quad (3.33)$$

бўлишларини эътиборга олиб, электр майдон индукция-сининг ифодасидан

$$\vec{D}_v = \epsilon_0 \epsilon \vec{E}_v = \epsilon_0 \vec{E}_v + \vec{P}_v, \quad (3.34)$$

комплекс диэлектрик сингдирувчанликнинг аниқланиши-ни кўрамиз.

$$\epsilon = \epsilon_1 + \epsilon_2 \cdot i = 1 + \frac{\vec{P}_{vx}}{\epsilon_0 \bar{E}} \quad (3.35)$$

Зоналараро ўтишларни ϵ га қўшган ҳиссаси ҳисобга олингандан, хусусий ютилиш чегараси билан бўйлама оптик тебранишлар частотаси оралигига $\omega_p > \omega > \omega_z$ диэлектрик сингдирувчанлик (3.35) тенглами

$$\epsilon(\omega) = \epsilon_\infty \left[1 + \frac{\omega_p^2}{\omega(\omega + i\pi^{-1})} \right] \quad (3.36)$$

билин аниқланади. Бундан унинг ҳақиқий ва мавхум қисмлари қуидаги кўринишни олади:

$$\epsilon_1(\omega) = n^2 - \chi^2 = \epsilon_\infty \left[\frac{1 - \omega_p^2 \tau^2}{(1 + \omega^2 \tau^2)} \right] \quad (3.37)$$

$$\epsilon_2(\omega) = 2n\chi = \frac{\epsilon_\infty \omega_p^2}{\omega} \left[\frac{\tau}{(1 + \omega^2 \tau^2)} \right] \quad (3.38)$$

Бу ерда $\omega^2 = eN\epsilon_0\epsilon_\infty m_n$ — эффектив массаси m_n , концентрацияси N бўлган эркин заряд ташувчиларнинг плазмавий частотаси. (3.37) ва (3.38) ифодаларнинг релаксация вақти τ га боғлиқ $(\omega^2\tau^2 + 1)$ кўпайтмаларида энергия бўйича ўрталаштириш ҳисобга олинмаган. Агар τ энергияга боғлиқ бўлса, ϵ_1 ва ϵ_2 лар электронларнинг кристалларда сочилиш механизмига боғлиқ бўлади. (3.37) ва (3.38) ларда электромагнит тўлқинларнинг кристалл панжара билан таъсирланиши ҳам ҳисобга олинмаган. Бу таъсирлашишда кимёвий боғланишнинг улуши кичик, заряд ташувчилар концентрацияси катта бўлган яrimётказгичларда унчалик муҳим эмас. Ёруғликнинг хусусий ютилиш чегарасининг частотаси билан кристалл панжаранинг бўйлама оптик тебранишлар частотаси оралиғида тоза кристаллар учун юқори частотали диэлектрик сингдирувчанлик частотага боғлиқ бўлмайди, доимий ϵ_∞ га teng бўлади. Бу частота оралиғида ҳаракатчанлиги катта бўлган яrimётказгичлар учун

$$\omega^2\tau^2 \gg 1$$

шарт бажарилиши мумкин. n -тип германий учун релаксация вақти тахминан 10^{-13} секундни ташкил этади. Ёруғликнинг тўлқин узунлиги $\lambda = 20$ мкм бўлганда, $\omega^2\tau^2 \approx 400$ га teng бўлади. $\omega^2\tau^2 \gg 1$ шарт бажарилганда (3.37) ва (3.38) ифодалар

$$\epsilon_1 = n^2 - \chi^2 = \epsilon_\infty \left(1 - \frac{\omega_p^2}{\omega^2} \right) \quad (3.39)$$

$$\epsilon_2 = 2n\chi = \epsilon_\infty \omega_p^2 / \tau \omega^3 \quad (3.40)$$

кўринишни оладилар.

Ёруғликни эркин заряд ташувчиларда ютилиш коэффициенти α (3.10) ва (3.40) ларга кўра

$$\alpha \approx \frac{\epsilon_\infty \omega_p^2}{n \cdot c \cdot \omega^2} < \frac{1}{\tau} > \sim \lambda^2 < \frac{1}{\tau} > \quad (3.41)$$

ифода билан аниқланади. Ютилиш коэффициенти заряд ташувчиларнинг сочилиш механизмига, яъни $<1/\tau>$ нинг

ўртача қийматига боғлиқ бўлиб, ёруғлик тўлқин узунлигининг квадратига пропорционалдир. Ўтказувчанликка ҳар хил типдаги заряд ташувчилар қатнашса, улардаги ютилишлар қўшилади. Паст частоталарда ($\omega^2\tau^2 \ll 1$) ютилиш коэффиценти:

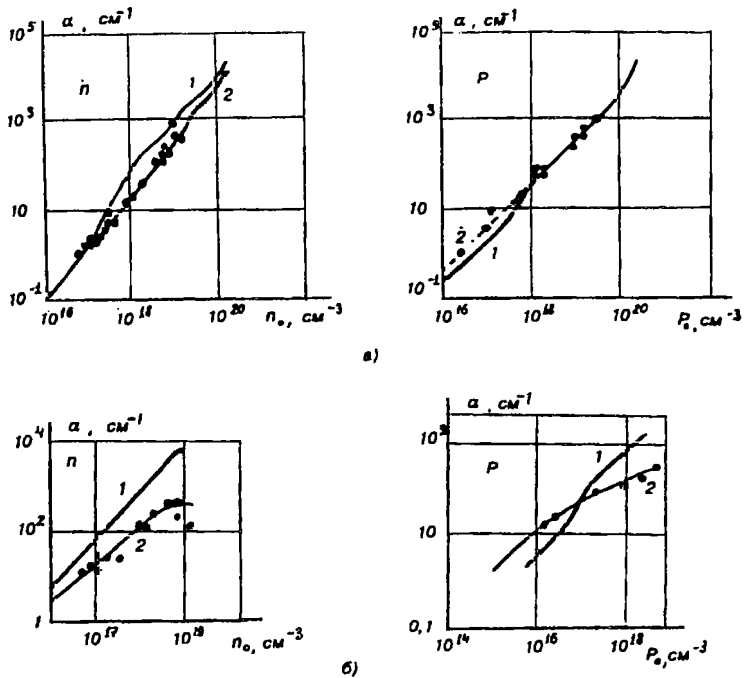
$$\alpha \approx Ne^2\tau/m^*c \cdot n e_0 \sim \sigma_0 \quad (3.42)$$

у частотага боғлиқ бўлмайдиган ва доимий электр майдонда кристаллнинг солиширига ўтказувчанилигига пропорционал бўлган катталик.

Релаксация вақтининг энергияга боғлиқлиги даражали функция қўринишида бўлганида (3.38) ни сочилиш механизмига боғлиқ бўлган γ коэффицентга кўпайтирилди. Сочилиш кристалл панжара тебранишида содир бўлса, $\gamma = 1,13$ га, ионлашган киришма атомда содир бўлса, $\gamma = 3,4$ га тенг бўлади. Эркин электронларда ёруғлик ютилишининг квант назариясига кўра ютилиш коэффициентининг тўлқин узунлигига боғлиқлиги $\alpha \sim \lambda^\eta$ қўринишида ва даража (η) 2 дан фарқли бўлиб, сочилиш механизмига қараб, 1 дан 4 гача ўзгаради. Кўпгина яримўтказгич материалларда тажрибадан олинган ютилиш коэффициентининг тўлқин узунлигига боғлиқлиги мураккаб қўринишга эга.

a) Заряд ташувчилар концентрациясини ёруғликнинг ютилиши бўйича аниқлаш

Тажрибада ютилиш коэффициенти бўйича, заряд ташувчилар концентрациясини аниқлашда, ютилиш коэффициентини уларнинг концентрациясига боғлиқлиги асос қилиб олинган. Ютилиш коэффициентини тажрибада аниқланган ёруғликнинг намунадан ўтиш ва қайтиш коэффициентлари бўйича ҳисоблаб, заряд ташувчилар концентрациясини аниқлаш мумкин. Лекин тажрибада аниқланган ва назария бўйича ҳисобланган натижалар бир-биридан фарқлангани учун одатда олдиндан тажрибада олинган $\alpha = f(N)$ градиуровка (даражалаш) графигидан фойдаланиб топилади. Бунинг учун заряд ташувчилар концентрацияси маълум бўлган бир қанча намуналарда ютилиш коэффициентининг концентрацияга боғлиқлиги аниқланади. Ютилиш коэффициентининг концентра-



3.3-расм. n , p — типдаги кремний намуналарда ёруғликнинг ютилиш коэффициенти α ни заряд ташувчилар концентрациясига назарий (1-чизик) тажриба йўли билан (—чилик) боғланиши.
а — ёруғликнинг тўлқин узунлиги 40 мкм бўлган хол учун.

цияга назарий боғланиши, $\alpha=f(N)$ тажриба натижалари билан мос тушмаслиги эркин заряд ташувчиларда ёруғлик ютилишининг назарий модели етарлича яхши ишланмаганлигидан далолат беради. Бир қанча ҳолларда тажриба ва назария натижалари қисқа тўлқин узунлиги оралиғида мос тушади. Масалан, p , n -тип кремнийларда инфрақизил соҳанинг қисқа тўлқин узунлиги қисмида $\alpha(N)$ нинг назарий ва амалий қийматлари бир-бирига мос тушади, узун тўлқин узунлик қисмида эса, кучли фарқ кузатилади (3.3-расм).

Тажрибада ёруғликни намунадан ўтиш (шаффоффлик) коэффициенти орқали $T>0,1$ да қиймати ютилиш коэффициенти (2.23б) ва қайтиш коэффициенти

$$R_v = R_{v_0} (1 - T) e^{-ad} \quad (3.43)$$

иғодаларидан аниқланади. Бу ерда R_{v_0} яримчексиз намунада ёруғликнинг қайтиш коэффициенти, d — намуна қалинлиги. (3.23б) ва (3.43) тенгламанинг биргалиқдаги ечими ютилиш коэффициенти қийматини беради.

Ўлчашнинг спектрал оралигини танлашда шуни эътиборга олиш керакки, оралиқнинг маълум бир спектрал қисмида (соҳасида) ёруғликнинг эркин электронда ютилишидан ташқари, у яна киришма атомларида ҳамда кристалл панжаранинг тебранишларида (фононларда) ютилиши мумкин. Заряд ташувчилар концентрациясини аниқлашда хатоликларга йўл қўймаслик учун ўлчанаётган тўлқин узунлиги соҳасида бошқа ютилишлар кичик бўлиши керак. Масалан, кремнийда тўлқин узунлигининг 6 мкм дан 40 мкм оралиғида фононда ёруғликнинг ютилиши намоён бўлади, шу билан бирга, ёруғликнинг фононларда ютилиш коэффициенти $0,3 \div 10 \text{ см}^{-1}$ оралиғида бўлиб, концентрацияси 10^{18} см^{-3} бўлган намуналарнинг эркин зарядларда ёруғликнинг ютилиш коэффициенти тартибидадир. Шунинг учун кремний намуналарида ўлчовни асосан тўлқин узунлигининг $\lambda < 5 \text{ мкм}$ ёки $\lambda > 40 \text{ мкм}$ бўлган соҳаларида ўтказилиши мақсадга мувофиқдир. Бунда қисқа тўлқин узунлик соҳасидан фойдаланиб стандарт ўлчов асбобларини кўллаган маъқулдир. Тажрибани заряд ташувчилар концентрацияси кичик бўлган намуналарда ўтказиш мақсадга мувофиқдир. Чунки ютилиш коэффициенти тўлқин узунлигининг ортиши билан ортиб боради. Бунда ўлчанаётган заряд ташувчилар концентрациясини куйи чегараси 10^{15} см^{-3} гача камаяди (ўлчаш техникаси 40 мкм да қийинлашади). Яримўтказгич параметрларини ўлчашда ёруғлик манбаи сифатида лазер нурларининг қўлланиши катта имкониятлар яратади. Бунда ёруғликни тўлқин узунлиги тартибида бўлган кичик диаметрли ўзага тўплаш (ёруғлик зондини олиш) ва намуналарнинг кичик соҳасини текшириш мумкин.

Лазер нурлари интенсивлигининг катта бўлиши ўлчов асбоблари ҳамда усулнинг сезирлигини оширади, намунани тор ва кенг қилиб, лазер нурлари билан ёритиш мумкин. Лазерларни ёруғлик манбаи сифатида ишлатилишининг ютуғи шундан иборатки, инфрақизил интрос-

копларнинг характеристикаларини яхшилаш имконини беради. Ҳаракатланувчи лазер нурларига асосланган микроскопларни яратиш ва улар ёрдамида текширилаётган намуналарда бир жинсли эмаслиликнинг тақсимланиши тўғрисида аниқ маълумотлар олиш мумкин ҳамда концентрация, ҳаракатчанликнинг нафақат юза бўйича, балки қалинлик бўйича ҳам ҳар хил кўндаланг кесимларда тақсимланиши тўғрисидаги миқдорий натижаларни олиш мумкин.

б) Ёругликтининг плазма резонанси соҳасида намунадан қайтиши бўйича эркин заряд ташувчилар концентрацияси ва ҳаракатчанлигини аниқлаш усули

Намунанинг нур синдириш (n) ва ютилиш кўрсаткич (χ) ларини (3.37) ва (3.38) лардан топиб, ёругликтининг қайтиш коэффициенти ифодаси (3.15) га қўйсак, ЭҲМ да ҳисоблаш кулагай бўлган

$$R(\omega) = R(a, b, \varepsilon_{\infty}) = \frac{(G^{-1}F - \varepsilon_{\infty}^{-\frac{1}{2}})^2 + a^2 F^{-2} G^{-2}}{(FG^{-1} + \varepsilon_{\infty}^{-\frac{1}{2}}) + a^2 F^{-2} G^{-2}} \quad (3.44)$$

қайтиш коэффициентининг спектрал боғланишдаги аналитик ифодаси олинади. Бу ерда:

$$F(a, b) = \left([a^2(b^2 - 1) + 1]b + \{[a^2(b^2 - 1) - 1]^2 b^2 + a^2\}^{\frac{1}{2}} \right)^{\frac{1}{2}}$$

$$G(a, b) = [2b(a^2 b^2 + 1)]^{\frac{1}{2}} \quad (3.45)$$

$$a = \omega_p \cdot \langle \tau \rangle; \quad b = \omega / \omega_p$$

бўлади. Шундай белгилаш билан оптик константаларнинг дисперсион муносабатлари қуйидаги тенгламалар билан ифодаланади:

$$\varepsilon_1(\omega) = n^2 - \chi^2 = \varepsilon_{\infty} \left(1 - \frac{a^2}{a^2 b^2 + 1} \right) \quad (3.46)$$

$$\varepsilon_2(\omega) = 2n\chi = \frac{\varepsilon_\infty \cdot a}{b(a^2b^2 + 1)} \quad (3.47)$$

$$n(\omega) = \sqrt{\varepsilon_\infty} G^{-1}(a, b) F(a, b) \quad (3.48)$$

$$\chi(\omega) = \sqrt{\varepsilon_\infty} F^{-1}(a, b) G^{-1}(a, b) \quad (3.49)$$

Булар ёрдамида яримўтказгичлар параметрларини аниқлашда плазманинг тебраниш частотаси

$$\omega_p^2 = e^2 N / \varepsilon_0 \varepsilon_\infty \cdot m_n^* \quad \text{ёки} \quad \lambda_p = \frac{2\pi c}{\omega_p} \quad (3.50)$$

ва ўлчамсиз $a = \omega_p <\tau>$ катталик асосий параметрлардан ҳисобланади. Уларни билган ҳолда яримўтказгич хоссаларини тавсифловчи катталиклардан электр ўтказувчаникнинг частотага боғлиқлигини, ўзгармас ток учун солиштирма ўтказувчаник (σ_0), релаксация вақти $<\tau>$ ни аниқлаш мумкин.

$$\sigma = (\omega) = \frac{c \varepsilon_\infty a}{2\lambda_p(a^2b^2 + 1)}; \quad \sigma_0 = \frac{c \varepsilon_\infty a}{2\lambda_p}; \quad <\tau> = \frac{a\lambda_p}{2\pi c} \quad (3.51)$$

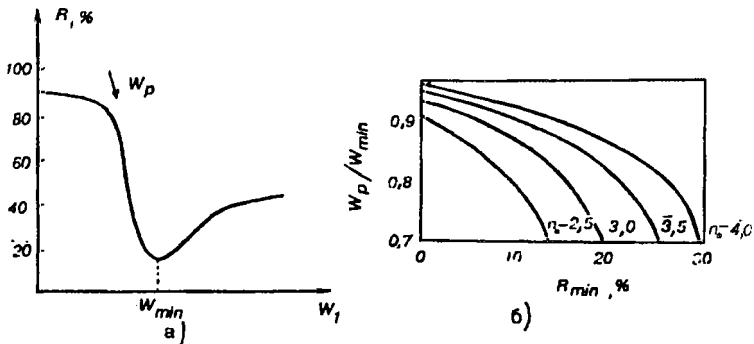
Эркин заряд ташувчилар концентрациясининг эфектив массасига нисбати қуидаги

$$\frac{N}{m_n} = \frac{\pi c^2}{e^2} \frac{\varepsilon_\infty}{\lambda_p} \quad (3.52)$$

тенглама ёрдамида ҳисоблаб топилади. Демак, $R(\lambda)$ орқали намуна параметрларини аниқлашнинг биринчи босқичида λ , ва a — параметрлар аниқланади. Бунинг учун ЭҲМ да берилган

$$\varepsilon_\infty \{5(CdS), 8,5(GaAs), 10,5(GaP), 11,7(Si) 16(Ge)\}$$

a -ни 0 дан 25 гача, b -ни 0,5 дан 2,5 гача бўлган оралиқдаги қийматларида қайтиш коэффициентининг спектри



3.4-расм. Яримүтказгичли намунада концентрациянинг маълум қийматида қайтиш спектри (а), плазма частотанинг қайтиш коэффициентининг минимал қийматига боғланиши (б).

ҳисобланади. Кремний учун ($\epsilon_{\infty}=11,7$) $R(\omega)$ ни ҳисоблаш натижалари 3.4а-расмда келтирилган. Расмдан кўриниб турибдики, частота ортиши билан ютилиш коэффициенти маълум бир частота (ω_p) дан бошлаб кескин камаяди, ω_p -га яқин соҳада минимумга эришади, сўнг охиста ортиб боради.

Ёруғликнинг плазма частотаси $\omega=\omega_p$ да намуналарда ютилиш ҳодисаси плазма-резонанс деб юритилади. Плазма-резонанс спектри бўйича яримүтказгичлар параметрини аниқлашнинг бир қанча усуслари яратилган. $R(\omega)$ дан маълумки, плазма-резонанс қисқа тўлқин узунлик соҳасида ($\lambda < \lambda_{min}$) ва $b > 1$ да б қанча катта бўлса, қайтиш коэффициентига a -параметр шунчакам таъсир қиласи, у қайтиш спектрининг $b=1$ соҳасида сезиларли таъсир кўрсатади. Параметр a нинг камайиши билан заряд ташувчиilar концентрацияси ва қайтиш коэффициентининг минимумдаги қиймати $R_{min} \sim m_p/4N$ ортиб боради, минимуми қисқа тўлқин узунлик соҳасига силжийди, минимуми ёйилиб, камроқ аниқлик билан (аниқланади) намоён бўлади. Демак, плазма-резонанс минимумининг спектрал ҳолати заряд ташувчиilar концентрациясига боғлиқ. Берилган ϵ_{∞} учун ёруғликнинг қайтиш спектри бўйича $R_{min}=f(b_{min})$ ва $R_{min}=f(a)$ лар ҳисобланади (3.4б-расм). Кейинги босқичда назарий ҳисобланган $R(\omega)$ спектри таж-

рибада аниқланган $R(\omega)$ боғланишга солиширилади. Назарий ҳисобланган $R(\omega)$ ёки $R(\lambda)$ ни танлашда бошлангич параметрлар сифатида кристаллнинг юқори частотали диэлектрик сингдирувчанлиги ϵ_{∞} ҳамда $R(\lambda)$ нинг минимумга эришган λ_{\min} тўлқин узунлиги $R(\lambda_{\min})$ олинади. Юқоридаги расмларда келтирилган $R(b_{\min})$ ва $R_{\min}(a)$ каби боғланишлардан b_{\min} ва a параметрлар аниқланади, сўнг

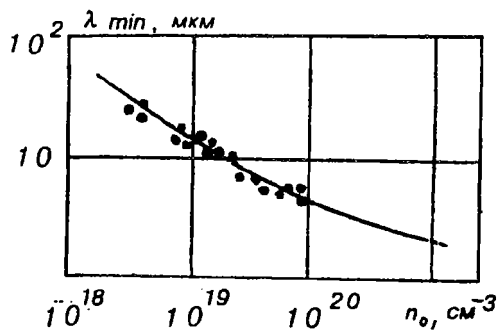
$$\lambda_p = \lambda_{\min} \cdot b_{\min} \quad (3.53)$$

ҳисоблаб топилади. Топилган a , λ_p — параметрларни билган ҳолда, σ_0 , $\langle \tau \rangle$, N/m^2 — аниқланади. Шуни таъкидлаш керакки, $R(\lambda)$ ни ҳисоблашга кирган, тажрибадан аниқланадиган катталиклар, R_{\min} , λ_{\min} кристаллнинг ҳажмий хоссаларидан ташқари, уларнинг сирт ишловига ҳам боғлиқ. Текширишларнинг кўрсатишича, яримўтказгич сиртига механик ишлов беришда, яъни силлиқлашда сирт қатлами деформацияланади. Механик сайқал бериш яъни силлиқлаш ва ялтиратиш билан бу деформацияни йўқотиш мумкин эмас.

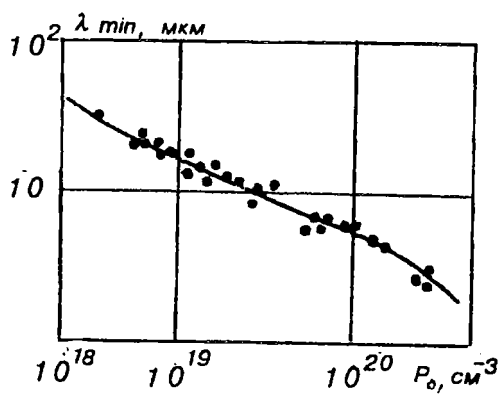
Қайтиш коэффициенти спектрининг худди ўзидаи такрорланишига фақат сирт қатламини кимёвий едириш ва сайқал бериш орқали эришилади. Одатда амалиётда заряд ташувчилар концентрациясини ўлчашда концентрацияси маълум бўлган намуналар асосида аниқланган $N(\lambda_{\min})$ боғланишдан, яъни плазма-резонанснинг калиброрка (даражалаш) чизигидан фойдаланиб топилади (3.5-расм). 3.1-жадвалда кремний ва *GaAs* яримўтказгичлари эмперик боғланишларининг аналитик ифодаси келтирилган.

Заряд ташувчилар концентрацияси N ни плазма-резонанс усули билан аниқлашнинг хатолиги λ_{\min} ни ўлчаш аниқлигига ва калиброрка чизигининг $R(\lambda_{\min})$ оралиқ хатолигига боғлиқ. λ_{\min} ни ўлчашнинг мунтазам хатоликларининг ташкил этувчилари спектрал асбоблар тўлқин узунлиги бўйича градуировка хатолигидан ва қайтиш спектри минимумининг кескинлиги билан боғлиқ бўлган тасодифий хатоликлардан иборат.

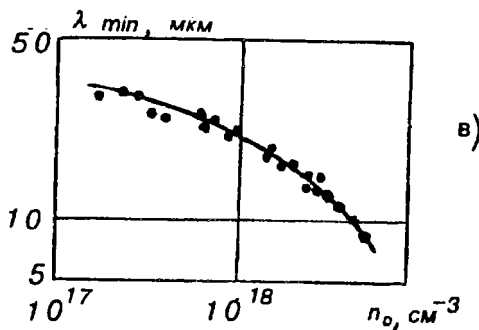
Заряд ташувчилар концентрациясининг камайиши билан плазма-резонанс минимумининг кенглиги ўсади,



a)



б)



в)

3.5-расм. λ_{\min} ни заряд ташувчилар концентрациясига боғланиши:
 а) n -типдаги кремний учун, б) p -типдаги кремний учун,
 в) n -типдаги GaAs учун.

шунинг учун λ_{\min} ни ўлчашдаги тасодифий хатолик ва концентрацияни аниқлашдаги хатоликлар ортади. Статистик текширишларнинг кўрсатишича, заряд ташувчилар концентрацияси 10^{20} дан 10^{18} см^{-3} гача камайганда, ишонч оралиги 0,95 бўлган аниқлиқда ўлчашнинг тасодифий хатолиги n -тип кремний учун $\pm 10\%$ дан 50% гача ортади. Галлий арсенид концентрациясини 10^{19} дан 10^{17} см^{-3} оралиқда ўлчашнинг тасодифий хатолиги $\pm 10\%$ дан 80% гача ортади.

3.1-жадвал

Материал	λ_{\min} — эмперик ифодаси	концентрация оралиги, см^{-3}	Апроксимация хатолиги %
<i>Si</i>			
<i>n</i> -тип	$\lambda_{\min} = 3,2908 \cdot 10^{11} \times n^{-0,5451} + 1,8153$	$1,5 \cdot 10^{18} \dots 1,5 \cdot 10^{21}$	2,4
<i>p</i> -тип	$\lambda_{\min} = 1,2125 \cdot 10^{15} \times p^{-0,7370} + 3,184$	$3 \cdot 10^{18} \dots 1 \cdot 10^{20}$	0,8
<i>GaAs</i>	$\lambda_{\min} = 8,4172 \cdot 10^2 \times n^{-0,08125}$	$1,5 \cdot 10^{17} \dots 6 \cdot 10^{17}$	0,5
<i>n</i> -тип	$\lambda_{\min} = 4,1584 \cdot 10^7 \times n^{-0,3451}$	$6 \cdot 10^{17} \dots 2,5 \cdot 10^{18}$	—
галлий арсенид	$\lambda_{\min} = 1,7231 \cdot 10^{10} \times n^{-0,4875}$	$2,5 \cdot 10^{18} \dots 1 \cdot 10^{19}$	—

Юқорида ёритилган усул билан бир жинсли, кўпқатламли намуналарнинг электрофизик хоссаларини аниқлаш заряд ташувчилар концентрацияси ва ҳаракатчалигини ўлчашга имкон беради. Намуна сиртининг алоҳида олинган соҳаларида ўлчов ўтказиш мумкин, шунингдек уларни ҳар хил технологик мақсадларда кўллаш мумкин.

в) Заряд ташувчилар концентрациясини Фарадей эффицит билан ўлаш усули

Ясси (чизиқли) қутбланган ёруғлик доимий магнит майдонига жойлаштирилган намунадан майдон йўнали-

ши бўйича ўтганида унинг кутбланиш текислигининг бурилиши Фарадей эффиқти ва бурилиш бурчагини Фарадей бурчаги φ_F деб аталади.

Оптика курсидан маълумки, ясси қутбланган ёруғлик нинг электр майдон кучланганларни соат мили бўйича (ўнг) ва унга тескари йўналишда айланувчи (чап) айланма қутбланган икки тўлқин суперпозиция (ийинди) сидан иборат деб қараш мумкин. Магнит майдонида муҳитнинг нур синдириш кўрсаткичи бу тўлқинлар учун икки хил (n_+ , n_-) бўлади, шунинг учун улар ҳар хил фазовий тезликлар $V_+ = \frac{c}{n_+}$, $V_- = \frac{c}{n_-}$ билан тарқалади ва натижада улар орасида фаза фарқи θ вужудга келади, бунинг оқибатида ясси чизиқли қутбланган ёруғлик намунадан чиқсан чоғида қутбланиш текислиги φ_F — бурчакка бурилади. Бурилиш бурчаги қуйидаги ифода билан аниқланади.

$$\varphi_F = \frac{\theta}{2} = \frac{\pi l(n_- - n_+)}{\lambda} = \frac{\omega l}{2c}(n_- - n_+) \quad (3.54)$$

Бу ерда: l — намуна узунлиги, λ — ёруғликнинг вакумдаги тўлқин узунлиги, n_+ ва n_- мос равишда — ўнг ҳамда чап айланма қутбланган ёруғлик учун нур синдириш кўрсаткичлари.

Борди-ю, Фарадей эффиқти эркин заряд ташувчилар билан боғланган бўлса, уларнинг ҳаракати нуқтаи назаридан қараганда, Фарадей эффиқтини Холл эффиқти деб қараш мумкин: заряд ташувчилар ёруғлик тўлқини электр майдон кучланганлиги таъсирида ташқи магнит майдонга тик йўналишда ҳаракатланади. Борди-ю, заряд ташувчилар ўзгармас магнит майдонга нисбатан қандайдир бурчак билан ҳаракатланса, уларнинг траекторияси магнит майдон йўналишида спирал кўринишда бўлади.

Заряд ташувчилар айланма частотасининг циклатрон резонанси частота ω_c деб юритилади. Циклатрон частота заряд ташувчиларнинг эффиқтив массаси ва магнит майдон индукциясига боғлиқ бўлиб, электрон учун $\omega_{\text{ор}} = eB/m_e$, кавак учун эса $\omega_{\varphi} = eB/m_p$ билан аниқланади.

Фарадей бурчаги ишораси электрон ва кавак учун ҳар хил бўлиб, у ёруғликнинг доимий магнит майдон индук-

цияси векторига нисбатан қандай йўналишда тарқалишига боғлиқ. Агар магнит майдон индукцияси бўйича тарқалаётган ёругликнинг кутбланиш текислиги соат мили бўйича бурилса, Фарадей бурчаги мусбат деб ҳисобланади. Кучсиз магнит майдонида $\mu^2 B^2 \ll 1$ ва $\omega^2 t^2 \gg 1$, $n_- + n_+ = 2\bar{n}$ шартлар бажарилганда, Фарадей бурчагининг (3.54) ифодаси n — тип намуналар учун

$$\varphi_F = \frac{e^2 \lambda^2 B \cdot l \cdot N}{2\pi^2 c^3 \epsilon_0 m_n \bar{n}} \quad (3.55)$$

кўринишни олади. Бу ерда \bar{n} — магнит майдон индукцияси йўқ ($B=0$) бўлгандаги нур синдириш кўрсаткичи. (3.55) тенгламадан кўринадики, эркин заряд ташувчилар вужудга келтирган кутбланиш текислигининг бурилиш бурчаги заряд ташувчилар концентрацияси N га, ёруглик тўлқин узунлигининг квадрати λ^2 га, намуна узунлиги l га, магнит майдон индукцияси B га пропорционал бўлиб, сочилиш механизмига боғлиқ эмас. Агар ўлчов ёругликнинг инфракизил тўлқин узунлиги соҳасида ўтказилса, релаксация вақтини чегараловчи $\omega^2 t^2 \gg 1$ шарт бажарилади намунада тарқалаётган ёруглик намуна ичида қайта-қайта қайтиши сабабли унинг оптик йўли узаяди ва Фарадей бурчагининг φ_F ортишига олиб келади. Бунда Фарадей бурчаги φ_F нинг намуна ичида ёругликнинг қайта-қайта қайтишидан содир бўлган φ'_F бурчак орқали боғланиши куйидаги ифода билан аниқланади.

$$\varphi_F' = \varphi_F [1 + 2R^2 \exp(-\alpha d) \cos 4\varphi_F']^{-1} \quad (3.56)$$

(3.55) тенгламадан кўриниб турибдики, агар намунада нур синдириш кўрсаткичи, заряд ташувчилар концентрацияси маълум бўлса, заряд ташувчиларнинг эфектив масасини аниқлаш мумкин ёки эфектив массаси маълум бўлса, заряд ташувчилар концентрациясини топиш мумкин.

Заряд ташувчилар эфектив массасини аниқлаш усули сифатида Фарадей айланишининг қўлланишини чекловчи бир қанча омиллари мавжуд. Масалан, анизатроп массали намуналарда ўлчанаётган эфектив масса ўтара-

ча қийматни беради. Күп яримұтказгичларда валент зонаси экстремуми айниган бұлиши p -тип яримұтказгич материалларида ўлчов натижаларини изоҳлашни мураккаблаштиради.

Агарда заряд ташувчиларнинг эффектив массаси заряд ташувчилар концентрациясига боғлиқ бұлса, заряд ташувчилар концентрацияси m^* — ўзгармас соҳасида Фарадей бурчагини ўлчаш билан топилади. Масалан, GaAs да эффектив массанинг концентрацияга боғлиқлигини $N < 10^{18} \text{ см}^{-3}$ да инобатта олмаслик мүмкін.

$\omega^2\tau^2 \ll 1$ соҳада ҳам Фарадей эффективидан заряд ташувчилар концентрациясини аниқлаш мүмкін. Фарадей эффекти билан намуналарда заряд ташувчиларнинг нотекис тарқалишига боғлиқ бир жинсда эмаслиикнинг тақсимотини ўрганишда юпқа намуна сиртигининг кичик соҳаси ясси қутбланган нур билан (маҳаллий) кетма-кет ёритилади. Ясси чизиқли қутбланган ёруғлик намуна билан ёруғлик манбаи орасига поляризаторни жойлаштириш билан олинади. Поляризатор сифатида күпинча Николь призмаси құлланилади. Фарадей бурчагини ўлчаш учун намуна билан фотоқабулқылгич орасига поляризатор (Николь призмаси) жойлаштириледи ва у анализатор деб номланади. Бурилиш бурчаги φ_F анализаторни фотоқабулқылгичда энг катта сигналга эришгунча айлантириб топилади.

Спектрнинг инфрақызыл соҳасида $\lambda \approx 2 \text{ мкм}$ да Фарадей бурчагини ўлчашда (3.55) ифодани құллаш шарты магнит майдонининг индукция вектори $\vec{B} = 1 \text{ Тл}$ бўлганда бажарилади, чунки концентрацияси $N = 10^{15} \text{ см}^{-3}$ бўлган галлий арсенид намунаси учун қалинлиги $l = 1 \text{ мм}$, $\lambda = 10 \text{ мкм}$, $B = 1 \text{ Тл}$ бўлганда, магнитооптик бурилиш бурчаги $\varphi_F = 0,1^\circ$ бўлади. φ_F -ни ўлчашнинг аниқлигини ошириш учун у магнитнинг иккى йўналишида ўлчанади ва

$$\sin 2\varphi_F = (I_1 - I_2) / (I_1 + I_2) \quad (3.57)$$

билан аниқланади. Бу ерда I_1 ва I_2 — фотоқабулқылгичда олинган энг катта ва энг кичик ёруғликнинг интенсивлигига пропорционал бўлган электр сигналдир.

Эркин заряд ташувчилар билан боғланган Фарадей эффективидан ташқари, зоналароро Фарадей эффективи ҳам

содир бўлиши мумкин. Фотоннинг энергияси тақиқланган зона кенглигига яқин соҳасида кутбланиш текислигининг бурилиши бу икки эффект билан пайдо бўлади. Заряд ташувчилар концентрацияси кичик бўлган намуналарда ва тўлқин узунлиги кичик бўлган соҳада зоналар аро Фарадей эффектини ҳисобга оладиган тузатиш коэффициентини киритиш керак бўлади. Бунинг учун Фарадей бурчаги φ_F нинг қиймати юқори Омли намуналарда ўтказилади. Фарадей эффектини ўлчашда эластик механик кучланишлар хатолик манбалари сифатида хизмат қиласиди. Бу нурнинг иккиге ажралиш синиш ҳодисасига олиб келади, бунинг оқибатида намунага тушаётган ясси кутбланган тўлқин намунадан ўтганда, эллиптик кутбланиди. Фарадей эффекти кўп материалларда ўлчангандан ва бошқа усувлар натижалари билан солиштирилган. Бу эффект ёрдамида n — тип индий антимонидда ўтказувчан зонанинг параболик эмаслигини тасдиқловчи, электрон эффектив мессасининг заряд ташувчилар концентрацияси ва намуна температураси билан ўсуви функция бўлишлиги кўрсатилган. Ярим ўтказгич намуналарнинг биржинсликка тез микдорий ва сифатий жиҳатдан текшириш натижаларини телевизор экранида қайд қиласиди, Фарадей эффектига асосланган автоматик қурилмалар яратилган.

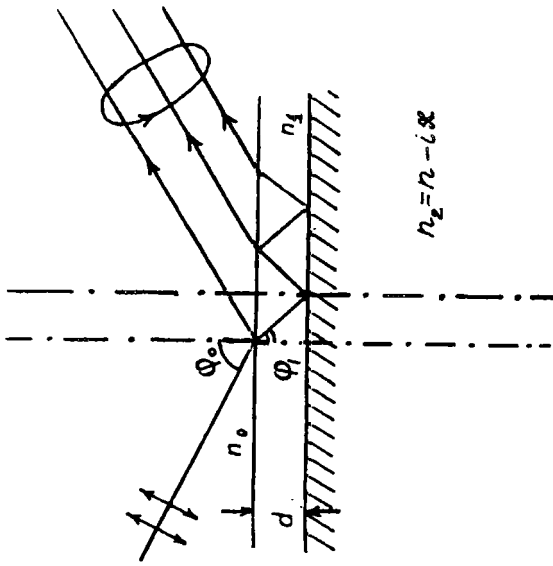
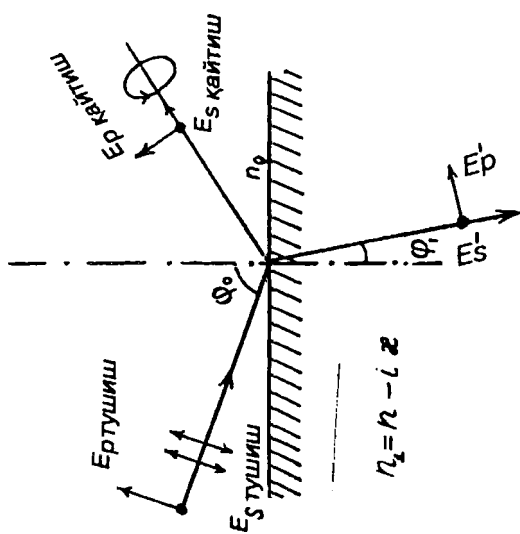
3.4 §. Эллипсометрия усули

Усулнинг моҳияти.

Охирги йилларда илмий-тадқиқот институтларида ҳозирги замон микроэлектроника саноатида бир жинсли ва бир жинсли бўлмаган материалларнинг (диффузион, эпитаксиал қатламли структуралар) параметрларини контактсиз ўлчаш, назорат қилиш усувларидан бири бўлган эллипсометрия усули кенг кўлланилмоқда. Эллипсометрия усули қутбланган ёруғликни, текширилаётган намуна билан ўзаро таъсирилашиши туфайли, ундан қайтганда кутбланиш ҳолатининг ўзгаришини аниқлашга асосланган. Чизиқли қутбланган ёруғликнинг намунадан қайтгандаги кутбланиш ҳолатининг ўзгариши таъсирилашётган намуналарнинг ҳажмий хусусиятларига, сиртнинг хосса-

3.6-расм. Эпитетаксиал қатламсиз (а), эпитетаксиал қатламли (б), яримұтқазғы намуна сиртидан қайттау чизиктері күтблантан ёруғаннинг (нурнинг) йули.

а) б)



си ва структурасига боғлиқ. Ҳозирги замон эллипсо-метрия усули асосан қайтган нурни таҳлил қилишга асосланган.

Чизиқли қутбланган ёруғликнинг бир жинсли ва эпитаксиал қатламли намуналардан қайтиши 3.6-расмда келтирилган. Яримўтказгичларда нур синдириш кўрсаткичи комплекс бўлиши туфайли, чизиқли қутбланган ёруғлик намунадан қайтганда P ва S ташкил этувчилари орасида фаза фарқи пайдо бўлади, электр майдон кучланганларни ўзгаради ва электр майдон кучланганлиги векторининг охири (учи) тарқалиш йўналишига тик бўлган текислиқда эллипс чизади, бошқача айтганда, қутбланган ёруғлик ўтказувчан намунадан қайтганда эллиптик қутбланади. Эпитаксиал структураларда эса ҳаво эпитаксиал қатлам ва эпитаксиал қатлам таглик чегараларидан қайтган нурлар орасида қўшимча фаза фарқи вужудга келади. Намунадан қайтган эллиптик қутбланган ёруғлик ҳолати одатда иккита эллипсометрик параметрлар (ψ ва Δ) билан, бошқача айтганда, қутбланиш бурчаклари орқали аниқланади. Бу параметрлар қайтган эллиптик қутбланган нурнинг тарқалиш йўналишига тик текислиқдаги шаклини ва қандай йўналишда эканлигини кўрсатади. Параметр ψ бурчак тушаётган ва қайтаётган нурларнинг P ва S ташкил этувчилари электр майдон кучланганларни амплитудаларининг ўзаро нисбати, яъни қайтиш коэффициентлари нисбати билан аниқланади:

$$\operatorname{tg} \psi = \frac{(E'_{P_{\text{кай}}} / E_{P_{\text{кай}}})}{(E_{P_{\text{түш}}} / E_{S_{\text{түш}}})} = \frac{|r_P|}{|r_S|} \quad (3.58)$$

бу ерда: S — (индекс-кўрсаткич) — тусиши текислигига тик текислиқда чизиқли қутбланган ёруғликни, P — (индекс-кўрсаткич) тусиши текислигига чизиқли қутбланган ёруғликка тегишли эканлигини кўрсатади. r_s , r_p — ёруғликнинг S ва P — ташкил этувчилари учун қайтиш коэффициенти. Намунага тушаётган ёруғлик чизиқли қутбланган деб фараз қилинади, яъни тушаётган ёруғликнинг P ва S — ташкил этувчилари фазалари бир-бирига тўғри (мос) келади. Ўз навбатида, ёруғликни P ва S — ташкил этувчиларининг (3.58) ифодадаги комплекс қайтиш ко-

эффициентлари нисбати қуйидагича ифодаланиши мумкин.

$$\frac{r_p}{r_s} = \frac{|r_p|}{|r_s|} e^{i(\delta_p - \delta_s)} = e^{i\Delta} \operatorname{tg} \psi \quad (3.59)$$

бу эллипсометрияning асосий тенгламасидир. r_p нинг r_s га нисбати $n_2, \chi_2, n_1, d_1, \lambda, \varphi_0$ параметрларнинг функциясиdir.

Иккинчи эллипсометрик параметр Δ

$$\Delta = \delta_{P\text{қайтиш}} - \delta_{S\text{қайтиш}} = \delta_p - \delta_s \quad (3.60)$$

га тенг бўлиб, у намуна сиртидан ёруғликнинг қайтиши сабабли пайдо бўлган P ва S — ташкил этувчилари орасидаги фаза фарқини кўрсатади. Модомики ёруғликнинг поляризация ҳолати фақат иккита параметр билан аниқланар экан, битта тушиш бурчагига (φ_0) мос келган билан ўлчашдан ҳам иккита параметрни аниқлаш мумкин. Қалинлиги d_1 бўлган эпитаксиал плёнкали гомоэпитаксиал структуралар учун (3.59) тенглама қуйидаги кўринишни олади.

$$\operatorname{tg} \psi e^{i\Delta} = \frac{r_{1P} + r_{2P} e^{-2\delta_i}}{1 + r_{1P} \cdot r_{2P} e^{-2\delta_i}} = \frac{1 + r_{1S} \cdot r_{2S} e^{-2\delta_i}}{r_{1S} + r_{2S} e^{-2\delta_i}} \quad (3.61)$$

Бу ерда $r_{1P}, r_{1S}, r_{2P}, r_{1S}$ — ҳаво-плёнка, плёнка-таглик чегараларидан ёруғликнинг мос равища P ва S — ташкил этувчилари учун Френель қайтиш коэффициентлари, δ — ёруғликнинг қалинлиги d_1 , бўлган эпитаксиал қатламдан ўтишда вужудга келган фаза ўзгариши (градусларда):

$$\delta = \left(300 \frac{d_1}{\lambda} \right) (n_1^2 - \sin^2 \varphi_0)^{\frac{1}{2}} \quad (3.62)$$

Маълумки, чизиқли қутбланган ёруғликнинг P ва S компоненталари учун диэлектрик сингдирувчанликлари

$$\sqrt{\epsilon_1} = n_1 - i \chi_1 \quad \text{ва} \quad \sqrt{\epsilon_2} = n_2 - i \chi_2$$

бўлган икки ўтказувчан муҳит чегарасидан Френель қайтиш коэффициентлари

$$r_{01S} = \frac{\sqrt{\varepsilon_0} \cos \varphi_0 - \sqrt{\varepsilon_1} \cos \varphi_1}{\sqrt{\varepsilon_0} \cos \varphi_0 + \sqrt{\varepsilon_1} \cos \varphi_1}, \quad r_{01P} = \frac{\sqrt{\varepsilon_1} \cos \varphi_0 - \sqrt{\varepsilon_0} \cos \varphi_1}{\sqrt{\varepsilon_1} \cos \varphi_0 + \sqrt{\varepsilon_0} \cos \varphi_1}$$

$$r_{12S} = \frac{\sqrt{\varepsilon_1} \cos \varphi_1 - \sqrt{\varepsilon_2} \cos \varphi_2}{\sqrt{\varepsilon_1} \cos \varphi_1 + \sqrt{\varepsilon_2} \cos \varphi_2}, \quad r_{12P} = \frac{\sqrt{\varepsilon_2} \cos \varphi_1 - \sqrt{\varepsilon_1} \cos \varphi_2}{\sqrt{\varepsilon_2} \cos \varphi_1 + \sqrt{\varepsilon_1} \cos \varphi_2}$$

ифодалар билан аниқланади. Бу ерда φ_0 — ёруғликнинг тушиш бурчаги, φ_1 — эпитаксиал қатламдаги синиш бурчаги, φ_2 — таглиқдаги синиш бурчаги.

$$\cos \varphi_1 = \sqrt{1 - \frac{\varepsilon_0}{\varepsilon_1} \sin^2 \varphi_0}; \quad \cos \varphi_2 = \sqrt{1 - \frac{\varepsilon_0}{\varepsilon_2} \sin^2 \varphi_0}$$

Модомики, r_{2S} , r_{2P} ва $e^{-2i\delta}$ — комплекс катталиклар (r_{1S} , r_{1P} — ҳақиқий катталиклар (чунки $\chi_1=0$) экан, (3.61) ифода ҳам комплекс бўлади. Ҳақиқий ва мавҳум қисмларини ажратиб, ψ ва Δ ларнинг оптик константалари n_2 , χ_2 — бўлган таглиқка ўтказилган эпитаксиал қатлам қалинлигига боғланишини аниқлаш мумкин, яъни:

$$\operatorname{tg} \psi = \sqrt{\Phi_1^2 + \Phi_2^2}; \quad \operatorname{tg} \Delta = \frac{\Phi_2}{\Phi_1} \quad (3.63)$$

Φ_1 ва Φ_2 лар эллипсометрия асосий тенгламасининг ҳақиқий ва мавҳум қисмларидир:

$$\Phi_1 = \Phi_2(n_0, \lambda_1, \varphi_0, d_1, n_1, n_2, \chi_1, \chi_2)$$

$$\Phi_2 = \Phi_2(n_0, \lambda, \varphi_0, d_1, n_1, n_2, \chi_1, \chi_2)$$

Бурчаклар (ψ ва Δ) ни ўлчаб, (3.63) тенгламаларни бирга ечиб қайтган тизимида исталган иккита ноаниқ параметрни аниқлаш мумкин. Демак, эллипсометрияning амалий масалалари nn^+ , pp^+ эпитаксиал структураларда эпитаксиал қатлам қалинлиги ҳамда таглиқдаги заряд ташувчи-

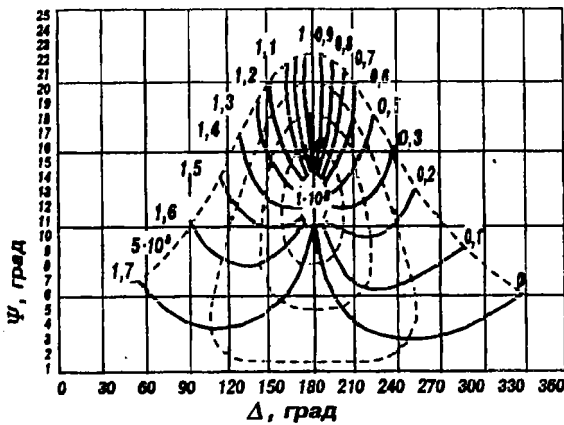
лар концентрациясини, бир жинсли материалларда эса заряд ташувчилар концентрациясини ёки солишиштirma қаршиликни аниқлашга олиб келади. Инфрақизил эллипсометрия усули биринчи марта nn^+ типидаги кремний ва pp^+ типидаги германий структураларида эпитаксиал қатлам қалинлигини $1 \div 10$ мкм оралиқда назорат қилишда қўлланилган. Тўлқин узунлиги 10,6 мкм бўлган ёруғликда кремний ва галлий арсенид эпитаксиал қатламларининг қалинлиги CO_2 лазер асосида яратилган саноат эллипсометрида ўлчаш (назорат қилиш) кенг тарқалган. Ёруғликнинг бу тўлқин узунлик соҳасидаги тоза яrimўтказгичлари тиник (шаффоф) бўлади, легирланган яrimўтказгичларда ёруғликнинг ютилиш механизми асосан эркин заряд ташувчиларда ютилиши билан аниқланади. Шунинг учун ёруғликнинг инфрақизил соҳасида микроэлектроникада кенг тарқалган nn^+ , pp^+ кремний, галлий арсенид типидаги ва бошقا материалларининг гомоэпитаксиал структураларини шаффоф (тиник), эпитаксиал қатлам, ёруғликни ютувчи тагликдан иборат структура деб қарааш мумкин. Яrimўтказгичлар оптик константалари дисперсијасининг классик назариясига мувофиқ

$$n_2^2 - \chi_2^2 = \epsilon_{\infty} - \frac{4\pi/\rho}{1 + 4\pi^2 c^2 \tau^2 \lambda^{-2}} \quad (3.64)$$

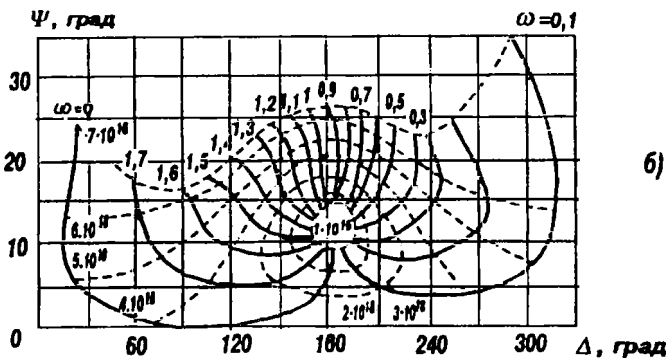
$$\chi_2 n_2 = \frac{\lambda/\rho}{1 + 4\pi^2 c^2 \tau^2 \lambda^{-2}} \quad (3.65)$$

ифодалар олинган. Бу ерда, n_2 — тагликнинг нур синдириш кўрсаткичи, χ_2 — экстензия коэффициенти, ϵ_{∞} — кристалл панжара диэлектрик сингдирувчанлиги, τ — релаксация вақти, ρ — солишиштirma қаршилик.

Яrimўтказгичларнинг оптик константалари заряд ташувчилар концентрацияси, релаксация вақти орқали (3.63) ва (3.64) муносабатлар билан боғланган. Солишиштirma ўтказувчанлик ва релаксация вақти, ҳар хил заряд ташувчилар концентрацияси учун, Ирвин $\rho=f(N)$ диаграммасидан топилади. Эпитаксиал қатламнинг қалинлиги ва таглик концентрациясининг керакли соҳасида эллипсометрик параметрлар (ψ ва Δ) ЭҲМ да ҳисобланади ва ҳисоблаш



a)



б)

3.7-расм. Эпитаксиал қатлам-таглик чегараси кескин бўлган $nn+$ -типдаги GaAs эпитаксиал структуранинг қалинлиги $d=0,3$ мкм бўлган чизиқли оралиқ ўтиш қатлами ҳисобга олинган хол учун, $\varphi-\Delta$ номограммаси (а), $nn+$ -тип GaAs структурали тагликдаги электронлар концентрацияси ва эпитаксиал қатлам қалинлигини аниқлаш $\varphi-\Delta$ номограммаси (б).

натижалари ва Δ координаталарида номограмма кўрининшида келтирилади. ψ ва Δ лар қалинликнинг даврий функцияси бўлгани учун, берилган заряд ташувчилар концентрациясида $\psi(\Delta N_2, d_1)$ боғланиш ёпиқ эгри чизиқдан иборат бўлади. Тажрибада ўлчангандан ҳар бир жуфт ψ ва Δ параметрлар номограммаларида тагликни қандайдир за-

ряд ташувчилар концентрациясига, эпитаксиал қатлам қалинлигига мос келган даврий әгри чизикда ётган нуқта түғри келади. 3.7-расмда эпитаксиал қатлам-таглик чегараси кескин бўлган np^+ типидаги $GaAs$ эпитаксиал структурасининг номограммаси келтирилган. Кўп ҳолларда эпитаксиал структуралар юқори температураларда олинади, бунинг натижасида диффузия, автолегирлаш жараёнлари содир бўлиб, чегаранинг кескинлик шарти бузилади ва эпитаксиал қатлам-таглик чегарасида оралиқ ўтиш қатлами пайдо бўлади. Текширишларнинг кўрсатишича, агар киришма атомларининг қалинлик бўйича тақсимоти маълум бўлса (масалан, чизикли), бу оралиқ ўтиш қатлами нинг таъсирини $\psi - \Delta$ номограммани ҳисоблашда эътиборга олиш мумкин. Бунда эллипсометрия тенгламасига кўшимча параметр d_0 — оралиқ ўтиш қатлам қалинлиги киритилади. Бу параметр маълум бўлса, масалан, тагликда заряд ташувчилар концентрацияси маълум бўлса, у ҳолда эллипсометрик ўлчовлар эпитаксиал ва оралиқ ўтиш қатламлар қалинликларини аниқлашга имкон беради. Агар оралиқ ўтиш қатлами қалинлиги технологик жиҳатдан такрорланувчан катталик бўлса, у вақтда уни эллипсометрик номограммани ҳисоблашда эътиборга олиш мумкин. 3.7а-расмда қалинлиги $d_0 = 0,3$ мкм бўлган чегаравий оралиқ, ўтиш қатлами нинг ҳисобга олинган эллипсометрик номограммаси келтирилган.

Кутбланиши бурчаклари ψ ва Δ ни тажрибада аниқлаш

Чизиқли кутбланган ёруғликни таҳлил қилиш, яъни эллипсометрия параметрларини аниқлаш қурилмаси қуйидаги асосий қисмлардан иборат бўлади: ёруғлик манбаи, поляризатор, анализатор, чорак тўлқин узунлик пластина (компенсатор) фотокайдқилгич, модулятор, кучайтиргич. Лазерларнинг интенсивлиги спектрофотометр ёруғлик манбаларига нисбатан катта бўлгани учун, сўнгти йилларда улар эллипсометрларда ёруғлик манбаи сифатида ишлатилмоқда. Саноатда улар асосида ҳар хил тўлқин узунлик соҳасида ишлайдиган эллипсометрлар, эллипсометрик микроскоплар (УИТ—ТЭС, ЭИ—09, ИТ—1, 7—0031; ЛЭМ—2, ЛЭМ—3, ЛЭФ—ЗМ ва бошқалар) ишлаб чиқарилади.

Табиий ёруғликдан чизиқли кутбланган ёруғлик олишда поляризатор қўлланилади, анализатор поляризатор каби

ишлайди ва компенсатордан ўтган қутбланган ёруғликни таҳлил қилишга хизмат қиласди. Фақат чизиқли поляризатор ва анализатор орқали қисман қутбланган ёруғликни эллиптик қутбланган ёруғликдан ажратиб бўлмайди, чунки анализаторни оптик ўқ атрофида айлантирганда, икки ҳолда ҳам ёруғликнинг интенсивлиги ўзгаради, интенсивликниң максимум қийматини минимумга нисбати бирхил бўлиши мумкин. Бу нисбат айланана бўйлаб қутбланган ёруғлик учун ҳам, табиий ёруғлик учун ҳам бирга teng бўлади. Буларни бир-биридан ажратиш (фарқлаш) учун эллиптик қутбланган нур анизатропик кристалдан ясалган пластина (компенсатор) дан ўтказилиб, унинг ортоғонал ташкил этувчилари орасида шундай фаза фарқи ҳосил қилиш мумкинки, бунда эллиптик қутбланган ёруғлик чизиқли қутбланган нурга айлансин. Бу ҳодиса анализаторда кузатилади ва таҳлил қилинади. Компенсатор сифатида икки ўқли кристалларда бош ўқига паралел қилиб қирқиб олинган кварц, слюда, исланд шпати, *CdS* — монокристалл пластиналари қўлланилади. Агар компенсатор пластинасига кираётган чизиқли қутбланган ёруғликнинг электр майдон кучланганлиги вектори кристалнинг оптик ўқига нисбатан 45° бурчак остида тушса, у ҳолда оддий ва гайриоддий нурларнинг интенсивликлари бир хил бўлади. Агар пластина қалинлиги

$$\frac{\pi}{2} = 2\pi d(n_0 - n_H)/\lambda$$

шартни қаноатлантируса, у ҳолда компенсатордан чиқсан нур айланана бўйлаб қутбланган ёруғликка айланади. Оддий ва гайриоддий нурлар орасидаги нурлар $\left(\frac{\pi}{2}\right)$ га teng фаза фарқи пайдо қиласдиган пластина чорак тўлқин узунлик пластинаси деб юритилади.

Бу ерда, n_0 — оддий нурнинг нур синдириш кўрсаткичи, n_H — гайриоддий нурнинг нур синдириш кўрсаткичи. Кутбланиш бурчаклари ψ ва Δ ни тажрибадан аниқлаш учун поляризатор ва намуна орасига уларга нисбатан ўқи 45° бурчак остида чорак тўлқин узунликли пластина жойлаштирилади. У ўлчов давомида ўзгартирилмайди. Бу

ҳолда интенсивликнинг минимумга эришиш ҳолати фоғоқабулқилгич ёрдамида кетма-кет анализатор ва поляризаторларни бураб топилади. Одатда минимумни 3—4 марта кетма-кет бураш билан топиш мумкин, бу билан поляризаторни ва анализаторнинг азимут бурилиш бурчаклари аниқланади. Ўлчов одатда ўлчашнинг, яъни, анализатор азимут бурчагининг икки соҳасида бажарилади. Биринчи соҳада анализаторнинг азимут бурчаги $0 < A_1 \leq +90^\circ$ оралиқда ўзгаради. Бу соҳада $\Delta < 180^\circ$ да бўлса, ёруғлик минимуми поларизатор азимут бурчагининг $-45^\circ < P < +45^\circ$ оралиғида, $\Delta > 180^\circ$ бўлганда эса поляризатор азимут бурчаги $45^\circ < P < 135^\circ$ оралиғида кузатилади. Анализатор азимут бурчагининг иккинчи ўзгариш соҳасида $90^\circ < A_2 < 180^\circ$ ёруғлик минимуми поляризатор азимутини $45^\circ < P \leq 135^\circ$ ёки $135^\circ < P_2 < 225^\circ$ оралиғида кузатилади. Бунда ψ ва Δ лар

$$\begin{aligned}\Delta &= P_1 + P_2 \\ \psi &= [A_1 + (180 - A_2)]/2\end{aligned}$$

ҳисоблаш формулаларидан аниқланади.

Кейинги йилларда эллипсометрик ўлчашларнинг сезгирилиги жиҳатидан юқори, ўрганиладиган материаллар доирасининг кенгайишига имкон берадиган, автоматлаштириш кулагай бўлган бир қанча усуллари яратилган.

ψ ва Δ ларнинг тажрибада аниқланган қийматлари бўйича олдиндан чизилган номограммадан ёки эллипсометрия асосий тенгламаси орқали ҳисоблаб, яrimётказгич намуналар оптик константаларининг электрофизик параметрлари аниқланади.

НОМУВОЗАНАТ ЗАРЯД ТАШУВЧИЛАР ПАРАМЕТРЛАРИНИ ЎЛЧАШ УСУЛЛАРИ

4.1-§. Номувозанат заряд ташувчилар параметрлари

Яримўтказгичлар ташқи таъсир остида, яъни ёруғлик, ренттен, γ — квантлар, тезлантирилган нейтрал, зарядланган заррачалар ҳамда p —н ўтиш орқали инженция, электр майдонда зарбдан ионланиш, туннел жараёнлари туфайли номувозанат заряд ташувчиларнинг пайдо бўлиши, генерацияланиши мумкин. Номувозанат заряд ташувчилар яримўтказгич материаллари ва асбобларининг электрофизик, фотоэлектрик хоссаларини аниқлайди. Номувозанат заряд ташувчиларнинг дрейф ҳаракатчалиги (μ) диффузия коэффициенти (D), диффузион узунлик (L), яшаш вақти (τ), сиртий рекомбинация тезлиги (S) каби параметрлар билан тавсифланади. Бу параметрларни аниқлаш усуллари электрон, кавак узлуксизлик тенгламаларининг бъязи бир соддалаштирувчи фаразлар билан берилган бошлангич, чегаравий шартларни қаноатлантирувчи ечимини топишга асосланган. Яримўтказгич намуналарда номувозанат заряд ташувчилар хусусияти (табиати, хатти-ҳаракати) қуидаги

1. Электрон, кавак ток зичликлари

$$\gamma_n = e\mu_n nE + e\partial_n gradn \quad (4.1)$$

$$\partial_p = e\mu_p pE - e\partial_p gradp \quad (4.2)$$

2. Узлуксизлик

$$\frac{\partial n}{\partial z} = g_n - \frac{\Delta n}{\tau_n} + \frac{1}{e} div j_n \quad (4.3)$$

$$\frac{\partial p}{\partial z} = g_p - \frac{\Delta p}{\tau_p} - \frac{1}{e} div j_p \quad (4.4)$$

тenglamalari sistemasi echimi билан тавсифланади: Бу ерда $n = n_0 + \Delta n$ ва $p = p_0 + \Delta p$ — номувозанат ҳолатдаги ишряд ташувчилар (электрон, кавак) тўла концентрацияси n_0 , p_0 — мувозанатдаги заряд ташувчилар электрон, кавак концентрацияси; Δn , Δp — номувозанат заряд ташувчилар электрон, кавакнинг мувозанат ҳолатдагисига нисбатан ортиқча концентрацияси, Δn , Δp — электрон, кавак диффузия коэффициентлари; μ_n , μ_p — электрон, кавак ҳаракатчанликлари; τ_n , τ_p — электрон, кавак яшаш вактлари; g_n , g_p — электрон, кавакни генерациялаш тезликлари.

Фотоинженция (ёруғлик орқали) номувозанат ҳолатдаги заряд ташувчиларни ҳосил қилганда генерация тезлиги

$$g = \alpha \beta I_v e^{-\alpha x} (1 - R_v) / h\nu = goe^{-\alpha x}$$

ифода билан топилади. Бу ерда α — ёруғликнинг яримўтказгичда ютилиш коэффициенти, R_v — ёруғликнинг намунадан қайтиш коэффициенти, $h\nu$ — фотон энергияси, β — заряд ташувчиларнинг квант чиқиши коэффициенти I_0 — ёруғлик интенсивлиги. (4.3) ва (4.4) тенгламалардан кўринаиди, номувозанат ҳолатдаги заряд ташувчилар концентрацияларининг ўзгариш тезликлари $\frac{\partial n}{\partial t}$, $\frac{\partial p}{\partial t}$ ни заряд ташувчиларнинг рекомбинация, генирация, дрейф-диффузия жараёнлари аниқлайди. Заряд ташувчилар концентрацияси фақат бир йўналишда, масалан, x — ўқи бўйича ўзгаради ва электр майдон кучланганлиги \vec{E} x ўқи бўйича йўналган бўлсин деб олинган ҳол учун, (4.3) ва (4.4) тенгламалар (4.1) ва (4.2) ни назарда тутганда, куйидаги кўринишни олади:

$$\frac{\partial \Delta p}{\partial t} = g_p - \frac{\Delta p}{\tau_p} + D_p \frac{\partial^2 \Delta p}{\partial x^2} - \mu_p \cdot p \frac{\partial E}{\partial x} - \mu_p E \frac{\partial \Delta p}{\partial x} \quad (4.5)$$

$$\frac{\partial \Delta n}{\partial t} = g_n - \frac{\Delta n}{\tau_n} + D_n \frac{\partial^2 \Delta n}{\partial x^2} + \mu_n \cdot n \frac{\partial E}{\partial x} + \mu_n E \frac{\partial \Delta p}{\partial x} \quad (4.6)$$

Бу ерда $\left(\frac{\partial E}{\partial x}\right)$ Пуассон тенгламаси

$$\frac{\partial E}{\partial x} = \frac{e}{\epsilon_0 \epsilon} (\Delta p - \Delta n) \quad (4.7)$$

билин ифодаланади. Ҳажмий заряд вужудга келмагандага, яъни намунадага электр нейтраллик шарти $\Delta n = \Delta p$ бажарилганда $\frac{\partial E}{\partial x} = 0$ бўлади. Бу ҳол яхши ўтказувчанликка эга бўлган яримўтказгичларда кузатилади. Киришмали яримўтказгичнинг бирор жойида қайси усул билан бўлмасин асосий бўлмаган заряд ташувчилар инжекциялансан. Пайдо бўлган ҳажмий заряд бунда икки усул билан: бу соҳадан асосий бўлмаган заряд ташувчиларни чиқариб ташлаш орқали, ёки ҳажмий зарядни бошқа типдаги заряд орқали, яъни асосий заряд ташувчилар билан компенсацияланishi мумкин. Асосий заряд ташувчиларнинг катта концентрацияларида электр нейтралликни *тиклаш* учун уларнинг қайта тақсимланиши жуда тез, максвелл релаксация вақти

$$\tau_M = \epsilon_0 \epsilon / \sigma \quad (4.8)$$

ичида содир бўлиши керак. ϵ_0 , ϵ — вакуум, яримўтказгичнинг диэлектрик сингдирувчанликлари, τ — яримўтказгичнинг солиширима ўтказувчанлиги.

Амалиётда асосий заряд ташувчиларнинг қайта тақсимланиши ҳеч қандай қийинчилик туғдирмайди. Но асосий заряд ташувчиларнинг диффузия жараёни ўз ҳарачатчанилигига, диффузия коэффициентига эга бўлган нейтрал заррача каби содир бўлади. Электр майдонидаги асосий бўлмаган заряд ташувчилар зарядланган заррача каби дрейфланади. Лекин асосий заряд ташувчиларнинг тез қайта тақсимланиши туфайли, ҳажмий заряд ҳосил бўлмайди. Демак, заряд ташувчиларнинг кичик концентрацияларида, икки ишорали заряд ташувчиларнинг фазода қайта тақсимланиши орқали, электроннейтралликнинг тикланиши содир бўлади.

$\Delta p = \Delta n$ бўлганда $g_n = g_p$, $\sigma_n = \tau_p$ бўлади. (4.5) ни $\tau_n = e n \tau_p$ га, (4.6) ни $\sigma_p = e p \mu_p$ га кўпайтириб, ўхшаш ҳадларни қўшиб,

$$\frac{\partial \Delta p}{\partial t} = g_p - \frac{\Delta p}{\tau_p} + D \frac{\partial^2 \Delta p}{\partial x^2} - \mu_E E \frac{\partial \Delta p}{\partial x} \quad (4.9)$$

кўринишида бўлган узлуксизлик тенгламасини оламиз. Кичик электр майдонларида заряд ташувчилар дрейф ҳаракатининг диффузиясига нисбатан ҳисобга олинмаслиги мумкин, шунинг учун (4.9) ни кичик электр майдонда

$$\frac{\partial \Delta p}{\partial t} = g_p - \frac{\Delta p}{\tau_p} + D \frac{\partial^2 \Delta p}{\partial x^2} \quad (4.10)$$

кўринишида ифодалаш мумкин. Бу ерда,

$$D = \frac{\sigma_n D_p + \sigma_p D_p}{\sigma_n + \sigma_p} = \frac{n + p}{n/D_p + p/D_n} \quad (4.11)$$

$$\mu_E = \frac{\tau_n \mu_p - \tau_p \mu_n}{\tau_n + \tau_p} = \frac{(n - p)}{(n/\mu_p + P/\mu_n)} \quad (4.12)$$

(4.10) тенглама (4.5) ва (4.6) тенгламаларга тенг кучли бўлиб, электронейтравллик шарти бажарилган шароитда, у заряд ташувчилар табиатини ифодалайди. (4.10) даги D — электрон-кавакнинг диффузиясини аниқлайди ва заряд ташувчиларнинг биқутбий диффузия коэффициенти, (4.12) даги μ_E эса биқутбий дрейф ҳаракатчанлиги деб юритилади.

n -тип киришмали яримўтказгичда $n \gg p$ бўлгани учун (4.11) ва (4.12) лардан

$$D=D_p; \mu_E=\mu_p$$

p -тип киришмали яримўтказгичда $p \gg n$ бўлгани учун

$$D=D_n; \mu_E=-\mu_n$$

ва хусусий яримўтказгичда $p=n$ бўлгани учун

$$D = 2 \frac{D_n D_p}{D_n + D_p}; \mu_E = 0$$

бўлишилигини кўрамиз. Киришмали яримўтказгичларда заряд ташувчиларнинг биқутбий диффузия коэффициен-

ти асосий бўлмаган заряд ташувчилар диффузия коэффициентига тенг бўлишлигини, биқутбий дрейф ҳаракатчанлик абсолют қиймати бўйича асосий бўлмаган заряд ташувчилар ҳаракатчанлигига мос келишини кўрдик. Бундан ташқари, электрон кавак концентрациялари n ва p -ларнинг нисбатига қараб μ_e — ишорасини ўзгартиради: $n=p$ ва $\mu_e=0$ бўлишлигини гувоҳи бўламиз. Агар биқутбий диффузия коэффициенти (4.11)ни Эйнштейн муносабати

$$D = \frac{KT}{e} \mu_D \quad (4.13a)$$

орқали ифодаласак, ҳаракатчанликнинг яна бир ифодасини, яъни заряд ташувчиларнинг биқутбий диффузион ҳаракатчанилик ифодасини оламиз.

$$\mu_D = \frac{n + p}{\frac{p}{\mu_n} + \frac{n}{\mu_p}} \quad (4.13b)$$

Киришмали яримўтказгичларда $n \gg p$ ёки $p \gg n$ ўринли бўлганда μ_D қиймати μ_e га тенг бўлиб, унинг ишораси ҳамма вақт мусбат бўлади. Хусусий яримўтказгичларда

$$\mu_D = 2 \frac{\mu_n \mu_p}{\mu_n + \mu_p} \text{ дир.} \quad (4.13b)$$

Узлуксизлик тенгламалари (4.9) нинг баъзи бир содда ҳоллардаги ечимини таҳлил қиласли.

1. Фараз қиласли, электр майдон қўйилмаган ($E=0$) ва намунада номувозанатдаги заряд ташувчилар текис $g_n = \alpha \beta I_{0v} (1 - R_v)$ генирациялансин. Намуна эркин сиртларида сиртий рекомбинация содир бўлмасин ($S=0$). Бу ҳолда дрейф, диффузия жараёнлари бўлмайди, шунинг учун (4.9) тенглама

$$\frac{\partial \Delta p}{\partial t} = g - \frac{\Delta p}{\tau_p} = (1 - R_v) \alpha \cdot \beta I_{0v} - \frac{\Delta p}{\tau_p} \quad (4.14)$$

кўринишни олади. Номувозанат заряд ташувчилар концентрациясининг вақт бўйича ўзгаришини фақат генерация ва рекомбинация жараёнлари аниқлайди. Ёпишиш (тутқич) марказлар бўлмагандан генерация тезлиги $g_0 = \alpha \beta I_{0v} (1 - R_v)$ — га мос $\Delta p_{боз}$ — бошланғич концентрация тўғри келсин.

Агар $t=0$ да генерация жараёни тўхтатилса, $t>0$ да $g=0$ бўлганда (4.14) нинг ечими

$$\Delta p = p(t) - p_0 = \Delta p_{боз} \cdot \exp\left(-\frac{t}{\tau_p}\right) = \alpha \beta I_{0v} (1 - R_v) \tau_p e^{-\frac{t}{\tau_p}} \quad (4.15)$$

бўлади. Текис генерация билан вужудга келган асосий бўлмаган заряд ташувчилар концентрациясининг сўниши ёруғлик интенсивлиги I_{0v} (уйғотиш даражаси) кичик Δn , $\Delta_p \ll n_0 + p_0$ ёки жуда катта I_{0v} да, яъни катта даражали инжекция Δn , $\Delta p \gg n_0 + p_0$ бўлганда экспонента қонуни билан содир бўлади. Бундан фойдаланиб, номувозанат заряд ташувчиларнинг яшаш вақтини аниқлаш мумкин. Бу ердаги τ_p — вақтни яримўтказгичга киритилган ноасосий заряд ташувчилар концентрациясини e — марта камайишига кетган вақт деб қарашиб мумкин.

2. Стационар ҳол $\frac{d\Delta p}{dt} = 0$ ни кўрайлик. Электр майдони бўлмагандан ва яримчексиз намунанинг x — ўқи бўйича номувозанат заряд ташувчилар нотекис генирацияланаб, ҳажм бўйича $t=0$ да $g_p=0$ деб фараз қилинганда, узлуксизлик тенглама

$$\frac{d^2 \Delta p}{dx^2} - \frac{\Delta p}{\tau_p} = 0 \quad (4.16)$$

кўринишида бўлади. Бу тенгламанинг

$$p_{x=0} = \Delta p(0) + p_0; \quad p_{x \rightarrow \infty} = p_0$$

чегара шартларини қаноатлантирувчи ечими

$$\Delta p(x) = p(x) - p_0 = \Delta p(0) \exp\left(-\frac{x}{L}\right) \quad (4.17)$$

бўлади. Бу ечимдан фойдаланиб, яримўтказгич намуналарида асосий бўлмаган заряд ташувчилар диффузион узунлиги $L = \sqrt{D\tau}$ ни аниқлаш мумкин. L ни асосий бўлмаган заряд ташувчилар диффузияси содир бўлганда улар концентрациясининг e — марта камаядиган масо-фаси деб қараш мумкин. Тақиқланган зонадаги ёпишиш (тутқич) марказларида ушланган зарядлар, заряд ташувчиларнинг диффузион оқимига ҳисса қўшмайди. Шунинг учун диффузион узунлик орқали яшаш вақтини аниқланда, ёпишиш марказлари номувозанат, асосий бўлмаган заряд ташувчилар яшаш вақтига таъсир кўрсатмайди.

3. Стационар, ностационар масалаларни кўришда, баъзи бир ҳолларда, чегаравий шартлар,

$$j_{px} = eD \frac{\partial \Delta p}{\partial x} \Big|_{x=0}, \quad a = \pm S(p - p_0) \Big|_{x=0}, \quad a \quad (4.18)$$

кўринишда берилиши мумкин. Бу ерда, S — ўлчамлиги тезлик бирлиги билан аниқланадиган катталик, у сиртий рекомбинация тезлиги деб аталади. Мазкур чегаравий шартнинг маъноси шундан иборатки, у S — тезлик билан сиртга оқиб кираётган заряд ташувчилар оқимини англатади. S нинг энг катта қиймати заряд ташувчилар тезлиги 10^7 см/с нинг тўртдан бирига тенг бўлиб, германий ва кремнийлар учун уй шароитида $2 \cdot 10^6$ см/с тартибida бўлади. Агар намунада ёпишиш маркази мавжуд бўлса, асосий, ноасосий заряд ташувчиларнинг яшаш вақтлари бир-биридан жуда катта фарқ қиласди $\tau_n \neq \tau_p$. Ёпишиш марказларида ушланган заряд ташувчилар концентрацияси ошиқча номувозанат заряд ташувчилар концентрациясидан катта бўлса, асосий заряд ташувчилар яшаш вақти номувозанат асосий бўлмаган заряд ташувчилар яшаш вақтидан жуда катта бўлади.

n — тип материалларда $\tau_n \gg \tau_p$, p — типда эса $\tau_p \gg \tau_n$ бўлади. Бу ҳолда битта намуна учун заряд ташувчиларнинг яшаш вақти ўлчаш усуllibарига қараб ҳар хил қийматга эга бўлиши мумкин. Текширишлар шуни кўрсатадики, но-

мувозанат заряд ташувчилар концентрациясини, яъни номувозанат ўтказувчаникнинг вақт бўйича сўнишига асосланган ҳамма τ ни ўлчаш усуллари ёпишиш (тутқич) марказларининг ҳолатига, концентрациясига боғлиқ бўлган заряд ташувчилар вақтини беради.

Диффузион узунликни ўлчашга асосланган заряд ташувчилар яшаш вақтини аниқлашнинг ҳамма усуллари яримўтказгич намуналарида ёпишиш (тутқич) марказларини бор ёки йўқ бўлишига, уларнинг ҳолатига боғлиқ бўлмаган асосий заряд ташувчилар яшаш вақтини берадилар. Яримўтказгич намуналарида заряд ташувчиларнинг яшаш вақтини, диффузион узунлигини аниқлашнинг жуда кўп усуллари мавжуд. У ёки бу усулни қўллаш яримўтказгич материаллари ва асбобларининг ишлашини аниқлайдиган заряд ташувчилар ўшаш вақтига қараб танланади. Яримўтказгичларда номувозанат заряд ташувчиларни генерациялаш усулларига қараб, ташувчилар яшаш вақтини, диффузион узунлигини ўлчашнинг стационар, ностационар усуллари тавсия этилган.

З-туркум усуллар сифатида p - n ўтишини қўллашга асосланган усулларни кўрсатиш мумкин. Охирги йилларда ёруғлик интенсивлиги катта бўлган импульсли лазерларнинг яратилиши муносабати билан заряд ташувчилар яшаш вақтини катта Δn , $\Delta p \gg n_0 + p_0$ даражали инжекцияда ўлчаш имкони туғилди. Нурланишли, нурланишсиз рекомбинациялар заряд ташувчиларнинг яшаш вақтини, диффузион узунлигини аниқловчи жараёнлардир. Бундан ташқари, τ , L намуналарни олиш шароитига, иссиқлик ишловларига ва температурага боғлиқ параметрлардир.

4.2 §. Номувозанат заряд ташувчилар билан инжекцияланган намунанинг ўтказувчанилиги

Узунлиги a , эни b , қалинлиги d тўғри бурчакли паралелепипед шаклида бўлган ва $x=0$ ва $x=a$ даги кўндаланг кесимларига Ом контактлари олинган намунанинг номувозанат ўтказувчанилигини таҳлил қиласиз (4.1-расм) x — йўналишда намунадан I — ток ўтказилганда ундаги кучланиш ташуви V бўлсин. Намунада қандайдир усул, ма-

салан, фотоинжекция (ёруглик) билан ёки инжекцияловчи контакт орқали ток импульси билан номувозанат заряд ташувчилар электрон, кавакни генерациялайлик, уларнинг тақсимоти ихтиёрий бўлиб, концентрациялари Δn , $\Delta p \ll n_0 + p_0$ Ом контактларида эса

$$\Delta n /_{x=0,a} = \Delta p /_{x=0,a} = 0 \quad (4.20)$$

бўлсин. Намунанинг Ом контактларидан икки-уч диффузион узунлик ($2 \div 3$) Z дан катта масофада жойлашган ўрта қисмида заряд ташувчиларнинг инжекцияси содир бўлса, (4.20) шартни амалга ошириш мумкин. Намунадан оқаётган электрон, кавак токлари (4.1), (4.2) нинг x бўйича ташкил этувчилари

$$j_{nx} = e\mu_n(n_0 + \Delta n)(E_{0x} + \Delta E_x) + eD_n \frac{\partial \Delta n}{\partial x} \quad (4.21)$$

$$j_{px} = e\mu_p(p_0 + \Delta p)(E_{0x} + \Delta E_x) - eD_p \frac{\partial \Delta p}{\partial x}$$

билан ифодаланади. Бу ердаги ва кейинги учрайдиган “0” белги уларнинг мувозанат ҳолатдаги қийматини билдиради.

(4.19) шарт ўринли бўлганда, (4.21) даги Δn , ΔE_x , Δp , ΔE_x ларни, иккинчи тартибдаги кичик ҳадлар бўлгани учун, инобатга олмаса бўлади. Электрон кавак токлари j_{nx} , j_{px} ни қўшиб, кейин эса бутун намуна ҳажми ($a \cdot b \cdot d$) бўйича интеграллаймиз. Токнинг диффузион ташкил этувчиларининг интегралга қўшган ҳиссаси (4.20) шартига кўра нолга тенг, чунки

$$\int_{abd} \frac{\partial \Delta n}{\partial x} dx dy dz = \int_{abd} \frac{\partial \Delta p}{\partial x} dx dy dz = \int_{bd} (\Delta n(a) - \Delta n(0)) dy dz = 0$$

Ана шундай тенгликни p учун ҳам ёзиш мумкин.

$$V_0 = a \cdot E, \quad \Delta V = \int_0^a \Delta E_x dx, \quad I = \int_{bd} (j_{nx} + j_{px}) dy dz$$

муносабатларни назарда тутсак, намунада номувозанат заряд ташувчилар инжекцияланганда, ундан оқаётган токнинг ўзгариши

$$\Delta I = \frac{e}{a^2} (\mu_p \Delta p + \mu_n \Delta N) V_0 + G_0 \Delta V \quad (4.22a)$$

бўлади. Бунда

$$\begin{aligned}\Delta p &= \int_{abd} \Delta n \, dx \, dy \, dz \\ \Delta N &= \int_{abd} \Delta p \, dx \, dy \, dz\end{aligned} \quad (4.22b)$$

ΔN , Δp — мос равишда намунадаги номувозанат электрон, кавакларнинг тўла сони,

$$G_0 = \frac{bd}{a} e (\mu_n \cdot n_0 + \mu_p p_0) = \frac{1}{R_0} \quad (4.23)$$

намунанинг мувозанат ҳолатдаги (қоронфудаги) ўтказувчанлиги, мувозанат ҳолатида намунадан оқаётган токни

$$I_0 = V_0 / R_0 = G_0 V_0$$

орқали, намунадан номувозанат ҳолатда (заряд ташувчилар инжекцияланганда) оқаётган токни

$$I = \frac{V}{R} = G \cdot V = (G_0 + \Delta G) V \quad (4.24)$$

формула орқали ифодаласак ҳамда кичик инжекцияда Δn , $\Delta p \gg n_0$, p_0 , яъни $G_0 \gg \Delta G$ бўлишигини назарда тутсак, заряд ташувчилар инжекцияланган намунадан оқаётган токнинг ўзгариши

$$\Delta I = \Delta G V_0 + G_0 \Delta V \quad (4.25)$$

ифода билан аниқланишини кўрамиз. (4.22) ни (4.25) билан солиширишдан намунага электрон, кавак инжекцияланганда ўтказувчанликнинг ортиши:

$$\Delta G = \frac{e}{a^2} (\mu_n \Delta N + \mu_p \Delta p) \quad (4.26)$$

ифода билан аниқланади. (4.19) ва (4.20) шартлар бажарилганда (4.26) ифода намунада инжекцияланган заряд ташувчиларнинг ҳар қандай тақсимланишида ўринли бўлади. Юқорида кўрдикки, (4.20) шартнинг бажарилиши диффузион токнинг нолга teng бўлган ҳиссасини таъминлайди. Шунинг учун (4.26) ни

$$\Delta n/x=0=\Delta n/x=a; \quad \Delta p/x=0=\Delta p/x=a \quad (4.27)$$

билин алмаштириш мумкин. Дейлик, (4.21) да электр майдон қучланганлиги шундай катта ва токнинг диффузион ташкил этувчисини ташлаб юбориш мумкин бўлсин, у ҳолда (4.20) ва (4.27) шартлар бажарилиши ёки, бажарилмаслигидан қатъи назар, у (4.25) ифода ўринли бўлади. Ихтиёрий инжекцияланиш даражасида, яъни (4.19) шарт бажариладими, йўқми, (4.26) ифода ўринли бўлиши учун Δn , Δp лар x га боғлиқ бўлмаслиги керак. Бу шартни, масалан, намуна сиртини бир хил интенсивликда ёритиш билан амалга ошириш мумкин. Кучсиз инжекцияда, яъни (4.19) бажарилганда, намуна қаршилиги ΔR нинг ўзгариши

$$\Delta R = R_0 - R = \frac{1}{G_0} - \frac{1}{G_0 + \Delta G} = \frac{\Delta G}{G_0(\Delta G + G_0)} \approx R_0^2 \Delta G \quad (4.28)$$

билин аниқланади, бу ерда R_0 — мувозанатдаги намуна қаршилиги.

4.3 §. Номувозанат заряд ташувчилар параметрларини ўлчашнинг ностационар усуллари

a. Номувозанат заряд ташувчилар параметрларини ўлчаш усули назарияси

Маълумки, заряд ташувчилар генерацияланишининг қандай содир бўлишига, намуна ўлчамларига, сирт ишловига қараб заряд ташувчилар концентрацияси (фото-ўтказувчанлик)нинг вақт бўйича ўзгаришини, яъни релаксацияларини аниқловчи рекомбинация, дрейф, диффузия жараёнлари ҳар хил кечади. Шунинг учун 4.1-§ да

келтирилган $\Delta n(x, y, z, t)$ ёки $\Delta G(x, y, z, t)$ ларнинг сўнишидан аниқлаш мумкинлиги тўғрисидагиояни амалиётта татбиқ этиш учун қайд этилган омиллар ва жараёнларни $\Delta n(x, y, z, t)$ ва $\Delta G(x, y, z, t)$ релаксацияларига таъсирини батафсилроқ таҳлил қиласли. Оддин намуна тўғри бурчакли ёлғиз (якка) ёки даврий ёруғлик импульси билан ёритилган ҳолни қараб чиқасли. Фотон энергияси $h\nu \geq E_g$, бўлган ёруғлик импульси давомийлиги ичиданомувозанат заряд ташувчилар намуна ҳажми бўйича текис генерацияланган ва эркин сиртлари шундай ишловдан ўтказилганки, сиртий рекомбинация кичик (бошқача айтганда, кузатилмасин) деб фараз қиласиз. Бу ҳолда заряд ташувчиларнинг диффузияси вужудга келмайди.

$\Delta n = \Delta p$ да чизиқли рекомбинация $\left(\frac{\Delta p}{\tau_p}\right)$ мавжуд бўлганда,

$\tilde{E} = 0$ да узлуксизлик tenglamasi (4.14) кўринишда бўлади. Кичик интенсивликдаги ($\Delta n, \Delta p \ll n_0 + p_0$) амплитудаси I_{ν} , давомийлиги T бўлган тўғри бурчакли ёруғлик импульси билан ёритилганда, импульснинг давомийлиги оралиғида $0 \leq t = T$ (4.14) нинг ечими

$$\Delta p = \alpha \beta I_0 \tau_p (1 - e^{-\frac{t}{\tau_p}}) (1 - R_\nu) \quad (4.29)$$

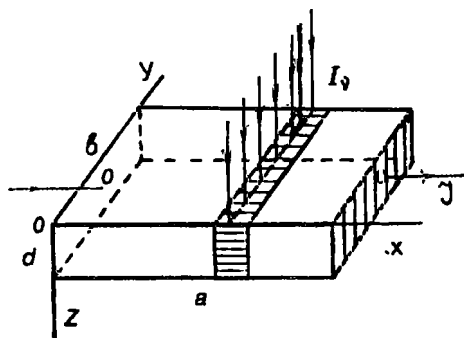
ва импульс тугагандан сўнг $T \leq t$ да

$$\Delta p = \alpha \beta I_0 \tau_p (1 - e^{-\frac{T}{\tau_p}}) e^{-\frac{t-T}{\tau_p}} \cdot (1 - R_\nu) \quad (4.30)$$

бўлади. Агар ёруғлик импульснинг давомийлиги заряд ташувчилар яшаш вақтидан катта ($T > \tau_p$) бўлса, заряд ташувчиларнинг концентрацияси стационар

$$\Delta n_{\text{cm}} = \alpha I_0 \beta \tau_p (1 - R_\nu) \quad (4.31)$$

қийматга эришиб улгуради. Шундай қилиб, кўрилаётган ҳолда заряд ташувчиларнинг концентрацияси ($\Delta n, \Delta p$) ҳамда уларга пропорционал бўлган фотоўтказувчаник, импульс давомийлиги оралиғида



4.1-расм. Яримүтказгич намунанинг модели.

$$\Delta G \sim \Delta p \sim (1 - e^{-\frac{t}{\tau_p}}) \quad (4.32)$$

Импульс тугагандан сўнг

$$\Delta G \sim \Delta p \sim e^{-\frac{t-T}{\tau_p}} \quad (4.33)$$

қонуниятлари бўйича ўзгаради. Энди фотоўтказувчанинг сўнишида диффузия, дрейф рекомбинация жараёнлари қатнашадиган мураккаброқ ҳолни кўрайлик. Намуна $X=0$, $X=2A$, $Y=0$, $Y=2B$ $Z=0$, $Z=2C$ дан ўтган текисликлар билан чекланган тўғри бурчакли параллелопипед шаклида бўлсин (4.1-расм). Айтайлик, намуна n — типли яримүтказгич бўлсин, у ҳолда номувозанатий заряд ташувчиларнинг диффузиясини асосий бўлмаган заряд ташувчи, яъни кавак аниқлайди. Заряд ташувчилар текис генерацияланган намунани сиртларида, заряд ташувчиларнинг сиртий рекомбинацияси содир бўлганда, сиртга томон йўналган заряд ташувчилар оқими вужудга келади. Бу билан ҳажм бўйича заряд ташувчиларнинг нотекис тақсимланишига ва натижада уларнинг диффузияси содир бўлади. Фараз қиласлилик, намунада ёпишиш марказлари йўқ, ёруғлик импульсининг уйғотиш даражаси (интенсивлиги) кичик Δn , $\Delta p \ll n_0 + p_0$ бўлсин. Импульс давомийлиги шундай кичик бўлсинки, унинг тугаш вақтини вақт ҳисобининг бошланишини ($t=0$) деб қабул қилиш

мумкин бўлсин. $t=0$ да ҳажм бўйича бир хил (текис) тарқалган номувозанат электрон, кавакларнинг диффузия, рекомбинация жараёнлари бошланади. Ўтказувчаникни ўтчашиб учун зарур бўлган X — йўналишда электр майдони мавжуд бўлган ҳолда узлуксизлик тенглама (4.4) си, яъни,

$$\frac{\partial \Delta p}{\partial t} = -\frac{\Delta p}{\tau_p} - \mu E \frac{\partial \Delta p}{\partial x} + D \operatorname{divgrad} \Delta p(x, y, z, t) \quad (4.34)$$

билин ифодаланади. Узлуксизлик (4.34) тенгламани бошланғич

$$\Delta p(x, y, z, t)|_{t=0} = \Delta p_{\text{боз}} \quad (4.35)$$

ва сиртий рекомбинацияни ҳисобга олувчи

$$x = 0, \quad x = 2A \quad \text{сиртларида} \quad D \frac{\Delta p}{dx} = \pm S_a \Delta p$$

$$y = 0, \quad y = 2B \quad \text{сиртларида} \quad D \frac{\Delta p}{dy} = \pm S_b \Delta p \quad (4.36)$$

$$z = 0, \quad z = 2C \quad \text{сиртларида} \quad D \frac{\Delta p}{dz} = \pm S_c \Delta p$$

чегаравий шартларни қаноатлантирувчи ечими

$$\begin{aligned} \Delta p = \sum_{ijk} \Delta p_{ijk} &= \sum_{ijk} G_{ijk} \cos\left(\frac{\varepsilon_i x}{A}\right) \cos\left(\frac{\xi_j y}{B}\right) \cos\left(\frac{\xi_k z}{C}\right) x \\ &\otimes \exp\left(-\frac{\mu E x}{2D}\right) \exp\left\{-\left[\frac{1}{\tau} + \gamma_{ijk} + \frac{(\mu E)^2}{4D}\right] t\right\} \end{aligned} \quad (4.37)$$

кўринишда бўлади. Бу ерда

$$\gamma_{ijk} = D \left(\frac{\varepsilon_i^2}{A^2} + \frac{\eta_j^2}{B^2} + \frac{\xi_k^2}{C^2} \right) \quad (4.38)$$

Δp_{ijk} — амплитудаси G_{ijk} бўлган гармоника концентрацияси, берилган хусусий функцияси билан аниқланадиган ошиқча заряд ташувчилар концентрациясининг қисми.

G_{ijk} — бошлангич шартдан, яъни заряд ташувчиларнинг $t=0$ даги тақсимотидан топиладиган катталик. (4.37) ечимга хусусий функцияларнинг чизиқли комбинацияси деб қараш мумкин. Ундан кўринадики, Δp_{jk} — нинг вақтга боғланиши учта экспоненциал ташкил этувчиларни ўз ичига олади.

$\exp\left(-\frac{t}{ap}\right)$ — намуна ҳажмида заряд ташувчилар рекомбинацияси туфайли,

$\exp(-\gamma_{ijk}t)$ — сиртий рекомбинация туфайли,

$\exp\left[-\frac{(\mu E)^2}{4D}\right]$ — заряд ташувчилар тақсимотига майдон таъсири туфайли вужудга келган ташкил этувчилардир, заряд ташувчилар яшаш вақтини, сиртий рекомбинация тезлигини ўлчашда вақт доимиyllигининг охирги ташкил этувчиси шундай кичик бўлсинки, ташки электр майдони фотоутказувчанликнинг пасайишига таъсир кўрсатмасин. Бунга эришиш учун,

$$\frac{(\mu E)^2}{4D} < \frac{1}{\tau} + \gamma_{ijk} \quad (4.39)$$

шарт бажарилиши керак. Одатда бу шарт электр майдон кучланганлигининг бир неча В/см дан катта бўлмаган қийматларида бажарилади. Агар (4.34) тенгламада электр майдон кучланганлигини кичик деб, уни инобатга олмасак ва унга (4.36) чегаравий шартларни қўлласак, $\varepsilon_i, \eta_j, \xi_k$ — катталикларни сиртий рекомбинация тезликлари S диффузия коэффициенти D ни намуна ўлчамлари билан боғлайдиган,

$$\frac{S_a A}{D} = \varepsilon_i \operatorname{tg} \varepsilon; \quad \frac{S_b B}{D} = \eta_j \operatorname{tg} \eta; \quad \frac{S_c C}{D} = \xi_k \operatorname{tg} \xi_k \quad (4.40)$$

муносабатларни беради. Булар трансдент тенгламалар бўлиб, биринчи ечимлари 0 билан $\frac{\pi}{2}$ оралиғида, иккинчи ечимлари $\pi \div 1,5\pi$ оралиғида ётади. Шу билан бирга,

$S=0$ даги ечимлари $\xi=\eta_1=\xi_1=0$ $S\rightarrow\infty$ да эса $\varepsilon_1=\eta_1-\xi_1=\frac{\pi}{2}$ бўлади. Шунинг учун Δp_{ik} нинг асосий гармоникаси ε_p , η_p , ξ_k — ларнинг энг кичик хусусий қийматларига мос келлиб, эффектив вақт доимийси,

$$\tau_{\text{зф}} = \left(\frac{1}{\tau} + \gamma_{\text{III}} \right)^{-1} \quad (4.41)$$

билин аниқланади. Бу ерда

$$\gamma_{\text{III}} = D \left[\frac{\xi^2}{A^2} + \frac{\eta_1^2}{B^2} + \frac{\xi_1^2}{C^2} \right] \quad (4.42)$$

γ_{III} — сирт рекомбинацияси тезлигига, намуна геометрик ўлчамларига боғлиқ. γ_{III} ни қабул қилиши мумкин бўлган қийматининг кичигидир. Термодинамик мувозанатни тиклаш жараёнлари билан боғлиқ асосий гармониканинг камайиши (пасайиши) қолган гармоникалардан устунлик қиласди, чунки у энг катта вақт доимийсига эга. $\nu_{ik} + \frac{1}{\tau}$ — катталиктини $\left(\frac{1}{\tau} + \gamma_{\text{III}} \right)$ га яқин қийматни қабул қилгунча кетган вақт оралиғи гармоникалар амплитудалари G_{ik} нинг ўзаро нисбатига боғлиқ. Энг содда ҳолда δ (дельта функция) — кўринишдаги ёруғлик импульси билан ёритилган, бошланғич ҳолатда текис тақсимланган заряд ташувчиilar камайишининг бошланишида $S\rightarrow\infty$, $2B=2C\ll 2A$ бўлганда, асосий гармоника номувозанатий ошиқча заряд ташувчиilar $2/3$ қисмининг релаксациясини ифодалайди, бу нисбий вақт ўтиши билан ортиб боради ва тез чегаравий қийматта яқинлашади.

Демак, бу ҳолда фотоўтказувчанлик релаксациясининг асосий қисми нисбатан катта бўлмаган бошланғич қисмидан ташқарида

$$\Delta\sigma(t) = \Delta\sigma_0 \exp \left[- \left(\frac{1}{\tau} + \gamma_{\text{III}} \right) t \right] \quad (4.43)$$

орқали ифодаланади. Намунанинг геометрик ўлчамлари қанча катта бўлса, эркин сиртларда сирт рекомбинация тезлиги қанча паст бўлса, вақт доимийси (4.41) га сирт рекомбинациясининг таъсири шунча кичик бўлади. γ_{\parallel} — содда формулалар билан ифодаланадиган баъзи бир хусусий ҳолларни кўрайлик.

Агар $x=0$ ва $x=2A$ қирралари (ёқлари)да сирт рекомбинацияси тезликлари чексиз катта $S \rightarrow \infty$ (одатда бу омик контактларда амалга ошади) ва бошқа сиртларида $S=0$ деб қабул қилсак, у

$$\gamma_{\parallel} = \gamma_{100} = \frac{\pi^2}{4A^2} \quad (4.44)$$

кўринишда ифодаланади. (4.44) формулани шубҳасиз заряд ташувчилар ҳажмий яшаш вақтини аниқлашга қўллаш мумкин. Эффектив яшаш вақти $\tau_{\text{эф}}$ тажрибадан ўлчаш билан аниқланган бўлса, ҳажмий яшаш вақти

$$\frac{1}{\tau} = \frac{1}{\tau_{\text{эф}}} - \frac{\pi^2 D}{4A^2} \quad (4.45)$$

билин аниқланади.

Қачонки ҳамма сиртларда сирт рекомбинацияси тезлиги жуда катта бўлиб, $\tau_{\text{эф}}$ маълум бўлса,

$$\frac{1}{\tau} = \frac{1}{\tau_{\text{эф}}} - \frac{\pi^2 D}{4} \left(\frac{1}{A^2} + \frac{1}{B^2} + \frac{1}{C^2} \right) \quad (4.46)$$

бундай имконият яна түғилади.

Агар ёруғлик импульси билан рекомбинация жараёнига омик контактлари таъсир этмайдиган масофада бўлган бир қисми ёритилган бўлса, унда

$$\frac{1}{\tau} = \frac{1}{\tau_{\text{эф}}} - \frac{\pi^2 D}{4} \left(\frac{1}{B^2} + \frac{1}{C^2} \right) \quad (4.47)$$

бўлади. Намуна эркин сиртларида сирт рекомбинацияси тезликлари бир хил чекли кичик қийматларни қабул қилас-ган ҳолда

$$\frac{SB}{D} = \eta^2, C \cdot S/D = \xi^2 \quad (4.48)$$

$$\text{ва } \frac{1}{\tau_{\text{зф}}} = \frac{1}{\tau} + 2S \left(\frac{1}{2B} + \frac{1}{2C} \right) \quad (4.49)$$

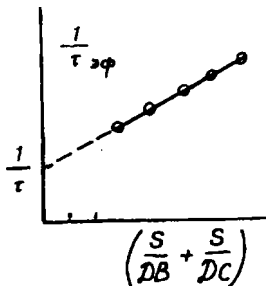
бўлишлигини кўрамиз. Энди бу келтирилган (4.43), (4.49) ифодаларни қўллаб S , τ , D параметрларни тажрибадан аниқлаш устида тўхтalamиз. Сирт рекомбинацияси тезлигини (4.49) асосида ўлчаш учун фотоўтказувчаникнинг камайиш жараёнида сиртий рекомбинация асосий аниқловчи жараён, яъни (4.49) да

$$2S \left(\frac{1}{2B} + \frac{1}{2C} \right) \gg \frac{1}{\tau} \quad (4.50)$$

бўлиши керак. Агар намуна ўлчамларидан бири жуда кичик бўлса, $C \ll B$, яъни юпқа пластинка шаклидаги намуна қўлланилса, бунга эришиш мумкин. (4.50) шартни, катта сиртий рекомбинация тезлиги бўлганда қаноатлантириш осон, лекин (4.50) муносабат бажарилмайди, бу ҳолда (4.42) умумий формулани (4.40) билан қўллаш керак.

(4.41) дан кўринадики, $\frac{1}{\tau_{\text{зф}}}$ квадрат қавсдаги кўпайтмага чизиқли боғланган. $\frac{1}{\tau_{\text{зф}}}$ функцияning графиги сиртий рекомбинацияни ўзгармас қийматида тўғри чизиқ бўлиб, у вертикал ўқни $\left(\frac{1}{\tau}\right)$ да кесадиган унинг оғиш бурчаги тангенси, диффузия коэффициентига тенг бўлади.

$$\operatorname{tg} \varphi = D = \frac{\Delta \left(\frac{1}{\tau_{\text{зф}}} \right)}{\Delta \left[\frac{n^2}{B^2} + \frac{\varepsilon^2}{C^2} \right]} \quad (4.51)$$



4.2-расм. Заряд ташувчилар эфектив яшаш вақти тескари қиймати

$$\frac{1}{\tau_{\text{эфф}}} \text{ нинг } \left(\frac{S}{DB} + \frac{S}{DC} \right) \text{ га боғланиши:}$$

S — сирт рекомбинация тезлиги;
 D — заряд ташувчилар диффузия коэффициенти; B , C — намуна ўлчамлари.

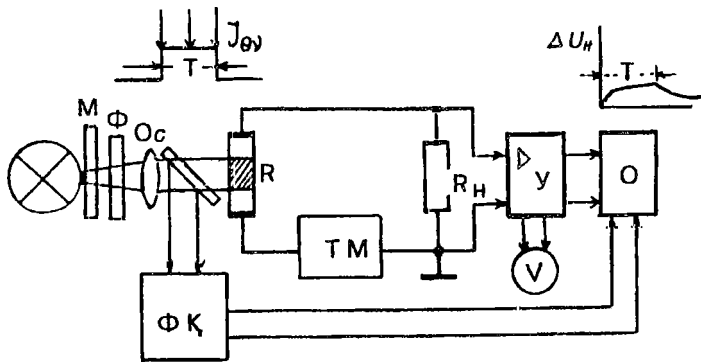
Бу катталиклар куйидагича топилади: намуна ўрта қисми ёритилган ҳолда, (4.41) га кўра, $\tau_{\text{эфф}}^{-1}$ ни (4.48) кўллаш билан

$$\frac{1}{\tau_{\text{эфф}}} = \frac{1}{\tau} + D \left(\frac{\varepsilon_1^2}{B^2} + \frac{\xi_1^2}{C^2} \right) = \frac{1}{\tau} + D \left(\frac{S}{DB} + \frac{S}{DC} \right) \quad (4.52)$$

кўринишда ифодалаймиз. Бунда S/D нинг шундай қиймати таъланадики, сиртларига бир хил ишлов берилган ҳар хил геометрик ўлчамлардаги намуналарда $\frac{1}{\tau}$ ни ўлчанган қийматларининг нуқталари бир тўғри чизиқда ётсин (4.2-расм). Сўнг тўғри чизиқнинг оғишидан диффузия коэффициенти топилади. D ни ва S/D ни билган ҳолда $\left(\frac{1}{\tau}\right)$ топилади. Шунга ўхшаш график усул билан (4.49) боғланиш асосида τ ва S ни, (4.46) боғланиш асосида эса τ , D ни топиш мумкин. Юопқа намуналар учун ўринли бўлган (4.49) формула учун $C \ll \frac{D}{S}$ шартнинг бажарилиши кремний намуналари учун сиртий рекомбинация тезлигини 10^3 см/с тартибдаги, германий намуналари учун 10^4 см/с тартибдаги қийматлари билан чеклайди.

б. Фотоўтказувчанлик релаксация вақтини ўлчаш қурилмаси ва заряд ташувчилар яшаш вақтини аниқлашдаги хатоликлар

Фотоўтказувчанлик релаксация вақтини ўлчаш қурилмаларидан бирининг чизмаси 4.3-расмда келтирилган.



4.3-расм. Стационар фотоўтказувчанликни ўлчаш қурилмасиňнг схемаси. ТМ — ўзгармас ток манбай, М — модулятор, ОС — оптикалык система, Ф — фильтр, ФК — фотоказулкылгич (фотодиод).

Ўзгармас кучланиш (ток) манбай (ТМ) га қаршилиги R бўлган намуна билан унга кетма-кет бўлган юклама қаршилик R_H уланган. Ёруғлик импульси билан намуна ёритилганда, унинг ўтказувчанлигиги, G нинг ўзгариши ΔG туфайли, қаршилиқда кучланиш тушувининг ўзгариши (ўзгарувчан кучланиш) ΔV_H вужудга келади. Намуна ёритилмагандан унинг қаршилигини, занжирдан оқаётган I_0 токни, R_H даги кучланишни

$$R = R_0; \quad I_0 = \frac{V_H}{R_0 + R_H}; \quad V_{H0} = I_0 R_H = \frac{V_H R_H}{R_H + R_0}$$

намуна ёритилганда,

$$R = R_0 - \Delta R; \quad I_{ep} = \frac{V_H}{R_0 + R_H - \Delta R}; \quad V_{HeP} = \frac{V_H R_H}{R_H + R_0 - \Delta R}$$

бўлишини назарда тутсак, R_H — юклама қаршилиқда кучланиш тушувининг ўзгариши

$$\Delta V_H = V_{Ho} - V_{HeP} = (I_{ep} - I_0) R_H = \frac{V_H \Delta R \cdot R_H}{(R_0 - \Delta R + R_H)(R_0 + R_H)} \quad (4.53)$$

ифода билан аниқланади. Бу ерда, V_H — ток манбаи (ТМ) клеммалари (қисқичлари)даги кучланиш. Номувозанатий заряд ташувчилар кичик интенсивликдаги ёруғлик билан генерацияланса, Δn , $\Delta p \ll n_0 + p_0$ намуна қаршилигининг ўзгариши $\Delta R \ll R_0$ бўлади ва (4.53) маҳражидаги ΔR эътиборга олинмайди. Бу ҳолда (4.53) ни (4.28) га асосан

$$\Delta V_H = \frac{V_H R_H \Delta R}{(R_0 + R_H)^2} = \frac{V_H R_H R_0^2}{(R_H + R_0)^2} \Delta G \quad (4.54)$$

билин ифодаланишини кўрамиз. Бу ифодадан кўринади-ки, заряд ташувчиларнинг паст уйғотиш даражасида юк-лама қаршилик R_H нинг исталган қийматида ΔV_H билан намуна фотоўтказувчанлиги ΔG орасида пропорционаллик сақланади. Ихтиёрий уйғотиш даражасида, ΔV_H билан ΔG — орасидаги пропорционаллик $R_H \gg R_0$ бўлгандағина сақланади. Бу ҳолда (4.54) дан

$$\Delta V_H = \frac{V_H R_0^2}{R_H} \Delta G \quad (4.55)$$

бўлади. (4.54) ва (4.55) ифодалар ўринли бўлган ҳолда, ΔG ва унга пропорционал бўлган R_H даги кучланиш импульси ΔV_H ни вақт бўйича сўниши рекомбинация қонунияти бўйича бўлиб, мувозанатдаги қийматига интилади. R_H қаршилиқда ёруғлик импульсидан вужудга келган кучланиш импульсини кенг поласали кучайтиргичга, сўнг ундан осциллографга берилади ва фотоўтказувчанлик релаксацияси осциллограмма шаклида қайд қилинади. Осциллограммани турғун ушлаб туриш учун у ташқи сигнал билан синхронланади. Бунинг учун намунага тушаётган ёруғлик яримшаффоф кўзгу билан икки қисмга ажратилади. Уларнинг бири кичик инерцияли, тезкор фото қабул қилгич (фотоэлектрон кучайтиргич, фотодиод, вакуумли фотоэлемент) орқали электр импульсига айлантирилади ва осциллографнинг синхронлаш блокининг киришига берилади (43-расм).

Осцилограммадан кучланиш импульси ΔV_H нинг камайиш чизигини таҳлил қилиб, унинг экспоненциал со-

Ҳасининг вақт доимийси аниқланади ва у орқали заряд ташувчилар яшаш вақти ҳисобланади. Кучланиш импульсинг бошланғич тез камайиш соҳаси, юқори гармоникалар тушишини аниқлаши туфайли, эътиборга олинмайди. Одатда бу усул билан τ ни ўлчашда кўтарилиш, тушиш вақтлари кичик бўлган тўғри бурчакли ёруғлик импульслари ишлатилади. Бундай ёруғлик импульслари ни олишда Поккельс ва Керр ячейкали модуляторлар, инжекцион лазерлар, $p-n$ — гамо ўтишли ёруғлик диодлари ва бошқалар ишлатилади. Керр, Поккельс ячейкали модуляторлар электро-оптик эффектларга асосланган. Электрооптик эффектни вақт доимийси $\sim 10^{-8}$ с тартибида, шу эффектга асосланган модуляторлар қўллаш билан импульс фронти $10^{-7} \div 10^{-8}$ сек. бўлган тўғри бурчакли ёруғлик импульслари олиш мумкин. Ёруғлик диодларида $p-n$ ўтиши учун тўғри кучланиш берилганда инжекцияланган номувозанатий заряд ташувчилар рекомбинацияси туфайли, нурланиш содир бўлади. Ёруғлик диодларини, инжекцион лазерларни ўзгарувчан ток импульси билан уйғотиб, улар параметрига мос келадиган ёруғлик импульси олиш мумкин. Нурланиш импульсларини олди ва орқа фронтлари заряд ташувчилар яшаш вақтига боғлиқ бўлиб, у $10^{-7} : 10^{-9}$ сек тартибида бўлади. Импульсли ёруғлик манбалари сифатида (инерт газлар ксенон, крептон ёки улар аралашмаси тўлдирилган) газли разряд лампалар ҳам ишлатилади. Кучланиш импульси лампанинг ёндирувчи ва ток ўтадиган электродларига берилганда лампадан оқаётган ток тўхтагандан сўнг ҳам бир неча микро секунд разряд давом этади. Бу лампаларда ёруғлик импульсининг минимал сўниш вақти 1 мкс тартибида бўлиб, у $\tau_{\text{р}}$ нинг қуи чегарасини чеклайди. Номувозанатий заряд ташувчилар яшаш вақтини фотоўтказувчаникнинг сўнишига асосланган усули билан аниқлашда катта хатоликка йўл қўймаслик учун бир жинсли бўлмага намунани ёритишдан (масалан, намуна ток контактлари соҳасини ёритишдан) пайдо бўладиган фотоэлектр юритувчи кучни йўқотиш керак. Бунинг учун намуна биржинсликка текширилади ва намуна Ом kontaktларига ёруғликни тушишидан сақлаш керак. Юқорида қайд қилинганидек, Ом kontaktларидағи рекомбинация жараёнлари фотоўтказувчаникнинг сўнишига таъсир кўрсатмаслиги

учун Ом контактларидан ёритилаётган қисмгача бўлган масофа заряд ташувчилар диффузион узунлигидан бир неча марта катта $l \geq (2 \div 3L)$ бўлиши зарур. Яримўтказгич намуналарида ёпишиш марказлари мавжуд бўлса, уларнинг таъсири туфайли фотоўтказувчаникнинг сўниш қисмida узоқ вақтли ташкил этувчиси бўлади. Буни йўқотиш учун намунани кучсиз ёруғлик билан доимий ёритиб туриш тавсия этилади, чунки бу ҳолда ёпишиш марказлари заряд ташувчилар билан тўлатилган бўлади. Фотоўтказувчаник релаксациясидан заряд ташувчилар ҳажмий яшаш вақтини аниқлашда сирт рекомбинация жараёни туфайли содир бўлган хатолик, асосан, намуна сиртларининг ишловига ва намуна геометрик ўлчамларига боғлиқ. Буни баҳолаш учун ўлчамлари a , $b \gg d$ бўлган намуналарда заряд ташувчилар диффузия коэффициентига, сиртий рекомбинация S тезлигига, намуна қалинлигига боғлиқ бўлган сиртий яшаш вақти (4.41) ва (4.42)

ларга кўра $\left(C = \frac{d}{2} \right)$ га алмаштириб

$$\tau_s = \frac{d^2}{4\xi^2 D} \quad (4.56)$$

ифодадан топилади. ξ — катталик

$$\xi_1 \operatorname{tg} \xi_1 = \frac{dS}{D} \quad (4.57)$$

трансдент тенглама ечими. τ_s нинг заряд ташувчиларнинг ҳажмдаги яшаш вақтига таъсирини кремний мисолида кўрайлик. Бунинг учун кремний намуналарининг сартлари икки хил, яъни: а) механик-кимёвий ишловдан ва б) едириш (кислота ёки ишқорлар билан сиртини ювиш) ишловидан ўтган сиртлардир.

Бу сирт ишловларига мос равища рекомбинация тезликларининг 10^4 см/с, 10^3 см/с қийматлари тўғри келади. (4.56) ва (4.57) асосида ҳисобланган τ_s нинг ҳар хил қалинликдаги қийматлари 4.1-жадвалда келтирилган.

Кремний намуналарида асосий бўлмаган заряд ташувчиларнинг сиртдаги яшаш вақтлари.

Намуна қалинлиги, мм	$\tau_s = \frac{d^2}{4\xi_1^2 D}$			
	p -тип $D_p = 39 \text{ см}^2/\text{с}$	n -тип $D_n = 15,5 \text{ см}^2/\text{с}$	$S=10^4 \text{ см}/\text{с}$	$S=10^3 \text{ см}/\text{с}$
d	$S=10^4 \text{ см}/\text{с}$	$S=10^3 \text{ см}/\text{с}$	$S=10^4 \text{ см}/\text{с}$	$S=10^3 \text{ см}/\text{с}$
0,4	6	24	12	29
1	31	72	70	110
5	670	880	1700	1960
10	2700	3100	6800	7100
15	5900	6500	10000	11000
20	10500	11000	27000	27000

τ_s нинг қийматлари таҳлилидан кўринадики, τ ни ΔG нинг сўниши бўйича аниқлашда заряд ташувчилар ҳажмий яшаш вақтини 10% дан катта бўлмаган хатолик билан ўлчаш учун, $\frac{1}{\tau_{\text{оф}}} = \frac{1}{\tau} + \frac{1}{\tau_s}$ га кўра, шундай қалинликдаги намунани танлаш керакки, унда τ_s нинг қиймати τ га нисбатан камида (бир тартибда) ўн марта катта бўлиши керак. Масалан, диаметри $\phi = 76 \text{ мм}$, қалинлиги $0,4 \text{ мм}$ бўлган кремний намунасида τ ни 10% дан катта бўлмаган хатолик билан ўлчаш учун τ нинг қиймати $1 \div 2 \text{ мкс}$ дан кичик бўлиши керак. Электрон саноати ривожланиши билан кейинги йилларда заряд ташувчилар параметрларини kontaktсиз аниқлаш усусларига талаб ортди. Шу боисдан бир қанча усувлар яратилди. Бу усувлар асосида намунага инжекцияланган заряд ташувчилар концентрациясининг сўниши билан боғлиқ ҳодисалар ётади. Масалан, ёруглик импульси билан генерацияланган эркин заряд ташувчиларда ёруглик ютилиш коэффициентининг сўнишига асосланган усульнни кўрсатиш мумкин.

в. Бир жинсли намуналарда заряд ташувчилар яшаш вақтини ўлчашнинг частотавий фаза усувлари

Бу усуллар билан τ ни аниқлашнинг асосида номувознат заряд ташувчилар яшаш вақтини аниқ маълум бир чекли қийматга эга бўлиши билан боғлиқ концентрации, фотоўтказувчанликнинг сўниш ва кўтарилиш жараёнлари инерционлиги ётади.

Намунада заряд ташувчилар интенсивлиги синусоиди бўйича (гармоник) модуляцияланган

$$I_v = I_{0v} (1 + \sin \omega t)$$

ёки комплекс функция кўриниш

$$I_v = I_{0v} + I_{0v} e^{i\omega t}$$

билин ифодаланувчи ёруғлик билан қўзғатилганда намуналинг фотоўтказувчанилиги ва фототоки бироз кечикиш билан худди ёруғлик интенсивлигини ўзгариши каби содир бўлади. Яъни ёруғлик оқими билан фототок орасида фаза фарқи пайдо бўлади. Бу фаза силжиши заряд ташувчиларнинг ҳажмий яшаш вақтига ёруғлик модуляциясининг частотасига, сиртий рекомбинация тезлигига боғлиқ. Шундай қилиб, бу икки сигнал орасидаги фаза фарқини (силжишини) ўлчаш билан τ ни аниқлаш имкони туғилади.

Ёруғликнинг модуляция частотаси ошиши билан фототокни частотага боғлиқлиги намоён бўла бошлайди. Фаза силжиши каби фототок амплитудаси τ , ω ларга боғлиқ. Фототок амплитудасининг ёруғлик модуляцияси частотасига боғланишидан τ ни топиш мумкин. Бу усуллар билан τ ни аниқлаш назариясини қараб чиқамиз. Масалан, соддалаштириш учун заряд ташувчилар намунада текис генерациялансан, электр майдон кучланганлиги кичик, намуна сиртларида сиртий рекомбинация бўлмасин деб фараз қилинганда, (4.9) узлуксизлик тенгламанинг дрейф, диффузия билан боғлиқ ҳадлари инобатга олинмайди. Бу ҳолда заряд ташувчилар генерация тезлиги $g_{0v} = \alpha \beta I_{0v} (1 - R_v)$ (4.58) ёки (4.59) га кўра

$$g = \alpha \beta I_{0v} (1 + \sin \omega t) (1 - R_v) = g_{0v} + g_{0v} \sin \omega t \quad (4.60)$$

$$g = \alpha \beta I_{0v} (1 + e^{i\omega t}) (1 - R_v) = g_{0v} + g_{0v} e^{i\omega t} \quad (4.61)$$

ифода билан аниқланади. Шундай қилиб, (4.9) узлуксизлик тенгламаси (4.60) га кўра

$$\frac{d\Delta n}{dt} = g_0 + g_0 \sin \omega t - \frac{\Delta n}{\tau_n} \quad (4.62)$$

бўлади. Генерация (ҳади) тезлиги икки ҳаддан иборат бўлгани учун (4.62) даги номувозанатий ортиқча заряд ташувчилар концентрациясини

$$\Delta n = \Delta n_{ct} + \Delta n(\omega t) \quad (4.63)$$

кўринишида ифодалаймиз. Бу ерда Δn_{ct} — генерациянинг доимий ташкил этувчиси (g_0) га мос келувчи концентрацияси, $\Delta n(\omega t)$ — генерация ҳадини ўзгарувчан ташкил этувчисига мос келган концентрация, яъни гармоник ташкил этувчиси Δn нинг ўзгарувчан ташкил этувчиси. $\Delta n(\omega t)$ нинг узлуксизлик тенгламаси (4.62) дан (4.63) га кўра

$$\frac{d\Delta n(\omega t)}{dt} = g_0 \sin \omega t - \frac{\Delta n(\omega t)}{\tau_n} \quad (4.64)$$

бўлади. Унинг хусусий ечими

$$\Delta n(\omega t) = g_0 + \frac{\tau}{1 + \omega^2 \tau^2} [\sin \omega t - \omega \tau \cos \omega t] \quad (4.65)$$

билилар ифодаланади,

$$\sin(\omega t - \theta) = \cos \theta [\sin \omega t + \tan \theta \cos \omega t]$$

бўлишлигини назарда тутсак, уни (4.65) билан солиштиришдан

$$\begin{aligned} \tan \theta &= \omega \tau \\ \theta &= \arctan \omega \tau \end{aligned}$$

билилар аниқланишини кўрамиз ҳамда, яъни

$$\cos \theta = \frac{1}{\sqrt{1 + (\omega \tau)^2}}$$

бўлишлигини эътиборга олсак, (4.65)

$$\Delta n(\omega t) = g_0 \frac{\tau}{\sqrt{1 + \omega^2 \tau^2}} \sin(\omega t - \arctg \omega \tau) \quad (4.66)$$

кўринишни олади. Бу ифоданинг таҳлилидан кўринадики, номувозанат заряд ташувчилар ортиқча концентрациясининг ўзгарувчан (гармоник) ташкил этувчисининг ифодаси (4.66) ўзгарувчан генерация тезлиги $g_0(\omega t)$ каби бўлиб, лекин улар бир-биридан амплитудалари билан ва бир-бирига нисбатан силжиган фазаси билан фарқланади. Намунада сиртий рекомбинация мавжуд бўлганда фотоўтказувчанлик билан уйготувчи ёруғлик оқими орасида фаза фарқи кўп яримўтказгич параметрларига боғлиқ мурраккаб функция бўлиб, S нинг ортиши θ нинг камайишига олиб келади.

Заряд ташувчилар яшаш вақтини ёруғлик интенсивлигининг модуляциялаш частотасига боғлиқлиги орқали аниқлаш усулини кўрамиз.

4.3.1. бўлимда фототок ΔI , фотоўтказувчанлик (ΔG) га ΔG эса ўз навбатида ΔI га пропорционаллигини кўрган эдик. Интенсивлиги гармоник модуляцияланган ёруғлик билан ёритилган намунада пайдо бўлган фототокнинг ўзгарувчан ташкил этувчисининг амплитудаси $\Delta I_0(\omega t)$ (4.66) га кўра

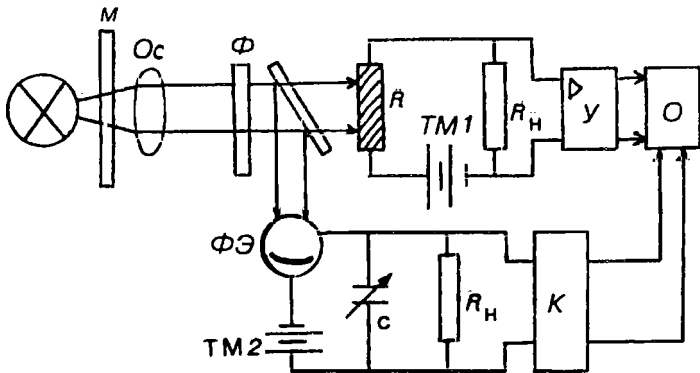
$$\Delta I_0(\omega t) \sim g_0 \frac{\tau}{\sqrt{1 + \omega^2 \tau^2}}$$

бўлади. Модуляция частотаси камайиб бориши билан фототок амплитудаси ортиб боради ва $\omega \tau \ll 1$ шарт бажарилганда максимумга эришади. Шундай қилиб, модуляция частотаси етарли катта бўлгандаги фототокни, $\omega \rightarrow 0$ даги фототокга нисбати

$$\frac{\Delta I(\omega t)}{\Delta I(0)} = \frac{\Delta n(\omega t)}{\Delta n(0)} = \frac{1}{\sqrt{1 + \omega^2 \tau^2}} \quad (4.67)$$

билан аниқланишини кўрамиз. $\omega \tau = 1$ да

$$\frac{\Delta I(\omega t)}{\Delta I(0)} = \frac{1}{\sqrt{2}} \approx 0,71 \quad (4.68)$$



4.4-расм. Заряд ташувчилар яшаш вақтини фаза силжишининг компенсация қилиш усули билан ўлчаш қурилмасининг схемаси. ФЭ — вакуумли (тезкор) фотоэлемент: ТМ1, ТМ2 — ўзгармас ток манбалари: К — катод такрорлагич.

Демак, номувозанат заряд ташувчилар яшаш вақтини $\Delta I(\omega t)$ боғланишидан аниқлаш учун ёруғликнинг модуляция частотасини ошира бориб, унинг фототок амплитудалари нисбати 0,71 га тенг бўлган қиймати топилади ва у орқали яшаш вақти $\tau = \frac{1}{\omega} = \frac{1}{2\pi\nu}$ ифодадан ҳисобланади. Интенсивлиги синусоиди бўйича модуляцияланган ёруғлик билан τ ни ўлчаш қурилмасининг чизмаси 4.4-расмда келтирилган. Бунда яримшаффоф кўзгу ёруғлик оқимини икки қисмга ажратади. Биринчи қисми намунага тушади ва натижада ток манбаи $TM1$ га ва намунага кетма-кет уланган юклама қаршилик R_H да кучланиш импульси ΔV_H ни пайдо қиласди. Кичик даражали инжекцияда, заряд ташувчилар текис генерацияланганда ва сирт рекомбинацияси тезлиги жуда кичик, эътиборга олмайдиган бўлганда Δn ва унга пропорционал бўлган ΔN ҳам (4.64) узлуксизлик тенгламасидан топилади.

Ёнишиш марказлари йўқ бўлганда $\Delta N = \Delta P$ электрон-нейтраллик шарти ўринли бўлганда ΔN билан ΔG , ΔG билан ΔV_H орасидаги боғланишлар чизиқли бўлганда (ΔV_H)

$$\frac{d\Delta V_H}{dt} = B(1 + \sin \omega t) - \frac{\Delta V_H}{\tau} \quad (4.69)$$

тенгламадан топилади. B — константа (доимий катталик). Ёруғлик оқимининг иккинчи қисми токнинг тўйиниш режимида ишлайдиган вакуумли фотоэлементга тушади ва ток манбанинг ТМ2 фотоэлемент, ўзгарувчан сифим C ва R_1 қаршилиқдан иборат занжиридан $I=I_0(1+\sin\omega t)$ ток оқа бошлайди. R_1 қаршилиқдаги кучланиш

$$\frac{d\Delta V_1(\omega t)}{dt} = B_1(1 + \sin \omega t) - \frac{\Delta V_1(\omega t)}{R_1 \cdot C}$$

тенглама билан аниқланади. Бу ерда B_1 — доимий катталик. ΔV_H ва ΔV_1 кучланишлар бир хил кучайтиргичлар орқали осциллограф найчасининг x ва y — пластиналарида берилади.

Бошланғиҷ щартларнинг бир хиллигини ҳисобга олган ҳолда (4.69) ва (4.70) тенгламалардан кўринадики, R_1 , $C=\tau$ бўлганда, $\Delta V_1(\omega t)$ ва $\Delta V_H(\omega t)$ ларнинг t билан боғланиши бир хил бўлади ва экранда оғма тўғри чизиқ кузатилади. $\tau \neq R_1 C$ да $\Delta V_H(\omega t)$ ва $\Delta V_1(\omega t)$ орасида фаза силжиши пайдо бўлади ва экранда эллипс кузатилади. У синусоида бўйича модуляцияланган ёруғлик билан ишлайдиган чизма τ ни 10^{-10} с гача ўлчаш имконини беради. Бундай модуляцияланган ёруғликни доира шаклидаги тешклари бўлган дискини айлантириб ёки электрооптик модуляторлар ёрдамида олиш мумкин.

г. Эпитаксиал қатламларда τ ни аниқлашнинг фазавий усуслари

Бу усульнинг асосида эпитаксиал қатламда олинган Шоттки (контакти) диодининг интенсивлиги гармоник модуляцияланган ёруғлик билан ёритганда пайдо бўлган фототок билан ёруғлик оқими орасидаги силжиш фазасини ўлчашётади. τ ни nn^+ — эпитаксиал структураларда ўлчашни кўрайлик (46-расм).

Шоттки контакти (диоди) эпитаксиал структуранинг солиширма қаршилиги тагликка нисбатан катта бўлган қатлам (n) га, таглик (n^+) томонига эса Ом контакти олинган. Структура таглик томонидан ютилиш коэффициенти кичик бўлган, интенсивлиги бўйича модуляцияланган монохроматик ёруғлик билан ёритилади. Бу ҳолда заряд

ташувчиларнинг текис генерацияланиши содир бўлади. Ёруғлик билан генерацияланган ноасосий заряд ташувчилар (кавак) Шоттки контакти томон диффузияланади ва фототокни вужудга келтиради. Агар заряд ташувчилар диффузион узунлиги катта бўлса, ҳажмий заряд соҳаси кенглигини инобатга олмаса ҳам бўлади. У ҳолда Шоттки контакти учун қисқа туташув режимида чегаравий шартни

$$\Delta p_1(0)=0 \quad (4.71)$$

кўринишда ёзиш мумкин. Шоттки контактидан ташқарида эпитаксиал қатлам сиртий рекомбинацияси жуда катта деб фараз қилинса, (4.71) чегаравий шарт структуранинг бутун сирти бўйича ўринли бўлади ва масала бир ўлчамли бўлади. Эпитаксиал қатлам сиртида сиртий рекомбинация тезлиги чекли қиймат қабул қиласа, нобиржинсли чегаравий шарт ҳисобга олиниши керак ва уч ўлчамли масалани ечиш керак бўлади. Таглик билан эпитаксиал қатлам чегарасида чегаравий шартлар

$$\Delta p_2(d)=\Delta p_1(d)e^{-\Phi k_B T} \quad (4.72)$$

$$D_1 \frac{d\Delta p_1}{dx} \Big|_{x=d} = D_2 \frac{d\Delta p_2}{dx} \Big|_{x=d} \quad (4.73)$$

билин ифодаланади. (4.72) шарт эпитаксиал қатлам билан таглик чегарасида потенциал тўсиқ мавжудлигини, (4.73) эса диффузион оқимлар узлуксизлигини англалади.

Юқорида кўрганимиздек, ёруғлик интенсивлиги синусоида бўйича (гармоник) модуляцияланган, шунинг учун генерация тезлиги (4.61) гармоник ҳадининг $g(\omega t) = g_0 \exp(i\omega t)$ кўринишдаги ифодасидан фойдаланамиз. Номувозанат асосий бўлмаган заряд ташувчилар концентрацияси (4.63) гармоник ташкил этувчисини

$$\Delta p(x, \omega t) = \Delta p(x) e^{i\omega t} \quad (4.74)$$

кўринишда қидирсак, унинг амплитудаси $\Delta p(x)$ таглик ҳамда эпитаксиал қатлам учун бир хил бўлган узлуксизлик тенгламаси

$$i\omega \Delta p(x) = D_p \frac{d^2 \Delta p(x)}{dx^2} - \frac{\Delta p(x)}{\tau_p} + g_0 \quad (4.75)$$

билин ифодаланади. Бу тенгламани таглик ва эпитаксиал қатлам учун (4.70)÷(4.72) чегаравий шартларни қаноатлантирувчи $\Delta p_1(x)$ ва $\Delta p_2(x)$ ечимлари топилади. Ҳисобларнинг кўрсатишича, улар асосида топилган қисқа туташув фототоки амплитудасининг ифодаси

$$\gamma_{KT} = -eD_1 \left. \frac{d\Delta p}{dx} \right|_{x=0} = -eg_0 L_1 \frac{sh\left(\frac{d}{z_1}\right) + \left(\xi sh \frac{d}{L_1} + \frac{L^2}{L_2}\right) - 1}{\xi ch \frac{d}{L_1} + sh \frac{d}{L_1}} \quad (4.76)$$

кўринишда бўлади. Бу ерда,

$$L_1 = \left(\frac{D_1 \tau_1}{1 + i\omega \tau_1} \right)^{\frac{1}{2}}; \quad L_2 = \left(\frac{D_2 \tau_2}{1 + i\omega \tau_2} \right)^{\frac{1}{2}}; \quad \xi = \frac{L_2 D_1}{L_1 D_2} e^{\frac{e\varphi_K}{KT}} \quad (4.77)$$

Тагликдаги ва эпитаксиал қатламдаги асосий заряд ташувчиликлар концентрациялари нисбати $\frac{n_2}{n_1} > 10^3$ бўлганда $\exp\left(\frac{e\varphi_K}{KT}\right) > 10^3$, $\xi \gg 1$ бўлади ва ток ифодаси соддалашади.

$$j_{KT} = -eg_0 \left[L_1 tg \frac{d}{L_1} + L_2 sch \frac{d}{L_1} \right] \quad (4.78)$$

Бу ифоданинг биринчи ҳади эпитаксиал қатламда генерацияланган заряд ташувчиликларнинг иккинчи ҳади тагликдан эпитаксиал қатламга инжекцияланган заряд ташувчиликлардан йиғувчи контактта етиб келган қисмининг фототокга қўшган ҳиссасини кўрсатади. Шунинг учун

иккинчи ҳадини эътиборга олмаслик мумкин ва фототок амплитудасини

$$j_{KT} = -eg_0 \left(\frac{D_i \tau_i}{1 + i\omega \tau_i} \right)^{\frac{1}{2}} th \left[\frac{d}{\left(\frac{D_i \tau_i}{1 + i\omega \tau_i} \right)^{\frac{1}{2}}} \right] \quad (4.79)$$

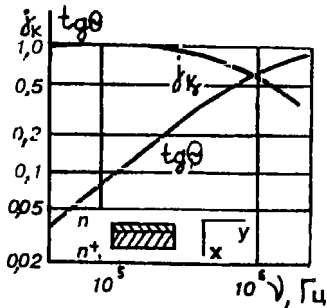
ифодадан ҳисоблаш мумкин. Паст частоталар $\omega t \ll 1$ да фототок фазасининг силжиши

$$tg\theta = -\frac{\omega \tau_i}{2} \left[1 - \frac{2d}{(D_i \tau_i)^{\frac{1}{2}}} csh \frac{2d}{(D_i \tau_i)^{\frac{1}{2}}} \right] \quad (4.80)$$

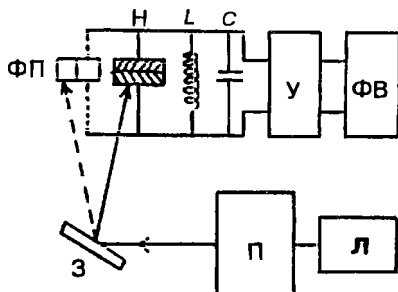
билин аниқланади. Агар $\frac{(D_i \tau_i)^{\frac{1}{2}}}{d} = 2$ бўлганда (4.80) ни иккинчи ҳади бирга нисбатан анча кичик. Буни эътиборга олмагандан

$$tg\theta = -\frac{\omega \tau_i}{2}$$

билин аниқланишини кўрамиз 4.5-расмда солиштирма қаршилиги 28 Ом. см, қалинлиги 50,2 мкм, заряд ташувчи-ларнинг диффузион узунлиги 18,5 мкм бўлган кремний эпитаксиал қатлами учун ҳисобланган $tg\theta$ ва фототок амплитудасини ёруғлик интенсивлигини модуляция частотасига боғланиш графиги келтирилган. Келтирилган назарий боғланиш тажриба натижалари билан мос тушган. Бу юқорида келтирилган назарий ҳисоблашларда қабул қилинган фаразлар ўринли эканлигидан да-



4.5-расм. Фаза силжиши $tg\theta$ нинг ва фототок амплитудасининг модуляция частотасига боғланиши.



4.6-расм. Шоттки диодининг фототоки бўйича фазавий усул билан заряд ташувчилар яшаш вақтини ўлчаш курилмасининг схемаси.

ФП — юқори частотали фотоқабулқилгич (тезкор фотодиод):

П — Поккельс модулятори; **Н** — намуна; **У** — кучайтиргич:

Л — лазер; **ФВ** — фаза сезгир вольтметр; **З** — ясси кўзгу.

лолат беради. Эпитаксиал структураларда τ ни аниқлаш курилмасининг чизмаси 4.6-расмда келтирилган. Курилмада электрооптик Поккельс ячейкаси (**П**) билан модуляцияланган лазер нури намунанинг таглик томонига туширилади. Ёруғлик оқими навбатма-навбат (галма-гал) кўзгу орқали намуна 0 га, юқори частотали фотоқабулқилгич (**ФП**) га тушади. Фотоқабулқилгич **ФП** — стандарт фазали таянч сигнални ҳосил қиласди. Намуна ва фотоқабулқилгич томонидан пайдо бўлган сигналлар фазага сезгир вольтметрга берилади. У билан намуна ва фотоқабулқилгичдаги сигналлар амплитудалари нисбати ва улар орасидаги фаза силжиши ўлчанади. Шуни таъкидлаш керакки, лазер нури интенсивлигининг ўзгариши резонанс контурининг сифати модуляция частотасидаги ўлчаш натижаларига таъсир кўрсатмайди. Бу усулнинг ютуғига τ ни осон ҳисоблашликни ва ўлчаш натижасини сирт ишловига кучсиз боғланишини кўрсатиш мумкин, ўлчаш мумкин бўлган — τ нинг қуий чегараси структура сигими ва унга кўтма-кет бўлган қаршилиги билан аниқланадиган максимал модуляция частотасига боғлиқ.

д. Фотолюминесценция орқали τ ни ўлчаш

Фотолюминесценция орқали τ нинг фазавий ўлчаш усули яrimўтказгич намуналарида интенсивлиги модуля-

цияланган ёруғлик билан номувозанат заряд ташувчилар уйғотилганда уларнинг нурланишли рекомбинациясидан содир бўлган фотолюминесценция оқими билан уйғотувчи модуляцияланган ёруғлик орасидаги фаза силжишини ўлчашга асосланган. Яримўтказгични $x=0$ текислиги интенсивлиги вақт бўйича, $I=I_1 + I_0 \exp(i\omega t)$ қонун билан ўзгарувчан энергияси $\hbar\omega > E_g$ бўлган, яъни интенсивликнинг гармоник ташкил этувчиси бўлган монохроматик ёруғлик билан ёритилсан. Бу ёруғлик оқимининг ютилишидан юзага келган заряд ташувчилар генерация тезлиги

$$g(x,t) = \frac{1-R}{h\nu} \left[I_1 + I_0 e^{i\omega t} \right] \alpha \beta e^{-\alpha x} \quad (4.82)$$

билин ифодаланади. Агар ёруғликдан генерацияланган заряд ташувчилар тақсимоти диффузия, дрейф, рекомбинация жараёнлари туфайли пайдо бўлган бўлса, у ҳолда, узлуксизлик тенгламаси (4.10) каби бўлиб, оддин кўрганимиздек, у икки қисмга ажралади. Юқорида кўрсатилганидек, x ва модуляция частотаси ω га боғлиқ ортиқча номувозанат заряд ташувчилар концентрациясининг гармоник ташкил этувчининг узлуксизлик тенгламаси

$$i\omega \Delta n(x) = D_n \frac{d^2 \Delta n(x)}{dx^2} - \frac{\Delta n(x)}{\tau_n} + g_0 e^{-\alpha x} \quad (4.83)$$

кўринишда бўлади. (4.83) тенгламанинг (4.75) дан фарқи шундаки, унда заряд ташувчиларнинг нотекис генерацияниши ҳисобга олинган. Қалин намуналар $d \gg L$, да ёритилмаган томонида номувозанат заряд ташувчилар концентрациясини эътиборга олмаслик мумкин. Шунинг учун (4.83) тенгламанинг ёритилган сиртида

$$D_n \frac{d\Delta n(x)}{dx} \Big|_{x=0} = S \Delta n(x) \Big|_{x=0}$$

ёритилмаган сиртида

$$D_n \frac{d\Delta n(x)}{dx} \Big|_{x=d} = 0$$

бўлган чегаравий шартларни қаноатлантирувчи ечими

$$\Delta n(x) = \frac{g_0 \tau_n}{\alpha^2 L_n^2 - 1 - i\omega \tau} \left\{ -\exp(-\alpha x) + \frac{S + \alpha D_n}{S + \frac{D_n}{L_n} (1 + i\omega \tau_n)^{1/2}} \right\} \times \\ \times \exp \left[-\frac{x}{L_n} (1 + i\omega \tau_n)^{1/2} \right] \quad (4.84)$$

кўринишида бўлади. Агар намунадан нурланаётган фотонларни қайта ютилиш коэффициенти (α_0 — люминесценция коэффициенти) кичик бўлса, яъни $\alpha_0 L_n \ll 1$ бўлса, у ҳолда нурланаётган фотонлар оқими

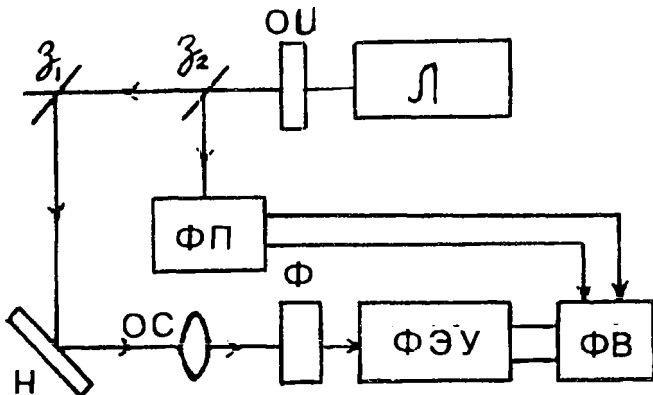
$$I_{OL} = \eta \int_0^\infty \frac{\Delta n(x)}{\tau_r} dx \quad (4.85)$$

билин аниқланади. Бу ерда η — фотолюминесценциянинг ташкии квант чизигининг ички квант чиқишига нисбати, τ_r — нурланишининг яшаш вақти. Паст даражали уйгошида $\tau_r = \text{const}$ бўлади. Уйғотувчи ёруғликнинг кучли ютилиш соҳасида, яъни $\alpha L_n \gg (1 + i\omega \tau_n)^{1/2}$ бўлганда сиртий рекомбинация тезлиги кичик $\frac{SL_n}{D_n} \ll 1$ бўлганда, ҳисоблашларнинг кўрсатишича, люминесценция оқимининг ифодаси

$$I_{OL} = \eta \frac{g_0 \tau_n}{\alpha \tau_r} \cdot \frac{\alpha L_n}{1 + i\omega \tau_n} = \eta \frac{g_0 \tau_n L_n}{\tau_r} \cdot \frac{1}{(1 + \omega^2 \tau_n^2)} \quad (4.86)$$

кўринишида бўлади. Унинг фаза силжиши тангенси эса $\operatorname{tg} \theta = -\omega \tau_n$, яшаш вақти $\tau_n = -\frac{\operatorname{tg} \theta}{\omega}$ бўлади. Сиртий рекомбинация катта $\frac{SL_n}{D_n} \gg 1$ бўлганда

$$I_{OL} = \eta \frac{g_0 \tau_n}{\tau_r} \frac{L_n}{(1 + i\omega \tau_n)}; \quad \operatorname{tg} \theta = -\frac{\omega \tau_n}{2}; \quad \tau_n = -\frac{2}{\omega} \operatorname{tg} \theta \quad (4.87)$$



4.7-расм. Фотолюминесценция бўйича фазавий усул билан заряд ташувчилар яшаш вақтини аниқлаш қурилмаси. ОИ — ёруғлик интенсивлиги ўзгартиргичи; З₁ — ясси кўзгу; ФЭУ — фотоэлектрон кўнайтиргич; З₂ — яримшаффоф ясси кўзгу.

бўлади. Бурчакларнинг кичик қийматида $\operatorname{tg} \theta \approx \theta$ сиртий рекомбинациясининг иккита чегаравий қийматида, яъни $S=0$ ва $S \rightarrow \infty$ бўлган ҳоллардаги заряд ташувчилар яшаш вақтлари бир-биридан икки мартадан ортиқ фарқ қилмайдилар.

Заряд ташувчилар яшаш вақтини ўлчаш қурилмасининг чизмаси 4.7-расмда келтирилган. Намуна θ асилиги бўйича модуляцияланган лазер нури билан уйғотилади. Намунага тушаётган ёруғлик интенсивлиги сусайтиргич ОИ орқали бошқарилади. Намунанинг нурланиши оптик фильтр (сузгич)лар тўплами Φ га йўналтирилади. Улар орқали фотолюминесценция нурланиши ўтказилади ва фотоэлектрон кучайтиргич ФЭУ га фокусланади. Фотоэлектрон кучайтиргичдан кучланиш фазасезгир вольтметр ФВ ни 1-киришига берилади. ФВ нинг иккинчи киришига фотоқабулқилигич ФПдан таянч кучланиши сигнални берилади. Яримшаффофф кўзгу З₂ орқали ёруғлик оқимининг бир қисми ФП га йўналтирилади. Кўзгу З₁ ёруғлик йўналишини ўзгаришишга ишлатилган. Фаза сезгир вольтметр бу кучанишлар орасидаги фаза фарқини ўлчайди. Уйғотувчи лазер нурланиши билан фотодиоддаги таянч кучланиш орасидаги фаза фарқи намунадан

сочилган лазер нурини, рекомбинацион нурланиши билан бир хил оптик йўл ўтишидан ўлчанади. Бу ўлчаш на-тижаларига кўра, қўзғатувчи ёруғлик оқими билан фотолюминесценция оқими орасидаги фаза силжиши ҳисобланади. Фаза силжишининг аниқлиги 5% тартибида бўлишлиги келтирилган. Юқорида ёритилган бу усулни арсенид галий эпитаксиал қатламларга ҳам қўллаш мумкин.

4.4 §. Ток импульси инжекциясига асосланган номувозанат заряд ташувчилар яшаш вақтини аниқлаш усуллари

a. τ ни нуқтавий контактда ўтказувчаникнинг модуляцияси бўйича ўлчаш усуллари

Яримўтказгич материалларини, асбобларини ишлаб чиқариш жараёнида монокристалл қўйма (слиток) ўзак (стержень) намуналарида заряд ташувчилар яшаш вақти τ ни ўлчашга тўғри келади. Бундай намуналарда τ ни ўлчаш учун унинг кўндаланг кесимининг сиртига инжекцияловчи металл контакт (зонд) жойлаштирилади. У номувозанат асосий бўлмаган заряд ташувчилар учун эммитер вазифасини бажаради. Намунага бундан ташқари, юзаси катта, қаршилиги кичик омик контакт олинади. Нуқтавий контакт орқали юборилган иккиланган импульсли генератордан ток режимида тўғри йўналишда амплитудаси I_0 , давомийлиги t_u бўлган тўғри бурчакли ток импульси намунада номувозанат заряд ташувчиларни инжекциялади ва контакт атрофидаги қаршиликни камайтиради.

Инжекцияловчи ток импульси тутагандан бирор вақт ўтгач (кечикиш вақти t_1 бўлган), амплитудаси, давомийлиги биринчи импульсники билан бир хил бўлган иккинчи тўғри бурчакли импульс узатилади. Агар икки импульс орасидаги вақт t_2 , яъни иккинчи импульснинг кечикиш вақти t_3 заряд ташувчилар яшаш вақти τ дан кичик ёки унинг тартибида $t_3 \leq \tau$ бўлса, иккинчи импульснинг контактга келиш пайтида номувозанат заряд ташувчилар рекомбинацияланиб улгурмайди ва намуна контакт соҳаси қаршилиги биринчи импульс келгунча бўлган қийматидан кичик бўлади. Шунинг учун иккинчи импульс бош-

ланган пайтда вужудга келган кучланиш импульсининг амплитудаси $I_1(t_3)$ биринчи кучланиш импульс амплитудаси $I_1(\infty)$ дан кичик бўлади.

Кучланиш импульслари амплитудаларининг айирмаси

$$\Delta U(t_3) = U_1(\infty) - U_2(t_3) = f(t_3, t) \quad (4.88)$$

Иккинчи импульснинг кечикиш вақти t_3 га ва заряд ташувчилар яшааш вақти τ га боғлиқ. Нуқтавий контактдан инжекцияланган заряд ташувчилар намуна сиртига томон, ичига томон диффузияланади ва рекомбинацияланади ҳамда ток импульси давомийлиги I_1 ичида электр майдон таъсирида дрейфланади. Натижада, улар қандайдир r_1 масофагача тарқалади. У соҳанинг катталиги ток импульсининг давомийлигига ва ток кучига боғлиқ. $\Delta U(t_3) = f(t_3, \tau)$ нинг назарий боғланишини ҳисоблаш учун металл зонд (контакт)нинг яримўтказгич намунаси билан контактланишнинг сирти радиуси r_0 бўлган яримшардан иборат деб фараз қиласиз.

Биринчи ток импульси бошланиш пайтида контакт атрофида номувозанат заряд ташувчилар бўлмайди. Ўтказувчанликнинг мувозанат заряд ташувчилар концентрацияси аниқлайди. Шунинг учун биринчи кучланиш импульсининг амплитудаси

$$U_1(\infty) = \int_{r_0}^{\infty} \frac{I_0 \rho_0}{2\pi r^2} dr = \int_{r_0}^{\infty} \frac{I_0}{2\pi r^2 \sigma_0} dr = \frac{I_0}{2\pi r_0 \sigma_0} \quad (4.89)$$

билин ифодаланади. Бу ерда: σ_0 — мувозанатий солиштирма ўтказувчанлик. Инжекция бошланиши билан контакт қаршилиги камая боради. Инжекцияловчи ток импульсининг амплитудаси I_0 ва мос равишда электр майдон кучланганлиги шундай каттаки, импульс давомийлиги I_1 ичида заряд ташувчиларнинг бикутбий диффузияси эътиборга олинмайди. У ҳолда кичик даражали инжекция Δn , $\Delta p \ll n_0 + p_0$ да t_3 вақт ичида заряд ташувчилар радиуслари r_0 дан r_1 гача бўлган (шар) сферик қатламни тўлдирадилар. (4.88) да келтирилган $U_1(\infty)$ инжекцияловчи биринчи ток импульсининг олди фронтига мос келган кучланиш импульсининг (максимал) қийматини, $U_2(t_3)$ — ток импульсининг контактга келиш пайтидаги кучланиш

тушувини англатади. Шундай қилиб, бир хил параметрли иккиланган импульслардан вужудга келган $U_1(\infty)$ ва $U_2(t_s)$ кучланишларнинг фарқини, иккинчи импульс бошлиниш пайтида биринчи ток импульсидан ҳосил бўлган номувозанат заряд ташувчилар билан намуна ўтказувчанигина модуляцияланган ҳолатда бўлишилиги билан тушунирилади. Номувозанат заряд ташувчилар тақсимоти сферик симметрия бўйича бўлганда (4.88)

$$\Delta U(t_s) = \frac{I_0}{2\pi} \int_{r_0}^{\infty} \left[\frac{1}{\sigma_0} - \frac{1}{\sigma} \right] \frac{dr}{r^2} \quad (4.90)$$

билин ифодаланади. Бу ерда, $\sigma = \sigma_0 + \Delta\sigma$ номувозанат солиштирма ўтказувчанлик. Кичик даражали инжекцияда Δn , $\Delta p \ll n_0 + p_0$ да $\Delta\sigma \ll \sigma_0$ бўлади. Бу ҳолда (4.90)

$$\Delta U(t_s) = \frac{I_0}{2\pi\sigma_0} \int_{r_0}^{\infty} \frac{(b+1)\Delta p(r, t)}{n_0 + b \cdot p_0} \frac{dr}{r^2} \quad (4.91)$$

кўринишга келади. Маълумки сиртий рекомбинация номувозанат заряд ташувчиларнинг сиртига йўналган диффузия оқимини вужудга келтиради ва нуқтавий контактдан инжекцияланган заряд ташувчиларнинг сферик симметрия бўйича тақсимотининг бузилишига олиб келади.

Заряд ташувчиларнинг намуна ичига йўналган дрейф оқими сиртга йўналган диффузион оқимидан катта, яъни сиртий рекомбинация тезлиги кичик, намунада электр майдон кучланганлиги катта бўлганда уларнинг фазовий сферик симметрия бўйича тақсимоти сақланади. Бу шарт намуна сирти учун

$$\mu_p \bar{E} \gg S \text{ ёки } \frac{I_0 \mu_p}{2\pi r_0^2 \sigma_0} \gg S \quad (4.92)$$

кўринишда бўлади. (4.91) даги $\Delta p(r, t)$ нинг назарий ифодаси заряд ташувчиларнинг биринчи ток импульси давомийлиги t_i ичидаги ва иккинчи импульс кечикиш вақти t_s ичидаги тақсимотларини аниqlаш орқали ҳисобланади. Биринчи ток импульси давомийлиги ичida инжекция-

ланган заряд ташувчиларнинг вақт бўйича ўзгаришини (4.92) шарт бажарилганда дрейф, рекомбинация жараёнлари аниқлайди. Шунинг учун сферик симметрия бўйича тақсимланган номувозанат заряд ташувчиларнинг t_u вақт ичида ўзгариши

$$\frac{\partial \Delta p}{\partial t} = -\mu_p E \frac{\partial \Delta p}{\partial x} - \frac{\Delta p}{\tau_p} \quad (4.93)$$

узлуксизлик тенгламадан аниқланади. (4.93) тенгламанинг бошланғич

$$\Delta p(r, t)|_{t=0} = 0 \quad (4.94)$$

чегаравий

$$\Delta p(r, t)|_{r=r_0} = \Delta p(r_0) \quad (4.95)$$

шартларни қаноатлантирувчи ечими

$$\Delta p(r, t_u) = \Delta p(r_0) \exp \left[-\frac{2\pi\sigma(r_1^3 - r_0^3)}{3\mu_p I_0 \tau_p} \right] \quad (4.96)$$

булади. Ток импульсидан инжекцияланган заряд ташувчиларнинг намунага кириб бориш масофаси r_1 билан импульс давомийлиги t_u орасидаги боғланиш

$$\frac{dr}{dt} = \mu_p E = \frac{\mu_p I_0}{2\pi r^2 \sigma} \quad (4.97)$$

тенгламадан топилади. Бу тенгламани интеграллаб,

$$t_u = \frac{2\pi(r_1^3 - r_0^3)}{3\mu_p I_0 \sigma} \quad (4.98)$$

ёки

$$r_1 = \left[\frac{3\mu_p I_0 \sigma}{2\pi} t_u + r_0^3 \right]^{\frac{1}{3}} \quad (4.99)$$

бўлишлигини кўрамиз. Шундай қилиб, r_1 — номувозанат ошиқча заряд ташувчилар тўпланиш соҳасининг чегарасини англаади. Демак, (4.96) ифода r ни

$$r_0 < r < \left[\frac{3I_0\sigma\mu_p}{2\pi} t_u + r_0^3 \right]^{\frac{1}{3}} \quad (4.100)$$

соҳасидаги заряд ташувчиларнинг тақсимотини аниқлар экан.

Биринчи ток импульсининг тугашидан иккинчи ток импульси бошлангунча бўлган вақт оралиғида, яъни кечикиш вақти t , ичида номувозанат заряд ташувчиларнинг вақт бўйича ўзгаришини, уларнинг диффузия, рекомбинация жараёнлари аниқлайди. Шунинг учун t , ичида асосий бўлмаган заряд ташувчилар тақсимот функцияси

$$\frac{\partial \Delta p}{\partial t} = -\frac{\Delta p}{\tau_p} + D_p \operatorname{divgrad} \Delta p \quad (4.101)$$

узлуксизлик тенгламаси орқали топилади. Намуна сирт рекомбинацияси тезлиги кичик, зонд kontakt соҳасида $S \rightarrow \infty$ бўлади, деб фараз қилсак, (4.101) даги Δp фақат бир координата r билан вақт функцияси бўлади. Заряд ташувчиларнинг сферик симметрия бўйича тақсимоти сақланади. Шунинг учун

$$\Delta p(r, t) = \Delta p_0(r, t) e^{-\frac{t}{\tau_p}} \quad (4.102)$$

кўринишда қидирамиз. (4.101) тенгламанинг

$$\Delta p(r, t) /_{r=r_0} = 0 \quad (4.103)$$

чегаравий шартни ва (4.96) билан аниқланган

$$\Delta p(r, t) /_{t=0} = \Delta p(r_0, t_u) \quad (4.104)$$

бошлангич шартни қаноатлантурвчи ечими топилади, сўнг (4.91) интеграл ҳисобланади. Назарий ҳисоблашлар таҳлили шуни кўрсатадики,

$$r_0 \ll \sqrt{Dt_3} \quad (4.105)$$

ҳамда инжекцияланган заряд ташувчилар кириб борган масофа r_1 кичик

$$\left[\frac{3\mu_p I_0 \sigma}{2\pi} t_u + r_0^3 \right]^{\frac{1}{3}} \ll 2\sqrt{Dt_3} \quad (4.106)$$

бўлганда (4.91) интеграл

$$\Delta I(t_3) = const \left(\frac{t_3}{\tau_p} \right)^{-\frac{3}{2}} \exp \left(-\frac{t_3}{\tau_p} \right) \quad (4.107)$$

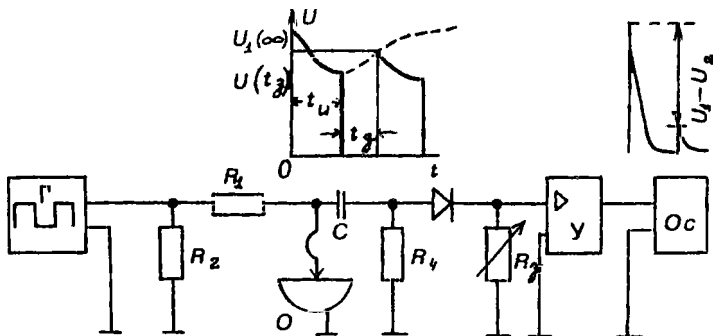
билин ифодаланади. Акс ҳолда ошиқча номувозанат заряд ташувчиларнинг намунага кириб бориш масофаси жуда катта бўлса, $\Delta I(t)$ боғланиш экспонента қонуни

$$\Delta I(t_3) = const \cdot e^{-\frac{t_3}{\tau_p}} \quad (4.108)$$

бўйича бўлади. Амалиётда

$$\frac{2\pi\sigma_0}{3\mu_p I_0 \tau_p} (4Dt_3)^{\frac{3}{2}} \ll \frac{\sqrt{\pi}}{2} \quad (4.109)$$

тengsизлик бажарилганда $\Delta I(t_3)$ нинг ўзгариши (4.109) каби қонуният бўйича содир бўлади. Одатда, бу шартни катта ток кучида ва кечикиш вақти τ_p дан $3\tau_p$ гача бўлган оралиқда бўлган ҳолда амалга ошириш мумкин. Нуқтавий контактда ўтказувчанликнинг модуляция усули билан τ ни ўлчаш қурилмасининг чизмаси 4.8-расмда келтирилган. Иккиланган импульсли генератор Γ дан инжекцияловчи нуқтавий контактга R_1 қаршилик орқали параметрлари бир хил бўлган иккита ток импульси юборилади. Қаршилиги катта бўлган R_1 қаршилик билан генераторнинг кучланиш импульсини контактдан оқаётган ток импульсига айлантиради. Нуқтавий контактда ҳосил бўлган кучланиш импульси диодли V_D чеклагич орқали



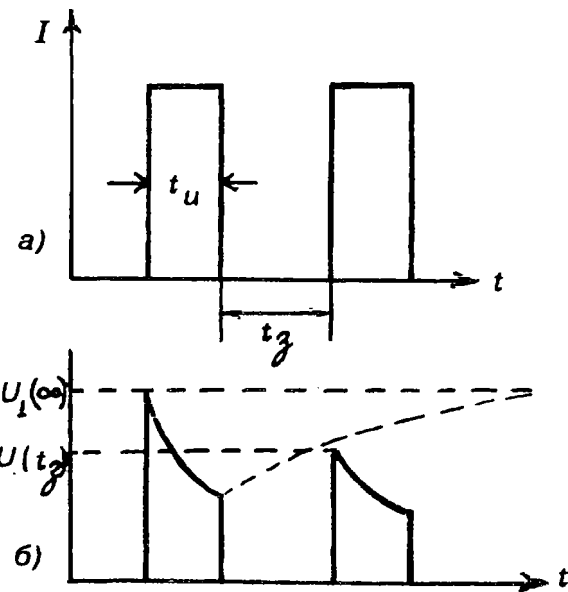
4.8-расм. Нуқтавий контакт ўтказувчанигини модуляция қилиш усули билан заряд ташувчилар яшаш вақтини ўлчаш қурилмасининг схемаси. Г — тўғри бурчакли импульс генератори O_c — осциллограф.

кучайтиргич U билан кучайтирилади ва осциллограф O киришига берилади. Иккиланган импульсли генераторнинг синхронловчи импульси осциллограф синхронловчи каналига берилади.

Бу импульс биринчи кучланиш импульсининг келиш пайтида осциллограф ёйилмаси (разверткаси) ни ишга солади ва осцилограммани турғун ушлаб туради. Иккинчи ток импульсининг кечикиш вақтини $\tau_p < t_3 < 3\tau_p$ оралықда ўзгатириб (4.9-расм), унинг ҳар бир қийматига мос келган контактдаги кучланиш амплитударининг қиймати осцилограммадан қайд қилиниб, $\Delta U(t_3) = U_1(\infty) - U_2(t_3) = f(t_3)$ ҳисобланади ва $\ln[U_1(\infty) - U_2(t_3)] = f_1(t_3)$ тўғри чизикли боғланишнинг оғиш бурчаги тангенсидан

$$\tau_p = \operatorname{tg} \theta = \frac{\Delta t_3}{\Delta \ln [U_1(\infty) - U_2(t_3)]}$$

заряд ташувчилар яшаш вақти топилади. Номувозанат заряд ташувчиларнинг нуқтавий контактда яхши инжекцияланиши учун $\frac{\Delta U_1}{U_1} \approx 0,1$ тартибда бўлиши керак. U_1 — биринчи кучланиш амплитудаси, ΔU_1 импульснинг модуляцияланган қисми. Буни амалга оширишда p — типдаги



4.9-расм. Намунада ток (a) ва кучланиш импульси (б).

кремний намуналарида фосфорли бронза зонди, n — типдаги намуналарида эса алюминий зонди қўлланилади.

Яхши инжекцияловчи нуктавий контактни олиш учун одатда контактга ишлов берилади. Бунинг учун контактга кучланиши 300—400 В бўлган ўзгармас ток манбаи қисқа муддатта уланади, бошқача айтганда, сигими катта зарядланган конденсатор контакт орқали разрядланади (зарядсизланади). Одатда, монокристалл қуйма намуналарда τ ни ўлчашда уни ён томонига юзаси 1 см^2 дан кам бўлмаган палладий, никель пардаларини ўtkазиш ёки индий-галлий, алюминий-галлий пасталарини суркаш билан Ом контакти олинади.

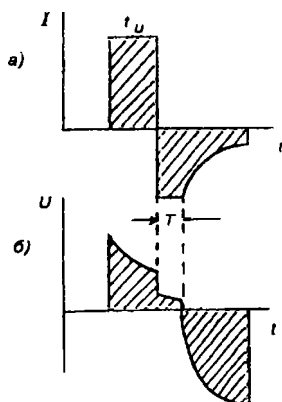
Шайба шаклдаги намуналарда τ ни ўлчашда 4-жадвалда келтирилган заряд ташувчиларнинг сиртий яшаш вақтини эътиборга олиш керак. Қалин шайбаларда бу усул билан ўлчанганд τ ҳам намуна сиртий рекомбинация тезлигига кучсиз боғланган. Одатда, импульсларнинг такрорланиш частотаси $50 \div 200$ Гц тартибида олинади. Чун-

ки иккита кетма-кет келаётган импульслар орасидаги вақтда намуна мувозанат ҳолатга эришиб улгуриши керак. Назарий ҳисобларнинг кўрсатишича, (4.107) ва (4.108) ифодалар ҳамда (4.105) ва (4.109) шартлардан τ га ток импульсининг амплитудаси, давомийлиги, кечикиш вақти таъсири кўрсатиши мумкин. Тажриба натижаларининг тасдиқлашича, ток импульсининг давомийлиги ошиши билан эса τ нинг қиймати ортиб боради ва импульс давомийлигининг қиймати ҳажмий яшааш вақти тартибида ёки ундан катта $t_u \geq 1,5\tau$, бўлса, τ нинг t_u га боғланиши тўхтайди. Ана шундай боғланиш импульс токи билан ҳам кузатилади. Ток ортиши билан τ орта бориб доимий қийматга интилади. Акс ҳолда, кечикиш вақтининг кичик қийматларида ўлчаш τ нинг пасайтирилган қийматини беради.

Бу усул билан солиштирма қаршилиги $0,5-500$ Ом. см p — тип намуналар учун яшааш вақти $\tau > 2,8$ мкс, n — тип намуналар учун эса $\tau > 7,7$ мкс бўлган кремний намуналарида ўлчаш тавсия этилади. Заряд ташувчилар яшааш вақти $\tau < 100$ мкс бўлса, сайқалловчи кукун билан сайқалланган намуналарда τ ни ўлчаш мумкин. Одатда τ ни ўлчаш оралиқ даражали инжекция $\Delta p \sim p_0$ да ўтказилади. Бунда ёпишиш марказлари заряд ташувчилар билан тўлдирилади ва таъсири йўқотилади. Тажриба ўтказишда юқорида қайд қилинган шартлар бажарилганда τ ни ўлчаш хатоси $+20\%$ дан ошмайди. Бу усулнинг бошқа усулларга нисбатан афзаликларига коллектор kontaktини олиш талаб этил маслигини, сирт ҳолатига кам сезгирлигини, τ ни температурага боғликлигининг енгил ўлчанишини, усулни солиштирма қаршилиги $0,1:100$ Ом. см тартибида бўлган яrimётказгичларда, масалан, кремний, германий, галлий арсенидга қўллаш мумкинлигини кўрсатиш лозим.

б. Р-п ўтиши орқали τ ни заряд ташувчилар инжекциясига асосланган ўлчаш усули

Бу усулни p -п ўтишнинг ўтиш (переходной) тавсифидаги тескари токининг тикланиш вақтини ўлчашга асосланган. Унинг моҳияти шундан иборатки, p -п ўтишга тўғри йўналишда ток юборилади ва бир оз вақтдан сўнг ток қутби кескин ўзгартирилади (тескари йўналишдаги ток импульси уланади). P -п ўтишдан олинган кучланиш ва ток осциллограммалари 4.106, в-расмда келтирилган кўри-



4.10-расм. Ўткинчи жараёнларнинг $p-n$ ўтишдаги ток (а), кучланиш (б) осциллограммаси. t_u — импульс давомийлиги; t — импульс кечикиш вақты.

нишдаги шаклда бўлади. Бунда содир бўлган $p-n$ ўтишдаги физик жараёнларни қисқача таҳлил қиласайлик. Тўғри йўналишдаги ток импульси берилган пайтда диод ичидаги (қатламида) асосий бўлмаган номувозанат заряд ташувчилар инжекцияланади. Бир оз вақтдан сўнг диодда стационар ҳолат ўрнатилади. Кичик даражали инжекция

Δn , $\Delta p \ll n_0 + p_0$ да узун диодларда заряд ташувчиларнинг тақсимоти $\Delta p(x) = \Delta p(0) / e^{-x/\tau_p}$ билан аниқланади. Токнинг кутбини ўзgartиргандан сўнг инжекцияланган заряд ташувчилар концентрацияси уларнинг рекомбинацияси ва $p-n$ ўтиш орқали тортиб (сўрилиб) олиниши туфайли камаяди. $P-n$ ўтиш соҳасининг яқинида заряд ташувчилар концентрацияси мувозанатий заряд ташувчилар концентрациясидан катта бўлгани учун $p-n$ ўтиш очиқ ҳолатда бўлиб, кучланиш мусбат, ток диодга уланган қаршилик билан чекланган бўлади. Вақт ўта бошлиши билан $p-n$ ўтиш ёпила бошлайди, бу жараён тескари токнинг тўйиниш токига teng бўлгунча давом этади. Номувозанат заряд ташувчиларнинг яшаш вақти қанча катта бўлса, уларнинг йўқолиши шунча кўп вақт давом этади. Назарий ҳисоблашларнинг, тажриба натижаларининг кўрсатишича, диоддаги тўғри йўналишдаги токнинг тескари йўналишдаги токка уланишдан ҳосил бўлган кучланиш, ток зинапоялари давомийлиги T заряд ташувчилар яшаш вақти t , тўғри ток I_{np} ва тескари ток I_{obp} билан қуйидаги муносабат билан боғланган:

$$erf \sqrt{\frac{T}{\tau}} = \frac{I_{np}}{I_{np} + I_{obp}} \quad (4.110)$$

Бу ерда:

$$erf \sqrt{\frac{T}{\tau}} = \frac{2}{\pi} \int_0^{\sqrt{\frac{T}{\tau}}} \exp(-\xi^2) d\xi \quad (4.111)$$

Түгри ток тескари токка тенг $I_{\text{пр}}=I_{\text{обр}}$ бўлганда,

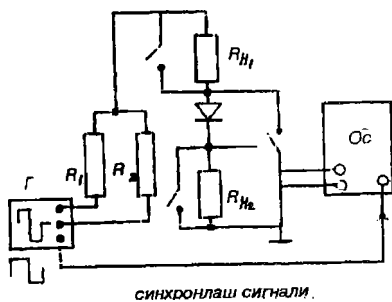
$$T=0,23\tau \quad (4.112)$$

бўлади. Бу усулни нисбатан катта бўлган заряд ташувчилар яшаш вақти τ ни аниқлашга ҳам татбиқ қилиш мумкин. Ҳисоблаш формуласи (4.110) ни $\frac{I_{\text{пр}}}{I_{\text{обр}}} \leq 2$ тенгсизлик бажарилган ҳолда фойдаланиш мумкин.

Бу усул билан τ ўлчаш қурилмасининг чизмаси 4.11-расмда келтирилган. Биринчи кетидан кетувчи мусбат, манфий қутблик ток импульсини олиш имконини берадиган иккilanгган импульсли (масалан, Г-5-7А, ГИС-2 типидаги) генератор кўлланилиди. Генератордан мусбат ва манфий қутбли бўлган иккilanгган ток импульси $p-n$ ўтишга берилганда осциллограф 0 билан кучланиш, ёки ток осциллограммаси қайд қилинади.

Осциллограф генераторнинг синхронловчи импульси билан кутиш ёйилмаси режимида ишлайди, бу билан осциллограммани осциллограф экранида турғун тутган бўламиз.

Усулни бошқа бир вариантида кичик заряд ташувчилар яшаш вақтини ўлчаш учун $p-n$ ўтишга тескари йўналишда доимий қучланиш қўйилган бўлади, қандайдир вақтда (фурсатда) генератордан орқа фронтитик бўлган қисқа импульс берилади. Бу усул билан бир неча наносекунддан то 10^{-4} с гача бўлган заряд ташувчилар яшаш вақтини ўлчаш мумкин.



4.11-расм. $p-n$ ўтишда инжекция-экстракция усули билан τ -ни аниқлаш қурилмасининг схемаси.

4.5 §. Номувозанат заряд ташувчилар параметрларини ўлчашнинг стационар усуллари

a. Стационар фотоўтказувчаникдан заряд ташувчилар яшаш вақтини аниқлаш усуллари

Ёруглик таъсирида яримўтказгичларда номувозанат заряд ташувчиларни генерацияланиши, яъни фотоинжекцияси туфайли, уларнинг қаршилигини ёки ўтказувчанигининг ўзгаришини (фотоқаршилик) фотоўтказувчаник эффициенти (ҳодисаси) деб аталади. Зоналараро электрон ўтишлари билан боғлиқ фотоўтказувчаникнинг узун тўлқин чегараси, хусусий ютилиш чегарасига мос келиб, кўп яримўтказгичларда, масалан, кремний, германий, A_3 , B_5 туркумидаги яримўтказгичлар учун ёруглик спектрининг кўзга кўринадиган ва инфақизил соҳасида ётади.

Узунлиги a , эни b , қалинлиги d бўлган намунани $z=0$ сирти фотон энергияси $\hbar\omega \geq E_{\text{д}}$ бўлган ёруглик оқими билан ёритилган бўлсин (4.1-расм). Намунада номувозанатий заряд ташувчиларнинг нотекис генерацияланиши содир бўлади ва генерация тезлиги $g = \alpha\beta I_{0v} (i - R_v)/\hbar\omega$ билан аниқланади. Намунада $a > b \gg d$ бўлсин деб қарасак, унинг эркин ён сиртларида рекомбинацияни ҳисобга олмаслик мумкин ва намунани Ом контактларидан $(2 \div 3)Z$ ма-софада бўлган қисми ёритилганда масала бир ўлчамли бўлади ва унинг z — ўқига тик йўналишдаги фотоўтказувчаник (4.26) га кўра ёпишиш марказлари бўлмагандан, электр нейтраллик шарти $\Delta N = \Delta P$ бажарилган ҳолда

$$\Delta G = \frac{eb}{a} (\mu_p + \mu_n) \Delta P \quad (4.113)$$

кўринишни олади. Бу ерда,

$$\Delta P = \int_0^d \Delta p(z) dz \quad (4.114)$$

Номувозанат заряд ташувчиларнинг ўртача концентрациясини

$$\Delta p_{cp} = \frac{1}{d} \int_0^d \Delta p(z) dz = \frac{\Delta P}{d} \quad (4.115)$$

билил белгиласак, у ҳолда (4.113)

$$\Delta G = \frac{ebd}{a} (\mu_n + \mu_p) \Delta p_{cp} \quad (4.116)$$

билин ифодаланади. Ўзгармас ток манбаига уланган на-
мунадан ўзгармас ток (ток генератори) режимида ток ўтка-
зилганда, фотоинжекцияланган заряд ташувчилардан со-
дир бўлган намунадаги кучланиш тушувининг ўзгариши

$$\Delta V = \Delta R \cdot I = R_0^2 I \Delta G = \frac{\rho^2 ea}{bd} (\mu_n + \mu_p) \Delta p_{cp} \quad (4.117)$$

кўринишда бўлади. (4.114) даги $\Delta p(z)$ ни ёруглик генера-
цияси, заряд ташувчиларнинг ҳажмий, сиртий рекомби-
нациялари ва диффузияси жараёнлари аниқлайди. Шу-
нинг учун $\Delta p(x)$ куйидаги бир ўлчамли стационар узлук-
сизлик қуйидаги тенгламанинг ечимидан топилади.

$$\frac{d^2 \Delta p}{dz^2} - \frac{\Delta p}{D_p \tau_p} + \frac{\alpha \beta I_\infty (1 - R_v)}{D_p} e^{-\alpha z} = 0 \quad (4.118)$$

Унинг умумий ечими

$$\Delta p(z) = A \exp\left(\frac{z}{L_p}\right) + B \exp\left(-\frac{z}{L_p}\right) + \frac{I_0 \tau_p e^{-\alpha z}}{1 - \alpha^2 L_p^2} \quad (4.119)$$

кўринишда бўлади. Интеграллаш доимийлари A ва B

$$D_p \frac{d\Delta p(z)}{dz} \Big|_{z=0} = S \Delta p(0); \quad D_p \frac{d\Delta p(z)}{dz} \Big|_{z=d} = -S \Delta p(d) \quad (4.120)$$

чегаравий шартлардан топилади. Топилган A ва B ларни (4.119) га қўйиб, (4.115) дан Δp_{cp} ҳисобланади. Умуман олганда Δp_{cp} ни ифодаси катта, тажриба натижаларини таҳлил қилишга мураккаблик қиласи. Лекин унинг асо-
сида кўп хусусий ҳолларни таҳлил қилиш мумкин ва ама-
лиётда татбиқ қилиш учун қулай соддалашган ифодалар-
ни олиш мумкин. Буларнинг баъзи бирини кўрайлик.

1. Ёругликни кучли даражадаги ютилиш $\hbar\omega \geq E_g$ соҳа-
сида номувозанат заряд ташувчиларнинг сиртий генера-

цияси содир бўлади. Бу соҳада сиртий генерация тезлиги g_s , $\text{см}^2/\text{с}$ $\alpha d \gg 1$, $\alpha L \gg 1$; $\alpha \gg \frac{S}{D_p}$ бўлади. Булардан ташқари, намуна юпқа $d/Z_p \ll 1$ деб фараз қилсак, унда

$$\Delta p_{cp} = \frac{g_s}{d} \frac{1}{\left(\frac{1}{r_p} + \frac{2S}{d} \right)} \quad (4.121)$$

кўринишга келади. Фотоўтказувчанликда ҳажмий рекомбинация аниқловчи жараён бўлса, $\frac{1}{r} \gg \frac{2S}{d}$ бўлади. У ҳолда

$$\Delta p_{cp} = g_s r_p / d \quad (4.122)$$

билин ифодаланади. Агар фотоўтказувчанликка сирт рекомбинациясининг таъсири ҳажмий рекомбинацияга нисбатан катта, яъни сирт рекомбинацияси тезлиги катта, намуна юпқа бўлса, $\frac{2S}{d} \gg \frac{1}{r}$ бўлади ва Δp_{cp} нинг ифодаси

$$\Delta p_{cp} = g_s / 2S \quad (4.123)$$

кўринишга келади.

2. Намунада ёруғликни кучсиз ютилиш соҳасида номвозанат заряд ташувчиларнинг ҳажмий генерацияси, яъни текис генерацияланиши содир бўлади. Бу ҳолда ҳажмий генерация тезлиги $g_0 = \alpha \beta I_0, (1 - R) \text{см}^{-3}\text{с}^{-1}$ $\alpha Z_p \ll 1$, $\alpha d \ll 1$, қалин намуна $d \gg Z_p$ учун эса

$$\Delta p_{cp} = g_0 r_p . \quad (4.124)$$

бўлади, намуна юпқа $d \ll Z_p$ сирт рекомбинацияси тезлиги катта бўлганда,

$$\Delta p_{cp} = \frac{g_0 d^2}{12 D_p} \quad (4.125)$$

кўриниш олади. Энди юқорида келтирилган муносабатлар асосида тажрибадан τ ва S ни аниқлашни кўрайлик.

Тажрибада ёритилган намунада фотоўтказувчанликдан содир бўлган кучланиш тушувининг ўзгаришини ўлчаб, (4.117) дан τ ни S ни аниқлаш мумкин. Стационар фотоўтказувчанликни қайси параметрлар (τ, s) аниқлашини текшириш учун ҳар хил қалинликдаги намуналарда ўлчов ўтказиш мақсадга мувофиқ бўлади. Агар сигнал ΔV намуна қалинлиги d ни камайиши билан $\frac{1}{d^2}$ бўйича ортиб борса, (4.117) ва (4.122) ларга кўра, ΔV га асосий таъсир кўрсатувчи параметр τ бўлади. Агар асосий таъсир кўрсатувчи параметр S бўлса, намуна қалинлигининг камайиши билан сигнал ΔV (4.117) ва (4.123) га кўра $\frac{1}{d}$ бўйича ортиб боради.

Ўлчанган ΔV бўйича τ ёки S ни аниқлаш учун бундан ташқари заряд ташувчиларнинг сиртий ёки ҳажмий генерация тезликларини билиш керак бўлади. Коэффициентлари α, β маълум бўлган яримтўказгичлар учун намуна га тушаётган ёруғлик интенсивлиги I_0 ни билиш етарли бўлади. Бунинг учун ёруғлик спектрининг тегишли соҳасига сезгир, олдиндан даражаланган исталган фотоқабул қўлгичларни қўллаш мумкин. α ва β коэффициентлари ноаниқ бўлган ҳолларда генерация тезлиги g ни аниқлаш учун текширилаётган материаллардан ясалган потенциал тўсиқли ($p-n$ ўтиш, $p-i-n$ ва Шоттки диодлари) фотоқабулқўлгичларни қўллаш мақсадга мувофиқдир. Бу фотоқабулқўлгичлар бирга яқин ўзgartериш коэффициенти билан квант оқимини заряд ташувчилар оқимига, яъни токка айлантиради, яъни

$$\frac{I}{e} = gV_0 \quad (4.126)$$

бўлади. Бу ерда, V_0 — фотоқабулқўлгичнинг ёруғликка сезгир соҳасининг ҳажми. (4.126) дан фототок I ва ҳажми V_0 ни билган ҳолда g аниқланади. Заряд ташувчиларнинг яшаш вақтини аниқлашда, булардан ташқари, уларнинг ҳаракатчанлиги, намунанинг геометрик ўлчамларини билиш керак бўлади. Бу усулда ҳар хил намуналарда ўлчанган кўп параметрларнинг қатнашиши туфайли, юқори бўлмаган аниқликда 20—30%, баъзан ундан катта бўлган

хатолик билан t_p ни аниқлаш мумкин. Лекин бу усул билан заряд ташувчиларнинг жуда кичик яшаш вақтларини 10^{-9} — 10^{-10} с гача ўлчаш мумкин. Стационар фотоўтказувчанлик усули билан t_p ни ўлчашдаги асосий хатолик манбай сифатида ёпишиш марказларининг таъсирини кўрсатиш мумкин. Ёпишиш марказининг таъсири германийда 273 К дан, кремнийда 400 К дан паст температураларда намоён бўлади. $A_3 B_5$ бирималарида ёпишиш марказларининг сатҳи оддий элементар яrimўтказгичларнидан юқори. Шунинг учун уларга бу усулни кўллаш чекланган. Маълумки, яrimўтказгичларда ёпишиш маркази мавжуд бўлса, электрон, ковак яшаш вақтлари тенг бўлмайди. Агар ёпишиш марказлари томонидан ушланган электрон концентрациясини D_{n_3} билан белгиласак, электрон нейтраллик шарти

$$\Delta p = \Delta n + \Delta n_3 \quad (4.127)$$

кўринишда бўлади. Электрон, ковакнинг рекомбинация тезликларининг бир-бирига тенглигидан

$$\frac{\Delta n}{\tau_n} = \frac{\Delta p}{\tau_p} = \frac{\Delta n + \Delta n_3}{\tau_p} \quad (4.128)$$

$$\frac{\tau_p}{\tau_n} = 1 + \frac{\Delta n_3}{\Delta n} \quad (4.129)$$

бўлишлигини кўрамиз. Бу стационар фотоўтказувчанликнинг ўзаришига ҳамда ностационар фототокнинг ўсиши ва пасайишига таъсир кўрсатади. Бу ҳолда янги характеристик катталик фотоўтказувчанликнинг эфектив стационар яшаш вақти тушунчаси киритилади. Стационар фотоўтказувчанликни

$$\Delta\sigma_{ct} = e\mu_n g\tau_n + e\mu_p g\tau_p = e\tau_{\phi}(\mu_n + \mu_p)g \quad (4.130)$$

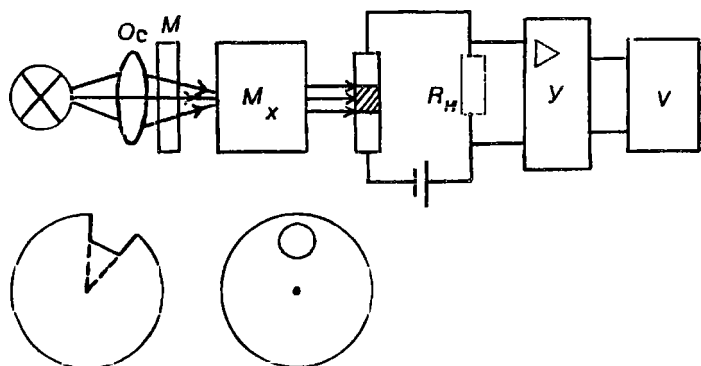
ифодасидан, τ_{ϕ} ни

$$\tau_{\phi} = \frac{\mu_n \tau_n + \mu_p \tau_p}{\mu_n + \mu_p}$$

билил аниқланишини кўрамиз. Стационар фотоўтказувчанликдан топилган заряд ташувчилар яшаш вақти умумий ҳолда электрон, ковак яшаш вақтларига, ҳаракат-

чанликларига боғлиқ. Агар ёпишиш марказларининг концентрацияси кичик $\Delta n_3 \ll \Delta n$ бўлса, уларнинг таъсирини эътиборга олмаслик мумкин. У ҳолда $\tau_{\text{эф}} = \tau_n = \tau_p$ бўлади. Стационар фотоўтказувчанликни ўлчаш усулига асосланган τ ни аниқлаш қурилмаларидан бирининг чизмаси 4.14-расмда келтирилган. Одатда, фотоўтказувчанлик сигнални ΔV кичик даражали инжекцияда $\Delta G \ll G_0$ ўлчанади. ΔV ни ўлчаш шундай режимда ўтказилиши керакки, ΔV билан ΔG орасидаги боғланиш чизиқли бўлсин. Юклама қаршилик R_H намуна қаршилиги $(\Delta G + G_0)^{-1}$ дан катта $R_H \gg (\Delta G + G_0)^{-1}$ бўлганда, занжирдан оқаётган ток намуна ёритилганда ҳам ўзгармас сақланади. Бу ўзгармас ток (ток генератори) режими деб юритилади. Бунда намунада ўлчанганд ΔV билан ΔG орасидаги боғланиш чизиқли $\Delta V \sim \Delta G$ бўлади. Юклама қаршилик R_H намуна қаршилиги $(\Delta G + G_0)^{-1}$ дан кичик бўлганда, R_H дан ўлчанганд кучланиш тушувининг ўзгариши ΔV билан фотоўтказувчанлик орасидаги боғланиш ҳам чизиқли бўлади. Бу режимда намунани ёритиш намуна ва юклама қаршилик орасида муҳим даражада кучланиш (электр майдоннинг) қайта тақсимланишига олиб келмайди, бинобарин, намунага қўйилган электр майдони қоронгидан ва ёритилганда ҳам ўзгармас сақланади. Шунинг учун у ўзгармас майдон (кучланиш) режими деб юритилади. Стационар фотоўтказувчанликнинг ёки бошқа фотоэлектрик ҳодисаларни ўлчашда интенсивлиги бўйича тўғри бурчакли модуляцияланган ёруғлик импульсининг давомийлиги оралиғидаги вақт ичида фотоэлектрик жараёнлар стационар ҳолатга эришиб ва иккита кетма-кет ёруғлик импульси орасидаги вақт ичида намуна термодинамик мувозанат ҳолатига келиб улгуриши керак.

Бу шартнинг бажарилиши учун импульс давомийлиги ва икки импульс оралиғидаги вақт фотоэлектрик ҳодисалар (эффектлар)нинг характеристик релаксация вақти t_n , $t_n > \tau_{\text{рел}}$ дан катта бўлиши керак. Лекин бунда ёруғлик импульсининг кўтарилиш, пасайиш фронтларининг вақтига ҳеч қандай чеклашлар кўйилмайди. Агар ўлчашда синусоида бўйича модуляцияланган ёруғликдан фойдаланилса, унинг даври шундай катта бўлиши керакки, натижада исталган ҳар бир вақтда жараёнларни квазистационар деб ҳисоблаш мумкин бўлсин. Кўпинча ΔV



4.12-расм. Стационар фотоўтказувчанликни ўлчаш схемаси;
V — вольтметр, M_x — монокроматор; Y — кучайтиргич.

уйғотувчи ёруғлик интенсивигининг $\frac{1}{\tau_p}$ га нисбатан етарли кичик модуляция частоталарида ўзгарувчан сигнал кучайтиргичлари билан ўлчанади. Бу ўлчаш жараёни осонлаштиради, кичик сигналларга сезгирлигини оширади ва τ_p ни ўлчаш чегарасини кичик қийматлар томонга кенгайтиради. Етарлича катта давомийликли түғри бурчакли ёруғлик импульсини ҳосил қилиш учун турли модуляторлар қўлланилади. Секторли кўринишда ёриқлари бўлган диск айланганда ёруғлик оқимини даврий равишда дискнинг секторлари ёпиб туради, унинг интенсивигини модуляциялади. (4.12-расм): унда түғри бурчакли ёруғлик импульси ҳосил қилинади. Кўзгусимон модуляторларда айланувчи кўзгудан қайтган ёруғлик нури оптик тизим кириш тирқишини кесиб ўтиб, түғри бурчакли ёруғлик импульсини шакллантиради. Электродинамик затворли модулятор электр токи ўтиб турган фалтак билан магнит майдоннинг таъсирилашишига асосланган. Агар фалтақдан ток импульси ўтказилса, у магнит майдонида силжийди ва ёруғлик оқимини тўсиб турган пардани ҳаракатга келтиради. Бу модуляторлар билан олинган ёруғлик импульсларининг кўтарилиш ва пасайиш вақтларига нисбатан катта ($10^{-4}:10^{-5}$)С бўлгани учун фотоэлектрик жараёнлар кинетикасини ўрганишга қўлла-

нилмайди. Фотоўтказувчанликни ўлчашда манба нурла-нишининг керакли спектрал оралигини ажратиб олиш учун монохроматорлар ишлатилади. Заряд ташувчиларни намунанинг бутун ҳажмида бир текис пайдо қилиб туриш учун оптик фильтрлардан фойдаланилади, улар ёрдамида ютиш коэффициентини кичик бўладиган хусусий ютилиш чегарасига тўғри келадиган узун тўлқинларнинг тор оралиги ажратиб олинади. Амалда кўпинча бу мақсад учун текширилаётган намунада ясалган яrim-ўтказгич модданинг ўзидан қилинган фильтрлардан фойдаланилади ёки ҳар хил лазерларнинг нурланишидан фойдаланилади.

б. Фотоўтказувчанликнинг спектрал боғланишидан яrim-ўтказгичлар параметрларини аниқлаш усуллари

Фотоўтказувчанлик ΔG нинг спектрал (ёруғлик тўлқин узунлигига) боғланиши бўйининг узунлиги a , энининг узунлиги b , қалинлиги d дан катта $a > b \gg d$ бўлган пластина шаклидаги намуна стационар фотоўтказувчанлик (4.113) ифодасига кирган (4.114) билан ифодаланган ΔP нинг таҳлили асосида ўрганилади. Номувозанат заряд ташувчилар тақсимоти Δp (z) узлуксизлик тенглама (4.11)си нинг чегаравий шартлари (4.120) ни қаноатлантирувчи ечимиdir.

Ютилиш коэффициенти (тўлқин узунлиги) ҳар хил бўлган ёруғлик орқали яrim-ўтказгични уйғотиш билан, унинг ҳажмида, сиртида заряд ташувчиларнинг диффузия, рекомбинация жараёнлари учун ҳар хил шароит яратиш мумкин. Тажриба натижаларидан, назарий текширишлардан маълумки, ёруғликнинг хусусий ютилиш чегарасининг кичик спектрал оралиги $\Delta h\nu = 0,1 \div 0,2$ эВ да ютилиш коэффициенти зоналар тузилишига қараб 0 дан то 10^5 см $^{-1}$ гача ўзгаради. Ёруғликнинг хусусий ютилиш спектрининг қисқа тўлқин узунлик соҳасида ютилиш коэффициенти катта, шунинг учун заряд ташувчиларнинг сиртий генерацияланиши содир бўлади. Ҳисоблашларнинг кўрсатишича $ad \gg 1$ бўлганда, (4.114) ифода

$$\Delta P = \frac{g_0 \tau}{\alpha} \frac{\left[1 + \frac{sZ}{D} \frac{1}{1 + aZ} \right]}{\left[1 + \frac{sZ}{D} \cdot \operatorname{ctn} \frac{d}{2Z} \right]} \quad (4.131)$$

билин аниқланади. Ёруғликни намунадан қисман қайтишини ҳисобга олганда генерация тезлиги $g_0 = \alpha\beta I_0(1-R_0)/h\nu$ кўринишда бўлади. Намуна қалин $d \gg 2L$ бўлса, ($d > 4Z$ етарли), $c\hbar \frac{d}{2L} \approx 1$ бўлади ва (4.131)

$$\Delta P = \frac{g_0 \tau}{\alpha} \frac{1}{1 + sL/D} \cdot \left(1 + \frac{sL}{D} \frac{1}{1 + \alpha L} \right) \quad (4.132)$$

кўринишда бўлади. Ёруғликнинг кучли ютилиш $\alpha Z \gg 1$ соҳасида

$$\Delta P = \frac{g_0 \tau}{\alpha} \frac{1}{(1 + sL/D)} \cdot \left(1 + \frac{s}{D} \frac{1}{\alpha} \right) \quad (4.133)$$

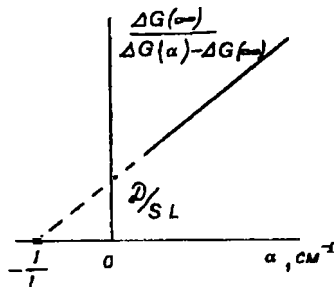
билин ифодаланади. ΔP ютилиш коэффициентининг ортиши билан α га боғлиқ бўлмаган, лекин сиртий рекомбинация тезлигига боғлиқ бўлган асимптотик қийматта интилади. $\alpha \rightarrow \infty$ да

$$\Delta P(\infty) = \frac{I_v \beta}{h\nu} \frac{1}{(1 + sL/D)} \quad (4.134)$$

кўринишни олади. Хусусий ютилиш спектрининг узун тўлқини узунлик соҳасида ютилиш коэффициенти α камайиши туфайли, фотоўтказувчанлик ΔG кескин камаяди. Шундай қилиб, хусусий ютилиш соҳасида ΔG максимумга эришади (4.13-расм). (4.131) ва (4.134) ифодалар билан аниқланадиган стационар фотоўтказувчанлик ΔG

4.13-расм. $\frac{\Delta G(\infty)}{\Delta G(\alpha) - \Delta G(\infty)}$

нисбатнинг ёруғликни отилиш коэффициенти α га боғлиқлиги.



нинг ифодаси (4.113) га тўғридан-тўғри фотон энергияси ёки ёруғлик тўлқин узунлиги кирмаган бўлса ҳам $\Delta G(h\nu)$ ёки $\Delta G(\lambda)$ боғланиш мавжудлигини кўрамиз. ΔG нинг бу спектрал боғланиши ёруғликнинг ютилиш коэффициенти α ни, заряд ташувчилар квант чиқиши коэффициенти β ни, ёруғликнинг намунадан қайтиш коэффициенти R , ни ёруғлик тўлқин узунлигига боғлиқлиги туфайли намоён бўлади. Фотоўтказувчанликнинг спектрал боғланиши $\Delta G(\alpha)$ ёки $\Delta G(\lambda)$ ни уч соҳага ажратиш мумкин. ΔG ни $\frac{1}{\alpha}$ билан чизиқли боғланиш соҳасига ΔG ни асимптотик қиймат $\Delta G(\infty)$ га эришиш соҳасига ҳамда α нинг камайиши билан ΔG ни камайиши соҳасига ажратиш мумкин. ΔG нинг $\frac{1}{\alpha}$ билан боғланиш соҳаси (4.133) ифодага кўра,

$$\Delta G\left(\frac{1}{\alpha}\right) = h_1 \left(1 + \frac{1}{a_1} \frac{1}{\alpha}\right) \quad (4.135)$$

билин ифодалавши мумкин. Бу боғланишдан h_1 ва $a_1 = \frac{D}{S}$ катталиклар топилади. Бунинг учун ёруғлик инжекциясининг тегишли соҳасидаги ҳар хил тўлқин узунликда ҳар хил ютилиш коэффициенти α да ΔG ни ўлчаб $\Delta G = f\left(\frac{1}{\alpha}\right)$ боғланиш чизилади. Агар намунанинг бошқа томонида сиртий рекомбинация тезлиги S_2 бўлса, бу томонини ёритишидаги фотоўтказувчанлик

$$\Delta G' = h_2 \left(1 + \frac{1}{a_2} \frac{1}{\alpha}\right) \quad (4.136)$$

бўлади ва ундан h_2 ва a_2 катталиклар топилади. Топилган h_1 , h_2 , a_1 , a_2 катталиклар асосида диффузион узунлик Z_D

$$L_D th\left(\frac{d}{2L}\right) = \frac{h_2 - h_1}{h_1/a_1 - h_2/a_2} \quad (4.137)$$

формула билан ҳисобланади. Агар қарама-қарши томонларида $S_1 = S_2$ бўлса, у ҳолда намуна сиртига икки хил ишлов берилади. Икки хил ишловдан ўтган намуна фотоўтказувчанликдан топилган a_2 , a_1 катталиклар орқали Z ни

$$L_D c t h \left(\frac{d}{2L} \right) = \frac{h_2 - h_1}{h_1/a_1 - h_2/a_2} \quad (4.138)$$

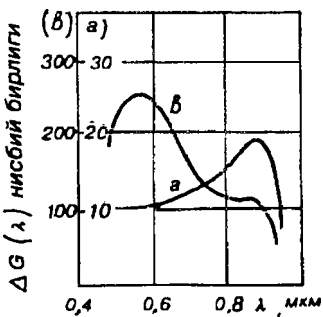
ифода билан топилади. Қалин $\frac{d}{2Z_D} \gg 1$ намуналарда икки ҳолатда ҳам

$$Z_D = \frac{h_2 - h_1}{h_1/a_1 - h_2/a_2} \quad (4.139)$$

формула билан топилади. Бу усул билан Z_D ни топишда ΔG ни мутлақ қийматини билиш шарт эмас ҳамда Z_D ни ҳисоблашга керакли маълумотлар битта тажрибадан олинади. (4.133) ва (4.134) формулалар асосида

$$\frac{\Delta G(\infty)}{\Delta G(\alpha) - \Delta G(\infty)} = \frac{\Delta P(\infty)}{\Delta P(\alpha) - \Delta P(\infty)} = \frac{D}{S} (1 + \alpha L) \quad (4.140)$$

кўринишдаги боғланишни оламиз. Ундан фойдаланиш учун тажрибада аниқланган фотоўтказувчанлик $\Delta G(\alpha)$ нинг спектрал боғланишидан $\frac{\Delta G(\infty)}{\Delta G(\alpha) - \Delta G(\infty)}$ нисбатнинг α га боғланиш графиги чизилади. Бу боғланишнинг горизонтал ўқ. билан кесишиш кесмасидан $L = -\frac{1}{\alpha}$ вертикаль ўқ билан кесишишидан $\frac{D}{SL}$ лар қиймати топилади (4.14-расм). Шундай қилиб, фотоўтказувчанликнинг спектрал боғланишидан заряд ташувчиларнинг диффузион узунлигини, агар диффузия коэффициенти маълум бўлса, сиртий рекомбинация тезлигини аниқлаш мумкин. Ёрупликнинг ютилиш коэффициентининг тўлқин узунлигига боғланиши юпқа намуналарнинг шаффофлик коэффициентидан ўлчаниши мумкин. (4.135) боғланишдан ярим-ўтказгич параметларини аниқлашда ΔG нинг $\frac{1}{\alpha}$ га боғланиш



4.14-расм. Солиштирма қаршилиги $r=150 \text{ Ом} \cdot \text{см}$ n -тип кремний намунаси зоналарида эгриланиш кичик (a) ва катта (b) бўлганида фотоутказувчанликнинг спектрал тақсимоти.

Бошқача айтганда, сиртга яқин соҳадаги ҳажмий, заряд заряд ташувчилар рекомбинациясига ва фотоутказувчанликка таъсир кўрсатмайдиган, сиртий ҳолат эса сиртий рекомбинация тезлиги билан аниқланадиган ҳолат кўрилган эди. Сиртий рекомбинация тезлигини киритишида сиртдаги заряд ташувчилар билан ҳажмдаги заряд ташувчилар орасида квазимувозанат мавжуд деган фараз ётади. Энди баъзи бир ҳолатларда намуна сирт соҳасида пайдо бўладиган энергиявий зоналар эгриланишини фотоутказувчанликнинг спектрал боғланишига таъсирини кўрайлик.

Сирт яқинида заряд ташувчилар энергиясидан катта бўлган энергиявий зоналарнинг эгриланиши сиртдаги кичик интенсивликдаги рекомбинация жараёни мувозанатнинг бузилишига ва фотоутказувчанликни сифатий ўзгаришига олиб келади. Энергиявий зоналар эгриланиши катта бўлган ҳолда фотоутказувчанликнинг люкс-ампер, спектрал, кинетик характеристикаларида муҳим ўзгаришлар кузатилади. Бу хусусиятларни заряд ташувчиларнинг квазимувозанатига асосланган фотоутказувчанликнинг назарияси билан тушунириб бўлмайди. Улар намуна сиртидаги ва ҳажмий заряд соҳасидаги заряд ташувчилар ре-

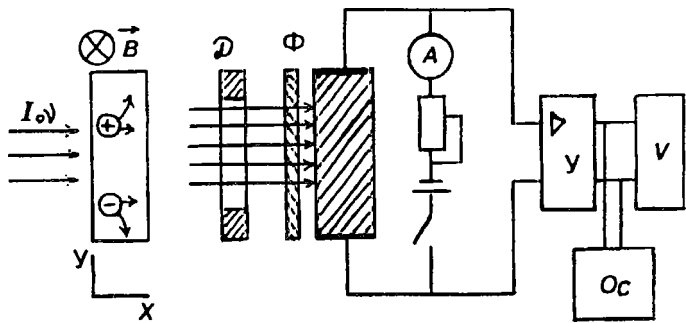
графигида унинг чизиқли боғланиш ҳамда асимптотик соҳаси мавжуд бўлишигини, α , β , R , ларни текширилаётган спектрал соҳасида тўлқин узунлигига, сиртий ишловига кучсиз боғланишда бўлишигини назарда тутиш лозим. Шуни эслатиб ўтиш жоизки, юқорида ёритилган фотоутказувчанликнинг спектрал боғланишидан яримутказгичлар параметрларини аниқлаш усули намуна ҳажмида сиртида электр нейтраллик шарти бажариладиган ҳолдаги стационар фотоутказувчанлик таҳлилига асосланган.

комбинация жараёнларини ўзгариши билан, яъни заряд ташувчиларнинг эффективия яшаш вақтининг ортиши билан тушунтирилади. Ҳажмий заряднинг электр майдон ёки энергиявий зоналарнинг эгриланишидан ҳосил бўлган потенциал тўсиқ асосий бўлган заряд ташувчиларнинг сиртга келишига тўсқинлик қиласи ва сиртда, ҳажмий заряд соҳасида рекомбинация интенсивлигини камайтиради. Бу жараёнлар заряд ташувчилар эффективия яшаш вақтини электр нейтраллик шарти ўринли бўлган ҳолга нисбатан ошиши ва фотоўтказувчанлик хоссаларига таъсир кўрсатади. Маълумки, яримўтказгич намуналарининг сиртий қатламига яқин соҳасида энергиявий зоналар эгриланиши (изгиб) сиртнинг маълум бир кимёвий ишловларидан, электр майдон таъсиридан, электролитларда кутбланишдан пайдо бўлиши мумкин. Энергиявий зоналар эгриланиши катта бўлган кремнийда фотоўтказувчанликнинг спектрал боғланишида катта ўзгариш кузатилган, хусусий ютилишнинг қисқа тўлқин узунлиги соҳасида одатдаги хусусий ютилиш чегарасида кузатиладиган максимумдан катта бўлган янги максимум пайдо бўлади (4.13, в-расм). Буни энергиявий зоналар эгриланиши мавжуд бўлганда сирт соҳасида рекомбинация тезлигининг камайишиши билан, яъни заряд ташувчилар эффективия яшаш вақтининг катталашиши билан тушунтирилади. Фотоўтказувчанлик ΔG нинг спектрал боғланиши ҳам 4.12-расмда келтирилган қурилмадан фойдаланиб ўлчанди. Бу ерда шуни назарда тутиш керакки, ҳар хил тўлқин узунликда ёки ҳар хил α га мос келган ΔG ни ўлчашда уларни бир хил интенсивликдаги ёруғлик оқимига келтиради.

$\Delta G(\lambda)$ ни ўлчаш тартиби стационар фотоўтказувчанлик ΔG ни ўлчаш тартибидан фарқ қилмайди.

4.6-§. Номувозанат заряд ташувчилар параметрларини фотоэлектромагнит ҳодисаси (Кикоин-Носков эффективи) дан фойдаланиб аниқлаш усули

Магнит майдонига жойлаштирилган яримўтказгич намунани кучли даражада ютиладиган ёруғлик оқими билан ёритилганда магнит майдони, ёруғлик оқими йўна-



4.15-расм. Фотоэлектромагнитик ҳодисасини электр юритувчи кучи (ЭЮК) ва қисқа туташув токини ўлчаш қурилмасининг схемаси. D — диафрагма; A — амперметр, B^{\oplus} — магнит майдон индукция вектори.

лишларига тик йўналишда кўндаланг электр юритувчи куч ЭЮК (кўндаланг потенциаллар айирмаси) вужудга келади. Бу ҳодиса Кикоин-Носков эффицити ёки фотоэлектромагнит ҳодисаси деб юритилади. Фотоннинг энергияси $\hbar\omega \geq E_g$ бўлган X ўқи йўналишдаги ёруғлик оқими билан намуна ёритилганда, унинг сиртий қатламида ҳосил бўлган ортиқча электронлар ва каваклар намуна ичкарисига томон X ўқи йўналишида диффузияланади. Z ўқи йўналишида магнит майдони пайдо қилинганда диффузияланувчи электронлар ва коваклар Лоренц кучи $\vec{F}_n = -e[\vec{V}\vec{B}]$; $\vec{F}_p = e[\vec{V}\vec{B}]$ таъсирида у ўқи томон ўз йўналишидан мос равишда θ_n , θ_p бурчакка (холл бурчакларига) оғадилар (4.15-расм) ва электрон, кавакнинг магнитодиффузион (холл) токлари j_{nx} , j_{py} ҳосил бўлади. Бу токлар Уўқига тик кўндаланг кесимларининг бирида мусбат, иккинчисида манфий зарядларнинг тўпланишига олиб келади. У ўқи йўналишидаги магнитодиффузион ток зичликлари j_{ny} , j_{px} нинг холл бурчаклари орқали боғланиши билан ифодаланади. Бу ерда

$$j_{ny} = j_{nx} \operatorname{tg} \theta_n; \quad j_{ny} = j_{px} \operatorname{tg} \theta_p, \quad (4.141)$$

$$\operatorname{tg} \theta_n = -\mu_{nH} B = -r_H B \mu_n; \quad \operatorname{tg} \theta_p = \mu_{pH} \cdot B = r_H \mu_p B \quad (4.142)$$

Бундаги μ_{nH} , μ_{pH} — электрон, кавакларнинг холл ҳаракатчанликлари, μ_n , μ_p дрейф ҳаракатчанликлари мос равишда $r_H = \frac{\mu_{nH}}{\mu_n}$ холл омили (унинг қиймати бирга яқин ва сочилиш механизмига боғлиқ). Электрон, ковакни тўла магнитодиффузион ток зичлиги (4.141) ва (4.142) ларга кўра

$$j_y = j_{ny} + j_{py} = r_H B (\mu_n j_{nx} - \mu_p j_{px}) \quad (4.143)$$

бўлади. X ўқи йўналишидаги диффузион токлар зичликлари ёпишиш маркази бўлмагандан ($\Delta n = \Delta p$)

$$j_{nx} = -j_{px} = -e D_{\phi} \frac{\partial \Delta n}{\partial x} = e D_{\phi} \frac{\partial \Delta p}{\partial x} \quad (4.144)$$

бўлади, чунки $j_{nx} + j_{px} = 0$ деб ҳисобланади. D_{ϕ} — эффектив диффузия коэффициенти бўлиб, магнит майдони мавжуд бўлганда

$$D_{\phi} = (n+p) \left[(1 + \theta_n^2) \frac{n}{D_n} + (1 + \theta_p^2) \frac{p}{D_p} \right]^{-1} \quad (4.145)$$

билин ифодаланади. Кучсиз магнит майдонида, оғиш бурчаги кичик бўлганда

$$\begin{aligned} \operatorname{tg} \theta_n &\approx \theta_n = r_H B \mu_n \ll 1 \\ \operatorname{tg} \theta_p &\approx \theta_p = r_H B \mu_p \ll 1 \end{aligned}$$

бўлади. Бу ҳолда эффектив диффузия коэффициенти бикутбий диффузия коэффициентига тенг бўлади, яъни у $B=0$ ҳолидаги қийматига тенг бўлади. Масалан, P — типли яримўтказгичда $p \gg n$ бўлгани учун (4.145) дан, $D_{\phi} = D_n$ n — типда $n \gg p$ бўлгани учун (4.145) дан $D_{\phi} = D_p$ бўлишларини кўрамиз. (4.143) га (4.144) ни қўйсак, тўла магнитодиффузион ток зичлигининг ифодаси

$$j_y = j_{ny} + j_{py} = -r_n e B D_{\phi} (\mu_n + \mu_p) \frac{\partial p}{\partial x} \quad (4.146)$$

кўриниши олади. Намуна ён сиртларида сиртий рекомбинация тезлиги кичик, бинобарин, ён сиртлардаги рекомбинацияни ҳисобга олмаслик мумкин деб фараз қиласак, заряд ташувчиларнинг ортиқча концентрацияси фақат X нинг функцияси бўлади. Шунинг учун (4.146) ни

$$j_y = -r_H e B \cdot D_{\text{эф}}(\mu_n + \mu_p) \frac{\partial \Delta p(x)}{\partial x} \quad (4.147)$$

кўринишида ёзиш мумкин. Занжир узуқ бўлганда тўла магнитодиффузион ток J фэм ифодаси

$$I_{\text{фэм}} = b \int_0^d j y dx = -er_H b B D_{\text{эф}}(\mu_n + \mu_p) [\Delta p(t) - \Delta p(d)] \quad (4.148)$$

кўринишида бўлади. Мувозанат шароитида бу ток ташки занжирда фотомагнитик электр юритувчи куч (ЭЮК)нинг ҳосил қиладиган тўла ўтказувчаник (қисқа туташув) токи I_G га тенг бўлади. Агар фотомагнитик ЭЮК ни $U_{\text{фэм}}$ билан, тўла ўтказувчаникни $G = G_0 + \Delta G$ билан белгиласак, у ҳолда қисқа туташув фототокининг ифодаси

$$I_G = U_{\text{фэм}} G = U_{\text{фэм}} (G_0 + \Delta G) = -I_{\text{фэм}} \quad (4.149)$$

кўринишида бўлади. Намунанинг мувозанатдаги (қоронфиксикдаги) ўтказувчанилиги $G_0 = \frac{1}{R_0} = \sigma_0 \frac{bd}{a}$ бўлади. Фото- ўтказувчаник ΔG электронейтраллик шарти $\Delta n = Dp$ бажарилганда (4.113) га кўра

$$\Delta G = \frac{be(\mu_n + \mu_p)}{a} \int_0^d \Delta p(x) dx \quad (4.150)$$

билан ифодаланади. G_0 ва ΔG ларнинг ифодаларини (4.149) га қўйиб, аниқланган $U_{\text{фэм}}$ ифодаси

$$U_{\text{фэм}} = \frac{r_H a B D_{\text{эф}} e (\mu_n + \mu_p) [\Delta p(0) - \Delta p(d)]}{\sigma_0 d + e(\mu_n + \mu_p) \int_0^d \Delta p(x) dx} \quad (4.150)$$

кўринишида бўлади. Кучсиз магнит майдонида ($\mu^2 B^2 \ll 1$) ўзгаришлар фақат бир X ўқи йўналишида содир бўлганда

кавакнинг узлуксизлик тенгламаси (4.118) кўринишда бўлади. Унинг сиртларида ўринли бўлган чегаравий шартлар (4.120) ни қаноатлантирувчи ечими ёруғликни кучли даражада ютилиши кузатилганда $\alpha d \gg 1$ ва намуна қалин $d \gg L_p$ бўлса,

$$\Delta p(x) = \frac{\alpha I_v \beta (1 - R_v) \tau_p}{h\nu} \left[\frac{\alpha^2 L}{L + S\tau_p} e^{-\frac{X}{2p}} - e^{-\alpha X} \right] \quad (4.151)$$

кўринишда бўлади. Қалин намунада ёритилмаётган сиртда $\Delta p(d)=0$ деб олиш мумкин. У ҳолда қисқа туташув токи $I_{\phi_{\text{эм}}}$ (4.148) $\Delta p(0)$ билан аниқланиб,

$$J_{\phi_{\text{эм}}} = \frac{e(\mu_n + \mu_p) \beta B (1 - R_v) \alpha L}{h\nu \left(\frac{SL}{D} + 1 \right) (\alpha L + 1)} \quad (4.152)$$

кўринишга келади. Ютилиш коэффициенти ортиб бориши билан $\alpha L \gg 1$ тенгсизлик ўринли бўла бошлагандага қисқа туташув токи (4.152) ютилиш коэффициентига боғлиқ бўлмаган доимий қийматга интилади:

$$I_{\phi_{\text{эм}}} = eB(\mu_n + \mu_p) \frac{I_v \beta (1 - R_v)}{h\nu} eB(\mu_n + \mu_p) \frac{Z}{(1 + SZ/D)} \quad (4.153)$$

Намунанинг сирт рекомбинацияси тезлиги кичик $S \ll \frac{D_p}{L_p}$ ва паст даражали уйғотиш $\Delta n, \Delta p \ll n_0, p_0$ ёки $\Delta G \ll G_0$ да (4.153) ифода

$$I_{\phi_{\text{эм}}} = e(\mu_n + \mu_p) B \frac{I_v \beta (1 + R_v)}{h\nu} L \quad (4.154)$$

кўринишни олади. Намунанинг сирт рекомбинацияси тезлиги катта $S \gg \frac{D_p}{L_p}$ бўлганда,

$$I_{\phi_{\text{эм}}} = e(\mu_n + \mu_p) B \frac{I_{ov} \beta (1 - R_v)}{h\nu} \cdot \frac{D}{S} \quad (4.155)$$

бўлишлигини кўрамиз. Тажрибада ўлчанган қисқа туташув токи бўйича диффузион узунликни аниқлашда (4.153) ва (4.154) формулалар қўлланилади. L ни аниқлашда, $I_{\text{фэм}}$, B ларни ўлчашдан ташқари, заряд ташувчиларнинг ҳаракат-чанликларини, ёруғлик интенсивлигини ва бошқа катталикларни бошқа тажрибалардан топишга ёки адабиёт ман-баларидаги натижалардан фойдаланишга тўғри келади. Агар заряд ташувчилар яшаш вақти ва сирт рекомбина-цияси тезлиги доимий катталиклар бўлса, (4.154) формула юқори даражали инжекция Δn , $\Delta p \gg n_0$, p_0 да ҳам ўрин-ли бўлади. Кучли даражали инжекция Δn , $\Delta p \gg n_0$, p_0 да диффузия коэффициенти (4.145) ни заряд ташувчилар-нинг концентрациясига боғлиқлиги тўхтайди:

$$D = \frac{2 D_n D_p}{(1 + \theta_n^2) D_n + (1 + \theta_p^2) D_p} \quad (4.156)$$

Шуни назарда тутиш керакки, юқори даражали инжек-цияда (4.154) формула билан аниқланган диффузион узун-лик бир қийматли маънога эга бўлади, қачонки намуна-нинг исталган нуқтасида, ёритилмаётган сирти яқинида ҳам Δn , $\Delta p \gg n_0$, p_0 бўлса. Акс ҳолда уйготиш даражаси бўйича ўрталаштирилган қандайдир қийматни беради, энди $I_{\text{фэм}}$ ни спектрал боғланишдан яримўтказгич па-метрларини аниқлашни кўрайлик. Фотомагнитик ток $I_{\text{фэм}}$ нинг спектрал боғланишини (4.152) ва (4.153) ифодалар асосида таҳлил қилиш мумкин. Ёруғликнинг хусусий ютилиш чегарасида ёруғлик тўлқин узунлигининг камай-иб бориши билан ютилиш коэффициенти ортади ва фотомагнитик токнинг ўсишига олиб келади. Лекин фото-ўтказувчанликка нисбатан фотомагнитик токнинг ўсиши катта фототок энергиясида бошланади ва тикроқ бўлади. Фотомагнитоэлектрик ҳодисасининг пайдо бўлиши учун нафақат заряд ташувчиларнинг генерацияланиши, балки яна улар концентрациясининг градиенти пайдо бўлиши керак. Бу фақат ёруғлик намуна сирт соҳасида ютилган ҳолдагина кузатилади. (4.152) ва (4.153) формулалардан кўринадики, ҳар қандай сирт рекомбинацияси тезлигида $\alpha L = 1$ да қисқа туташув токи $\alpha \rightarrow \infty$ даги қийматидан икки марта кичик бўлади. Фотоўтказувчанликнинг, $I_{\text{фэм}}$ дан

фарқли ўлароқ, икки марта камайиши бошқа параметрларга боғлиқ бўлган αL ни қийматида кузатилади. Тўлқин узунлиги ўзгариши билан ютилиш коэффициентининг катта ўзгарадиган спектр соҳасида қайтиш коэффициенти R_ν , квант чиқиш коэффициенти тўлқин узунлигига кучиз бўғланган. (4.152) формуладан

$$\frac{1}{I_{\text{фэм}}} = \frac{(1 + SL/D)}{e(\mu_n + \mu_p)BL} \frac{\hbar\nu}{\beta I_0(1 - R_\nu)} \left(1 + \frac{1}{L} \cdot \frac{1}{\alpha}\right) \quad (4.157)$$

боғланишни оламиз. Ундан кўринадики, $\frac{1}{I_{\text{фэм}}}$ билан $\frac{1}{\alpha}$ орасидаги боғланиш чизиқли бўлади. Тажрибадан олинган натижаларнинг $I_{\text{фэм}} \left(\frac{1}{\alpha}\right)$ кўринищдаги графигини чизиб, горизонтал, абсцисса ўқлари билан кесишгунча давом эттирилади ва у горизонтал ўқни кесишидан ($L = \frac{1}{\alpha}$) топилади. Фотоэлектромагнит токи $I_{\text{фэм}}$ нинг спектрал боғланишидан диффузион узунликни ўлчаш усули фотоўтказувчанликнинг спектрал боғланишидан ўлчаш усулига нисбатан аниқроқ натижা беради, чунки ютилиш коэффициенти катталаши билан $I_{\text{фэм}}$ тез тўйинади ва $I_{\text{фэм}}(\alpha^{-1})$ боғланиши (4.157) α ни катта ўзгариш соҳасида чизиқли бўлади. Энди $U_{\text{фэм}}$ ни ўлчашга асосланган усулни кўрайлик. Қалин $d \gg L$ намуна учун, кичик сирт рекомбинацияси тезлиги $S \ll \frac{D}{L}$ да, паст даражали инжекция $\Delta G \ll G_0$ ёки Δp , $\Delta n \ll n_0$, p_0 да ёруғликнинг кучли ютилиши соҳаси $\alpha L \ll 1$, $\alpha d \ll 1$ да (4.150) формула

$$U_{\text{фэм}} = \frac{e(\mu_n + \mu_p)Ba}{\sigma d} \frac{\beta I_\nu(1 - R_\nu)}{\hbar\nu} L \quad (4.158)$$

кўринишига келади. Агар юқори даражали уйғотища фотоўтказувчанлик ΔG мувозанатдаги ўтказувчанлик G_0 дан катта $\Delta G \gg G_0$ бўлса, кучли ютилиш соҳасида $\alpha L \gg 1$ бўлганда (4.150) формула

$$U_{\phi_{\text{эм}}} = \frac{aBD}{L} = \frac{aBD}{\sqrt{D\tau}} \quad (4.159)$$

билин ифодаланади. Намуна юпқа $d \ll L$ бўлганда сиртий рекомбинация тезлигининг жуда катта бўлмаган қийматида аниқланади. Бу ифодалар ҳар хил шароитда ўлчанган $U_{\phi_{\text{эм}}}$ қиймати бўйича яримўтказгич параметрларидан τ , L , S ни аниқлаш имконини беради. Шуни таъкидлаш керакки, (4.150) формула бўйича аниқланган сиртий рекомбинация тезлиги $S_1 \neq S_2$ да ёритилмаган сиртники бўлади. Амалиётда заряд ташувчилар яшаши вақтини аниқлашда фотомагнитик ток ва фотоўтказувчаникни, аниқроғи, улар нисбатини аниқлашга асосланган усул кўпроқ қўлла-нилади. Намуна ёритилиб, унда сиртий генерация содир бўлганда, яъни $aL \gg 1$, $ad \gg 1$, $a \gg \frac{S}{D}$ тенгсизликлар ўринли бўлганда (4.134) ва (4.154) формулаларга кўра $I_{\phi_{\text{эм}}} / \Delta G$ нисбат

$$\frac{I_{\phi_{\text{эм}}}}{\Delta G} = B \frac{L}{\tau} = B \left(\frac{D}{\tau} \right)^{\frac{1}{2}} \quad (4.160)$$

билин ифодаланади. Бу формулага генерация тезлигини аниқловчи катталиклар (β , I_s , R_s) кирмаган. Тажриба ўтка-зиш нуқтаи назаридан бу бирмунча кулай, чунки ёруғлик интенсивлигининг мутлақ қийматини ўлчашиб, квант чи-қиши коэффициентини билиш талаб этилмайди. Бундан ташқари, у сиртий рекомбинация тезлигига боғлиқ эмас. Шунинг учун бу ифодани ҳар қандай ишловдаги намуна-га қўллаш мумкин. Юпқа намуналар учун $Z > \frac{D}{S} \gg \frac{d}{2}$ тен-гсизлик ўринли бўлганда

$$\frac{Z_{\phi_{\text{эм}}}}{\Delta G} = \alpha B S \quad (4.161)$$

садда бўлиб, у намунанинг ёритилмаган сиртидаги нис-бат сиртий рекомбинацияни аниқлашга имкон беради. Фотоэлектромагнитик эфектининг электр юритувчи

кучи $U_{\text{фэм}}$ ни ва қисқа туташув токи $I_{\text{фэм}}$ ни ўлчаш қурилмасининг чизмаси 4.15-расмда келтирилган. Ёруглик манбаидан ёруглик оқими, (монохроматик) фокусловчи оптик система ОС ва фильтр Ф орқали намунага ўналтирилади. Тўғри бурчакли пластина шаклидаги намуна ўзгармас ток манбай ТМ ўзгарувчан қаршилил ва миллиамперметр mA дан иборат электр занжирга уланади. Ёруглик интенсивлиги кичик частоталарда модуляцияланади. Намунадан фототок ва фотомагнитик ток ўтишидан ҳосил бўлган ўзгарувчан кучланиш селектив кучайтиргич билан кучайтирилади ва вольтметр ёки осциллограф билан қайд қилинади. Қисқа туташув токини ўлчаётганда ташки кучланиш нолга тенг бўлади. Агар намуна қаршилиги шунчалик кичик бўлса, қисқа туташув шартини бажариш мумкин бўлмаса, у ҳолда фотомагнитик ЭЮК ўлчанади ва магнит майдонда жойлаштирилган намуна ўтказувчанилиги ўлчанади ва қисқа туташув токи

$$I_{\text{фэм}} = U_{\text{фэм}} \cdot G \quad (4.161,6)$$

дан топилади. $I_{\text{фэм}}$ ва $U_{\text{фэм}}$ ларни ўлчаща мадомики жараёнларнинг стационарлик шарти назарда тутилар экан, ёругликнинг модуляция частотаси шундай бўлиши керакки, фотомагнитик ЭЮК импульс давомийлиги ичидаги вақтда мувозанат ўрнатилишига, импульслар орасидаги вақтда нольга тушиб улгириши керак. (4.160) ва (4.161) муносабатлар асосида τ , L , S ларни аниқлашда фотомагнитик токни ўтказувчанликнинг фототоки билан компенсация қилиб, ўлчаш усули тажрибада бирмунча кулайлик туғдиради. Бу усул билан ўлчаш тартибини кўрайлик. Интенсивлиги модуляция қилинган ёруглик билан ёритилган намунадан оқаётган ток ўтказувчанлик ва қисқа туташув токлари йифиндисидан иборат бўлади:

$$I = I_{\text{фэм}} + U(\Delta G + G_0) \quad (4.162)$$

$U\Delta G$ ёруглик интенсивлигига боғлиқ бўлган намуна фототказувчанилиги токи (фототок). Унинг ёруглик оқимининг модуляция частотаси билан ўзариши фотомагнитик ток $I_{\text{фэм}}$ каби бўлади. Ташки кучланиш ишораси ва катталигини шундай танлаш керакки, фототок билан қисқа туташув токини компенсациялаш мумкин бўлсин, яъни:

$$I_{\phi\text{эм}} + U \cdot \Delta G = 0 \quad (4.163)$$

Шундай қилиб, $\frac{I_{\phi\text{эм}}}{\Delta G}$ нисбатни аниқлаш учун намунадан оқаётган токнинг ўзгарувчан ташкил этувчиси нольга тенг бўлгани ҳолда намунага қўйилган ўзгармас компенсация кучланишини ўлчаш керак. Кичик ёруғлик интенсивлигига ва кучсиз магнит майдонида компенсация кучланиши U_H фотомагнитик ЭЮК дан анча катта бўлади:

$$\frac{U_K}{U_{\phi\text{эм}}} = \frac{G_0 + \Delta G}{\Delta G} = 1 + \frac{G_0}{\Delta G} \quad (4.164)$$

Ёруғликнинг катта интенсивлигига компенсацияловчи кучланиш фотомагнитик ЭЮК га яқин бўлади. Одатда, фотомагнитик ЭЮК кичик, бирқанча ҳолларда $10^{-8} : 10^{-9}$ В ва ундан кичик бўлиши мумкин. Шу сабабли, уни ўлчашда юқори даражада бир жинсли бўлган намуна танлаш ҳамда магнит майдони бўлмагандага намунани ёритганда ҳажмий фото ЭЮК йўқлигини текшириш керак. Фотоэлектромагнит эфекти заряд ташувчилар яшаш вақтини кенг оралиқда 10^{-4} дан то 10^{-9} с 30—35% хатолик билан аниқлашда қўлланилади. Бу усул, асосан A_3B_5 ва A_2BB бирикмаларда номувозанат заряд ташувчиларнинг кичик яшаш вақтини аниқлашда қўлланилади. A_3B_5 ва A_2B_6 бирикмаларда бу усулни чекловчи омиллар бўлиб, уларга оддий яримўтказгичларга нисбатан катта концентрацияли ёпишиш марказларининг ҳамда сирт қатламидаги ҳажмий заряд соҳасининг таъсирини кўрсатиш мумкин.

4.7 §. Яримўтказгич параметрларини номувозант заряд ташувчилар тақсимотидан (тўғридаи-тўғри) фойдаланиб аниқлаш усуллари

Ёруғлик зондининг қўзғатиладиган усули

Бу усул намунани узун, энсиз (ингичка) фотон энергияси $\hbar\omega \geq E_g$ бўлган ёруғлик зонди билан ёритилганда генерация, рекомбинация ва диффузия жараёнларидан юзага келган номувозанат заряд ташувчилар тақсимотини

ўрганишга асосланган бўлиб, у асосан асосий бўлмаган заряд ташувчилар диффузион узунлигини ўлчаща қўлла-нилади. Бунинг учун намуна сиртига металл зонд (тўғриловчи нуктавий контакт-коллектор) ўрнатилади ёки пла-нар технология билан кичик юзали p - n ўтиш, шоттки тўсиги (баръери) олинади ва унга ёпувчи йўналишда тес-кари кучланиш берилади. Намуна остига ёки ён сиртига юзаси катта омик контакт олинади. Намунада ёруғлик таъсирида генерацияланган заряд ташувчилар намуна сирти бўйлаб, ички томон бўйлаб диффузияланади ва бу контактларга етиб келиб, биринчи яқинлашишда асосий бўлмаган заряд ташувчилар концентрациясига пропор-ционал бўлган фототокни ёки фото ЭЮК ни ҳосил қила-ди. Демак, фототокни ёки фото ЭЮК ни ёруғлик зонди билан коллектор контакти орасидаги ҳар хил масофа X да ўлчанганд қийматлари $\Delta p(x)$ нинг тақсимотини ифодалайди. Кўрилаётган усулининг назарияси ёруғлик зонди билан генерацияланган заряд ташувчилар концентраци-яси $\Delta p(x)$ нинг тақсимотини аниқловчи ифодасини то-пишга асосланган. Бунинг учун намуна n -тип бўлсин, яримчексиз (жуда қалин) унинг бир томони ясси сирт-дан иборат ва ёруғлик зонди энсиз, чексиз узун (ингич-ка) бўлсин, деб фараз қилинган ҳолни кўрайлик. Агар ёруғлик зонди ён сиртларидан (2 : 3) L дан катта бўлган масофада жойлашган бўлса, ён сиртлардаги рекомбина-цияни ҳисобга олинмайди ва масала бир ўлчамли бўлади. Бу ҳолда номувозанат асосий бўлмаган заряд ташувчилар (кавак) тақсимоти цилиндрик симметрия бўйича содир бўлади. Шунинг учун узлуксизлик тенглама (4.118) нинг цилиндрик координата системасида

$$\frac{1}{r} \frac{d}{dr} \left(r \frac{d\Delta p}{dr} \right) - \frac{\Delta p}{r_p D_p} + \frac{\alpha \beta I_\nu (1 - R_\nu) e^{-\alpha r}}{h\nu D_p} = 0 \quad (4.165)$$

кўринишда бўлади. Бу ерда r ёруғлик зонди (чизифи)дан коллектор контактигача бўлган (масофа) цилиндр радиуси. (4.165) тенгламанинг ечими нолинчى тартибдаги мав-хум аргументли Ханкел функцияси билан ифодаланади.

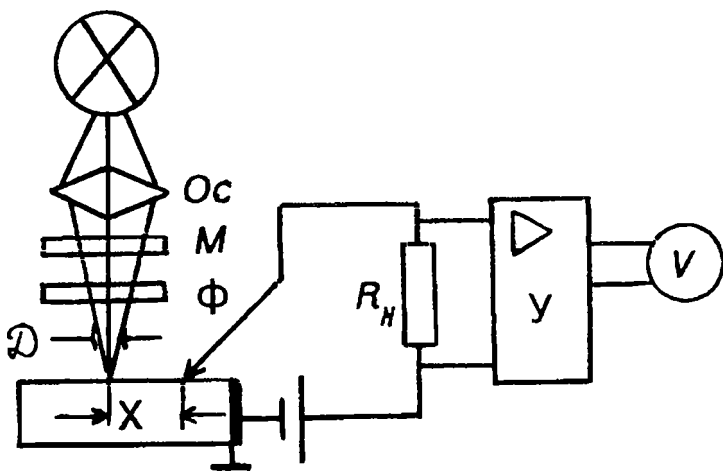
$$\Delta p(r) = \Delta p(0) i H_0'(ir/Z) \quad (4.166)$$

Масалани умумий ҳолда, яъни ёруғлик зонди маълум бир чекли ўлчамларга эга (узунлиги l , эни W) бўлган ҳол деб қаралганда, ҳисоблашларнинг кўрсатишича, координата r нинг $5w < r < \frac{l}{4}$ оралиғида умумий ечимининг апроексимацияси ҳам (4.166) билан ифодаланади. r/L ни катта қийматларида Ханкел функцияси ўша аргументнинг экспоненциал функциясига ўтади. Координата боши ёруғлик зонди билан кўзғалгани учун намуна сиртида $r = x$ деб қараб, қалин $d \gg L$ яримчексиз намуна учун x ни $5w < r < \frac{l}{4}$ оралиқдаги қийматлари учун (4.166) формула

$$\frac{\Delta p(x)}{\Delta p(0)} = \frac{\exp(x/L)}{\sqrt{(x/L)}} \quad (4.167)$$

(4.167) кўринишни олади. Юпқа намуна $d \gg L$ учун эса номувозанат заряд ташувчилар концентрациясининг тақсимоти

$$\Delta p(x) = \Delta p(0) \exp\left(-\frac{x}{Z}\right)$$



4.16-расм. Асосий бўлмаган заряд ташувчилар диффузион узунлигини ўлчаш қурилмаси схемаси: (Вальдес усули): D — диафрагма; K — металл зонд — коллектор контакти; R_H — юклама қаршилиг; Y — қўчайтиргич; V — вольтметр.

бўлади. X нинг ҳар хил қийматларини олиш учун ёруғлик зонди коллектор контактига нисбатан кўзғатилади (силжитилади) ва ўлчаш вақтида ёруғлик зонди тинч ҳолатда туради. Диффузион узунлик L ни ўлчаш қурилмаларидан бирининг чизмаси 4.16-расмда келтирилган. Ёруғлик манбаидан ёруғлик оқими фокусловчи оптик система OC , фильтр Φ , модулятор M , тирқишили диафрагма D орқали намунага тушади. Тирқишили диафрагма D ёрдамида ёруғлик зондининг кенглигини $50 \div 500$ мкм оралиқда ўзгартириш мумкин. Интенсивлиги бўйича модуляцияланган ёруғлик чети сектор шаклида қирқїлган ёки доира шаклида тешикли дискни айлантириш билан ҳосил қилинади. Модуляцияланган ёруғликни қўллаш катта коллектор токидан номувозанат заряд ташувчилар диффузияси туфайли, юзага келган кичик қисм фототокни қайд қилиш имконини беради. Ёруғликнинг импульсли модуляциясида импульснинг давомийлиги, частотаси ҳамда интенсивлиги синусоида бўйича ўзгарувчи ёруғликнинг модуляция частотаси номувозанат заряд ташувчилар концентрациясининг стационарлик шартидан танланади. Импульсли модуляцияда импульснинг давомийлиги t_u куйидаги тенгсизликни

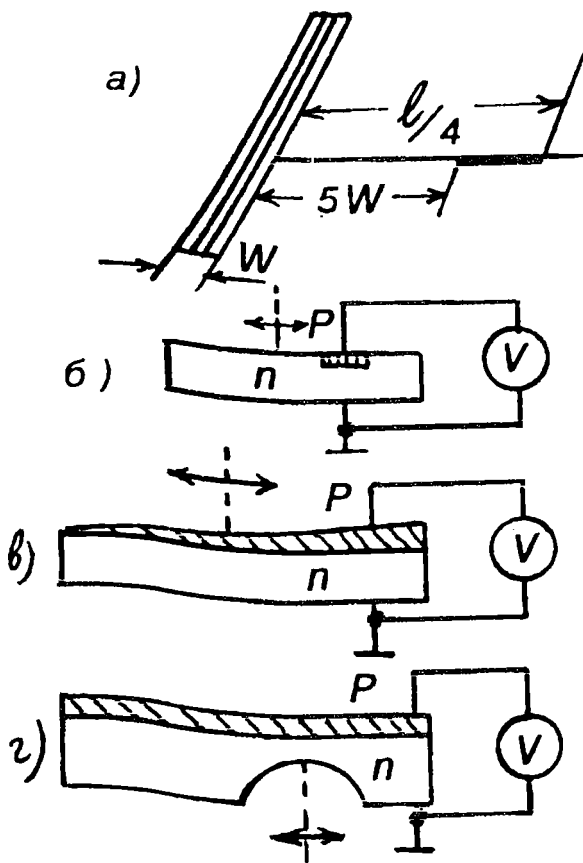
$$t_u \gg \pi r \text{ ва } t_u > \frac{r^2}{4D}; \quad t_u > \frac{r}{(D/r)^{\frac{1}{2}}}$$

қаноатлантириши керак. Ёруғлик оқимининг модуляция частотаси $50 \div 300$ Гц тартибида бўлади. Модуляция частотаси $\frac{1}{\tau}$ га нисбатан анча кичик бўлиши керак. Юқорида таъкидланганига кўра, коллектор контактига тескари йўналишдаги кучланиш қўйилади ва коллектор занжирига уланган юклама қаршилик R_H дан кучланишнинг ўзгарувчан ташкил этувчиси орқали фототок ўлчанади.

R_H дан ўзгарувчан кучланиш тушуби селектив кучайтиргич орқали кучайтирилади ва синхрон детектор ва вольтметр орқали қайд қилинади. Синхрон детекторни қўллаш қурилманинг ўлчаш сезигирлигини оширади. Ярим-ўтказгич намуна кристалл тутгичга қотирилади ва манипулятор (микрометр) билан ёруғлик зондига нисбатан коллектор контактининг ҳолати ўзгартирилади. Металл

зонд намунанинг исталган жойига ўрнатилиши мумкин ва у намуна билан бирга силжийди. Курилманинг шовқин даражасини камайтириш учун контактнинг турғунлигини ошириш учун контактта ток импульси билан ишлов берилади. Ток импульсининг амплитудаси керакли сигнал-шовқин нисбатига эришгунча ошириб борилади. Ўлчанаётган сигнал катталиги шовқин кучланишига яқинлашгунча ёки (4.166) ифодани кўллаш шарти бузилгунча давом этади. Бу усул, асосан германий намуналарида диффузион узунликни ўлчашда қўлланилган, чунки германийда L анча катта, бундан ташқари, қисиладиган металл зонд билан потенциал тўсиқли контактни олиш нисбатан енгил. Бу усулни кремний намуналарида сирт рекомбинация катта, шовқин даражаси юқори, коллектор контактида ВАХни ноцизигий бўлиши, сирт яқинида инверсион қатлам (ҳосил) вужудга келиши туфайли кремнийда L ни ўлчашда кенг қўлланилмаган. L ни ўлчашда иложи борича сирт рекомбинацияни ҳар хил ишловлар билан камайтириш керак. Масалан, германийни $M10$ ва $M14$ сайқалловчи кукунларда сайқаллаш ва 30% ли H_2O_2 (водород пероксидида) кимёвий ишлов бериш тавсия этилади. Агар p -тип германийда ўлчаш ўтказиладиган бўлса, вольфрам зонди p -типпа эса кумуш қотишмасининг зонди ишлатилади. Бу усул асосий бўлмаган заряд ташувчилар диффузион узунлигини 0,1 дан то бир неча миллиметргача бўлган оралиқда 15—20% хатолик билан ўлчашга имкон беради. Тор зонали яримўтказгич бирикмалари A_3B_5 да кичик диффузион узунликларни ўлчаш учун планар технология билан олинган $p-n$ ўтишли ёки шоттки тўсиқли намуналар тайёрланади. Қўзғалувчан зонд усулiga 4.17 б, в, г-расмда келтирилган ҳолларни ҳам кўрсатиш мумкин. Бу ҳолда асосий бўлмаган заряд ташувчилар коллектори вазифасини $p-n$ ўтиш ўтайди. Ёруглик зонди бир томонга нишаб ёки шар шлифлари бўйича қўзғатилади. Бу усулларда заряд ташувчиларнинг $p-n$ ўтишини йиғишиш коэффициенти

$$Q_n + Q_p = \frac{I_{\text{кст}}}{\langle I_{\text{кст}} \rangle_{\text{max}}}$$



4.17-расм. Диффузион узунликни кўзгалувчан ёруғлик (электрон) зонди билан ўлчаш усууллари: а) Вальдес усули билан ўлчаш соҳаси; б) р-п ўтишни; в) нишаб сферик сиртларни қўллаш усууллари.

диффузион узунликка, ёруғликни ютиш коэффициентига ва S/D нисбатга боғлиқ. Назарий ҳисоблашларнинг кўрсатишича, шлиф сиртидан то p - n ўтишгacha бўлган етарлича катта (диффузион узунлик L га нисбатан) масофа $x > x_{kp}$ да $x_{kp} \alpha > 1$, $x_{kp} > L_p$ ва $\alpha L > 1$ тенгсизлик ўринли соҳада йиғиш коэффициенти $\exp\left(-\frac{x}{L}\right)$ ҳад билан аниқланади.

$$Q = \frac{I_{\text{кн}}}{(I_{\text{кн}})_{\max}} \sim \exp\left(-\frac{x}{Z}\right)$$

боғланишнинг оғишидан диффузион узунликни

$$L = \frac{\Delta X}{\ln(I_{\text{кн}}/(I_{\text{кн}})_{\max})}$$

орқали топилади. Агар коллектор токи Δp катталик билан начизигий боғланған бўлса, доимий (ўзгармас) фототок усули қўлланилади. Бу ҳолда номувозанат заряд ташувчиларнинг генерацияланиш соҳасида концентрация $\Delta p(0)$ ёруғлик интенсивлигига чизиқли боғланған деб фараз қилинади. У вақтда

$$AI_{0\nu} \exp\left(-\frac{x}{Z}\right) = \text{const}$$

бўлади. Шундай қилиб, ҳар хил масофада бир хил ўзгармас коллектор фототокини таъминловчи ёруғлик интенсивлигини билиб, L ва τ ларни топиш мумкин. Масалан, иккита масофада бир хил фотосигналларни ҳосил қилувчи $I_{0\nu 1}$ ва $I_{0\nu 2}$ ёруғлик интенсивликларининг қийматини билган ҳолда

$$AI_{0\nu 1} e^{-\frac{x_1}{Z}} = AI_{0\nu 2} e^{-\frac{x_2}{Z}} = \text{const} \quad (4.173)$$

ифодадан диффузион узунлик $L = \frac{X_2 - X_1}{\Delta \ln\left(\frac{I_{0\nu 1}}{I_{0\nu 2}}\right)}$ билан топи-

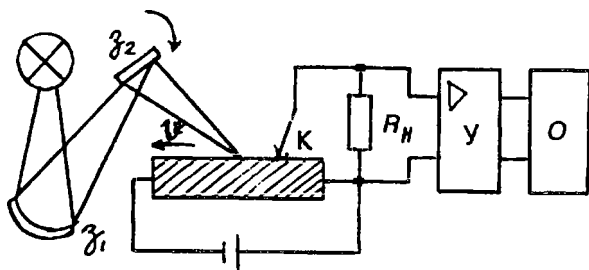
лади. Δp ёки $\ln I_{0\nu}$ ларни х га боғланишининг оғишидан L ни бу усул билан аниқлашда ҳеч қандай қўшимча параметрларни билиш талаб этилмайди. τ ни аниқлаш учун D ни билиш талаб қилинади. Амалиётда ёруғлик зондининг қўзғалувчан усули билан диффузион узунликни $L > 50$ мкм соҳада ўлчаш мумкин. Диффузия коэффициенти $D = 40$ см²/с n -тип кремнийда, яшаш вақтининг $\tau = 10^{-6}$ сек қий-

мати түғри келади. Кейинги йилларда ёруғлик манбаи сифатида лазер нурларидан фойдаланилмоқда, фокусловчи оптик тизим сифатида микроскоп (масалан, МБИ-11) кўлланилади.

6. Ёруғлик нури (зонди)нинг ҳаракатланувчи усули

Яримўтказгичлар параметрларини ўлчашнинг бу усули намуна ясси сирти бўйлаб ўзгармас тезлик V билан ҳаракатланувчи фотон энергияси $\hbar\omega \geq Eg$ бўлган узун, ингичка ёруғлик (зонди) нури генерациялаган асосий бўлмаган номувозанат заряд ташувчиларнинг тақсимоти $\Delta p(x, y, z, t)$ ни ўрганишга асосланган. $\Delta p(x, y, z, t)$ ни тескари кучланиш берилган, тўғриловчи яримтўтказгич-металл нуқтавий контакти (зонди) ёки кичик юзали $p-n$ ўтиш, шоттки тўсиги орқали қайд қилинади (4.18-расм).

Ёруғлик зондидан ҳосил бўлган номувозанат заряд ташувчилар намунанинг ёритилмаган қисмига диффузияланади. Ёруғлик зондининг ҳаракатланиши туфайли, заряд ташувчиларнинг фазодаги тақсимоти намуна бўйлаб ёруғлик зонди билан кўчуб юради. $\Delta p(x, y, z, t)$ нинг назарий ифодасини аниқлашда яримтўтказгич намунаси n -тип бўлсин, унинг бўйи (a), эни (b) қалинлиги d дан катта $a > b \gg d$ бўлсин, деб оламиз. У ҳолда намуна ён сиртларида рекомбинация ҳисобга олинмайди ва номувозанат заряд ташувчилар концентрацияси фақат икки x, z координаталар ҳамда вақт функцияси бўлади. Намуна-нинг ёритилмаган соҳасида генерация тезлиги $g = 0$ бўлгани учун, асосий бўлмаган заряд ташувчилар концентра-



4.18-расм. Номувозанат заряд ташувчилар параметрларини ҳаракатланувчан ёруғлик зонди усули билан ўлчаш курилмасиннинг схемаси.

циясининг намуна қоронғи қисмидаги тақсимоти Δp (x, z, t)

$$\frac{\partial \Delta p}{\partial t} = D_p \operatorname{div}(\operatorname{grad} \Delta p) - \frac{\Delta p}{\tau_p} \quad (4.174)$$

узяуксизлик тенгламанинг

$$\begin{aligned} D_p \left. \frac{\partial \Delta p}{\partial z} \right|_{z=0} &= -S \Delta p \\ D_p \left. \frac{\partial \Delta p}{\partial z} \right|_{z=d} &= S \Delta p(d) \end{aligned} \quad (4.175)$$

чегаравий шартларни қаноатлантирувчи ечими орқали топилади. Ёрглик зонди билан бирга ҳаракатланувчи координата системасида

$$\begin{aligned} \xi &= x + vt \\ \eta &= z \end{aligned} \quad (4.176)$$

номувозанат заряд ташувчиларнинг тақсимоти вақтга боғлиқ бўлмайди, яъни стационар бўлади. (4.174) тенглама янги координата системасида ўзгарувчанларни ажратиш усули орқали ечилади, сўнг қўзғалмас координата системасига ўтилади. (4.174) тенгламанинг қўзғалмас координата системасида ёрглик нурининг ўнг томонидаги ечими

$$\Delta p(x, z, t) = C_1 \exp\left(-\frac{x}{l_1}\right) \exp\left(\frac{vt}{l_1}\right) \left(\frac{S_2}{D_4} \sin \alpha_1 z + \cos \alpha_1 z \right) \quad (4.177)$$

ёрглик нурининг чап томонида

$$\Delta p(x, z, t) = C_2 \exp\left(-\frac{x}{l_2}\right) \exp\left(\frac{vt}{l_2}\right) \left(\frac{S'_2}{D\alpha_2} \sin \alpha_2 z + \cos \alpha_2 z \right) \quad (4.178)$$

кўринишда бўлади. C_1 , C_2 — интеграллаш доимийлари

$$l_1 = \left\{ \left[\left(\frac{v}{2D_p} \right)^2 + L_{a1}^{-2} \right]^{\frac{1}{2}} + \frac{v}{2D_p} \right\}^{-1} \quad (4.179)$$

$$l_2 = \left\{ \left[\left(\frac{v}{2D_p} \right)^2 + L_{a1}^{-2} \right]^{\frac{1}{2}} - \frac{v}{2D_p} \right\}^{-1}$$

$$l_1 \cdot l_2 = L_{a1}^{-2}$$

Z_{a1} ва α_1 катталиклар

$$\frac{1}{D_p \tau_p} = \frac{1}{L_p^2} = Z_{a1}^{-2} - \alpha_1^2 \quad (4.180)$$

ифода билан боғланган. Интеграллаш доимийларини то-пишда (4.175) чегаравий шартларни қўллаш

$$\left(D_p \alpha + \frac{S^2}{D_p \alpha} \right) \operatorname{tg} \alpha d = 2S \quad (4.181)$$

кўринишдаги трансдент тенгламага олиб келади. Бу трансдент тенглама α нинг кўп илдизлари α_n га эга, бунга мос келган L_{a1} , l_1 , l_2 ларнинг ҳам кўп қийматлари мос келади. Бу тенглама илдизларининг таҳдили кўрсатишича, l_{1n} ва l_{2n} ларнинг қиймати n -ортиши билан тез камайиб (боради) кетади. Шунинг учун l_{12} ва l_{22} дан катта масо-фада (4.177) ва (4.178) кўринишдаги ечими ўринли бўлади. Ҳақиқатда, агар ёруғлик нури x ўқи бўйича чапдан ўнгга кўчса, намуна сиртига жойлашган бирор нуқтадаги заряд ташувчилар концентрацияси унга ёруғлик нури яқинлашиши билан ортади. Бу ўзгариш (4.177) дан кўри-надики, вақт доимийси $\frac{l_1}{v}$ бўлган экспонента қонуни билан содир бўлади. Ёруғлик нури у нуқтадан ўтиб кети-

ши билан заряд ташувчиларнинг концентрацияси вақт бўйича камая бошлайди. Δp нинг камайиши вақт доимийси $\frac{l_2}{v}$ бўлган экспонента қонуни билан бўлади. Агар ўлчаш зондини, яъни коллектор контактини намунанинг координаталари x_1 , z_1 бўлган нуқтасига жойлашган деб қарасак, номувозанат заряд ташувчиларнинг шу нуқтадаги ҳаракатланувчи ёруғлик зонди ҳосил қилган концентрациясининг вақт бўйича ўзгаришини (4.178) ва (4.179) ларга кўра

$$\Delta p(x, z, t) = \text{const} \cdot \exp\left(\frac{v}{l_1} t\right) \quad (4.182)$$

$$\Delta p(x, z, t) = \text{const} \cdot \exp\left(\frac{v}{l_2} t\right) \quad (4.183)$$

кўринишдаги формуулалар билан ифодалаш мумкин. Шундай қилиб, намуна сирти бўйлаб U тезлик билан ҳаракатланувчи ёруғлик зонди (нури) координатаси (x, y, o) бўлган нуқтага жойлашган коллектор контактига яқинлашганда Δp га пропорционал равишида фототок ёки фото ЭДС (юклама қаршиликка тушган ўзгарувчан кучланиш) орта боради, контактга етиб келганда максимумга эришади ва ундан ўтгандан сўнг камая боради. Демак, бу фотосигналнинг вақт бўйича ўзгариши муайян белгиланган нуқтадаги заряд ташувчилар концентрациясининг вақт бўйича ўзгариш қонуниятини кўрсатади. Ёруғлик нури тезлиги v ни билган ҳолда фотосигналнинг вақтга боғланишидан l_1 ва l_2 топилади ва улар орқали диффузия коэффициенти

$$D_p = \frac{l_1 l_2}{l_1 - l_2} v \quad (4.184)$$

формула билан ҳисоблаб топилади. Сирт рекомбинация ва диффузион узунликни аниқлаш учун сирт рекомбинацияси тезликлари бир хил бўлган икки хил қалинликдаги намуналарда ўлчаш ўтказилади ва ҳар бир намуна учун l_1 ва l_2 топилади ва D_p ни билган ҳолда

$$\begin{aligned} \left(D_p \alpha_1 - \frac{S^2}{D_p \alpha_1} \right) \operatorname{tg} \alpha_1 d = 2S \\ \left(D_p \alpha_2 - \frac{S^2}{D_p \alpha_2} \right) \operatorname{tg} \alpha_2 d_2 = 2S \end{aligned} \quad (4.185)$$

трансдент тенгламалар системасидан биринчи илдизлари α_1 ва α_2 ҳамда S топилади. a_1 ва a_2 , l_1 ва l_2 ларни билган ҳолда

$$\begin{aligned} \frac{1}{L_p^2} &= \frac{1}{l_1 l_2} + \alpha_1^2 \\ \frac{1}{L_p^2} &= \frac{1}{l_1' l_2'} + \alpha_2^2 \end{aligned} \quad (4.186)$$

ифодалар орқали диффузион узунлик L_p ҳисобланади. Сирт рекомбинацияси тезлиги кичик $S \ll D_p \alpha_1$ бўлганда, $\operatorname{tg} \alpha_1 = \alpha_1 d_1$ бўлади ва сирт рекомбинацияси тезлиги

$$S = \frac{D_p}{2} \frac{d_1 d_2}{d_1 - d_2} (La_2^{-2} - La_1^{-2}) \quad (4.187)$$

дан ҳисобланади. Топилган S бўйича диффузион узунлик

$$\begin{aligned} L_p &= \left(\frac{L_{a1}^2 D_p d_1}{D_p d_1 - 2 S L_{a1}^2} \right)^{\frac{1}{2}} \\ L_p &= \left(\frac{L_{a2}^2 D_p d_2}{D_p d_2 - 2 S L_{a2}^2} \right)^{\frac{1}{2}} \end{aligned} \quad (4.188)$$

бўйича ҳисобланади. D_p ва L_p ларни билган ҳолда заряд ташувчиларнинг яшаш вақти

$$\tau = L_p^2 D_p^{-1} \quad (4.189)$$

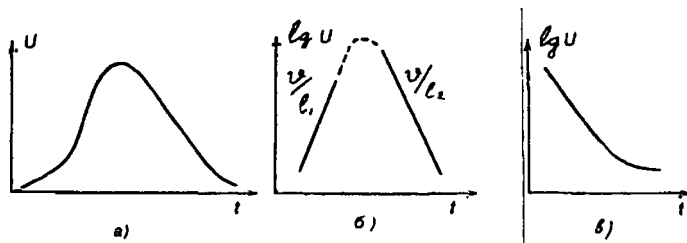
билин, биқутбий диффузион ҳаракатчанлик Эйнштейн муносабатидан

$$\mu = D \frac{e}{kT} \quad (4.190)$$

топилади. Агар сирт рекомбинациясини эътиборга олмаслик мумкин бўлса, масаланинг ечими соддалашади. Ҳақиқатда $S = 0$ да чегаравий шартлар (4.175) дан фойдаланишга ҳожат қолмайди ва масала бир ўлчамли бўлади. Трансдент тенглама ечими $\alpha_1 = 0$ бўлади. У вақтда диффузион узунлик

$$L_p = (l_1 l_2)^{\frac{1}{2}} \quad (4.191)$$

билин, диффузия коэффициенти (4.184) билан, заряд ташувчиларнинг яшаш вақти $\tau = \frac{l_1 - l_2}{v}$ формулалар билан ҳисобланади. Ёруғлик нуриининг ҳаракатланувчи усули билан номувозанат заряд ташувчилар параметрларини ўлчаш қурилмасининг чизмаси 4.19 а, б-расмда келтирилган. Монохроматик ёруғлик оқими S_1 ва S_2 кўзгулар, тирқишли диафрагма D ёрдамида намуна сиртига йўналтирилади. Ёруғлик оқимининг кенглигиги 10^{-2} дан то 1 мм гача ўзгаради. Ёруғлик нуриининг намуна сирти бўйлаб ҳаракати айланувчи кўзгудан ёруғликнинг қайтиши орқали пайдо қилинади. Коллектор токига пропорционал бўлган кучланиш юклама қаршилик R_H дан кучайтиргич U га ва осциллографга берилади. Осциллограмма ўлчаш зондини контактланиш нуқтасидаги заряд ташувчиларнинг вақт бўйича (4.182) ва (4.183) ифодалар билан аниqlанадиган тақсимотини кўрсатади. Осциллограммадан $\ln V_k = f(t)$ боғ-



4.19-расм. Коллектор фото ЭЮК нинг чизиқли (a) яримлогарифмик (b, c) масштаблардаги осциллограммаси.

ланиш чизилади ва унинг тўғри чизикли боғланиш соҳасидан $\frac{V}{l_1}$ ва $\frac{V}{l_2}$ лар, ёруғлик нуридан ўнгда

$$\frac{\Delta \ln U_k}{\Delta t} = \frac{\Delta \ln \Delta p}{\Delta t} = \frac{V}{l_1}$$

ва ёруғлик нуридан чапда

$$\frac{\Delta \ln V_k}{\Delta t} = \frac{V}{l_2}$$

экспонентанинг вақт доимийлари топилади. Намуна сирти бўйлаб ҳаракатланувчи ёруғлик зондининг тезлиги V ни аниқлаш учун биринчи коллектор зондидан қандайдир масофа, иккинчи коллектор зонд ўрнатилади. Йкки зонд орасидаги масофани ёруғлик зонди босиб ўтган вақтга нисбати V ни беради. Бу усул олдин германий, кейинчалик кремний, индий, суръма (*InSb*) ва бошқа яримтказгич намуналарининг параметрларини ўлчашда қўлланилган. Ўлчац давомида индий, суръма ва германий намуналарида ёпишиш марказларининг таъсири кучлироқ намоён бўлган. Бу марказлар томонидан эркин заряд ташувчиларнинг тутилиши осциллограмманинг горизонтал ўқ билан бироз чўзилишига ва ниҳоят экспонента вақт доимийсининг ошишига олиб келган. Шунинг учун осциллограмманинг бу соҳасига температура ўзгаришининг ва кучсиз ёритишнинг таъсири кўрсатилган. Юқорида муҳокама қилинган ёруғлик зондининг кўзгалувчан, ҳаракатланувчи усуllibаридаги ёруғлик зондининг ўрнига электрон зондини қўллаш орқали диффузион узунлиги кичик бўлган A_3B_5 ва A_2B_6 яримтказгич бирикмаларини текшириш ва уларда диффузион узунликни ўлчаш имкони туғилди.

Диффузион узунликни электрон зонди усули билан ўлчашда, одатда намунанинг электрон зондига тик ёки параллел сиртларида планер технология билан кичик юзали $p-n$ ўтиш ёки шоттки тўсиги олинган структуралар қўлланилади.

Электрон концентрацияси 10^{17} см^{-3} бўлган *n*-тип *CdTe* да заряд ташувчилар диффузион узунлигини ўлчаш учун

намуна сиртига шоттки тўсифи олинган ва шоттки тўсигидан $0,1 \div 14$ мкм масофада энергияси $5 : 25$ кэВ бўлган электрон нури билан асосий бўлмаган заряд ташувчилар (кавак) уйғотилган. Шоттки тўсифига $0,1$ В дан ортиқ бўлмаган кучланиш уланган. Бу диффузион узунликни $0,4 \div 3$ мкм оралиқда ўлчашиб имконини беради. Электрон зонди усулининг кенг кўлланишини чекловчи бир неча омиллари мавжуд бўлиб, улардан муҳимлари сифатида кўйидагиларни кўрсатиш мумкин:

1. Электрон зонди билан номувозанат асосий бўлмаган заряд ташувчилар генерацияланиш соҳаси энининг чекли бўлиши. Электронни $5 \div 30$ кВ кучланиш билан тезлантирганда заряд ташувчилар генерацияланиш соҳаси $0,1$ дан то $2,1$ мкм гача ўзгарган. Электрон зонди усули, ёруғлик зонди усули каби, $x > L$ да яхши натижалар беради. Бу шартни юпқа эпитаксиал қатламларда қаноатлантириш қийин, шунинг учун бу ҳолда электрон зондининг кўзғалувчан усули қўлланилмайди.

2. Кенг тақиқланган зонали яримўтказгичларни, масалан, кремнийни сирт соҳасида маълум бир шароитда камбағаллашган ёки инверсион қатламнинг ҳосил бўлиши. Бу ҳолда ҳажмий заряд соҳасининг электр майдони ва $p-n$ ўтишга, шоттки тўсигига уланган ташқи майдон сирт бўйича тарқалиши мумкин ва асосий бўлмаган заряд ташувчиларнинг дрейф ташкил этувчисини юзага келтиради, натижада ўтчанаётган диффузион узунликнинг ортишига олиб келади. Бундан ташқари, $p-n$ ўтишнинг йиғувчи юзасининг ортишига ва, ниҳоят ҳисоблашда хатоликнинг ошишига олиб келади. Атроф муҳитни ўзгартириб, сиртий потенциални бошқариш орқали бу чекловчи омилнинг таъсирини йўқотиш мумкин. Намуна сиртида “ясси зона” ёки заряд ташувчилар билан кучсиз бойиган режими амалга оширилиши мақсаддага мувофиқ бўлади.

3. Рекомбинацион нурланиш кучли намоён бўладиган тўғри зонали яримўтказгичларда асосий бўлмаган заряд ташувчиларнинг коллектори яқинида рекомбинацион нурланиш фотонининг қайта ютилиши.

Бу бир неча диффузион узунликдаги (бирламчи асосий бўлмаган заряд ташувчилар томонидан) юзага келган кичик коллектор сигналидан аниқланадиган диффузион узунлик қийматининг ортишига олиб келади (4.19в-расм).

Кўзғалувчан, ҳаракатланувчи электрон зондини олишда растрли электрон микроскопнинг исталган типи ишлатилиши мумкин.

4.8-§. *P-n* ўтишнинг ва Шоттки тўсифининг қисқа туташув фототокини ўлчашга асосланган диффузион узуниликни аниқлаш усули

Бу усул билан олдин *p-n* ўтиш (эпитаксиал структура)-нинг таркибий қисми бўлмиш эпитаксиал қатlamда заряд ташувчиларнинг диффузион узунигини ўлчашни кўрайлик.

Аниқлик киритиш учун *n*-типдаги тагликка қалинлиги *W* бўлган *p*-типдаги эпитаксиал қатlam ўстирилган ва намунани эпитаксиал қатlam томонидан $x=0$ текислиги фотон энергияси $\hbar\omega \geq Eg$ бўлган ёруғлик оқими билан ёритилган бўлсин деб олайлик. Умуман олганда, ёруғлик оқими эпитаксиал қатlamда, *p-n* ўтишнинг ҳажмий заряд соҳасида, тагликда номувозанат электрон-кавак жуфтларини генерациялайди ва фототокка ҳар бир соҳадаги номувозанат асосий бўлмаган заряд ташувчилар ўз ҳиссаларини қўшадилар. Шунинг учун *p*-тип эпитаксиал қатlam учун асосий бўлмаган номувозанат заряд ташувчилар (электрон) концентрациясининг тақсимоти Δn ни ва у билан боғлиқ фототок ифодасини таҳлил қилайлик. *P*-тип эпитаксиал қатlamда рекомбинацион нурланишни ва уни қайта намунада ютилишини ҳисобга олмагандан, номувозанат электроннинг концентрацияси $a > b \gg w$ да бир ўлчамли

$$D_n \frac{d^2 \Delta n}{dx^2} - \frac{\Delta n}{\tau n} + g_0 e^{-\alpha x} = 0$$

узлуксизлик тенгламанинг

$$D_n \left. \frac{d \Delta n}{dt} \right|_{x=0} = S \Delta n(0)$$

$$D_n \left. \frac{d \Delta n}{dx} \right|_{x=d} = 0$$

чегаравий шартларини қаноатлантирувчи ечими орқали топилади. Бу ҳолда қисқа туташув фототоки фақат p -тип эпитаксиал қатламда генерацияланган асосий бўлмаган заряд ташувчилар бўлмиш электроннинг диффузион ток зичлиги

$$J_{k,T} = eD_n \frac{d\Delta n}{dx} \Big|_{x=w} \quad (4.193)$$

билин аниқлашини кўрамиз. Ҳисоблашларнинг кўрсатишича, $j_{k,T}$ нинг ифодаси

$$j_{k,T} = \frac{eg_0 L_n}{\alpha^2 L_n^2 - 1} \left\{ - \frac{(S + \alpha D_n) \operatorname{sech}(w/L_n)}{L_n + s\operatorname{th} \frac{w}{L_n}} + \right. \\ \left. + \left[\alpha Z_n \frac{S + L_n(\tau_n) \operatorname{th}(w/L_n)}{(L_n/\tau_n + S\operatorname{th} w/L_n)} \right] e^{-\alpha w} \right\} \quad (4.194)$$

кўринишни олади. Агар эпитаксиал қатлам қалинлиги етарлича катта, ёруғлик кучли ютилсин, сирт рекомбинацияси тезлиги кичик бўлсин деб фараз қиласак, яъни

$$\alpha w > 3 \quad (4.195a)$$

$$\alpha Z_n > 3 \quad (4.195b)$$

$$S=0 \quad (4.195c)$$

да шартлар ўринли бўлади. (4.194) ифоданинг иккинчи ҳадини ташлаб юбориш мумкин. У вақтда (4.194) соддлашади ва $j_{k,T}$ нинг ифодаси

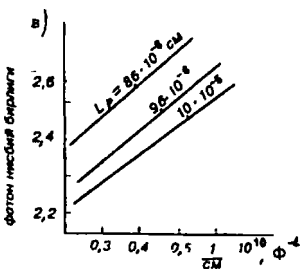
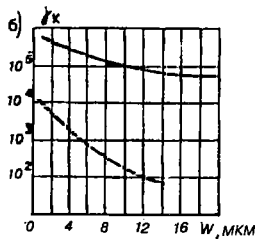
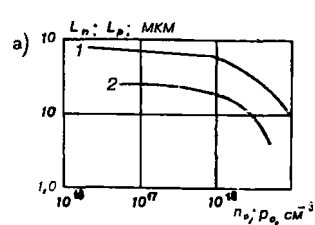
$$j_{k,T} = \frac{e(1-R_v)}{hv} \operatorname{sech} \left(\frac{w}{L_n} \right) \quad (4.196)$$

кўринишга келади. (4.195 а, б, в) шартларни арсенид-галлий эпитаксиал қатлам мисолида баҳолаб кўрайлик. Эпитаксиал қатлам гелий-неон лазер нури $hw=1,96\text{эВ}$ ($\lambda=0,6328\text{ мкм}$) билан ёритилган бўлсин. Ёруғликнинг бу тўлқин узунлигидаги хусусий ютилиш коэффициенти $\alpha \approx 4,4 \cdot 10^4 \text{ см}^{-1}$ бўлади. (4.194a) шартни қаноатлантирувчи эпитаксиал

қатлам қалинлиги $1 \div 10$ мкм, (4.195б) шартни қаноатлантирувчи заряд ташувчилар диффузион узунлиги $L_n > 1$ мкм бўлиши керак. Агар (4.195б) шарт бузилиб, $L_n < 1$ мкм, ажадулини $\alpha L_n < 3$ бўлганда $j_{k,T}$ қисқа туташув фототоки (4.194) дан

$$j_{k,T} = \frac{eI_{0v}(1 - R_v)}{h\nu} \frac{\alpha^2 L_n^2}{\alpha^2 L_n^2 - 1} \operatorname{sech}\left(\frac{w}{L_n}\right) \quad (4.197)$$

ифода билан аниқланишини кўрамиз. Суюқлик эпитаксия технологияси билан ўстирилган, қалинлиги $1 \div 10$ мкм оралиқда бўлган GaAs эпитаксиал қатламда L_n ни ўлчаш натижалари, унинг заряд ташувчилар концентрациясига боғлиқлигини кўрсатди. Асосий заряд ташувчилар концентрациясининг $P_0 = (10^{16} : 10^{19}) \text{ см}^{-3}$ оралиғида $Z_n = 0,1$ дан то 1 мкм гача ўзгарган (4.20а-расм). Сирт рекомбинацияси тезлигини камайтириш мақсадида одатда эпитаксиал қатлам устига шу типидаги GaAlAs қатлам ўстирилади. Тажрибадан аниқланган L_n қийматлари учун (4.194) му-



4.20-расм. а) GaAs эпитаксиал қатламида электрон-ковак диффузион узунликларининг асосий заряд ташувчилар концентрациясига боғланиши. 1 — германий билан легирланган p — GaAs учун, 2 — қалай билан легирланган n — GaAs учун. б) GaAs ли p-n ўтиш қисқа туташув фототокининг p-қатлам қалинлигига боғланиши. 1 — $p = 1,1 \cdot 10^{19} \text{ см}^{-3}$, $L_n = 5,5 \text{ мкм}$; 2 — $p = 6,0 \cdot 10^{16} \text{ см}^{-3}$, $L_n = 200 \text{ мкм}$; в) Шоттки диоди фототокининг тескари сифимига боғланиши.

носабатнинг таҳлили шуни кўрсатадики, (4.195а) ва (4.195б) тенгсизликлар сирт рекомбинациясининг $S < 10^4 \text{ см}/\text{с}$ қийматларида ўринли бўлар экан. Бундан (4.195в) шартни $S < 10^4 \text{ см}/\text{с}$ билан алмаштириш мумкинлиги кўрсатилган. Тажрибадан L_n ни аниқлашда $p-n$ ўтишнинг юзаси $5 \cdot 10^{-4} \text{ см}^2$, юклама қаршилик 1 Ом бўлган ёруғлик манбаи сифатида гелий-неон лазери кўлланилган. L_n ни аниқлашда қисқа туташув фототок ўлчашдан ташқари, ёруғлик интенсивигини, ёруғликни намунадан қайтиш коэффициентини билиш лозим. Эпитаксиал қатлам қалинлиги шар ёки қия (нишаб) шлиф усули билан ёки тўғридан-тўғри растрли электрон микроскоп билан аниқланиши мумкин.

Диффузион узунлик $p-n$ ўтиш қисқа туташув фототокининг эпитаксиал қатлам қалинлигига боғлиқлигидан ҳам аниқланиши мумкин.

$\alpha w > 1$ ва $\alpha L_n > 1$ да $p-n$ ўтиш қисқа туташув фототоки (4.197) дан

$$j_{\text{к.т}} \sim [e^{w/L_n} - \kappa e^{-w/L_n}]^{-1} \quad (4.198)$$

бўлади. Бунда коэффициент:

$$\kappa = \frac{(S/D_n - 1/L_n)}{(S/D_n + 1/L_n)} < 1 \quad (4.199)$$

Қалинлиги диффузион узунликдан катта $w > L_n$ эпитаксиал қатламлар учун (4.198) нинг биринчи ҳади устунлик қиласди. Шунинг учун $j_{\text{к.т.}}$ нинг W га чизиқли боғланиш графигидан L_n ни ҳисоблаш мумкин. Агар намуна қалинлиги диффузион узунлик тартибида ёки ундан кичик $w \leq L_n$ бўлса, қисқа туташув фототоки S/D_n ва $1/Z_n$ ларга боғлиқ бўлади. Бу ҳолда тажрибадан аниқланган ҳамда назарий ҳисобланган $j_{\text{к.т.}}$ (w) боғланишларининг бир-бирига мос тушиш шартидан коэффициент κ -ни ва у орқали S/D_n аниқланади. D_n нинг қийматини p -тип материалларда электрон ҳаракатчанлиги орқали боғланиши мумкин. Бунинг учун p -типдаги электрон ҳаракатчанлиги, шундай концентрациядаги заряд ташувчиларга эга бўлган n -типдаги электрон ҳаракатчанлигига тенг деб қаралади. Энди

$p-n$ ўтишда ва шоттки тўсиғида ҳажмий заряд соҳасининг кенглиги диффузион узунлиги L_n тартибида бўлган ярим-ўтказгичлар учун L_n ни аниқлашни кўрайлик. Юқори Омли намуналарда олинган $p^+ - n$, ёки $n^+ - p$ ўтишлар ёки шоттки тўсиқлариридир. Бу структураларнинг фотоэффект назариясига кўра қисқа туташув фототоки

$$j_{\text{к.т}} \sim \frac{\alpha(w + L_n)}{(i + \alpha L_n)} = f(\alpha, w, L_n) \quad (4.200)$$

бўлади. Бу ифодани қўллаб, L_n ни тажрибадан аниқлаш асосида қисқа туташув фототокининг ҳажмий заряд соҳаси кенглигига боғлиқлиги ётади. Маълумки, потенциал тўсиқли структураларда ҳажмий заряд соҳасининг кенглиги унга қўйилган кучланишга боғлиқ. $P-n$ ўтишни ҳажмий заряд соҳа кенглигининг кучланиш билан ўзгариши ўз навбатида потенциал тўсиқ сифимининг ўзгаришига олиб келади. Бундан $p-n$ ўтиш ва Шоттки тўсиқлари қисқа туташув фототокларининг ҳажмий заряд соҳаси қалинлигига қараб ўзгаришини потенциал тўсиқнинг сифим ўзгариши орқали ифодалаш мумкинлиги кўринади. Тўсиқ сифимининг ҳажмий заряд соҳаси кенглиги W билан $C(u) = \frac{\epsilon_0 \epsilon}{w} A$ боғланишда бўлишлигини назарда тутсак, (4.198) ифодани $\frac{\epsilon \epsilon_0 A}{C(u)}$ билан тўғри чизиқли боғланишда бўлишлигини кўрамиз. Бу ерда $A-p-n$ ўтиш ёки Шоттки тўсиғининг юзаси ϵ — яримўтказгичнинг диэлектрик синг-дирувчанлиги $C(u)$ ҳар хил кучланишдаги тўсиқ сифими.

Шундай қилиб, $p-n$ ўтиш ва шоттки тўсиқларининг қисқа туташув фототоки орқали диффузион узунликни аниқлашнинг иккинчи усулида уларга қўйилган ҳар хил кучланишларда бир вақтда бир хил интенсивликдаги ёруғлик билан ёритишдан ҳосил бўлган қисқа туташув фототокининг сўниш сифими ўлчанади ва ўлчанганди $j_{\text{к.т}}$ нинг $\frac{\epsilon_0 \epsilon}{C(u)} A$ га боғланиши чизилади. (4.20 в-расм). Бу боғланишнинг тўғри чизиқли соҳасини абсцисса ўқи билан кесишгунча давом эттириб, у кесма узунлигидан диффузион узунлик топилади $L_n = \frac{\epsilon \epsilon_0 A}{C(u)}$. Бундай ўлчашни ўтказишда ёруғликнинг $\alpha w < 1$ тенгсизлик ўринли бўлган спектрал соҳаси танланади. Бундан ташқари, заряд та-

шувчилар яшаш вақти ҳажмий заряд соҳасининг дрейф вақтидан катта бўлиши кераклиги кўрсатилган. *GaP* учун $t_{\text{др}} \approx 10^{-12}$ С. Сигим *C(u)* намуна ёритилган ҳолатда 1 МГ частотада ўлчанган. Юқорида изоҳланганлардан кўрина-дикни, бу усул эпитаксиал қатламларда номувозанат асо-сий бўлмаган заряд ташувчиларнинг кичик диффузион узунлигини ўлчаш мумкин. Ҳамда ҳар хил шароитда ҳар хил қалинликда ўтказилган тажриба натижалари диффу-зия коэффициентини, сирт рекомбинацияси тезлигини, заряд ташувчилар яшаш вақтини аниқлашга имкон бе-ради.

ЧУҚУР САТҲЛИ МАРКАЗЛАР ПАРАМЕТРЛАРИНИ ЎЛЧАШ УСУЛЛАРИ

5.1-§. Чуқур сатҳли марказларнинг параметрлари

Яrimўтказгич материаларининг тақиқланган зоналаридаги чуқур энергия сатҳларини ҳосил қиласиган кристалл панжара нуқсонлари чуқур сатҳли марказ (тутқичлар) деб юритилади. Бу нуқсонларга киришма атомларини, радиацион нуқсонларни, термик ишлов жараёнларида пайдо бўлган термик нуқсонларни кўрсатиш мумкин. Чуқур сатҳли марказлар рекомбинация марказлари ёки тутқич марказлари каби бўладилар. Биринчи ҳолда чуқур сатҳлар заряд ташувчиларнинг яшаш вақтини, диффузион узунлигини камайишига олиб келади ва яrimўтказгич асбобларининг характеристикаларига кучли таъсир кўрсатади. Чуқур сатҳ (ЧС) лар рекомбинацион марказлар сифатида лазер ва ёруғлик (свето) диодларининг нурланиш интенсивигини камайтиради. Чуқур сатҳли марказлар тутқич марказлари сифатида заряд тўпланишига таъсир қилиши мумкин. Назорат остида киритилган чуқур сатҳли марказ (ЧСМ)лар бир қанча ҳолларда яrimўтказгичларда керакли хусусиятлар ҳосил қилиши мумкин. Масалан, арсенидгаллий (*GaAs*) га киритилган хром киришма атоми юқори Ом ли (қаршилиги катта бўлган) намуналар олишга имкон беради. Кремнийни тилла (*Au*), платина (*Pt*) киришма атомлари билан легирлаб, заряд ташувчилар яшаш вақтини бир неча тартибга камайтиришга эришилди ва у намуналар асосида саноатда тезкор импульсли диод ва триисторлар ишлаб чиқариш йўлга қўйилди. Демак, яrimўтказгичларда ЧСМлар мақбул ва номақбул ҳодисаларни содир қиласар экан. Шунинг учун чуқур сатҳлар хоссаларини ўрганиш, технологик жараёнларда пайдо бўлишигини назорат қилиш, улар табиатини аниқлаш яrimўтказгичлар физикасида муҳим ўрин тутади.

Заряд ташувчилар бўлмиш электронни, ковакни ЧСларга тутиб олгунча, тутгандан сўнг қандай зарядланган ҳолатида бўлишига қараб, саёз сатҳлар каби, чукур марказ донор ёки акцептор характеристига эга бўлиши мумкин. Чукур сатҳлар хоссалари тақиқланган зонадаги ҳолати E , концентрацияси N , дан ташқари, электронни, ковакни мос равишда сатҳдан термик чиқариш коэффициентлари e_n , e_p ҳамда электронни, ковакни сатҳга тутилиш кесимлари S_n , S_p билан аниқланади. Электрон, ковакни марказга тутилиш коэффициентлари γ_n , γ_p тутилиш кесимлари S_n , S_p орқали қўйидаги

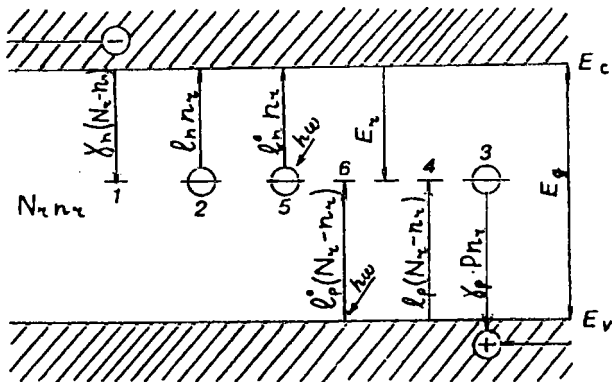
$$\gamma_n = S_n v_t; \quad \gamma_p = S_p v_t \quad (5.1)$$

муносабатлар билан боғланган. Бу ерда: v_t — заряд ташувчилар ўртача тезлиги бўлиб, унинг қиймати

$$v_t = (KT/\pi m)^{1/2} \quad (5.2)$$

ифодадан топилади. Маълумки, заряд ташувчиларнинг E , сатҳга тутилиш кесими чукур марказнинг қандай зарядланган ҳолатда бўлишига боғлик.

Зарядланган марказ кулон тортишиш маркази бўлганда тутилиш кесими 10^{-14} см², кулон итарувчи маркази бўлганда тутилиш кесими 10^{-19} см², марказ нейтрал бўлганда тутилиш кесими 10^{-16} : 10^{-17} см² тартибида бўлади. Баъзан, ЧСМларда тутилиш кесимлари юқорида келтирилган қийматларидан катта фарқ қилиши мумкин. Шундай қилиб, чукур энергия сатҳлари E_r , N_r , e_n , e_p , S_n , S_p параметрлар орқали аниқланар экан. Бу параметрларни ўлчаш усуллари устида тўхташдан олдин уларнинг боғланишларини аниқловчи баъзи бир муносабатларни кўриб чиқайлик. Яримўтказгич n -тип бўлсин ва унда саёз сатҳли концентрацияси N_{cd} бўлган донор марказидан ташқари концентрацияси N_r , тақиқланган зонада энергия сатҳи E_r бўлган ЧСМлар бўлсин ҳамда электр нейтраллик соҳаси (ЭНС)да $F - E_r > 4kT$ тенгсизлик бажарилсин. Бундай на муналарда чукур сатҳда электрон концентрациясининг вақт бўйича ўзгаришига олиб келадиган жараёнларни кўрайлик (5.1-расм).



5.1-расм. Яримұтказгич чуқур сатқида электрон концентрациясининг ўзгаришига олиб келувчи жараёнлар (электрон ўтишлар схемаси).

1. Ўтказувчан зонадаги электроннинг чуқур сатқа тутилиш жараёни. Бу жараёңда сатқадаги электронлар концентрацияси ошади ва унинг ўсиш тезлиги

$$g_n = \gamma_n (N_r - n_r) n \quad (5.3)$$

билин аниқланади. Бу ерда, n_r — чуқур сатқадаги электрон концентрацияси, n — электроннинг ўтказувчан зонадаги концентрацияси: $N_r - n_r$, электрон билан тұлатылмаган бүш чуқур марказ коцентрацияси, γ_n — электроннинг марказға тутилиш коэффициенті.

2. Чуқур сатқдан ўтказувчан зонага электронни термик чиқариш жараёнида E_r сатқадаги электрон концентрацияси n_r камаяди ва унинг тезлиги

$$r_n = -e_n n_r = -\gamma_n n_1 n_r \quad (5.4)$$

билин аниқланади. Бу ерда, e_n — электронни сатқдан термик чиқариш коэффициенті Шокли – Рид статистикасига күра, $e_n = \gamma_n n_1$ ифодадан топилади.

n_1 — ферми сатқи F чуқур сатқ E_r га мос келганды, ўтказувчан зонадаги электрон концентрацияси бўлиб, унинг қиймати

$$n_r = N_c \exp \left[-\frac{(E_c - E_r)}{\kappa T} \right] \quad (5.5)$$

билин аниқланади. Бу ерда, N_c — ўтказувчан зонадаги эффектив ҳолат зичлиги.

3. Электронни E , сатҳдан валент зонага ўтиш (ёки ковакнинг E , сатҳга тутилиш) жараёни. Бу жараён сатҳдаги электрон концентрациясини камайтиради ва унинг тезлиги

$$r_p = -\gamma_p p n_r \quad (5.6)$$

ифода билан аниқланади. Бу ерда, p — ковак концентрацияси, γ_p — ковакнинг сатҳга тутилиш коэффициенти.

4. Валент зонадан электронни E , сатҳга (ёки ковакни E , сатҳдан валент зонага) термик чиқариш жараёни. Бу жараён F , сатҳдаги электрон концентрациясини оширади ва унинг тезлиги

$$g_p = e_p (N_r - n_r) = \gamma_p p_1 \cdot (N_r - n_r) \quad (5.7)$$

ифода билан топилади. Бу ерда, P_1 — электр нейтраллик соҳасида Ферми сатҳи, E , билан мос келганда валент зонадаги ковак концентрацияси. Унинг қиймати

$$P_1 = N_v \exp \left[-\frac{(E_r - E_v)}{\kappa T} \right] \quad (5.8)$$

ифодадан топилади. N_v — валент зонадаги эффектив ҳолат зичлиги. Шундай қилиб, E , ЧС электрон концентрациясининг вақт бўйича ўзгариш тезлиги Шокли-Рид статистикасига кўра

$$\frac{dn_r}{dt} = \gamma_n (N_r - n_r) n - \gamma_n n_1 n_r - \gamma_p p n_r + \gamma_p p_1 (N_r - n_r) \quad (5.9)$$

узлуксизлик тенгламаси орқали ифодаланади. Стационар ҳолатда $\left(\frac{\partial n_r}{\partial t} = 0 \right)$ электроннинг стационар концентрацияси (5.9) тенгламага кўра

$$n_{\pi} = N_r \frac{\gamma_n n_c + \gamma_p p_1}{\gamma_n(n_c + n_1) + \gamma_p(p_c + p_1)} = \frac{\gamma_n n_c + e_n}{\gamma_n n_c + e_n + \gamma_p p_c + e_p} \quad (5.10)$$

кўринишда бўлади. n_1 ва p_1 концентрациялар ($E_e - E_v$) ва ($E_r - E_v$) энергияларга экспоненциал боғланган бўлгани туфайли, улар бир-биридан камидан бир тартибда фарқ қиласдилар. Одатда $e_n \gg e_p$ ёки $e_p \gg e_n$ тенгсизлик ўринли бўлади. Агар тутилиш коэффициентлари γ_n ва γ_p бир-биридан катта фарқ қиласалар, n -тип материалларда тақиқланган зона ярмининг юқори қисмida жойлашган E , сатҳ учун $e_n \gg e_p$ бўлади ва у асосий заряд ташувчилар учун тутқич марказ бўлади. Агар E , сатҳ тақиқланган зона ярмининг қуий қисмida бўлса, $e_p \gg e_n$ бўлади ва асосий бўлмаган заряд ташувчилар учун тутқич марказ бўлади. P -тип материал учун эса тескари тенгсизликлар ўринли бўлади. ЧСнинг электронлар билан тўлдирилганлик даражасининг ўзгариши (ЧС)ни фотоионланиши, яъни ЧС билан ўтказувчан ёки валент зоналар орасидаги оптик ўтишлар туфайли содир бўлиши мумкин (5.6-ўтишлар). Бу ҳолда сатҳдан электронни ва ковакни оптик чиқариш коэффициентлари $e_n^o = \chi_n I_v$, $e_p^o = \chi_p I_n$ киритилади (χ_n, χ_p — фотоионланиш кесими, I_n — ёруғлик интенсивлиги) у вактда уларнинг E , сатҳдан чиқариш коэффициентлари $e_n^o + e_n^e$ ёки $e_p^o + e_p^e$ га тенг бўлади. Шундай қилиб, намуна фотон энергияси $h\nu \gg \Delta E$, ёруғлик билан ёритилганда (5.9) узлуксизлик тенглама

$$\frac{dn_r}{dt} = \gamma_n(N_r - n_r)n - \gamma_n n_r n_r + \gamma_p p_1(N_r - n_r) - \chi_n n_r I_v + \chi_p (N_r - n_r) I_v \quad (5.10a)$$

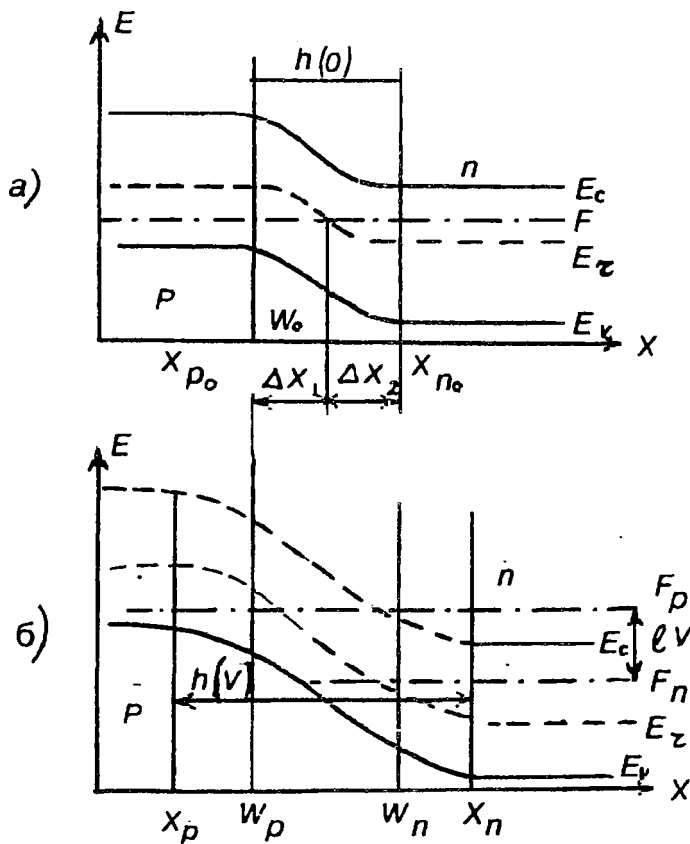
билин ифодаланади. Паст температураларда термик чиқариш тезлиги унча катта бўлмаган шароитда оптик ўтишларда чиқариш тезлиги температурага боғлиқ бўлмасдан ёруғлик интенсивлигига боғлиқ бўлганлиги туфайли $e_n^o \gg e_p^o$ ёки $e_p^o \gg e_n^o$ шарт осон бажарилади.

ЧС — нинг электрон билан тўлдирилганлик даражасини оптик усул билан ўзгартириш орқали чукур сатҳ энергиясини тўғридан-тўғри фотон энергияси бўйича

аниқлаш мумкин. Буни унинг афзаллиги сифатида кўрса-тиш мумкин. Шундай қилиб, юқорида келтирилган изоҳ-лардан кўринадики, чукур E , сатҳни электронлар билан тўлдирганлик даражаси, сатҳнинг тақиқланган зонадаги ва ферми сатҳига нисбатан қандай вазиятда бўлишига, материал типига, сатҳни донор ёки акцептор характеристига эга бўлишига, концентрацияси N , га ҳамда ташқи таъсир (температура, ёруғликнинг фотон энергияси $h\nu$ ва интенсивлиги)га боғлиқ.

5.2-§. Р-п ўтишда чукур сатҳларнинг электронлар билан тўлдирилганилиги

Оҳиста $p-n$ ўтишда саёз сатҳли донор ва акцепторлардан ташқари, энергия сатҳи E , концентрацияси N , бўлган ЧСМ бўлсин, шу билан бирга, чукур марказ атоми битта электронни қабул қилиши ёки бериши мумкин бўлсин (бир зарядли). Бу ҳолда ҳажмий заряд соҳаси (ХЗС)да чукур сатҳ электрон концентрациясининг вақт бўйича ўзгаришини кўрайлик. Электр нейтраллик соҳаси (ЭНС)-да, яъни ХЗС дан ташқарида чукур марказ концентрацияси N , саёз марказ концентрацияси N_{cd} билан бир тартибда, лекин $N < N_{cd}$ бўлсин, деб олайлик. $p-n$ ўтишнинг n соҳасида $N_c = N_{cd} - N_{ca}$ ва p – соҳасида $N_c = N_{ca} - N_{cb}$ билан аниқланади (N_{cd} – саёз донор концентрацияси, N_{ca} – саёз акцептор концентрацияси). Бундан ташқари, n соҳанинг ЭНС да $F-E > 4kT$ p – соҳанинг ЭНС да эса $E-F > 4kT$ тенгсизликлар бажарилади деб қараймиз. Ҳисоблашларни соддалаштириш учун $p-n$ ўтишга кучланиш кўйилмаган ($V=0$) да стационар ҳолатда ферми сатҳидан пастда $x > w_0$ соҳада жойлашган чукур сатҳ E , ни электрон билан тўлатилган, а ферми сатҳидан юқорида $x > w_0$ соҳада жойлашган E , сатҳни электрон билан тўлатилмаган деб қабул қиласиз (5.2а-расм). $p-n$ ўтишга тескари кучланиш уланганда E , сатҳда электрон концентрациясининг ўзгаришини кўрайлик (5.2б-расм). $p-n$ ўтиш тескари кучланишда мувозанатда бўлмаса хам E , сатҳни тескари кучланиш уланган $p-n$ ўтишга ёруғлик туширилганда n , ни қўшимча ўзгаришига олиб келадиган қуидаги оптик ўтиш жараёнлари кузатилади. $p-n$ ўтишга фо-



5.2-расм. Оҳиста (равон) p - n ўтишда энергетик зоналарнинг жойланиши ва чуқур сатҳларнинг кучланиш кўйилмаган $U=0$ да (a) ва тескари кучланиш кўйилган $U \neq 0$ да электрон билан тўлиши.

тон энергияси $E_e - E_v > h\nu > E_c - E_v$ бўлган монохроматик ёруғлик билан ёритилганда E_v сатҳни фотоионланиш жараёни содир бўлади, яъни сатҳдан электрон ўтказувчан зонага чиқади. Шунинг учун бу жараёнда сатҳда электроннинг концентрацияси камаяди ва унинг тезлиги

$$r_n^o = -\epsilon_n^o n_r = \chi_n I_{0\nu} n_r \quad (5.11)$$

билин ифодаланади. Бу ерда, χ_p — чуқур марказдаги электронда фотонни тутилиш кесими, I_{0r} намунага тушаётган фотон интенсивлiği (вақт бирлигиде, юза бирлигига тушаётган квантлар сони). Фотон энергияси $E > \hbar\omega > E_r - E_v$ бўлган ёруғлик билан намуна ёритилганда ковакни E_r сатҳдан валент зонага (ёки электронни валент зонадан E_v сатҳга) чиқариш жараёни кузатилади, яъни ковакнинг фотоионланиш жараёни содир бўлади. Бу жараёнда сатҳдаги электрон концентрацияси ортади ва у

$$g_p^o = -e_p^o (N_r - n_r) = \chi_p (N_r - n_r) I_{0r} \quad (5.12)$$

ифода билан аниқланади. χ_p — ковакда фотоннинг тутилиш кесими. Демак, монокроматик ёруғлик билан ёритилган $p-n$ ўтишга тескари кучланиш қўйилганда сатҳдаги электрон концентрациясининг вақт бўйича ўзгариши ўнг томонида (5.11) ва (5.12) ҳадларни ҳисобга олган (5.9) тенглама орқали ифодаланади. Тескари кучланиш қўйилган $p-n$ ўтиш ёритилмаган ($I_r = 0$) да ва стационар ҳолат $\frac{dn_r}{dt} = 0$ да сатҳдаги электрон концентрацияси n_{re} ҳам (5.10)

ифода билан аниқланади. $P-n$ ўтиш X3C нинг $x < w_p$ қисмида ўтказувчан зонадаги электроннинг стационар концентрацияси $n_c < n_i$ бўлади, $x > w_p$ қисмида эса ковакнинг валент зонадаги стационар концентрацияси $P_c < P_i$ бўлади, шунинг учун X3C нинг $w_p < x < w_n$ қисмида (5.10) ни тахминан

$$n_{rc} = N_r \frac{\gamma_p P_i}{\gamma_n n_i + \gamma_p P_i} = N_r \frac{e_p}{e_n + e_p} \quad (5.13)$$

кўринишда ифодалаш мумкин. Тескари кучланишнинг катта қиймати $V \gg V_k$ да (5.13) ифода ҳамма қисмида ўринли бўлади. (5.10) да $\gamma_n n_c$ ва $\gamma_p P_c$ ҳадларни ташлаб юборишлик электронни ўтказувчан зонадан, ковакни валент зонадан E_v сатҳга тутилишини инобатга олмасликни англалади. (5.13) ифодани

$$e_p n_{rc} = e_p (N_r - n_r)$$

кўринишида ифодалаймиз. Бундан кўринадики, стационар ҳолатда электроннинг E , сатҳдан ўтказувчан зонага термик чиқариш тезлиги ($e_n \cdot n_c$) электронни валент зонадан термик чиқариш тезлиги $e_p(N - n_c)$ га тенг бўлади. Чукур E , сатҳ учун $e_n > e_p$ тенгсизлик ўринли бўлсин. Бу тенгсизлик, юқорида кўрганимиздек, одатда тақиқланган зона ярмининг юқори қисмида жойлашган сатҳлар учун бажарилади (қачонки γ_n ва γ_p лар жуда катта фарқ қилимасалар). Бу сатҳлар учун (5.13) дан $n_c \ll N$, бўлишилигини кўрамиз. Яъни $x < w_p$ соҳада ЧС деярли бўш бўлади. $P-n$ ўтишнинг $x > w_p$ соҳасида сатҳ электронлар билан батамом тўлатилган. $e_p \gg e_n$ тенгсизлик одатда тақиқланган зона кенглиги ярмининг қўйи қисмида жойлашган сатҳлар учун бажарилади. Бу ҳолда $p-n$ ўтишнинг $x > w_p$ соҳасида (5.13) дан $n_c = N$, бўлишини, яъни бу соҳада чукур сатҳ электрон билан деярли (батамом) тўлатилган, $x < w_p$ соҳадаги сатҳ эса бўш бўлишини кўрамиз. Энди ностационар жараёнда ҲЗС даги чукур сатҳдаги электрон концентрациясининг вақт бўйича ўзгаришини кўрайлик. Маълумки, $p-n$ ўтишнинг ҲЗСда кучли электр майдони мавжудлиги туфайли бу соҳада электроннинг ўтказувчан зонадаги, ковакнинг валент зонадаги стационар концентрациялари ЧС даги электроннинг стационар концентрациясига нисбатан тез қарор топади. Бу ўтказувчан зонадаги электронни ҳамда валент зонадаги кавакни ҲЗС даги кучли электр майдон томонидан ташқари соҳага тез чиқариб юбориш билан тушунтирилади. Шунинг учун ҲЗС да электрон концентрациясини $n = n_c$, ковакникини $p = p_c$ деб қабул қиласа ҲЗС да E , сатҳдаги электрон концентрациясининг вақт бўйича ўзгариши (5.9) дан

$$\frac{d\Delta n_r}{dt} = -[\gamma_n(n_c + n_1) + \gamma_p(p_c + p_1)]\Delta n_r \quad (5.14)$$

узлуксизлик тенглама билан аниқланишини кўрамиз. Бу ерда, $\Delta n_r(t) = n_r(t) - n_c$ тенгламанинг ечими

$$\Delta n_r(t) = \Delta n_c \exp\left(-\frac{t}{\tau}\right) \quad (5.15)$$

кўринишида бўлади. Бундан кўринадики, сатҳни электрон билан тўлдириш вақт доимийси

$$\tau = [\gamma_n(n_c + n_i) + \gamma_p(p_c + p_i)]^{-1} \quad (5.16)$$

бўлган экспотенциал қонуни бўйича бўлади. τ сатҳнинг бошлангич ҳолатда қандай тўлдирилганлигига, чуқур марказ концентрациясига боғлиқ бўлмай, у n_c ва p_c лар x га боғлиқ бўлгани учун координатага боғлиқ. ҲЗС нинг четларида τ ўрта қисмига қараганда кичик. Вақт доимийси τ ни сатҳнинг тўлдириш релаксацияси вақти ҳам деб юритилади. ҲЗС нинг $w_x > w_p$ қисмида (5.16) ифода

$$\tau = (\gamma_n n_i + \gamma_p p_i)^{-1} = (e_n + e_p)^{-1} \quad (5.17)$$

кўриниши олади. Катта тескари кучланиш $v > v_{kp}$ да (5.17) ифода ҲЗС нинг ҳамма қисмида ўринли бўлади. Агар чуқур марказ тортувчи марказ бўлса, кучли электр майдони унинг атрофидаги потенциал тўсиқ (баръер)ни камайтиради ва у электронни термик чиқишини осонлаштиради, яъни Пул-Френкел эфекти юзага келади. Бу ҳодисани мувозанатдаги система статистикаси асосида олинган. (5.17) ифодада ҳисобга олинмаган. $v=0$ да ЧС ли диодга тескари ЧС стационар тўлатилган бўлсин ва $e_n \gg e_p$ бўлган кучланиш уласак, ҲЗС нинг Δx қатламидаги сатҳдан электрон ўтказувчан зонага $\tau = e_n^{-1}$ вақт доимийси билан чиқа бошлайди, сўнг улар электр майдон таъсирида ЭНС га кетказиб юборилади. Оқибатда $p-n$ ўтишнинг n — соҳасига жойлашган ҲЗС нинг Δx_1 қатламида ЧС ни ионлашиши туфайли ҳажмий заряд зичлиги чуқур марказ донон ёки акцептор бўладими, бундан қатъи назар ортади. Вақт доимийси $\tau = (e_n)^{-1} = (\gamma_n n_i)^{-1}$ га (5.5) ифодани қўйсак ва (5.1) ни назарда тутсак уни

$$\tau = (S_n V_t N_c)^{-1} \exp \left[\frac{Ec - Er}{\kappa T} \right] = (Sb_n T^2)^{-1} \exp \left[\frac{Ec - Er}{\kappa T} \right] \quad (5.18)$$

билин ифодаланишини кўрамиз. Бу ерда, b_n — яримўтказгич параметри, германий учун $b_n = 3,6 \cdot 10^{21} \text{ см}^{-2} \text{ с}^{-1} \text{ к}^{-2}$

кремний учун $b_n = 6,6 \cdot 10^{-21} \text{ см}^{-2} \text{ с}^{-1} \text{ К}^{-2}$ ни қабул қиласи (5.18) формуладан кўринадики, сатҳни электрон билан тўлдириш релаксация вақти температура ошиши билан кескин камая бошлайди. (5.18) ни логарифмлаб

$$\ln(\tau T^2) = \ln(S_n b_n) + \frac{E_c - E_r}{kT} \quad (5.19)$$

кўринишга келтирамиз. Марказнинг ионланиш энергияси ($E_c - E_r$) ни ва электроннинг марказга тутилиш кесими S_n ни температурага боғлиқдигини ҳисобга олмасак $\ln(T^2\tau)$ нинг $\frac{1}{kT}$ боғланиши тўғри чизикни беради. Унинг оғиш бурчаги тангенси чуқур марказнинг ионланиш энергиясими, ордината ўқининг кесишидан ҳосил бўлган $-\ln(b_n S_n)$ га тенг кесма узунлигидан электронни тутилиш кесими S_n топилади. Энди ЧС ни тўлдирилганлиги стационар ҳолатга эришгандан сўнг тескари кучланишни нолгача камайтирганда n_c ўзгаришини кўрайлик. Кучланишни ў chirган ($v \rightarrow 0$) дан сўнг ΔX_1 қатлам соҳасидаги ЧС τ_{Tn} вақт доимийси билан тўла бошлайди. τ_{Tn} нинг қиймати

$$\tau_{Tn} = [\gamma_n(n_c + n_1)]^{-1} = (e_n + \gamma_n n_1)^{-1} \quad (5.20)$$

формула билан топилади.

Вақт доимийси $\tau > 10^{-2} \div 10^{-3}$ с бўлганда $n_1 \ll n_c$, $\tau_{Tn} \ll \tau$ тенгсизлик бажарилади. Бошқача айтганда, E_r сатҳни электрон билан тўлдириш, сатҳдан электронни термик чиқаришга нисбатан тез содир бўлади. Лекин юқори Ом ли намуналардан ясалган диодларда улар бир тартибда бўлиши мумкин.

$p-n$ ўтишга тескари кучланиш берилгандан ($0 \rightarrow V$) сўнг p — соҳадаги жойлашган ҳажмий заряд соҳасининг ΔX_2 қисмидаги $e_p \gg e_n$ бўлган сатҳни $\tau = e_p^{-1}$ вақт доимийси билан электрон тўлдириша бошлайди. Бу ΔX_2 қатламда сатҳни донор ёки акцептор бўлишидан қатъи назар ҳажмий заряд зичлиги ортади.

Вақт доимийси $\tau = e_p^{-1} = (\gamma_p p_1)^{-1}$ нинг қиймати (5.8) ни назарда тутсак,

$$\tau = (S_p V_t N_v)^{-1} \exp\left[\frac{E_r - E_v}{kT}\right] = (S_p b_p T^2)^{-1} \exp\left(\frac{E_r - E_v}{kT}\right) \quad (5.21)$$

билин аниқланади. Бу ерда b — яримүтказгич параметри, германий учун $b = 1,2 \cdot 10^{21} \text{ см}^{-2} \text{ с}^{-1} \text{ к}^{-2}$, кремний учун $b = 2 \cdot 10^{21} \text{ см}^{-2} \text{ с}^{-1} \text{ к}^{-2}$. Юқорида күрилгандек, (5.21) ни логарифмлаб, ундан ЧС ионланиш энергияси ($E_r - E_v$) ни ҳамда ковакни ЧС да тутилиш кесими S_p ни топиш мумкин. Тескари күчланишни ўчирилгандан сўнг ΔX_2 қатладаги сатҳдан электрон

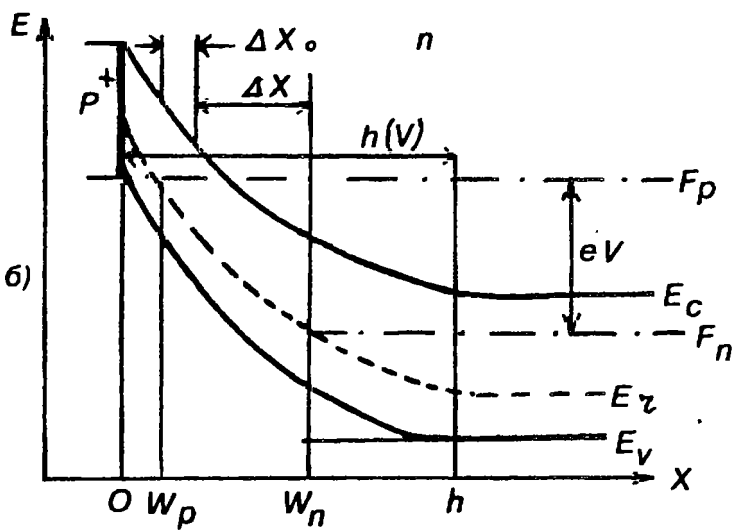
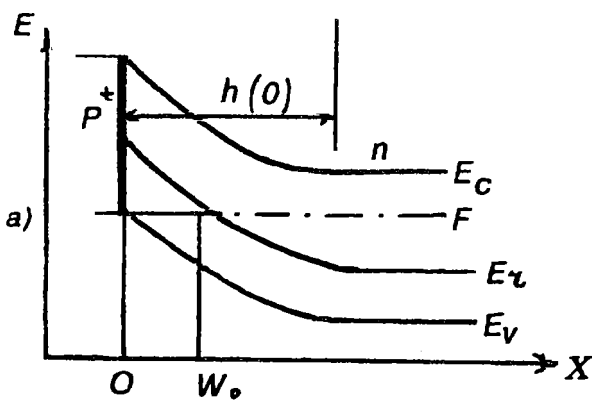
$$\tau_{tp} = [(p_1 + p_c)\gamma_p]^{-1} = (e_p + \gamma_p p_c)^{-1}$$

вақт доимийси билан кета бошлайди (бошқача айтганда, сатҳ ковак билан тӯла бошлайди). Бу ҳолда ҳам $\tau_{tp} \ll \tau$ бўлади. Юқорида изоҳланган усул билан E_r сатҳнинг ионланиш энергиясини, сатҳда электрон, ковакнинг тутилиш кесимларини аниқлашдаги асосий хатолик уларнинг температурага боғлиқлигини (5.9) да ҳисобга олмаслик туфайли содир бўлган.

Ҳисобларнинг кўрсатишича, сатҳнинг ионланиш энергияси $\pm KT$ тартибдаги хатолик билан S_p ва S_n ларни эса катталиклар тартибидаги хатолик билан ўлчанаэр экан. Сатҳ энергиясини аниқлашда шуни назарда тутиш керакки, ҳар қандай нуқсон ёки киришма атоми тақиқланган зонада иккита (ёки ундан ортиқ) сатҳ ҳосил қилиши мумкин. Бу сатҳлардан қайси бирини намоён бўлиши ферми сатҳининг вазиятига боғлиқ. Бунга мисол сифатида тилла киришма атоми билан Si ни легирланганда юзасига келадиган сатҳни кўрсатиш мумкин. У ўтказувчан зона тубидан 0,56 эВ пастда акцептор, валент зона шипидан 0,45 эВ юқорида донор сатҳини ҳосил қиласди.

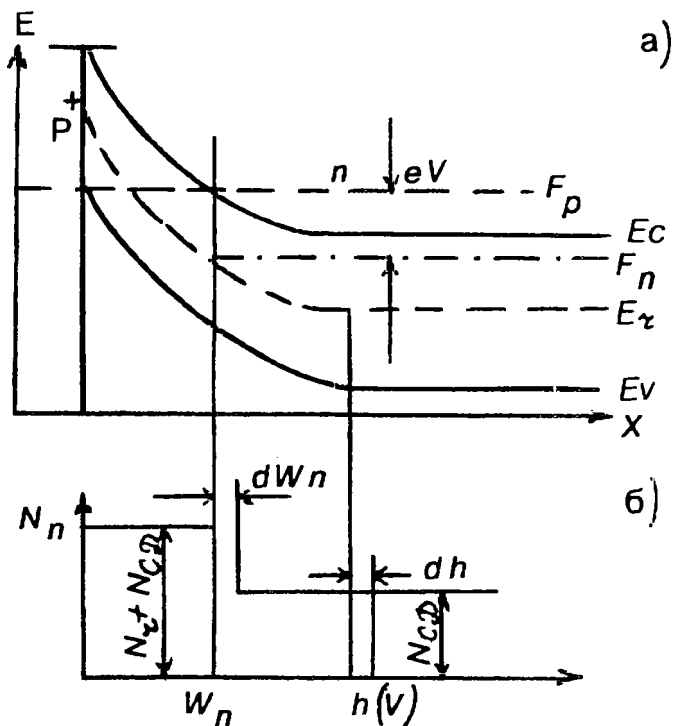
5.3 §. Чуқур марказли диодларнинг баръер сифими

Чуқур марказ (ЧМ)ли диодларнинг сифими хоссалари ни $p-n$ — ўтиш мисолида кўрайлик. P^+-n диод базаси (асосида) концентрацияси N_{nD} бўлган саёз сатҳли донордан ташқари, энергиявий сатҳи E_p , концентрацияси N_{pD} бўлган



5.3-расм. Кескин p - n ўтишда энергетик зоналарнинг жойланиши ва чуқур сатҳларни кучланиш қўйилмаган $U=0$ да (а), тескари кучланиш қўйилган $U \neq 0$ да электрон билан тўлиши (б).

чуқур донор марказ бўлсин (5.3-расм). Бу чуқур сатҳда $e \gg e$, тенгсизлик бажарилсин ва кейинчалик N_{cD} ва N_{nD} ларни махсус қайд қилинмаса координатага боғлиқ эмас деб қабул қиласиз. ҲЗСдан ташқаридағи электр нейтраллик (ЭНС) соҳасида $F_n - E_r > 4$ кТ ва ионлашган чуқур донор концентрацияси



5.4-расм. P^+-n ўтишга тескари кучланиш қўйилган ҳолатда энергетик зоналарнинг жойланиши (а) ва ионлашган киришма атомларининг тақсимоти (б).

$$N_{rDU} = N_{rD} \exp \left[-\frac{F_n - E_r}{kT} \right] \ll N_{CD}$$

бўлсин. У вақтда p^+-n ўтишга қўйилган тескари кучланишда X3C нинг $0 < x < w$ қисмида ЧС ферми сатҳидан юқорида бўлиб, тўла ионлашган ҳолатда бўлади. Бу соҳада ионлашган марказлар концентрацияси N_{CD} ва N_{rD} лар йиғиндиндисига $N = N_{CD} + N_{rD}$ X3C нинг $w < x$ қисмида эса $N = N_{CD}$ га teng бўлади. $t=0$ да диодда тескари кучланиш dV га сакраб (кескин) ошсин. У вақтда X3C нинг кенглигини dh га, W — қатлам қалинлигини dW га ошишига олиб келади. (5.4-расм) dh қатламдан электронни кетиш

вақти максвелл вақти τ_M тартибда бўлади, чунки бу қатламда ҳамма саёз донорлар кучланиш ошгунча ионлашиб бўлган. Чукур донорларнинг dW_n қатламида ионланиши эса кучланиш ошгандан сўнг содир бўлади. Шунинг учун бу қатламда электронни кетиш вақти сатҳнинг тўлдириш релаксация вақти билан аниқланади. dW_n қатламда чукур донорларнинг ионланиши туфайли ҳажмий заряди ортади ва баръер сифимининг ўзгаришига олиб келади. Одатда баръер сифимини ўлчашда $p^+ - n$ ўтишга доимий тескари кучланишдан ташқари синусоидал кичик кучланиш қўйилган бўлади. $p^+ - n$ ўтиш ва шоттки диодлар баръер сифимининг ифодаларини ҳисоблаш устида тўхтамасдан чукур марказ параметрларини аниқлашга керак бўладиган баръер сифимининг формулаларининг баъзи бир хоссаларини таҳдил қиласлил. Синусоидал кичик кучланишнинг паст частоталари $\omega\tau \ll 1$ да сатҳни тўлдириш релаксацияси вақтини ҳисобга олмаслик мумкин ва баръер сифимини стационар заряддан кучланиш бўйича олинган ҳосила орқали ҳисобланиши мумкин. Назарий ҳисоблашларнинг кўрсатишича, паст частотада баръер сифими

$$C_{Hr} = \frac{d\theta_c}{dU} = S \sqrt{\frac{\epsilon_a e (N_{CD} + N_{rD})}{2(U + U_k - \Delta U_k)}} \quad (5.23)$$

формула билан аниқланади. Бу ерда $\epsilon_a = \epsilon_0$ яримўтказгичнинг абсолют диэлектрик сингдирувчанлифи, U_k — контракт потенциаллар айримаси

$$\Delta U_k = \frac{N_{rD}(F_n - E_r)h}{e(N_{CD} + N_{rD})} \quad (5.24)$$

$(F_n - E_r)_h$ — катталик $F_n - E_r$ нинг $x=h$ даги қиймати (5.21) дан кўринадики, паст частотали сифимининг кучланиш билан боғланиши худди базасида фақат саёз донор сатҳлар мавжуд бўлган ҳолдаги $C^{-2}(U)$ каби, лекин бу ерда $C^{-2}(U)$ тўғри чизиқнинг оғиш бурчаги тангенси киришмалар концентрациялари йиғиндиси $N_{CD} + N_{rD}$ га тескари пропорционал. Бундан ташқари, сифим формуласидаги U_k ни ўрнига $(U_k - \Delta U_k)$ кирган. Юқори частота $\omega\tau \gg 1$ да чукур донорларнинг $X = W_n$ текислиги яқинида зарядининг

ўзгаришини ҳисобга олмаслик мумкин, чунки улар кучланиш ўзгариши билан қайта зарядланиб улгурмайдилар. $X=h$ текислиги яқинида фақат саёз сатҳли донорларнинг заряди ўзгаради. Юқори частотали сифим қиймати

$$C_{Br} = \frac{\epsilon_a S}{h(V)} \quad (5.25)$$

формула билан ҳисобланади. Бу ерда S p -н ўтиш юзаси, h — ҳажмий заряд соҳасининг кенглиги. Назарий ҳисоблашларнинг кўрсатишича,

$$h(V) = \frac{N_{CD}(h - w_n)}{N_{CD} + N_{rD}} + \sqrt{\frac{2\epsilon_a(U + U_k - \Delta U_k)}{e(N_{CD} + N_{rD})}} \quad (5.26)$$

формула билан аниқланади.
 $(h - w_n)$ — қатлам қалинлиги

$$h - W_n = \left(\frac{2\epsilon_a(F_n - E_r)_h}{e^2 \cdot N_{CD}} \right)^{1/2}$$

ифода билан ҳисобланади. (5.27) дан кўринадики, $(h - w_n)$ қатлам қалинлиги кучланишга боғлиқ эмас. (5.25) формула саёз киришма мавжуд бўлган p -н ўтишнинг барьер сифимига ўхшаш. Чуқур донорларнинг заряди ўзгарувчан кучланиш ўзгариши орқасидан кетма-кет улгурулмаса ҳам χ^2 Снинг кенглиги ва юқори частотали сифим C_{Br} га таъсир кўрсатади. C_{Hr} ва C_{Br} формулаларнинг бир-бирига солиштиришдан кўринадики, юқори частотали сифим C_{Br} паст частотали сифим C_{Hr} га нисбатан кичик $C_{Br} < C_{Hr}$ бўлиб, у кучланишга C_{Hr} га нисбатан кучсизроқ боғланган, бунинг устига $C^{-2}(U)$ тўғри чизиқли боғланишда эмас. Тескари кучланишнинг ортиши билан C_{Br}/C_{Hr} нисбат ўса бориб бирга интилади. Яъни $C^{-2}(U)$ га яқинлашади. Шу пайтгача чуқур сатҳни стационар тўлдиришдаги барьер сифимини кўрдик, энди кучланиш сакраб ўзгаргандаги барьер сифимини таҳдил қиласайлик. Агар кучланиш сакраб ошганда, ўлчаш асбобларининг вақт доимийси $\tau_{y_{pl}}$, сатҳни тўлдириш релаксация вақти τ дан катта ($\tau_{y_{pl}} > \tau$)

бўлса, чуқур марказларни стационар тўлдиришдаги сифимнинг (паст ёки юқори частотадаги) қиймати ўлчанади. $\tau_{\text{ұтн}} \ll \tau$ тенгсизлик бажарилган ҳолда, чуқур сатҳни тўлдирилганлигининг вақт бўйича ўзгаришига мос ўзгарувчан юқори частотали сифимнинг қандайдир ўткинчи қиймати $C(t)$ ўлчанади. Паст частотали сифим қиймати маъносига кўра ҳамма вақт чуқур марказни стационар тўлдиришда ўлчанади. Ҳақиқатда агар ЧС нинг тўлдирилганлиги ўзгарувчан кучланиш ўзгариши орқасидан улгурса, у вақтда шак-шубҳасиз у ўзгармас кучланиш ўзгариши орқасидан ҳам улгуради. $U = 0$ да чуқур сатҳ стационар тўлатилган бўлсин. Тескари кучланиш улангандан ($0 \rightarrow -U$) сўнг бошлангич вақт $t = 0$ да сатҳни тўлдирилиши, қайта улангунча бўлган ҳолатдаги қийматига тенг бўлади. Яъни $t = 0$ да $\dot{X}ZC$ нинг $0 < x < w_0$ қисмида $N_u = N_{cd} + N_{rd}$ ва $W_0 < x < h_\delta$ қатламида $N_u = N_{cd}$ $\dot{X}ZC$ нинг бошлангич кенглиги ва юқори частотали сифимнинг бошлангич қийматлари қийидаги формуалалар билан аниқланади:

$$h_\delta = \sqrt{\frac{2\varepsilon_a(U + U_k - \Delta U_k)}{eN_{cd}}} \quad (5.28)$$

$$C_{\delta Br} = \frac{S\varepsilon_a}{h_\delta} = S \left[\frac{\varepsilon_a e \cdot N_{cd}}{(U + U_k - \Delta U_k)_\delta} \right]^{\frac{1}{2}} \quad (5.29)$$

Бу ерда

$$\Delta U_k = eN_{rd}W_0^2/2\varepsilon_a \quad (5.30)$$

(5.29) формулани таҳдилидан $C_{\delta Br}$ нинг U билан боғланиши диод базасида факат саёз донор бўлгандаги каби эканлигини кўрамиз. $C_{\delta Br}^{-2}(U)$ тўғри чизиқ оғиш бурчагининг тангенси N_{cd}^{-1} га пропорционал. Бундай боғланиш бошлангич пайтда кучланишининг ўзгариши билан чуқур киришма заряди ўзгармаганлиги билан тушунтирилади. Стационар ҳолатда чуқур донор $\dot{X}ZC$ нинг $x > w_n$ қисмида тўлатилган бўлади. Шунинг учун тескари кучланиш уланиши ($0 \rightarrow U$) билан ΔX қатламдаги сатҳдан электрон кета бошлиайди ва натижада бу қатламда ҳажмий заряд зичлиги-

нинг ошишига олиб келади. Демак, ҲЗС нинг қалинлигини ва сифимини вақт бўйича камайишига олиб келади (Δx қатлам қалинлиги ҳам камаяди). (5.25) ва (5.26) формулалар билан аниқланган юқори частотали сифимнинг стационар қиймати C_{cb} ни C_{db} қиймати билан солиштиришдан $C_{cb} > C_{db}$ бўлишлигини кўрамиз.

Чуқур сатҳли киришмаларнинг стационар сифимга ва ЭНС даги ўтказувчанлигига таъсирини кўрайлик. Катта тескари кучланишда, стационар юқори частотали сифим тахминан паст частотали сифимга teng $C_{cb} = C_n$, ҲЗС нинг ҳамма қисмида чуқур донорлар деярли ионлашган бўлади, шунинг учун бу ҳолда сифим саёз донорлар бўлган ҳолдагидан катта бўлади. Лекин электронейтраллик соҳаси $X > h$ да чуқур донорлар батамом электрон билан тўлатилган ва ЭНС нинг ўтказувчанлигига таъсир кўрсатмайди. Чуқур донорлар учун $e_p \gg e_n$ тенгсизлик бажарилган ҳолда чуқур донорлар ҲЗС нинг ҳамма қисмида электрон билан батамом тўлатилган ($N_v + N_{cd}$), шунинг учун чуқур донорлар сифимга деярли таъсир кўрсатмайди, $C^{-2}(U)$ тўғри чизиқ оғиш бурчагининг тангенси N_{cd}^{-1} га пропорционал бўлади. Чуқур донорларнинг бўлишлиги ЭНС нинг ўтказувчанлигига ҳам таъсир кўрсатмайди, чунки ЭНС да улар батамом электрон билан тўлатилган бўлади.

Диод базасида саёз донордан ташқари, концентрацијаси N_n бўлган чуқур акцептор марказ бўлган ҳолни кўрайлик.

1) Чуқур акцепторлар учун $e_p \gg e_n$ тенгсизлик ўринли бўлсин. ҲЗС нинг деярли ҳамма қисмида чуқур акцептор сатҳ электрон билан тўлатилмаган, яъни ионлашмаган ($N_v = N_{cd}$), шунинг учун чуқур сатҳнинг мавжудлиги сифим қийматига деярли таъсир кўрсатмайди. $C^{-2}(U)$ тўғри чизиқ оғиш бурчагининг тангенси N_{cd}^{-1} га пропорционал бўлади. Лекин ЭНС да чуқур акцептор бор бўлиши ЭНС нинг ўтказувчанлигини камайтиради (компенсациялайди).

2) Чуқур акцептор сатҳ учун $e_p \gg e_n$ бўлган ҳолда эса ҲЗС нинг ҳамма қисмида чуқур акцептор сатҳ электрон билан тўлатилган, яъни ионлашган ($N_v = N_{cd} - N_n$) бўлади. Шунинг учун бундай сатҳни диод базасида мавжуд бўлиши сифим ҳамда ЭНС ўтказувчанлигининг камайишига олиб келади.

5.4 §. Яримўтказгичлар чуқур марказлари параметрларини аниқлашнинг сифим спектроскопия усувлари

Чуқур сатҳли марказ (ЧСМ)лар параметрларини ўлчашнинг сифим спектроскопия усули асосида $p-n$ ўтиш (ёки шоттки барьери)нинг ҳажмий заряд соҳаси (ХЗС)даги чуқур сатҳ (ЧС) ларни электрон билан тўлдирилганлик дарражасига, барьер сифимига, қўйилган тескари кучланиш, ўлчаш кучланиш частотаси, ёруғлик, ҳароратларнинг таъсиридан юзага келган қонуниятларни қайд қилиш (ўлчаш) ётади. Ҳозирги пайтда бир-биридан ЧСни электрон билан тўлдириш, камбағаллаштириш шароитлари билан фарқ қиласидан сифим спектроскопия усулининг бир қанча турлари мавжуд. Уларга сифимнинг изотермик релаксация усулини, иссиқлик билан рағбатлантирилган сифим релаксация усулини, фотосифим, частотавий усулни кўрсатиш мумкин. Бу усувлардан бирини қўллаб юқорида кўрилган ташқи омиллар таъсиридан содир бўлган сифим ўзгаришининг умумий қонуниятлари асосида чуқур марказга тутилиш кесимларини, термик, фотоионланиш коэффициентларини ўлчаш мумкин. Бу усувларнинг асосий камчилиги ўлчаш учун маҳсус структуралар, масалан, $p-n$ ўтишли диод: Шоттки барьери ёки металл-диэлектрик яримўтказгичли структуралардан бирини тайёрлашни кўрсатиш мумкин.

Яримўтказгичларда чуқур сатҳ параметрларини аниқлашнинг сифим спектроскопия усувлари, физик параметрларни сифим орқали аниқлаш усулининг бир кўриниши бўлгани учун уларга характерли бўлган ҳамма хатолик манбалари юқоридаги усувларга ҳам тааллуқлидир. Ўлчашдаги хатоликни баҳолаш шуни кўрсатадики, ЧС нинг тақиқланган зонадаги энергиявий ҳолатини, концентрациясини аниқлашдаги хатолик 10% дан ошмайди, киришма ионланиш кесимининг ўз катталиги тартибидаги хатолик билан ўлчаш мумкин.

a. Сифимнинг изотермик релаксацияси усули

Бу усул билан ЧСМ параметрларини ўлчашнинг физик асосини кескин p^+-n ўтиш ёки металл- n тип яримўтказгич структурали (шоттки барьери) мисолида кўрайлик. Бу таҳлил тескари типдаги диод базаси учун ҳам ўхшаш

бўлади. Аниқлик киритиш учун кескин P^+ -н ўтишли диод n -типдаги яримўтказгич намуна асосида олинган. Яримўтказгичда концентрацияси N_{cd} бўлган саёз сатҳли донор билан бир қаторда, энергиявий сатҳи E_r , концентрацияси N_{rd} бўлган чуқур сатҳли донор бўлиб, у тақиқланган зона ярмининг юқори қисмида жойлашган ва $e_r > e_p$ тенгсизлик, диоднинг электр нейтраллик соҳаси (ЭНС)да $E_F - E_r > 4 \text{ кТ}$ тенгсизлик бажарилади. Диодга V тескари кучланиш улангандан сўнг стационар ҳолатда заряд ташувчилар билан камбағалашган (соҳа) қатлам (ХЗС нинг кенглиги) чегараси h_c нуқтага мос келиб, у кескинлашади. Ферми сатҳи чуқур сатҳни W_c нуқтада кесади. Стационар ҳолатда чуқур донорлар $0 < X < W_c$ соҳада ферми сатҳидан юқорида бўлгани учун улар тўла ионлашган ҳолатда бўлади. Бу соҳадаги ионлашган марказ концентрацияси

$$N_u = N_{cd} + N_{rd} \quad (5.31)$$

бўлади. $W_c < x < h_c$ соҳада чуқур сатҳ тўлатилган, шунинг учун бу соҳада ионлашган марказ концентрацияси ионлашган саёз донор концентрацияси билан аниқланади:

$$N_u = N_{cd} \quad (5.32)$$

ва $X = W_c$ текисликда киришмалар концентрацияси кескин (сакраб) ўзгаради. Энди структурага тескари кучланиш уланган ($0 \rightarrow -V$) да юзага келган ностационар жараёнда чуқур сатҳ тўлдирилганлигини, баръер сифимининг вақт бўйича ўзгаришини, яъни улар кинетикасини кўрайлил. Структурага тескари кучланиш қўйилгандан сўнг $t = 0$ да ҳажмий заряд соҳаси кенгайиб, $h(0)$ га етади. Чуқур сатҳни электрон билан қашшоқлананиш тезлиги унча катта бўлмагани сабабли, бошланғич вақт $t = 0$ да тескари кучланиш улангандан сўнг ҳажмий заряд фақат саёз донор киришма иони N_{cd} билан юзага келган бўлади. Вақт ўтиши билан чуқур сатҳни $e_r = \tau^{-1}$ тезлик билан қашшоқланиси ҳажмий зарядни ўзгаришига олиб келади.

Чуқур сатҳнинг ионлашиб боришидан ўтказувчан зонасига чиқарилган электронни электр майдони ХЗС дан ташқарига тез чиқариб ташлайди. Бу эса электроннинг чуқур сатҳга қайта тутилиш тезлигини камайтиради. На-

тижада вақт ўтиши билан ҳажмий заряднинг стационар тақсимоти ўрнатилади. Тескари кучланиш уланганда ҳажмий заряд соҳаси $W(t)$ нинг кенгайиши ҳам содир бўлади, у ҳам вақт ўтиши билан ўзининг стационар W_c қийматига интилади. Ностационар жараёнда $\dot{X}ZC$ ни уч қисмга бўлиб кўриш мумкин.

1. $t = 0$ да структурага 0 дан V гача бўлган тескари кучланиш улаймиз у кейинчалик ўзгармайди. $\dot{X}ZC$ нинг бошланғич қалинлиги h_0 базанинг қалинлиги l дан кичик бўлсин деб қабул қиласиз. Бу шарт

$$N_{\omega} > \frac{2\varepsilon_a(V + V_k)}{eZ^2} \quad (5.33)$$

тенгсизлик ўринли бўлса бажарилади. Бу ерда N_{ω} — $\dot{X}ZC$ даги ионланиш марказнинг бошланғич концентрацияси, юқорида кўрганимиздек, $t > 0$ да $\dot{X}ZC$ нинг $0 < X < W_c$ қисмida ионлашган марказ концентрацияси

$$N_{\omega} = N_{CD} + N_{rD} \quad (5.34a)$$

бўлади, чунки бу соҳада чуқур донор сатҳи ферми сатҳидан юқорида бўлгани учун у тўла ионлашган ҳолатда бўлади.

2. $W_c < X < Wh(t)$ соҳада ҳажмий заряд вақт ўтиши билан чуқур донорнинг ионланиши туфайли ортиб боради. $\dot{X}ZC$ даги тўла ионлашган марказ концентрациясининг вақт бўйича ўзгариши

$$N_a = (N_{CD} + N_{rD}) \left[1 - a \exp \left(-\frac{t}{\tau} \right) \right] \quad (5.34b)$$

орқали ифодаланади. Бу ерда $a = N_{rD}/(N_{rD} + N_{CD})$.

3. $Wh(t) < x < h(t)$ соҳасида, чуқур донор сатҳи ферми сатҳидан пастда жойлашган бўлиб, у электрон билан тўлатилган. Шунинг учун ҳажмий заряд зичлиги ионлашган саёз донор концентрацияси N_{CD} билан аниқланади.

$$N_u = N_{CD} \quad (5.35)$$

Булардан кўринадики, структура баръер сифимининг вақт бўйича ўзгариши $\dot{X}3C$ нинг $W_c < X < W_a(t)$ қисмидаги чуқур сатҳли донорларнинг ионланиши туфайли содир бўлади. Бу уч соҳани ўз ичига олган $\dot{X}3C$ нинг чегарасида Пуассон тенгламасини интеграллаб, аниқланган кескин $P^+ - n$ ўтиш потенциаллар айрmasи

$$U + U_k = \frac{e}{\varepsilon_a} \int_0^{h(t)} x N_u(x, t) dx \quad (5.36)$$

$\dot{X}3C$ нинг кенглиги $h(t)$ ни топишга имкон беради ва уни билган ҳолда (5.25) дан вақт бўйича ўзгарувчан баръер сифимининг формуласи топилади. Ҳисоблашларнинг кўрсатишича, $\left(\frac{C(t)}{S}\right)^2$ нинг умумий ифодаси орқали тажриба натижаларидан ЧС параметрларини аниқлаш анча мураккаб. Шунинг учун баръер сифимининг ифодасини соддалаштирувчи баъзи бир хусусий ҳолларни таҳдил қиласли.

а) $P^+ - n$ ўтиш ёки шоттки баръерига қўйилган тескари кучланиш катта $U > U_k$ ва чуқур, саёз донорлар концентрация N_{CD}, N_{rD} лари катталиги бир таргибда бўлсин, у вақтда $w \ll h; h - w \ll h$ ва $w \approx h$ бўлади, яъни (5.34 б) муносабат $\dot{X}3C$ нинг ҳамма қисмida ўринли бўлади. Бу ҳолда (5.36) ни интеграллаб ва (5.25) ни қўллаб, структура баръер сифими

$$\left(\frac{C(t)}{S}\right)^2 = \frac{\varepsilon_a (N_{CD} + N_{rD})}{2(V + V_k)} [1 - ae^{-\frac{t}{\tau}}] \quad (5.37)$$

билин аниқланишини кўрамиз (5.37) га $t \rightarrow \infty$ қўйиб, сифимнинг стационар қиймати C_c ҳисобланади. Уни ва (5.37) ни қўллаб сифимнинг

$$\frac{C_c^2 - C^2(t)}{C_c^2} = a \exp\left(-\frac{t}{\tau}\right) \quad (5.38)$$

кўринишдаги формула билан аниқланишини кўрамиз. Бу ифодани қўллаб тажрибада аниқланган $C_c^2 - C^2(t)$ нинг вақтга боғланишидан τ — қийматини аниқлаш мумкин-

лигини кўрамиз (5.38) га $t=0$ ни қўйиб концентрациялар нисбатининг

$$\frac{N_{rD}}{N_{CD}} = \left(\frac{C_c}{C_d} \right)^2 - 1 \quad (5.39)$$

билин аниқлананишини кўрамиз. Бу ерда C_d — юқори частотали сифимнинг бошланғич $V=0$ даги қиймати C_d , C_c ларни тажрибадан аниқланган қийматларини билган ҳолда (5.39) дан концентрация N_{rD} ни ўлчаш мумкин. N_{CD} ни эса $C^2(V)$ боғланишдан топилади:

б) чуқур сатҳли донор концентрацияси кичик $N_{rD} \ll N_{CD}$ ҳамда тескари кучланиш катта бўлсин $V \gg V_k$. У вақтда (5.38) ва (5.39) ифодалар

$$\frac{C_c - C(t)}{C_c} = \frac{N_{rD}}{2N_{CD}} \exp\left(-\frac{t}{\tau}\right) \quad (5.40)$$

$$\frac{N_{rD}}{N_{CD}} = \frac{2\Delta C}{C_c} \quad (5.41)$$

кўринишни оладилар. Энди структуранинг n -тип базасида чуқур сатҳли акцептор бўлган ҳолни кўрайлик. Унинг концентрацияси N_{rA} саёз донор концентрацияси N_{CD} дан кичик $N_{rA} < N_{CD}$. Бу ҳолда ҳам (5.34) (5.35) муносабатлар ўринли бўлиб, N_{dc} ва a лар

$$\begin{aligned} N_{dc} &= N_{CD}; & a &= N_{rA}/N_{CD} \\ N_{dc}(1-a) &= N_{CD} - N_{rA} \end{aligned} \quad (5.42)$$

ифодалар орқали аниқланади. Структурага қўйилган тескарий кучланиш катта $V \gg V_k$ ва N_{CD}, N_{rA} бир тартибда бўлган ҳолда, N_{rA} ни қиймати

$$\frac{N_{rA}}{N_{CD} - N_{rA}} = \left(\frac{C_c}{C_d} \right)^2 - 1 \quad (5.43)$$

билин аниқланади. $N_{CD} - N_{rA}$ нинг қиймати $C^{-2}(V)$ боғланишдан топилади. $V \gg V_k$ ва $N_{rA} \ll N_{CD}$ бўлган ҳолда эса, τ , N_{rA} қийматлари

$$\frac{C_c - C(t)}{C_c} = \frac{N_{rA}}{2N_{CD}} \exp\left(-\frac{t}{\tau}\right) \quad (5.44a)$$

$$\frac{N_{\text{M}}}{N_{CD}} = \frac{2\Delta C}{C_c} \quad (5.446)$$

ифодадан топилади;

в) ЧС учун $e_n \ll e_p$, бўлган ҳолни кўрайлик. Структурага тескари кучланиш уланган ($0 \rightarrow -V$) дан сўнг сатҳнинг тўлатилганлик даражаси деярли ўзгармайди, ХЗС нинг ΔX_0 — юпқа қатлами электрон билан тўла бошлайди, у деярли сифимга таъсир кўрсатмайди. Сатҳларни қайта зарядланишини кузатиш учун сатҳни (электрон билан тўлдириш масаласи тўғри ток ўтказиш билан) уйғотиш тўхтатилгандан сўнг сатҳ (5.21) орқали аниқланувчи вақт доимийси τ билан тўла бошлайди. Бунда ҳажмий заряд зичлиги камаяди. У ўз навбатида чуқур марказ донор, акцептор бўлишидан қатъи назар сифимнинг камайишига олиб келади. $V \gg V_k$ бўлган ҳолда сифим релаксациясини кўрайлик. У вақтда ХЗСнинг ҳамма қисмида уйғотиш тўхтагандан сўнг, ионлашган марказ концентрациясининг вақт бўйича ўзгариши

$$N_u(t) = N_{sc} \left[1 + d \cdot b \exp\left(-\frac{t}{\tau}\right) \right] \quad (5.45)$$

билин аниқланади. Агар чуқур марказ донор бўлса, у ҳолда

$$N_{sc} = N_{cd}, \quad b = N_{rd}/N_{cd}$$

Агар чуқур марказ акцептор бўлса, у ҳолда $N_{sc} = N_{cd} - N_{rd}$, $b = N_{rd}/(N_{cd} - N_{rd})$. d — коэффициент асосий бўлмаган заряд ташувчилар билан сатҳни тўлдирилганлик даражаси бўлиб, у $d = 1 - f_{np}$ орқали ифодаланади. Бу ерда заряд ташувчилар кучли инжекциялашда, $f_{np} = \frac{\gamma_n}{\gamma_n + \gamma_p}$ тўғри ток ўтганда сатҳни тўлдирилганлик даражаси, транзистор структурани қўллашда ёки оптик усул билан уйғотишка $d = \frac{P_c}{P_c + P_i}$ билан ифодаланади. P_c — ковакнинг стационар концентрацияси. Хусусий ҳолда $\tau_{3d} \ll \tau$ бўлганда $d \approx 1$ бўлади. (5.37) ва (5.45) ларни қўллаб

$$\frac{C^2(t) - C_c^2}{C_c^2} = b d \exp\left(-\frac{t}{\tau}\right) \quad (5.46)$$

(5.46) дан чуқур марказ агар донор бўлса,

$$\left(\frac{C_6}{C_c}\right)^2 - 1 = d \frac{N_{rD}}{N_{CD}}, \quad (5.47)$$

чуқур марказ агар акцептор бўлса,

$$\left(\frac{C_6}{C_c}\right)^2 - 1 = d \frac{N_{rA}}{N_{CD} - N_{CA}} \quad (5.48)$$

бўлишлигини кўрамиз. Барьер сифимининг релаксацияси оптик уйғотиш (ёруғлик) орқали ҳам кузатилиши мумкин. P^+ -н ўтишда саёз донор ҳамда чуқур донор бўлган ҳолни кўрайлик. Аниқлик киритиш учун $e_u \gg e_p$ ва $V_u \gg V_p$ бўлсин деб олайлик. Шундай температура олинадики, сатхнинг бошлангич тўлатилганлиги узоқ муддатда сақлансан. Бошлангич вақтда сатҳ стационар тўлдирилганликка эга бўлсин, яъни XЗС нинг ҳамма қисмida электрон билан деярли тўлатилмаган бўлсин, $t=0$ да диодни фотон энергияси $hw \geq E_g$ бўлган ёруғлик орқали P^+ томонидан ёритамиз. Бу вақт доимийси τ_{sp} билан сатҳни электрон билан тўлишига ва натижада сифимининг камайишига олиб келади. XЗС да электроннинг дрейф тезлиги тўйинишига эришгани учун τ_{sp} координатага боғлиқ бўлмайди деб қараш мумкин. У вақтда $N_u(t)$ қуидаги ифода

$$N_u(t) = N_{CD} + N_{rD} \exp\left(-\frac{t}{\tau}\right) \quad (5.49)$$

билан аниқланади. (5.49) ни $\left(\frac{C(t)}{S}\right)^2 = \frac{e \varepsilon_a N_u(t)}{2(V + V_K)}$ га қўйиб сифимининг вақт бўйича боғланиши

$$\frac{C^2(t) - C_c^2}{C_c^2} = \frac{N_{rD}}{N_{CD}} \exp\left(-\frac{t}{\tau_{sp}}\right) \quad (5.50)$$

билин аниқланишини кўрамиз. Тажрибадан аниқланган $f(t) = c^2(t) - C_c^2$ боғланишдан $\tau_{\text{зп}}$ ни топиш мумкин ва

$$\tau_{\text{зп}} = \frac{eV_{\text{др}}}{j\gamma_n} = \frac{eV_{\text{др}}}{jS_n U_m}$$

орқали γ_n аниқланади. Бу ерда j — ток зичлиги, $V_{\text{др}}$ — дрейф тезлиги $N_{rD} \ll N_{CD}$ бўлган ҳолда сифим релаксацияси

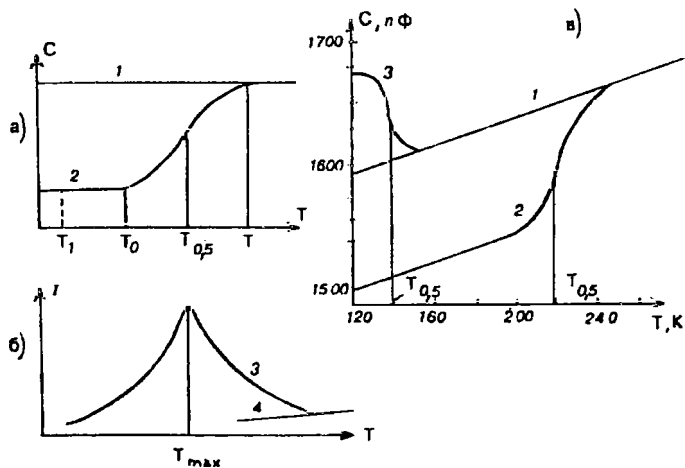
$$\frac{C(t) - C_c}{C_c} = \frac{N_{rD}}{2N_{CD}} \exp\left(-\frac{t}{\tau_{\text{зп}}}\right) \quad (5.51)$$

билин ифодаланади. Энди $x > w_6$ соҳа электрон билан тўла-тилган бўлсин. $t=0$ да диодни n -соҳасидан фотон энергияси $hw \geq E_g$ бўлган ёруғлик билан ёритилса, сатҳни ковак $\tau_{\text{зп}}$ вақт доимийси билан тўлдира бошлайди ва натижада сифимнинг ошишига олиб келади. Бу ҳолда ковак дрейф тезлигининг майдонга боғлиқлигини, яъни $\tau_{\text{зп}}$ нинг масофага боғлиқлигини инобатта олиш керак.

б. Термик рагбатлантирилган сифимнинг релаксация усули

Чуқур марказ параметрларини ўлчашнинг бу усули шоттки баръер (тўсиқ)ли ёки кескин $P^+ - n$ ўтишли структура (диод) ҳароратининг ошиши билан баръер сифими нинг ўзгаришини қайд қилишга асосланган. Баръер сифимининг бу ўзгариши иссиқлик таъсирида чуқур сатҳни қайта зарядланишидан содир бўлади. Бу усулнинг моҳиятини ёритишда ҳам яримўтказгичда концентрацияси N_{CD} бўлган саёз сатҳли донордан ташқари, тақиқланган зонада энергиявий сатҳи E_c , концентрацияси N_{rD} бўлган чуқур сатҳли донор бўлсин ва бу чуқур сатҳ учун $e \gg e_p$, тенгсизлик бажарилади деб қабул қиласиз. Диодни иситиш, со вутиш жараёнларида ундаги чуқур сатҳнинг тўлдирилганлигини ва у билан боғлиқ сифимнинг ўзгаришини кўрайли. Дастрслаб структурани шундай температура $T > T_c$ да ушлаймизки, унда чуқур сатҳнинг электрон билан стационар тўлдирилганлиги тез ўрнатилсин ($\tau \ll \tau_{\text{зп}}$) ва $\omega \tau \gg 1$ тенгсизлик бажарилсин. Бунда ўлчанганди сигим юқори частотали баръер сифимнинг стационар C_c қийматини беради. Кейин диодни тескари V кучланиш уланган ҳолда

чуқур сатхнинг бошланғич ҳолатдаги тұлдирилғанлиги узоқ сақланадиган T_1 температурагача совутамиз. Бу жараёнда сатхнинг тұлдирилғанлик даражаси деярли ўзгармайды. Шунинг учун сифимнинг температурата құксız боғланиши күзатилади (5.5а-расм, боғланиш). Бу боғланиш чуқур сатхнинг стационар тұлдирилғанлиги n_{sc} ва стационар тұлдирилғанликка мос келган стационар барьер сифими C_s ни аңглатади. Энди тескари V күчланиш қўйилған ҳолда диодни T_1 дан бошлаб қиздирмаз. Бу жараёндаги сифимнинг температурата боғланиши ҳам 1-боғланиш каби бўлади. Сўнг диодни, яна қайтадан тескари күчланиш қўйилмаган $V=0$ ҳолда, T_1 температурагача совутамиз, сўнгра тескари күчланиш улаймиз. Бу температурада сатхнинг бошланғич тұлдирилғанлиги n_{sc} ва унга мос си-



5.5-расм. Бир зарядли чуқур маркази бўлган $p-n$ ўтишда сифим (а), тескари токнинг (б) температурага боғланиши. 1,4 — термик рағбатлантирилмаган; 2,3 — термик рағбатлантирилган чуқур сатҳ разряди бўлган ҳол учун. Тилла билан легирланган $p+n$ ўтишли кремний диоди сигимининг температурага боғланиши (б).

$N_c = 1,5 \cdot 10^{14} \text{ см}^{-3}$, $N_A = 1,6 \cdot 10^{13} \text{ см}^{-3}$, $S = 2,2 \text{ см}^2$, $U = 20 \text{ В}$, $b = 1 \text{ К/с}$.

1 — термик рағбатлантириш бўлмаганданда чуқур сатҳ разряди;

2 — акцептор сатҳи рағбатлантирилганда чуқур сатҳ разряди;

3 — термик рағбатлантирилганда донор сатхини электрон билан тўлиши ($DE_c - E_A = 0,56 \pm 0,04 \text{ эВ}$, $DE_b - E_A = 0,36 \pm 0,03 \text{ эВ}$, $e_n < e_p$).

ғимнинг бошлангич қиймати C_b узоқ сақланади. C_b нинг қиймати C_c га нисбатан кичик. Энди диодга тескари V кучланиш уланган ҳолда унинг температурасини күтара борамиз. Температуранинг T_1 дан T_0 оралиғида сатҳнинг бошлангич тұлдирілгандылығы сақланиши туфайли сифимнинг температурага күчсиз болганиши содир бўлади. Температуранинг T_0 дан T_c гача бўлган оралиғида эса структура сифимининг тез ўсиши кузатилади. Бу температура оралиғида сатҳнинг тұлдирілгандык релаксация вақти камаяди ва сатҳнинг термик рағбатлантирилган разряди (сатҳдан электроннинг иссиқлик таъсирида чиқиши) кузатилади. Бу ўз навбатида сифимнинг тез ўсишига олиб келади. Сатҳнинг термик рағбатлантирилган разряди тутагандан сўнг, ($T > T_c$ да) 1- ва 2-боғланишлар бир-бираға мос тушади. Сатҳнинг термик рағбатлантирилган разряди тескари ток релаксациясини ҳам юзага келтиради, яъни диодда тескари ток импульсининг оқишига олиб келади (5.5, б-расм). Температура ошиши билан тескари V кучланиш кўйилган диодда ток кўтарилади ва маълум бир температурада максимумга эришиб, камая бошлайди. Сатҳнинг термик рағбатлантирилган разряди тугаши билан ток одатдаги диод стационар тескари токигача камаяди. Энди диоднинг термик рағбатлантирилган сифим ва ток релаксациялари орқали чуқур сатҳ параметрларини аниқлашни кўрайлик.

Ҳажмий зарядни ҳосил қилувчи ионлар концентрацияси ҲЗС нинг ҳамма қисмида бир хил бўлганда, ионлашган марказ концентрацияси

$$N_u(t) = N_{cd}^+ + N_{rd}^+(t) \quad (5.52)$$

билин аниқланади. Шу билан бирга, ионлашган чуқур донорлар концентрацияси

$$N_{rd}(t) = N_{rd} \left[1 - \exp \left(- \int_0^t e_n(t) dt \right) \right] \quad (5.53)$$

қонуният бўйича ошади. Унга мувофиқ нейтрал сатҳлар концентрацияси камаяди

$$n_r(t) = N_{rD} \exp \left[- \int_0^t e_n(t) dt \right]$$

Маълумки, тескари ток зичлиги чуқур сатҳидан ўтказувчан зонага вақт бирлигига ўтаётган электронлар сонига $\left(\frac{dn_r}{dt} \right)$ пропорционал

$$j_{\text{тек.ток}} = e \frac{dn_r}{dt} = e \frac{d}{dt} N_{rD} \exp \left[- \int_0^t e_n(t) dt \right] = -e_n(t) n_r(t) \cdot e \quad (5.55)$$

Термик рағбатлантирилган тескари ток қандайдир температура T да максимумга эришгани учун (5.53) дан вақт бўйича олинган ҳосила $T = T_{\max}$ да нольга тенг бўлади.

$$\left(\frac{dj_{\text{тек.ток}}}{dt} \right)_{T=T_{\max}} = -e \frac{d}{dt} (e_n(t) \cdot n_r(t)) = e \frac{de_n}{dt} + e e_n \frac{dn_r}{dt} \Big|_{T_{\max}} = 0 \quad (5.56)$$

Модомики сатҳнинг термик рағбатлантирилган разряди кичик температура оралиғига содир бўлар экан, бу ораликда температуранинг вақт бўйича ошишини

$$T = T_0 + \beta t$$

кўринишдаги чизиқли қонуният бўйича боради деб ҳисоблаш мумкин. Бу ерда β — температуранинг ўсиш тезлигини аниқловчи коэффициент Kc^{-1}

$$dT = \beta dt \quad (5.58)$$

бўлишилигини назарда тутиб ва (5.18) ифодани қўллаб, (5.56) дан чуқур сатҳ ионланиш энергиясининг

$$\ln \left(\frac{T_{\max}^4}{\beta} \right) = \frac{\Delta E_r}{KT_{\max}} + \ln \left(\frac{\Delta E_r}{\kappa b V_n} \right) + \ln \left(1 + \frac{2\kappa T_{\max}}{\Delta E_r} \right) \quad (5.59)$$

ифода билан аниқланишини кўрамиз.

Амалиётда кўп ҳолларда $2 KT_{\max} < \Delta E_r$ бўлади. У вақтда (5.59) ифода

$$\ln \left(\frac{T_{\max}^4}{\beta} \right) = \frac{\Delta E_r}{KT_{\max}} + \ln \left(\frac{\Delta E_r}{k_b V} \right) \quad (5.60)$$

кўринишга келади. Бу формулани қўллаб, тажрибадан чуқур сатҳнинг ионланиш энергиясини аниқлаш учун структуранинг ҳар хил иситиш тезликлари β да термик рафбатлантирилган тескари токлари қайд қилинади ва токнинг максимумга эришган температуралари орқали $\ln \left(\frac{T_{\max}^4}{\beta} \right)$ ни $\frac{1}{T_{\max}}$ га боғланиши чизилади. Унинг оғиши бурчаги тангенсидан $\left(\frac{\Delta E_r}{k} \right)$, абсцисса ўқи $\left(\frac{1}{T_{\max}} \right)$ нинг кесишиш нуқтаси орқали V , топилади. Энди термик рафбатлантирилган сифимнинг релаксациясидан чуқур сатҳ ионланиш энергиясининг аниқланишини кўрайлик. Бунинг учун диод температураси чизиқли қонуният билан ўсиб бораётганида чуқур сатҳнинг ярмигача разрядланиши учун кетган вақт ҳисобланади, яъни $N_{r,D}(t_{0,5})=0,5N_{c,D}$ ни (5.53) ифодага қўйиб ва $e_n=\tau_n^{-1}$ лигини назарда тутиб, (5.18) ни қўллаган ҳолда чуқур сатҳ ионланиш энергиясининг

$$\frac{\Delta E_r}{KT_{0,5}} = \ln \left(\frac{\gamma_n N_c T_{0,5}}{\beta \ln 2} \right) - \ln \left(\frac{\Delta E_r}{KT_{0,5}} \right) \quad (5.61)$$

кўринишдаги тақрибий ифодасини оламиз.

Бу $T_{0,5}=T_0+\beta t_{0,5}$ ни $t=0,5$ вақтдаги диод температураси иккинчи томондан $t=t_{0,5}$ даги сифими

$$\frac{C^2(t) - C_6^2}{C_c - C_6} = 0,5 \quad (5.62)$$

муносабат билан аниқланади. $T_{0,5}$ температура $C(t)$, C_6 , C_c лар тажриба натижаларидан топилади.

$N_{c,D} \ll N_{r,D}$ тенгсизлик бажарилганда (5.62) ифода

$$\frac{\Delta C(t_{0,5})}{\Delta C} = 0,5 \quad (5.63)$$

кўриниши олади. Бу ерда $\Delta C(t_{0,5}) = C(t_{0,5}) - C_6$ $\Delta C = C_c - C_6 \cdot \Delta C(t)$ сифимнинг 1- ва 2-боғланишлари айрмасини ифодалайди. Назарий ҳисоблашларнинг кўрсатишича, чукур сатҳ ионланиш энергиясини термик рағбатлантирилган ток максимуми бўйича аниқлашда (5.61) формуладан фойдаланиш ҳам мумкин, унда $T_{0,5}$ ни T_{\max} га ўзгартирилади, холос.

Юқоридаги мулоҳазалардан кўринадики, термик рағбатлантирилган ток, сифим релаксациялари бўйича чукур сатҳ параметрларини аниқлашда $T(t)$ нинг чизиқли боғланишда бўлишлик шарти бажарилиши керак. $T(t)$ нинг чизиқли боғланишига кенг температура оралифида автоматик қурилмалар билан эришиш мумкин. Одатда, сатҳнинг термик рағбатлантирилган разряди кичик температура оралифида содир бўлгани учун, бу соҳада $T(t)$ нинг ноҷизифий боғланишини (5.58) муносабат орқали апроксимациялаш мумкин.

Энди чукур сатҳ концентрацияси N_{cd} ни аниқлашни кўрайлик. Структуранинг бошланғич ҳолатдаги температураси $T_6 = T_c$ ва унга тескари V кучланиш қўйилган бўлсин. Бу ҳолда ҳажмий заряд соҳасининг кенглиги $h(V, T)$, сифими $C(V, T)$ бўлсин. Тескари кучланиш V ни сақлаган ҳолда структурани T_1 температурагача совутсак, унинг ҲЗС нинг кенглиги $h(V, T_1)$ ва сифими $C(U, T_1)$ бўлади. Бунда ҲЗС нинг ҳажмий заряд зичлиги $\rho = e(N_{cd} + N_{cp})$ сақланади. T_1 температурада структура тескари V кучланишини V_1 гача камайтирсак, ҲЗС нинг кенглиги $h(V_1, T_1)$ ва сифими $C(V_1, T_1)$ бўлади. Бунда ҳажмий заряд соҳасининг кенглиги бир мунча камаяди. Шу билан бирга, бу соҳада чукур сатҳ заряди ўтказувчан зонадаги электрон билан компенсацияланади. T_1 температурада тескари V кучланишини V гача қайтадан тикласак, бу соҳа янгитдан асосий заряд ташувчилар билан камбағаллашади, лекин чукур сатҳ ҳажмий заряд зичлигига таъсир кўрсатмайди, ҲЗС нинг ҳажмий заряд зичлиги $\rho = eN_{cd}$ билан аниқланади. Тескари V кучланиш қўйилган ҳолда T_1 температурадан бошланғич ҳолатдаги температура T_c гача кўтартсак, у ҳолда сатҳнинг термик рағбатланган разряди туфайли, структура сифими ҳамда ҲЗС нинг кенглиги ўзларининг бошланғич қийматлари $h(V, T)$ ва $C(V, T)$ га қайтадилар. Ҳисоблашларнинг кўрсатишича, юқорида кўрсатилган шароит-

ларда ўлчанган $C(V, T)$, $C(V, T_1)$, $C(V_1, T_1)$ сифимлар орқали чуқур сатҳ концентрацияси

$$N_{r,n} = -N_{CD} \frac{C^2(V_1, T_1)[C^2(V, T_1) - C^2(V, T)]}{C^2(V, T_1)[C^2(V_1, T_1) - C^2(V, T)]}$$

формула билан аниқланиши мумкин. Агар $V_1=0$, $h(V_1, T_1)=0$ ва структура сифимлари $C(V, T)$ ва $C(V, T_1)$ нинг қийматлари бир-биридан кам фарқ қиласа, у ҳолда $N_{r,D}$

$$N_{r,D} = 2N_{CD} \frac{C(V, T) - C(V, T_1)}{C(V, T_1)}$$

билин аниқланади. Шуни таъкидлаш керакки, чуқур сатҳ параметрларини аниқлашнинг термик рағбатлантирилган сифим, ток усуllibарининг ЧС параметрларини тез ва тақрибий баҳолашга қўллаш мақсадга мувофиқдир. Бу усуllibар билан ўлчашнинг хатолигини камайтириш учун сифимнинг $C(t)$ ва токнинг $I(t)$ боғланишларини структура температурасининг ҳар хил ўсиш тезлиги (β) да ўлчаш зарур, лекин бу билан усульнинг асосий ютуғи, яъни усульнинг соддалиги ўз маъносини йўқотади.

в. Фотосифим усули

Бу усулда текшириладиган намуна металл-яримўтказгич, $p-n$ ўтишли (структурда оптик криостатга жойлаштирилади ва кучланиш қўйилмаган $U=0$ ҳолатда совитилади, сўнгра тескари кучланиш қўйиб киришмавий ютилиш соҳасига мос келадиган ҳар хил тўлқин узунликдаги монохроматик ёруғлик билан ёритилиб, структура сифими ўлчанади. Қуйида ўлчанган сифимнинг спектрал боғланишидан ЧС параметрларини аниқлашнинг назарий асосини ва баъзи бир ифодаларини қисқача таҳдил қиласайлик. Одатда паст температура (77К) да чуқур донор сатҳ $E_{r,D}$ дан электроннинг ўтказувчан зонаси E_C га, валент зонаси E_V дан чуқур акцептор сатҳ E_A га иссиқлик таъсирида ўтиши, яъни термик генерация тезлизигини кичик деб қаралади. Шунинг учун биз кўраётган ҳолда структура сифимининг ўзгариши ҲЗС даги ЧС нинг фотоионланиши туфайли содир бўлади. Бундай ҳолат температураси 77К бўлан германий, кремний-арсенид-галлий намуна-

ларида ионланиш энергияси $\Delta E \geq 0,18$ эВ бўлган ЧС лар учун кузатилади. Маълумки, диоднинг ҲЗС да эркин заряд ташувчилар концентрациялари Больцман тақсимоти билан аниқланади. ҲЗС даги электр майдони эркин заряд ташувчиларни бу соҳдан ташқарига сиқиб чиқаргани учун уларнинг концентрацияси жуда кичик бўлади. Тескари қўйилган кучланиш $V > \frac{KT}{e}$ бўлганда, паст температураларда ҲЗС да $p=0$ ва $n=0$ деб олиниши билан катта хатоликка йўл қўйилмайди. Шунинг учун (5.9а) тенгламадаги эркин заряд ташувчиларни ЧС га тутилиши билан боғлиқ ҳадларни инобатга олмаслик мумкин. У ҳолда ЧС даги электроннинг концентрациясини вақт бўйича ўзгариши фақат фотоионланиш туфайли содир бўлади ва у (5.9а) дан

$$\frac{dn_r}{dt} = [\chi_p \cdot (N_r - n_r) - \chi_n n_r] I_v \quad (5.66)$$

кўринишдаги тенглама билан аниқланишини кўрамиз. Стационар ҳолат $\frac{dn_r}{dt} = 0$ да (5.66) дан ЧС нинг электрон билан тўлдирилганлик даражаси

$$\frac{n_r}{N_r} = \frac{\chi_p(h\nu)}{\chi_p(h\nu) + \chi_n(h\nu)} \quad (5.67)$$

билан аниқланади. (5.66) тенгламанинг $t=0$ да $n_r=N_r$ бошланғич шартни қаноатлантирувчи ечими, яъни чуқур донар сатҳнинг ностационар жараёнда электрон билан тўлдирилганлик даражаси

$$\frac{n_r}{N_r} = \frac{\chi_p(h\nu)}{\chi_n(h\nu) + \chi_p(h\nu)} + \frac{\chi_n(h\nu)}{\chi_n(h\nu) + \chi_p(h\nu)} \exp\left(\frac{t}{\tau}\right) \quad (5.68)$$

билан аниқланади. (5.66) тенгламанинг $t=0$ да $n_r=0$ бошланғич шартни қаноатлантирувчи ечими, яъни чуқур акцептор сатҳнинг электрон билан тўлдирилганлик даражаси

$$\frac{n_r}{N_r} = \frac{\chi_p(h\nu)}{\chi_n(h\nu) + \chi_p(h\nu)} \left[1 - \exp\left(-\frac{t}{\tau}\right) \right] \quad (5.69)$$

билин аниқланади. Бу ерда

$$\tau^{-1} = [\chi_n(h\nu) + \chi_p(h\nu)] I, \quad (5.70)$$

(5.68) ва (5.69) ифодалардан кўринади, ЧС ларни оптик қайта зарядлаш экспонента қонунияти бўйича бир хил вақт доимийси t билан содир бўлади. Фотосигимнинг фотон энергиясига боғланишини учта соҳага ажратиш мумкин.

1. Фотон энергиясининг ЧС ионланиш энергиясидан кичик бўлган $h\nu < \Delta E$, соҳаси. Бу соҳада сатҳни қайтадан оптик ўтишлар билан зарядлашнинг иложи бўлмайди ва натижада сатҳнинг тўлдирилганлик даражаси ўзгармайди.

2. Фотон энергиясининг $\Delta E < h\nu < E_g - \Delta E$, соҳаси. Бу соҳада сатҳнинг тақиқланган зона ярмидан юқори ёки паст қисмида жойланишига қараб, $\chi_n(h\nu) > 0$, $\chi_p(h\nu) = 0$ ёки $\chi_p(h\nu) > 0$, $\chi_n(h\nu) = 0$ бўлади. Донон чуқур сатҳнинг тўлдирилганлик даражаси бу соҳада $\chi_p \neq 0$, $\chi_n = 0$ бўлишилигини назарда тутсак, (5.68) дан

$$\frac{n_r}{N_r} = \exp\left(-\frac{t}{\tau}\right) \quad (5.71)$$

билин аниқланишини кўрамиз. Чуқур акцептор сатҳининг тўлдирилганлик даражаси $\frac{n_r}{N_r}$ (5.69) дан бу соҳада $\chi_p > 0$, $\chi_n = 0$ бўлишини назарда тутсак,

$$\frac{n_r}{N_r} = 1 - \exp\left(-\frac{t}{\tau}\right) \quad (5.72)$$

келиб чиқади. Шундай қилиб, фотон энергиясининг электронни E_{rD} дан E_c га E_v дан E_{rA} га чиқаришнинг етарли соҳасида структурани узоқ муддатли ёритишдан чуқур донор сатҳининг электрон билан тўла қашшоқланиши, чуқур акцептор сатҳининг тўлиши содир бўлади.

3. Фотон энергиясининг $E_g - \Delta E < h\nu \leq E_g$ соҳаси. Бу спектрал соҳада иккита оптик ўтиш, яъни электронни ёруғлик таъсирида E_{rD} дан E_c га ва E_v дан E_{rA} га ўтиши кузатилади. Узоқ муддатли ёритишдан сўнг, яъни $t \rightarrow \infty$ да

$t \gg \tau$ бўлади. (5.68) ва (5.69) ларга кўра сатҳнинг тўлдирилганлик даражаси

$$\frac{n_r}{N_r} = \frac{\chi_p(h\nu)}{\chi_n(h\nu) + \chi_p(h\nu)} \quad (5.73)$$

билин аниқланади. Бундан кўринадики, сатҳнинг тўлдирилганлик даражаси фақат электронни, ковакни фотонланиш кесимлари $\chi_n(h\nu)$ ва $\chi_p(h\nu)$ нинг спектрал боғланиши билан аниқланиб, у на ёруғлик интенсивлигига, на сатҳнинг бошланғич ҳолатда қандай тўлдирилганлигига боғлиқ эмас. Агар диоднинг p -тип базасида ЧС тақиқланган зона ярмининг юқори қисмида ёки n -тип базасида тақиқланган зона ярмининг куйи қисмида жойлашган бўлса, фотосифимни ўлчашда уни қайта зарядлаш фақат иккита $E_c \rightarrow E_c$, $E_v \rightarrow E_v$ оптик ўтишлар фотон энергиясининг $h\nu > (E - \Delta E)$ соҳасида мумкин бўлади. Бундай сатҳларни текширишдан олдин улар асосий бўлмаган заряд ташувчилар билан қайта зарядланади ва сўнг $N_u = f(t)$ боғланиш ўлчанади. Бундай усул билан ЧС параметрларини ўлчаш индукцияланган фотосифим усули деб юритилади.

Фотосифимни ўлчашда ЧС ни қайта зарядлаш одатда диод сирти энергияси $h\nu \geq E_g$ бўлган ёруғлик билан ёритиш орқали амалга оширилади. Бу соҳада ютилиш коэффициенти $\alpha \gg d^{-1}$ (d — диод сиртидан $p-n$ ўтиш чегарасигача бўлган масофа) бўлади. Структурани ёритишдан ҳосил бўлган электрон ковак жуфтлари $p-n$ ўтиш чегараси томон диффузияланадилар ва ҲЗС да ажраладилар. ҲЗС дан фақат асосий бўлмаган заряд ташувчилар ўтади. Хусусий ютилиш соҳасида ЧС нинг қайта зарядланишидан юзага келган диод сифимини ўзгаришиига олиб келади:

$$N_u(t) = N_{CD} + N_{rD} \exp\left(-\frac{t}{\tau_{зп}}\right) \quad (5.74)$$

экспоненциал қонуният бўйича ўзгаради. ЧС ни тўлдириш жараёнининг вақт доимийси $\tau_{зп}$ ни ўлчаб,

$$\tau_{зп} = \frac{e \cdot V_{\Phi}}{f \cdot \gamma_n} \quad (5.75)$$

ифодасидан заряд ташувчиларнинг марказга тутилиш кесими γ , ни аниқлаш мумкин. Диффузион диодларда эса битта чуқур сатҳ узун электроннинг ҳам ковакни тутилиш кесимларини аниқлаш мумкин. Фотосигим усули билан ЧС энг кичик концентрациясини қайд қилиш, ўлчашиб курилмасининг сезгирилиги диоднинг тӯла сифимига, сатҳнинг фотоионланиш кесимига боғлиқ бўлиб, у изотермик сифим релаксацияси усули каби

$$N_r = N_u \cdot \frac{2\Delta C}{C} \quad (5.76)$$

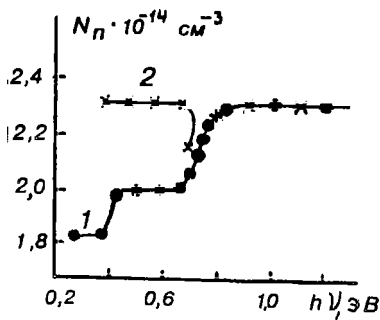
билин аниқланади. Тажрибаларнинг кўрсатишича, сифими ни ўлчаща ўзгарувчан ток кўприги қўлланилганда $\frac{\Delta C}{C}$ нинг кичик қиймати 10^{-2} - 10^{-3} тартибида бўлади. Модомики, намунада киришмалар умумий концентрацияси 10^{13} см $^{-3}$ бўлганда, чуқур сатҳнинг концентрацияси 10^{10} - 10^{11} см $^{-3}$ бўлсагина кузатиш мумкин. Бошқача айтганда, юзаси $0,1$ см 2 ХЗС кенглиги 30 мкм бўлган диодда $3 \cdot 10^8$ - $3 \cdot 10^7$ тагача киришма атомини қайд қилиш мумкин. Бу усулнинг камчилиги сифатида ЧС нинг фотоионланиш кесими билан чекланганлигини ва киришмавий ютилишни ёруғлик интенсивлигига боғлиқлигини кўрсатиш мумкин. Узлуксиз монохроматик ёруғлик спектрлари одатда иссиқчилик манбаларини (глобар, Нернст штифт) қўллаш орқали олинади. Уларнинг интенсивлиги нисбатан кичик бўлади. Диод сиртига тушаётган монохроматик ёруғлик интенсивлиги $10^{15} \div 10^{16}$ квант/см $^2 \cdot$ с дан ошмайди. Агар $x < 10^{20}$ см 2 бўлса, ЧС ни оптик ўтишлар билан қайта зарядлашнинг вақт доимийси $\tau \geq 10^{-1}$ с бўлади. Сигимнинг бундай секин релексациясини фақат ЧС нинг катта концентрациясида, курилма турғун ишлаганда ўлчашиб мумкин. ЧС энергия ионизацияси фотосигим спектридан унинг ўзгариши кузатиладиган энг кичик фотон энергияси орқали топилиши мумкин. Унинг аниқ қиймати кўрилаётган сатҳда ёруғликнинг ютилиш назарияси билан аниқланган боғланишдан топилади. Яримўтказгичларда баъзи бир киришмалар кўп зарядли ҳолатда бўлган тутқич марказларни ҳосил қиласиди. Улар кристалл панжара-да ҳар хил ҳолатда бўлиши ва комплекслар, атомлар комп-

лекси ҳосил қилиши мумкин. Бу ҳолатда диоднинг тўла фотосифим спектри ҳар бир сатҳ, фотосифим спектри йиғиндисидан иборат бўлади. Фотосифимнинг ўзгариш табиатига қараб, сатҳ энергияси ўзгарувчан зона *tubiga* ёки валент зона *shiniga* нисбатан ўлчашни аниқлайди. Биринчи ҳолда чуқур сатҳнинг камбағаллашидан ҳажмий заряд зичлиги ортиши туфайли, структура сифими ўсади (сифим ўзгариши мусбат), иккинчи ҳолда чуқур сатҳдан ковакни валент зонага чиқариш туфайли, сифим камаяди. (Сифим ўзгариши манфий.)

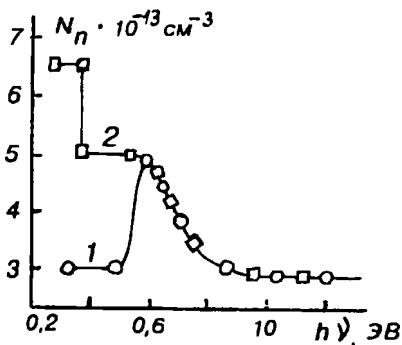
Фотосифим усули билан тутқич асосий бўлмаган заряд ташувчилар унинг марказ параметрларининг аниқланиши унинг асосий ютуғидир.

Тилла киришмали кескин $n^+ - p$ ўтишнинг фотосифим индукцилашган фотосифим спектрлари 5.6-расмда келтирилган. Фотосифим, яъни X3C да ионлашган марказ концентрацияси N_p нинг биринчи поғонаси фотон энергиясининг $h\nu = 0,34$ эВ дан бошлаб кузатилади. У бошқа усуллар билан аниқланган тилла киришмасининг куйи сатҳи ионланиш энергиясига мос келади.

N_p нинг бу энергияда кескин ўзгариши кўрилаётган сатҳнинг муайян фотоионланиш энергиясига эга эканлигидан далолат беради. Фотон энергиясини $h\nu \geq 0,7$ эВ соҳасида N_p нинг янгитдан ортиши кузатилади. Бу спектрал соҳада тилла юқори сатҳи орқали иккита оптик ўтишлар бўлиши мумкин. ($E_r \rightarrow E_c$ ва $E_v \rightarrow E_p$). $N_p(t)$ боғланиш бу сатҳ учун $\frac{\chi_p}{\chi_n} = f(h\nu)$ боғланишга мос тушади. Фотон энергиясининг $h\nu > 0,8$ эВ соҳасида N_p тўйиннишга инти-



5.6-расм. Тилла киришмали $n^+ - p$ диоднинг фотосифим спектри (1) индукуцияланган фотосифим спектри (2).



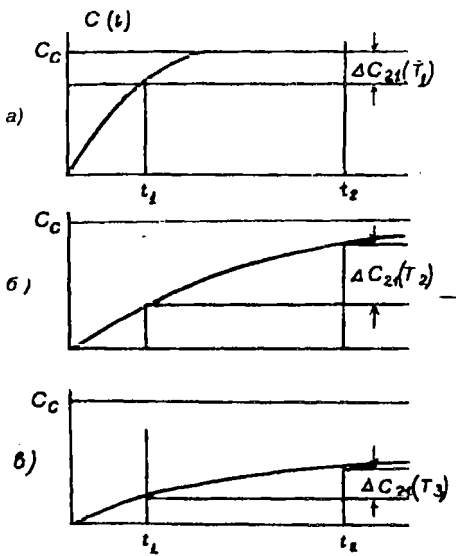
5.7-расм. Тилла
киришмали n^+ - p диоднинг
77 К даги фотосифим (1),
индукцияланган фотосифим
(2) спектрлари.

лади ва хусусий ёруғлик $h\nu > E_g$ билан қайта зарядлашдан ўзгармайди. Бу спектрал соҳада тилла юқори сатҳи учун $\chi_p \gg \chi_n$ бўлади. Фотон энергиясини $h\nu > 0,8$ эВ дан бошлаб кучсиз ўзгариши, тилла қуи сатҳи орқали иккита оптик ўтиш мумкин бўлганда шуни кўрсатадики, бу сатҳ учун $\chi_p \gg \chi_n$ муносабат ўринли бўлади. Текширилаётган дидининг индукцияланган фотосифим спектри 5.6-расмда 2-боғланиш орқали ифодаланган. Унинг таҳлили кўрсатишича, фотон энергиясини $h\nu = 0,56$ эВ бўлган қийматда X3C да ионлашган марказ концентрациясининг кескин камайиши хусусий ёруғлик таъсирида электрон билан тўлатилган юқори тилла сатҳининг камбағаллашиши туфайли содир бўлган деб тушунтирилади.

P^+ - n диоднинг фотосифим спектри (5.7-расм) n^+ - p — дидининг фотосифим спектри билан яхши мос келади. Бу ҳолда N_e нинг кескин ортиши фотон энергиясининг $h\nu = 0,56$ эВ соҳасида содир бўлади. Фотон энергияси ортиши билан χ_p/χ_n нисбатнинг камайиши туфайли, N_e камая бошлайди. Индукцияланган фотосифим спектри (2-боғланиш)да тилла қуи сатҳининг электрон билан тўлиши туфайли содир бўлган поғона кузатилади.

в. *DLTS — сифимнинг автоматлашган релаксация усули*

Сифимнинг изотермик релаксация усули диодга кўйилган кучланишни, уйғотувчи ёруғликни қўлда бир каррали (марта) қайта ўлчашдан даврий қайта улашга ўтиш орқали такомиллаштирилиб борилади. Бунда диодга тескари йўналишда уланган кучланиш устига чуқур сатҳни тўлдирувчи тескари қутбли даврий частотаси f — бўлган кучла-

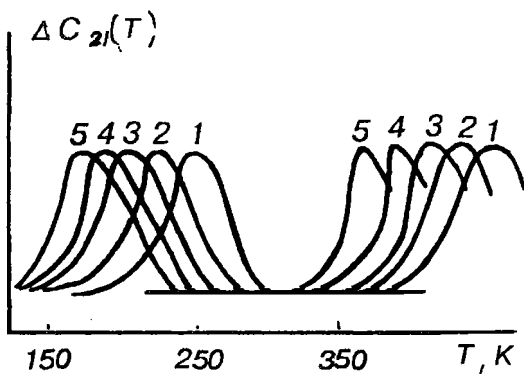


5.8-расм. Кучланишни қайта улаш $O \rightarrow U$ дан сўнг ҳар хил температураларда сигимнинг вақтга боғланиши
а- $T=T_1$, б- $T=T_2$, в- $T=T_3$, $T_1 > T_2 > T_3$.

ниш импульси берилади. Ланг томонидан даврий қайта улаш усули ривожлантирилди ва автоматлаштирилган усулнинг назарий ва амалий асоси яратилди. Бу усул ЧС ни спектроскопик тадқиқ қилишнинг даврий қайта улаш усули *DLTS* деб юритила бошланди. Шундай қилиб, *DLTS* автоматлаштирилган изотермик сигим релаксация усулидир. Бу усулга кўра намуна температурасининг секин ўзгариш жараёнида тўлдирувчи кучланиш ҳар бир қайта улашишидан сўнг сигим релаксациясидан берилган $t=t_1$ ва $t=t_2$ вақтлардаги $C(t_1)$ ва $C(t_2)$ сигимларни (5.8-расм), улар фарқини

$$\Delta C_{21} = C(t_1) - C(t_2)$$

ҳамда температурани (масалан, термопара ишлатилганда термо ЭЮКни) автоматик тарзда ўлчаб боради ва ΔC нинг температурага боғланиши $\Delta C(T)$ топилади. t_1 ва t_2 ларни ўзгартириб, $\Delta C_2(T)$ нинг “оиласи” (5.9-расм) чизилади



5.9-расм. P^+ - n типдаги GaAs диодда $U_{\text{пр}} \rightarrow U$ ға қайта улашдан сўнг $C_{21}(T)$ нинг температурага боғланиши.

1. $t_1=0,02$ мс; $t_2=0,2$ мс; 2. $t_1=0,05$ мс; $t_2=0,5$ мс;
3. $t_1=0,1$ мс; $t_2=1,0$ мс; 4. $t_1=0,2$ мс; $t_2=2,0$ мс;
5. $t_1=0,5$ мс, $t_2=5,0$ мс.

ва улар ёрдамида релаксация вақтининг температурага боғланиши $\tau(T)$ аниқланади. Бу ўлчанган боғланишлар орқали ЧС параметрларини топишни таҳлил қиласайлик.

Чукур сатҳ (ЧС) учун $e_n \gg e_p$ ҳамда $U \gg V$ ва $N_{CD} \gg N_s$, тенгсизликлар бажарилсин деб қарайлик. Бу ҳолда симменинг вақт бўйича ўзгариши $0 \rightarrow U$ қайта улашдан кеъин (5.40) ифода билан аниқланади. Бу ифодадан $C(t)$ ни $t = t_1$ ва $t = t_2$ даги қиймати ҳамда уларнинг фарқи $\Delta C_{21}(t) = C(t_2) - C(t_1)$ ни ўлчаш орқали

$$\frac{\Delta C_{21}}{C} = \frac{N_r}{2N_{CD}} \left[\exp\left(-\frac{t_1}{\tau}\right) - \exp\left(-\frac{t_2}{\tau}\right) \right] \quad (5.76)$$

аниқланишини кўриш қийин эмас. $\Delta C_{21}/C$ нисбат берилган t_1 ва t_2 ларни қийматида намуна температурасига боғлиқ ва у қандайдир температура T_{\max} да максимумга эришади. (5.76) ифодани температура бўйича дифференциаллаб, ҳосиласини нольга тенглаштириб, бироз соддалаштиришдан сўнг

$$\tau_{\max} = \frac{t_2 - t_1}{\ln(t_2/t_1)} \quad (5.77)$$

билинг ифодаланишини кўрамиз.

Берилган t_1 ва t_2 вақтлардаги $\frac{\Delta C_{21}}{C} = f(T)$ боғланиш, унинг $T=T_{\max}$ даги қиймати, T_{\max} температуранинг ўзи эса тажрибадан аниқланади. Сўнг t_{\max} , t_1 ва t_2 лар ҳамда $(\Delta C_{21}/C)_{\max}$ берилган ҳолда ЧС концентрацияси (5.76) га кўра

$$N_{rD} = 2N_{CD} \left(\frac{\Delta C_{21}}{C} \right)_{\max} \left[\exp \left(-\frac{t_1}{\tau_{\max}} \right) - \exp \left(-\frac{t_2}{\tau_{\max}} \right) \right] \quad (5.78)$$

ифодадан ҳисобланади.

Одатда $e_n \ll e_p$ бўлган ҳолда сатҳни тўлдиришда тўғри токдан тескари кучланишга ($I_{np} \rightarrow U$) тез қайта улаш қўлланилади. Бу ҳолда ЧС учун $\gamma_n \gg \gamma_p$ бўлса, сатҳнинг бошланғич тўлдириш даражаси

$$f = \frac{\gamma_n}{\gamma_n + \gamma_p}$$

учун $f=1$ тенгсизлик бажарилмайди. Шунинг учун $I_{np} \rightarrow U$ қайта улаш сатҳни тўлдирилганлик даражасини ва у билан боғлиқ структура сифимини ўзгартирмайди, бошқача айтганда, сифим релаксацияси кузатилмайди. Демак, $e_n \gg e_p$ бўлган чуқур сатҳ параметрларини $DLTS$ билан аниқлаш учун $f \neq 1$ тенгсизлик бажарилиши керак экан. Бу p^+ -н ўтишли GaAs диодида яхши намоён бўлган.

Диод концентрацияси $N_{CD}=S \cdot 10^{15} \text{ см}^{-3}$ бўлган n -типдаги арсенид галлийдан ясалган. Диодда кучланишни $0 \rightarrow I$ қайта улашдан сифим релаксацияси кузатилмаган.

$I_{np} \rightarrow U$ қайта улашдан сўнг эса иккита чуқур сатҳни тўлдириш релаксациясига боғлиқ икки хил температура оралиғида сифим релаксацияси (сифимнинг камайиши) кузатилган. Демак, бундан кўринадики, икки сатҳ учун $e_n \ll e_p$ тенгсизлик бажарилади. ΔC_{21} нинг температурага боғланиши t_1 ва t_2 ларнинг бешта қийматида олинган ҳар бир боғланишидан T_{\max} , τ_{\max} (5.77) билан аниқланаб, $\tau_{\max} = f(T_{\max})$ боғланишдан сатҳларнинг энергетик ҳолати $E_1 = E_v + 0,44$ ЭВ, $E_2 = E_v + 0,77$ ЭВ билан аниқланшини кўрсатади. $DZTS$ нинг кўп чизмаларида $N/N_{\text{себ}}$ нисбат билан аниқланадиган сезгирилиги 10^{-4} тартибда бўлади. Корреляция усула-

рини кўллаш билан унинг сезгирилигини $N_e/N_{\text{сас}} \sim 10^{-7}$ гача етказиш мумкинлиги кўрсатилган.

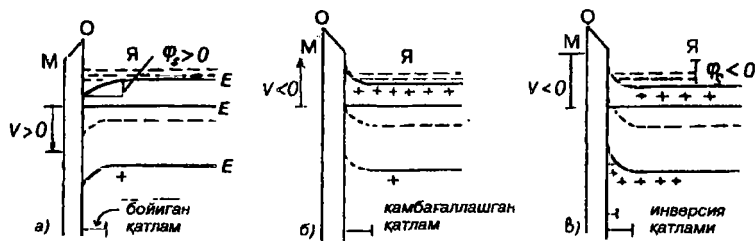
DLTS усули билан ЧС лар тўғрисида кўп маълумотлар олиш имконига эга бўлгани учун кейинги йилларда уларнинг кўпдан кўп чизмалари яратилиб, илмий лабораторияларда қўлланиб келинмоқда.

5.5-§. Металл-диэлектрик — яrimўтказгич структура параметрларини ўлчашнинг С—V усули

a. Идеал металл-диэлектрик-яrimўтказгич (МДЯ) структура С—V тавсифи

Яrimўтказгичлар сиртида, аниқроғи, диэлектрик-яrimўтказгич чегарасида сирт ҳолатлари, яъни яrimўтказгичнинг тақиқланган зонасида рухсат этилган энергия сатҳлари бўлмаган, диэлектрик (масалан, оксид, шиша) қатламида қўзгалувчан (K, Na, Cs ионлари) ва қўзгалмас тутқич марказ зарядлари, бошқача айтганда, сирқиш токи бўлмаган, яrimўтказгич билан металл чиқиш ишларининг фарқи нолга тенг бўлган МДЯ структура бенуқсон (идеал) структура дейилади. Идеал МДЯ структурасида яrimўтказгичнинг сирт потенциали ҳажмидаги потенциалига тенг бўлади ва структурага ташқи кучланиш қўйилмаганда яrimўтказгичда энергиявий зоналари ясси (текис) бўлади. *n*-тип яrimўтказгич асосида олинган МДЯ структурага ташқи кучланиш уланганда кечадиган жараёнларни қисқача таҳдил қиласли.

Структурага мусбат силжиш кучланиши (металл томонига ўзгармас ток манбайнинг мусбат кутби) уланса, яrimўтказгич ҳажмидан электронларни сирт (диэлектрик-яrimўтказгич чегараси) томон тортувчи электр майдони пайдо бўлади ва яrimўтказгичнинг сирт соҳасида асосий заряд ташувчилар (электрон) билан бойиши кузатилади. Бу соҳада электр нейтраллик шарти бузилади ва ҳажмий заряд соҳаси (ХЗС) содир бўлади. ХЗС нинг ҳажмий заряди яrimўтказгич-диэлектрик чегарасида сирт потенциалининг ортишига, энергиявий зоналарининг эгриланишига олиб келади (5.10-расм). ХЗСнинг кенглиги заряд ташувчилар билан бойиш режимида етарлича кичик 100А° бўлади, шунинг учун кучли бойиш режимида сиртий за-



5.10-расм. Нуқсонсиз (идеал) МОЯ структуранинг бойиш (а), камбагаллашиш (б), инверсия (в) режимдаги энергетик диаграммаси.

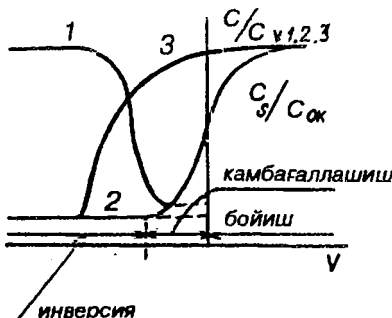
ряд сифими шундай катта бўладики, МДЯ структура сифими диэлектрик (масалан, оксид) сифимига тенг бўлади. Агар кучланишни $V=0$ гача камайтирсак, асосий заряд ташувчилар туфайли юзага келган сифим камаяди. Ярим-үтказгич киришма атомларининг концентрацияси 10^{14} – 10^{15} см⁻³ тартибида, диэлектрик қатламишининг қалинлиги 0,1:1 мкм чамасида бўлганда, структура сифими ($0,6 \div 0,9$) C_D ни ташкил этади. Мутлақ МДЯ структуранинг $V=0$ даги сифими яssi (текис) зоналар сифими C_{∞} деб юритилади. Структурага нисбатан катта бўлмаган манфий силжиш кучланиши уланганда яримүтказгичнинг сирт соҳаси асосий заряд ташувчилар (электрон) билан камбагаллашади, компенсацияланмаган қўзғалмас мусбат зарядланган киришма донон ионидан ташкил топган X3C пайдо бўлади ва оқибатда энергия зоналарининг эгриланиши кузатилади (5.10 б-расм). Бу ердаги X3C $p-n$ ўтишга тескари йўналишда қўйилган кучланишдан ҳосил бўлган X3Сга ўхшаш бўлади. X3C нинг сифими заряд ташувчилар билан камбагаллашган қатлам кенглиги W_{X3C} билан аниқланади. W_{X3C} қўйилган кучланишга, яримүтказгичнинг легирловчи киришма атом концентрациясига боғлиқ бўлиб, у сиртда потенциалнинг ортиши билан катталашади. Сирт соҳасининг камбагаллашиш режимида кучланишнинг ортиши X3C сифимининг камайишига олиб келади. Кўрилаётган ҳолда асосий заряд ташувчилар (электронлар)ни яримүтказгич сиртида ҳам, ҳажмида ҳам ўтказувчанлик зонасида ҳаракатланишини назарда тутсак, улар диффузион-дрейф мувозанати ўрнатилиши (максвелл) вақт доимийси 10^{-12} С билан силжиш кучланиши изидан

боради. Шунинг учун сиртнинг заряд ташувчилар билан камбағаллашиши, бойишидан юзага келган структуранинг юқори, паст частотали С—V характеристикалари бир-бира га мос тушадилар. (5.11-расм, 1,2 чизиқлар). Манфий силжиш кучланишини катталаштириб, яримўтказгичнинг энергия зоналарида шундай эгрilанишга эришиш мумкини, унинг сирт соҳасида хусусий яримўтказгич ҳосил қилиш мумкин. Бунда яримўтказгичнинг сирт соҳасида ҳаракатчан асосий ва асосий бўлмаган заряд ташувчилар концентрацияси биргаликда минимумга эришади. Бу ҳолатдаги сирт потенциалига мос равищда МДЯ структуранинг паст частотали С—V характеристикаси минимумга эришади. Мътумки, манфий силжиш кучланиши ортиши билан ҲЗС нинг кенгайишидан ташқари, ҲЗС нинг кенглигидан анча кичик бўлган соҳада асосий бўлмаган заряд ташувчилар концентрацияси орта боради.

Асосий бўлмаган заряд ташувчилар концентрацияси асосий заряд ташувчиларнидан ортиши билан сирт соҳасида ўтказувчанлик типи ўзгаради, яъни ўтказувчанликнинг инверсияси кузатилади (5.10 в-расм). Инверсион қатлам кенглиги ҲЗСнинг кенглигидан анча кичик бўлгани учун, бу қатламнинг сифими жуда катта бўлади ва натижада ўтказувчанликнинг инверсия соҳасида паст частотали С—V характеристика диэлектрик (оксид) сифими гача тез тўйинади (5.11 расм—1-чизиқ). Инверсион қатламда ковак ўтказувчанлиги мавжуд бўлганлиги туфайли, ковакни кўчишидан ёки ҲЗС да генерацион-рекомбинацион жараёнлар туфайли, қатлам заряди ўзгариши мумкин. Бу жараёнлар нисбатан секин кечадиган жараёнлар, шунинг учун частотанинг ўсиши билан асосий бўлмаган заряд ташувчилардан пайдо бўлган сифим нолга интилади.

Кузатишларнинг кўрсатишича, генерация жараёнлари критик частотани аниқлайди. Бу частота шундай частотаки, ундан катта частотада С—V характеристика юқори частотали характеристика (2) нинг кўринишини олади. Яримўтказгичнинг сиртий сифими, камбағаллашган қатлам сифимидан иборат бўлади. Инверсион қатлам пайдо бўлгандан сўнг ҲЗС нинг кенгайиши тўхтайди. Асосий бўлмаган заряд ташувчилар МДЯ (МОЯ) структура сифимига ҳисса қўшмаса ҳам, юқори частотали сифимни ин-

5.11-расм. Нуқсонсиз МОЯ структуранинг С—V характеристикаси. 1,2 чизиқлар ва ҳақиқий МОЯ структура характеристикаси (3 чизик). Паст (1), юқори (2) частотали С—V характеристикалар, (3) — оксиддаги кўзгалмас зарядни, чиқишишлари фарқининг таъсирини ҳисобга олгандаги МОЯ нинг С—V характеристикаси.



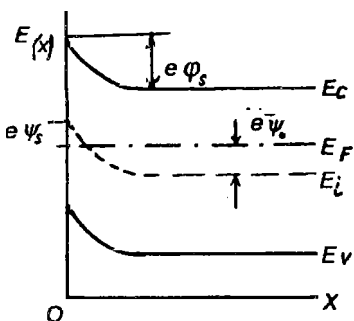
версия режимида сигум $C_{\text{инв}}$ сатҳидә тўйинишга олиб келади. Критик частота ~ 1кГц тартибида, баъзи бир ҳолда, ундан кичик 0,1 кГц бўлган қийматларни қабул қиласи. Оралиқ частоталарда С—V характеристика инверсия режимида шубҳасиз 1- ва 2-ҳолатлар орасини эгаллайди. Шуни эслатиш жоизки, биз юқорида муҳокама қилган идеал МДЯ структура, С—V характеристикаси юқори паст частотали ўлчаш сигналидан силжиш кучланиши доимий ёки секин (квазистатик) ўзгариш кузатиладиган ҳолга (тадалуқлидир) тегишлидир.

б. Идеал МДЯ структуранинг С—V характеристикаси ни назарий ҳисоблаш

Кўп ҳолларда МДЯ структурада диэлектрик яримўтказгич чегарасининг параметларини тажриба натижалари бўйича аниқлашда идеал МДЯ структуранинг С—V характеристикасидан фойдаланилади. Идеал МДЯ структура С—V характеристикасини ҳисоблаш структурага диэлектрик қатлам орқали ташки электр майдон қўйилганда, яримўтказгич сирти яқинида содир бўладиган ХЗС нинг назариясига асосланган. ХЗС нинг зарядини ҳамда у билан боғлиқ сифимни аниқлаш учун n - тип яримўтказгич сирт соҳаси энергия зоналари диаграммасидан фойдаланамиз ва

$$e\psi = E_i - E_F \quad (5.79)$$

ифода билан аниқланадиган электр потенциали тушунчаси киритилади (5.12-расм). Бу ерда E_i — яримўтказгичда ферми сатҳи E_i — берилган температурадаги хусусий



5.12-расм. Яримўтказгич сирт соҳасининг энергетик диаграммаси.

тушади. Потенциал $\psi(x)$ ни x координатага боғлиқ, ва боғлиқ бўлмаган икки ҳаддан иборат деб қараш мумкин:

$$\psi(x) = \psi_0 + \varphi(x) \quad (5.80)$$

ψ_0 — энергия зоналарида эгриланиш бўлмаган яримўтказгич ҳажмидаги потенциал. Яримўтказгич сирти ($x=0$) да потенциал

$$\psi(0) = \psi_s$$

бўлади.

Энергия зоналарининг эгриланиши сирт соҳаси яқинидаги ҳажмий заряд туфайли юзага келган бўлиб, у ихтиёрий x — нуқтада ҳажмий заряд электр майдони билан боғлиқ электростатик потенциал $\varphi(x)$ билан аниқланади. Яримўтказгич сиртида потенциал

$$\varphi(0) = \varphi_s$$

бўлиб, сиртнинг электростатик потенциалига мос келади.

$e\varphi_s$ катталиқ сирт соҳасининг энергия зоналари эгриланишига тенг бўлиб, сиртда электрон энергиясини аниқлайди. Сиртдан ичкарида электростатик потенциал $\varphi_s = 0$ бўлади. Агар сиртда электростатик потенциал нолга тенг, яъни $\varphi_s = 0$ бўлса, у ҳолда энергия зоналарида эгриланиш бўлмайди, бу ясси зона шарти деб юритилади. Агар $\psi(0) = \psi_s = 0$ бўлса, яримўтказгич сиртида хусусий яримўт-

казгичлик шарти амалга ошади ва сиртда ферми сатҳи E_F билан мос тушади.

Айнимаган яримўтказгичда электрон, ковак концентрацияларининг x га боғланиши $\psi(x)$ ва $\varphi(x)$ потенциаллар орқали

$$\begin{aligned} n(x) &= N_c \exp\left(-\frac{E_c(x) - E_F}{kT}\right) = n_0 \exp\left(\frac{e\psi(x)}{kT}\right) \\ p(x) &= N_v \exp\left(-\frac{E_F - E_V(x)}{kT}\right) = p_0 \exp\left(-\frac{e\psi(x)}{kT}\right) = p_0 \exp\left(\frac{e\varphi(x)}{kT}\right) \end{aligned} \quad (5.81)$$

ифодалардан аниқланади. Бу ифодалар таҳлилидан кўринаники, ψ_s ва ψ_0 бир хил ишорада бўлса, ҲЗС эса бойиган, ҳар хил ишорада бўлса, камбағаллашган ва инверсион қатламлар ҳосил бўлиши мумкин. Маълумки, сирт соҳасидаги ҳажмий заряднинг, ҳажмий заряд соҳасининг сифимини Пуассон тенгламаси

$$\operatorname{div} \mathbf{E} = \frac{d\epsilon}{dx} = \frac{1}{\epsilon_0 \epsilon_1} \rho(x) \quad (5.82)$$

ечими асосида топилади. Бу ерда ζ — яримўтказгичнинг диэлектрик сингдирувчанлиги, ϵ_0 — вакуумнинг диэлектрик сингдирувчанлиги, ϵ — ҳажмий заряд соҳасининг электр майдони, $\rho(x)$ — ҳажмий заряд зичлиги.

Донор концентрацияси N_D , акцептор концентрацияси N_A бўлган n -тип яримўтказгич сиртидан узоқда (ҳажмидада) электр нейтраллик шарти

$$n_0 - p_0 = N_D - N_A \quad (5.83)$$

билин ифодаланади. Сирт соҳасида бу шарт бузилади ва ҳажмий заряд зичлиги $\rho(x)$

$$\rho(x) = -e(n(x) + N_A) + e(p(x) + N_D) \quad (5.84a)$$

ёки (5.83) шартни ҳисобга олганда,

$$\rho(x) = e(p(x) - p_0) - e(n(x) - n_0) \quad (5.84b)$$

билин ифодаланади, n_0 , p_0 — мос равишда мувозанатдаги электрон, ковак концентрацияси $\psi(x)$ ва $\varphi(x)$ потенциалларни ўлчамсиз потенциаллар

$$u(x) = \frac{e\psi(x)}{kT}, \quad v(x) = \frac{e\varphi(x)}{kT} \quad (5.85)$$

орқали ифодаланса, Пуассон тенгламаси (5.82)

$$\frac{d^2 u}{dx^2} = -\frac{e^2 n_i}{KT \epsilon_1 \epsilon_0} [\lambda(e^{-u} - 1) - \lambda^{-1}(e^u - 1)] \quad (5.86)$$

кўринишга келади. Бу ерда λ — катталик

$$\lambda = \frac{p_0}{n_i} = \frac{n_i}{p_0} = \left(\frac{p_0}{n_0} \right)^{\frac{1}{2}}$$

орқали топилади.

(5.86) тенгламани $x \rightarrow \infty$ да $\frac{du}{dx} = 0$ бўлган чегаравий шартни қаноатлантирувчи биринчи интегрални

$$\frac{du(x)}{dx} = \pm 2l F(\lambda, u) \quad (5.87)$$

бўлади. Бу ерда $F(\lambda, u)$ функция, у

$$F(\lambda, u) = [\lambda^{-1}(e^u - u - 1) + \lambda(e^{-u} + u - 1)] \quad (5.88)$$

орқали ифодаланади (5.87) тенглама $u > 0$ да мусбат ишора билан $u < 0$ да манфий ишора билан олинади. Энергия зоналари эгриланиши пастга бўлса, у нинг ишораси мусбат ҳисобланади.

l — узунлик бирлигидаги катталик бўлиб,

$$l_i = \left(\frac{\epsilon_1 \epsilon_0 K T}{2 e^2 n_i} \right)^{\frac{1}{2}} \quad (5.89)$$

билин аниқланади, у хусусий яримўтказгичда электр майдонининг Дебай экранлаш узунлиги деб юритилади. Ярим-

үтказгич кристалли сиртида электр майдон кучланганлиги (5.87) га кўра

$$\epsilon_s = -\frac{d\varphi(x)}{dx} \Big|_{x=0} = \pm 2 \frac{KT}{e} l_i^{-1} F(\lambda, u_s) \quad (5.90)$$

кўринишни олади.

Остраградский-Гаус теоремасига мувофиқ сиртга яқин соҳадаги юза бирлигига келтирилган сирт заряди Q_s электр майдон кучланганлиги E орқали

$$Q_s = -\epsilon_1 \epsilon_0 E = \pm 2 \frac{KT}{e} \epsilon_0 \epsilon_1 l_i^{-1} F(\lambda, u_s) \quad (5.91)$$

муносабат билан топилади.

Потенциалнинг координатага боғланиши (5.87) ни интеграллаш орқали топилади

$$x(u) = \pm \frac{l_i}{2} \int_{u_s}^u \frac{du}{F(\lambda, u)} \quad (5.92)$$

ҳисоблашларнинг кўрсатишича (5.92) tenglama баъзи бир хусусий ҳоллардагина аналитик ечимга эга.

Таърифга кўра структура сирт соҳаси ҳажмий зарядининг дифференциал сифими

$$C = \frac{dQ_s}{dV} \quad (5.93)$$

орқали ифодаланиши мумкин. Структурага қўйилган ташки силжиш кучланиши диэлектрикка тушган кучланиш V_p ва сирт электростатик потенциали φ_s йиғиндисига тенг бўлади:

$$V = V_p + \varphi_s = \frac{Q_{x3}}{C_D} + \varphi_s \quad (5.94)$$

МОЯ структура сифими С (5.93) ва (5.94) ларга кўра

$$\frac{1}{C} = \left(\frac{dV}{dQ_s} \right) = \frac{dV_p}{dQ_s} + \frac{d\varphi_s}{dQ_s} = \frac{1}{C_D} + \frac{1}{C_s} \quad (5.95)$$

орқали аниқланади. Бу ерда

$$C_D = \frac{dQ_s}{dV_D} — \text{диэлектрикнинг геометрик сифими бўлиб,}$$

у иккита металл пластина (контакт) орасига олинган диэлектрик ҳосил қилган конденсатор сифимига тенг,

$C_s = \frac{dQ_s}{dV_s}$ — сирт электростатик потенциалининг ўзгаришидан ҳосил бўлган сирт сифими. У мутлақ МДЯ структура учун сирт яқинидаги ҳажмий заряд $Q_s = Q_{xz}$ дан юза-га келган сифим C_{xz} тенг бўлиб, у

$$C_{xz} = \frac{dQ_{xz}}{d\varphi_s} = \frac{\epsilon_1 \epsilon_0}{2l_i} \frac{[\lambda(1 - e^{-u_s}) + \lambda^{-1}(1 - e^{u_s})]}{[\lambda(e^{-u_s} - 1) + \lambda^{-1}(e^{u_s} - 1) + (\lambda - \lambda^{-1})u_s]^{\frac{1}{2}}} \quad (5.96)$$

билин топилади.

Шундай қилиб мутлақ МДЯ структурага қўйилган силжиш кучланиши (5.94) нинг электростатик потенциалга боғланишини (5.91) ва (5.85) дан

$$V = \pm \frac{l_i^{-1} \epsilon_0 \epsilon_1 [\lambda^{-1}(e^{u_s} - us - 1) + \lambda(e^{-u_s} + us - 1)]^{\frac{1}{2}}}{e C_D} + \frac{KT}{e} u_s \quad (5.97)$$

билин аниқланишини кўрамиз. Юқорида айтилганидек, биринчи ҳади $u_s > 0$ бўлганда мусбат, $u_s < 0$ бўлганда манфий ишора билан олинади. Диэлектрикнинг юза бирлигига келтирилган геометрик сифими формуладан ҳисобланади.

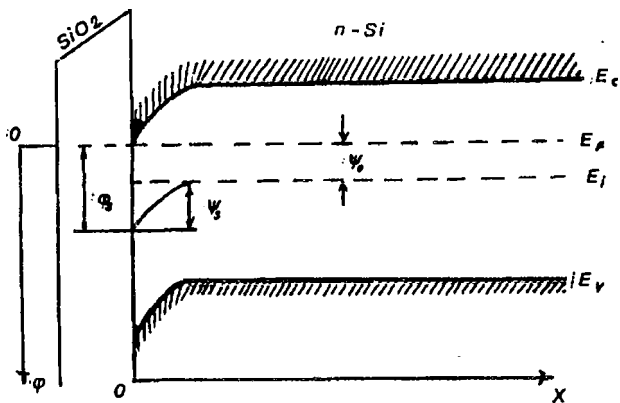
$$C_D = \frac{\epsilon_0 \epsilon_D}{w_D}$$

Бу ерда:

ϵ_D — диэлектрикнинг диэлектрик сингдирувчанилиги;

w_D — диэлектрик қатлам қалинлиги.

ТошДУ нинг яrimутказгичлар ва диэлектриклар физикиси кафедрасининг илмий ходимлари, ўқитувчилари МДЯ структура хоссаларини ўрганиш борасида ўзлари-



5.13-расм. *n*-типдаги кремний МДЯ структурасининг энергетик зоналар диаграммаси модели.

нинг муносиб ҳиссаларини қўшиб келмоқдалар. Улар МДЯ структура $C-V$ характеристикасининг ҳисоблаш ифодаларини бирмунча соддалаштирганлар. Соддалаштириш асосида юқорида изоҳланган мутлақ. МДЯ структура учун қабул қилинган фаразлар ҳамда *n*-тип яримўтказгичда $N_A \ll N_D$ ва юқори частотада асосий бўлмаган заряд ташувчиларнинг ҳажмий зарядга камбагаллашган, бойиган режимларда қўшадиган ҳиссаси жуда кичик, инобатга олмаса бўлади, деган фараз ётади. Шунинг учун Пуассон тенгламаси (5.82) даги ҳажмий заряд зичлиги

$$\rho(x) = -e(n(x) - n_0) = -e(n(x) - N_D)$$

кўринишда олинган бўлиб, Пуассон тенгламаси ечилган. Ҳисоблашни соддалаштириш учун энергиянинг ноль қиймати қилиб ферми сатҳига мос режимдаги энергетик сатҳ қабул қилинган ва ҳисоб паст томонга қараб олиб борилади (5.13-расм). Потенциал эса

$$\varphi(x) = \psi(x) + \varphi_0 \quad (5.99)$$

кўринишда олинган. Бу ерда $e\varphi$ — электрон энергияси, $e\varphi_0$ — яримўтказгич ҳажмидаги электрон энергияси, $e\varphi$ — диэлектрик яримўтказгич чегарасидаги электрон энергия-

си. Сиртда $X=0$ да сирт потенциали $j_s = \psi_s + \varphi_0$ га тенг, бўлишиликни назарда тутсак ва $u_s = e\psi_s/kT$ ўлчамсиз сирт потенциали киритганда ҳисоблашларнинг кўрсатишича, юза бирлигидаги сирт сифими C_s ни, яъни ҳажмий заряд сифими

$$C(u_s) = \frac{e(N_D - n_0 \exp u_s)}{(2n_0 k T / \epsilon_1 \epsilon_0)^{1/2} [e^{u_s} - u_s - 1]^{1/2}} \quad (5.100)$$

орқали аниқланади.

u_s — мусбат (зоналарнинг бошлангич эгриланиши пастга қараган бўлса) ҳамда манфий (зоналар эгриланиши юқорига бўлса) қийматлар қабул қилиши мумкин. Ҳажмий заряд сифимини (5.100) ифодадан мураккаб бўлмаган алмаштиришдан сўнг $u_s > 0$ да сиртни заряд ташувчилар билан бойиш соҳасида

$$C(u_s) = \frac{e n_0 (\exp u_s - 1)}{(2n_0 k T / \epsilon_1 \epsilon_0)^{1/2} (\exp u_s - u_s - 1)^{1/2}} \quad (5.101)$$

$u_s < 0$ да заряд ташувчилар билан камбағаллашиш соҳасида

$$C(u_s) = \frac{e n_0 (1 - \exp(-u_s))}{(2n_0 k T / \epsilon_1 \epsilon_0)^{1/2} [u_s + \exp(-u_s) - 1]^{1/2}} \quad (5.102)$$

билин аниқлашишини кўрамиз. МДЯ структурага қўйилган тўла кучланишнинг сирт потенциалига боғланиши $u_s > 0$ да

$$V = \left(\frac{2n_0 K T}{\epsilon_1 \epsilon_0} \right)^{1/2} [e^{-u_s} + u_s - 1]^{\frac{1}{2}} \frac{\epsilon_1 \epsilon_0}{C_D} S + \frac{K T}{e} u_s \quad (5.103)$$

$u_s < 0$ да

$$V = \left(\frac{2n_0 K T}{\epsilon_1 \epsilon_0} \right)^{1/2} [e^{-u_s} + u_s - 1]^{\frac{1}{2}} \epsilon_1 \epsilon_0 \frac{S}{C_D} - \frac{K T}{e} u_s \quad (5.104)$$

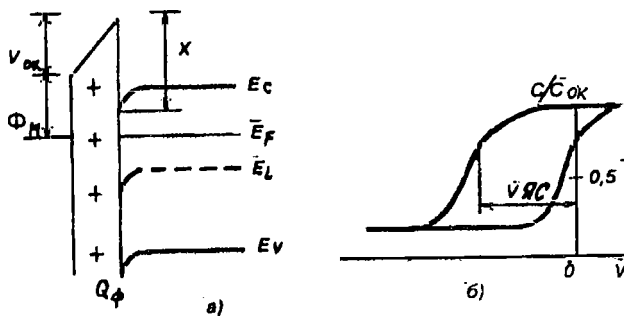
аниқланади. Бу ерда: S — контакт юзаси; C_D — диэлектрик (ёки оксид) сифими.

в. Ҳақиқий (реал) МДЯ структуранинг С—V характеристикаси

Маълумки, МДЯ структурада металл-яримўтказгич чиқиши ишларининг фарқи нолдан фарқ қилганда унинг ишорасига қараб, структурага ташки кучланиш қўйилманганда, яримўтказгич сирт соҳасида манфий ёки мусбат ишорали ҳажмий заряд пайдо бўлиши мумкин. Металл-яримўтказгич потенциаллар фарқидан ҳажмий заряддан юзага келган электр майдони структурага қўйилган ташки силжиш кучланишини ҳосил қилган электр майдонига қўшилади ва натижада С—V характеристикани кучланиш ўқи бўйича силжишига олиб келади (5.14-расм). Диэлектрик қатламда қўзғалмас (муайян ҳолатдаги заряднинг бўлиши ҳам характеристикани шундай силжишига олиб келади.

Шуни таъкидлаш керакки, бу зарядни металл-яримўтказгич чегарасидан қандай масофада жойлашгани маълум эмас. Шунинг учун эффектив заряд тушунчасидан фойдаланилади, у шундай зарядки, диэлектрик (оксид) — яримўтказгич чегарасига жойлаштирилганда кузатилган ҳодисани ҳосил қила олади. Ясси зоналар таърифига кўра, сирт потенциали $\varphi > 0$ да ясси зоналар кучланиши

$$V_{ac} = \frac{E_{im}}{e} + \frac{Q_{\phi}}{C_D} \quad (5.105)$$



5.14-расм. Металл-яримўтказгич чиқиши ишларини, оксиддаги қўзғалмас зарядни МОЯ структура энергетик диаграммасига (а), С—V характеристикасига (б) таъсири Φ_M — металл чиқиши иши, x — яримўтказгич электронига яқинлик, V_{ac} — оксиддаги кучланиш тушуви, $E_{im} = \Phi_M - (x + E_F - E_v)$ металл-яримўтказгич чиқиши ишларининг фарқи, Q_ϕ — оксид (диэлектрик)даги қўзғалмас заряд.

бўлади. Бу ерда $E_{\text{ам}}$ — яримўтказгич — металл чиқиши ишларининг фарқи, $Q_{\text{зф}}$ — эффектив муйян ҳолатдаги (кўзғалмас) заряд, C_D — диэлектрик (оксид) сифими. Диэлектрик қатламдаги муйян ҳолатдаги заряд мусбат ҳам, манфий ҳам бўлиши мумкин. Энди сирт ҳолатларнинг таъсирини кўрамиз. Юқорида изоҳланганлардан кўрина-дики, ҳақиқий (реал) сирт бенуқсон (идеал) сиртдан сирт ҳолатлари деб номланувчи энергия сатҳлари мавжудлиги билан фарқланадилар. Уларнинг табиати ҳар хил бўлиб, кристаллнинг ажралиш (диэлектрик-яримўтказгич) чега-расида кристалл тузилишининг бузилиши туфайли юзага келадилар.

Сирт ҳолатлари асосан яримўтказгичлар билан боғланган, чунки уларнинг зарядлар билан тўлиши сирт потенциалига боғлиқ бўлиб силжиш кучланиши ўзгариши билан қайта зарядланадилар. Сирт ҳолатларини ҳосил қилган дифференциал сифими C_s олдин кўрилган ҳажмий заряд сифими C_{ss} га қўшилади. Сирт ҳолатларининг мавжудлиги сирт сифимини C_{ss} га ортишидан ташқари, сирт потенциалини МДЯ структурага қўйилган силжиш кучланишга боғланишини ўзгартиради, чунки сирт ҳолатларидаги зарядни ҳосил қилган электр майдони силжиш кучланишининг ҳосил қилган электр майдони билан диэлектрикнинг муйян ҳолатдаги заряд майдони каби қўшилади. Лекин муйян ҳолатдаги заряддан фарқли ўла-роқ, сирт ҳолатларидаги заряд сирти потенциалининг ўзгариши билан у ҳам ўзгариши мумкин. Шунинг учун сирт ҳолатлари мавжуд бўлганда, уларнинг экранлаш таъсири манфий C—V характеристикани маълум соҳаларидағина назарий C—V характеристикасига нисбатан

$$\Delta V = Q_{ss}/C_D$$

катталик қадар силжишига олиб келади.

Ажралиш чегарасидан $10A^\circ$ дан ошмаган масофада диэлектрикда бўлган сирт ҳолатлари яримўтказгич билан яхши боғланган (диэлектрик яримўтказгич ажралиш чегарасидаги потенциал тўсиқдан заряд ташувчиларнинг туннель ўтишлари туфайли) улар қайта зарядланишлари мумкин, лекин ажралиш чегарасидан масофанинг ортиши билан шундай алмашув эҳтимоллиги кескин камаяди

ва сирт ҳолатлари зарядларни қўзгалмас зарядга ўхшаш тўплашга қодир бўлади. Бундай сирт ҳолатлари одатда тутқич марказлар деб юритилади. Сирт ҳолатларини тутқич (марказларга) муайян ҳолатдаги, зарядларга бўлиниши жуда шартлидир. МДЯ структурада диэлектрик (оксид)да тутқич марказни қайта зарядланиши, қўзғалувчан заряднинг кўчиши, диэлектрик (оксид) нинг қутбланиши туфайли силжиш кучланишининг ҳар хил ўзгариши йўналишида олинган С—V характеристикалар бир-бирига мос тушмайди. Бу ҳодиса гистерезис деб юритилади, одатда бу оксиднинг турғун эмаслигидан далолат беради. Ҳодиса юқори температурада ва юқори электр майдонида кучаяди.

г. Юқори частотали С—V усул билан диэлектрик (оксид) — яримўтказгич чегараси параметрларини аниқлаш

1) Сирт ҳолатлар концентрацияси ва спектрини аниқлаш.

Бу катталиклар тажрибада олинган ва назарий ҳисобланган С—V характеристикаларини бир-бирига нисбатан кучланиш ўқи бўйича силжиши $\Delta V(C)$ дан топилади. Диэлектрик (оксид) қатламидаги қўзғалмас заряди Q_ϕ дан ва сирт ҳолатлари заряди Q_s дан содир бўлган кучланишнинг силжиши қўйидагича ифодаланади:

$$\Delta V(C) = \frac{1}{C_D} (Q_\phi + Q_s) \quad (5.106)$$

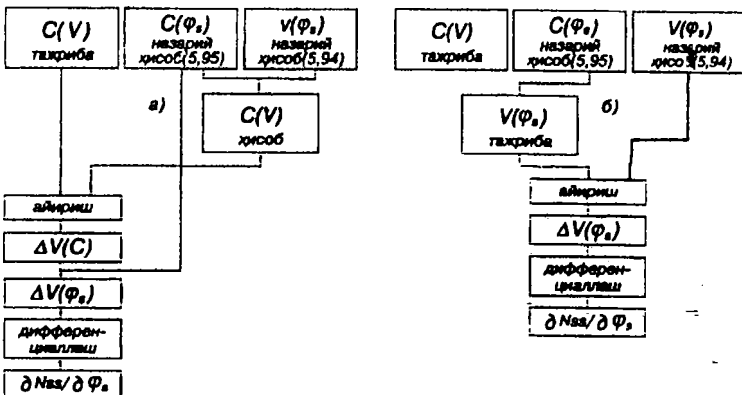
Сирт ҳолатлари концентрацияси

$$N_s(\Delta V) = \frac{\Delta V \cdot C_D}{eS} \quad (5.107)$$

билин ҳисобланади. Бу ерда: S — металл контакт юзаси. (5.107) ифода сирт потенциали бўйича дифференциали

$$\frac{\partial N_s}{\partial \varphi_s} = \frac{C_D}{eS} \frac{d(\Delta V)}{d\varphi_s} \quad (5.108)$$

сирт ҳолатлар спектрини беради. Сирт ҳолатлар спектрини (5.108) ифода орқали чизиш қўйидаги тартибда амалга оширилади (5.15-расм):



5.15-расм. Юқори частотали С—V усул билан С—V характеристикани чизиш ва чизмадан сирт ҳолати тақсимотини аниқлаш тартиби (кетма-кетлiği).

- (5.96 ва 5.97) ёки (5.101 : 5.104) ифодалар орқали назарий ҳисобланган С—V характеристика чизилади;
- тахрибада олинган ва назарий ҳисобланган С—V характеристикаларни солишириб, $\Delta V(\varphi_0)$ боғланиш топилади;
- назарий ҳисобланган $C(\varphi_0)$ ёрдамида $\Delta V(C)$ боғланышдан $\Delta V(\varphi_0)$ боғланишга ўтилади;
- $\Delta V(\varphi_0)$ ни дифференциаллаб, (5.108) ифода орқали сирт ҳолатлар спектри чизилади. $\frac{\partial N_{aa}}{\partial \varphi_0}$ ни С—V характеристикани назарий ҳисобламасдан ҳам чизиш мумкин. Бу усулни ҳисоблаш тартиби 5.15-расмда келтирилган.

2. Сирт потенциали ва оксидда муайян ҳолатдаги (фиксированный) зарядни аниқлаш.

Назарий ҳисобланган $C(\varphi_0)$ характеристика билан тахрибада олинган $C(V)$ ни солишириб, исталган силжиш кучланишидаги сирт потенциали

$$\varphi_0 = \varphi_0(v)$$

олинади. Равшанки, сиртнинг инверсия ва бойиш соҳалида сирт потенциалининг ўлчашдаги аниқлик кескин камаяди. Шунинг учун ташқи кучланиш қўйилмаганда сирт потенциали муҳим аҳамият касб этади, чунки у ташқи

электр майдони қўйилмаганда ажралиш чегарасининг ҳолатини белгилайди. У оксиддаги қўзғалмас заряд ҳамда сирт ҳолатларида бошлангич зарядлари билан аниқланади. Одатда сиртий зарядларни аниқлашда ясси зоналар кучланиши V_{ss} қўлланилади. Структурага ясси зоналар кучланишига тенг бўлган ташқи кучланиш уланганда яrimутказгич сиртида X3C зарядининг сирт ҳолатларидағи зарядининг ўзгаришини (5.106) га кўра,

$$V_{ss} C_D = V_{ss} C_D = Q_{ox} + \Delta Q_{ss} \quad (5.109)$$

кўринишда ифодалаш мумкин.

Q_{ox} — кучланиш уланмагандаги X3C нинг заряди, яъни бошлангич сирт потенциал φ_{ss} даги заряд, ΔQ_{ss} — структурага V_{ss} кучланишга тенг кучланиш улангандан сўнг сирт ҳолатлари зарядининг ўзгариши.

(5.108) ифода 0 дан φ , гача бўлган оралиқда интеграллаб топилади. $V_{ss} C_D$ ҳамда ΔQ_{ss} ни билган ҳолда (5.109) дан Q_{ox} топилади. $Q_{ox}(\varphi_s)$ ни ҳисоблаш орқали бошлангич сирт потенциали φ_{ss} топилади. Q_{ox} дан диэлектрикдаги қўзғалмас зарядни ажратиб олиш учун сирт ҳолатларининг тақиқланган зона бўйича тақсимотини билиш керак. Шунинг учун юқори частотали С—V характеристика билан тақиқланган зона бўйича тақсимланган сирт ҳолатлари зарядини, диэлектрикдаги қўзғалмас зарядларни ажратиб бўлмайди. Лекин, агар С—V характеристиканинг шакли назарий ҳисобланганга яқин, яъни V_{ss} яқинида етарлича тик ва V_{ss} нисбатан катта бўлса, сирт ҳолатлар зарядининг ўзгаришини инобатга олмаслик мумкин. У ҳолда V_{ss} қўзғалмас зарядлар билан аниқланади. Аксинча, агар С—V характеристика қия бўлса, V_{ss} потенциал φ_{ss} дан 0 гача ўзгарганда, сирт ҳолатлар зарядининг ўзгаришини аниқлайди. У ҳолда $0 < \varphi_s < \varphi_{ss}$ оралиқда $N_{ss} = \text{const}$ бўлсин деб фараз қилиб, бошлангич сирт потенциали φ_{ss} ни

$$\varphi_{ss} = \varphi_s + \frac{V_{ss} C_D}{e^2 N_{ss}} \quad (5.110)$$

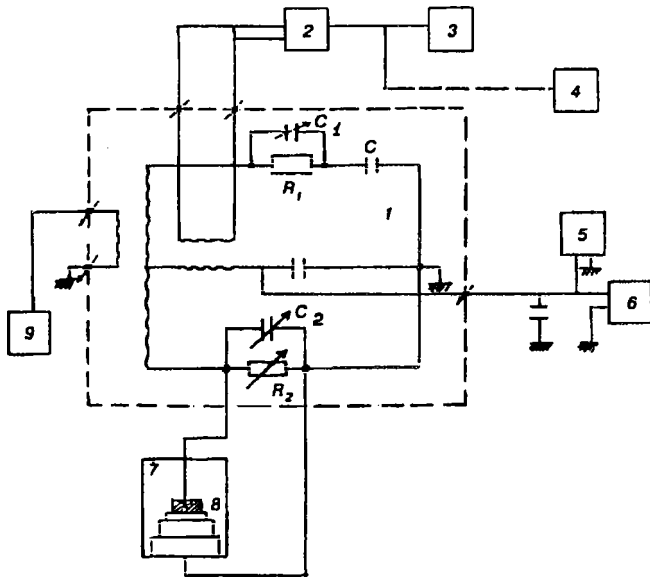
билиш ҳисоблаш мумкин. Бу ерда $N_{ss} \varphi = 0$ ($V_1 \approx V_{ss}$ да аниқланган) сирт ҳолатлари концентрацияси.

Юқорида келтирилган параметрлардан ташқари, юқори частотали С—V характеристика орқали яrimutказгичнинг

легирловчи киришма концентрациясини, қалинлик бўйича тақсимотини, яримўтказгич типини, оксид қатлам (диз-лектрикни) диэлектрик сингдирувчанлигини, қалинлиги-ни ва бошқа параметрларини аниқлаш мумкин.

5.6-§. Сифим спектроскопия усуллари билан чукур сатҳ параметрларини ўлчаш қурилмаси

Чукур сатҳли марказ параметрларини сифим спектроскопия усуллари билан аниқлашда намуна билан ўлчаш қурилмасини туаштирувчи кабел (симлар) сифими ҳамда намуна бошланғич тўсиги сифими катта бўлган ҳолатда P - n ўтишли диод ёки шоттки диоди тўсиги сифимининг кичик ўзгаришини ўлчаш лозим бўлади. Одатда бунга трансформаторли юқори частотали ўзгарувчан ток кўприги (МП-300) дан фойдаланиш орқали эришилади. Юқорида кўрганларимиздан кўринадики, структура тўсиги сифими кўп омилларга, масалан, температурага, қўйилган кучла-нишга, ўлчаш кучланиш частотасига, намуна ёритилса, ёруғликнинг тўлқин узунилиги, ностационар жараёнларда вақтга боғлиқ. Бу боғланишларни сифим спектроскопия усуллари билан ўлчаш қурилмаларидан бири 5.16-расмда келтирилган. Илмий текшириш лабораторияларида кўп ҳолларда трансформаторли юқори частотали ўзгарувчан ток кўпригини тўла ўтказувчанликнинг ўлчаш кўприги МП-300 га ўхшатиб йиғилади. Ўтказувчан ток кўпригини тузилиши ҳар хил бўлиб, улар юқори частотали импульс-ли кичик ўлчамили трансформаторлар (МИТ-8, МИТ-4) асосида йиғилиши мумкин. Юқори частотада диод барьер сифимини ёки унинг ҳар хил омиллар таъсирида ўзгариши параллел алмаштириш чизмаси бўйича ўлчанади. Бошқача айтганда, диод параллел уланган сифим ва қаршиликдан иборат (тузилиш структура) деб қаралади. Шунинг учун ўзгарувчан ток кўпригининг бир елкасига ўзгарувчан этalon сифим ва ўзгарувчан этalon қаршилик уланаиди ва улар орқали структура барьер сифими ёки унинг ўзгариши аниқланади. Кўприкнинг иккинчи елкасига юқори аниқликдаги ўзгарувчан C_2 конденсатор ўзгарувчан R_2 қаршилик ва уларга параллел текширилаётган диод уланади. Улар маҳсус даражаланган бўлиб, бўлиниш да-



5.16-расм. Диод ва МДЯ структуралар С—V характеристикаларини ўлчаш курилмасининг схемаси.

ражаси 0,01 пф га тенгдир. R_1 , R_2 — қаршиликлар бир қанча қаршиликлар асосида йиғилиши ёки уларга ўзгарувчан ток кўпригининг қаршилик блоки қўлланиши мумкин.

Маълумки, биронта ташқи таъсир остида структура қаршилиги сифими ўзгарса, кўприк мувозанатини бузилишига олиб қелади. Кўприк мувозанати бузилишидан ҳосил бўлган қучайтирилган ўзгарувчан сигнал катталиги ўзгараётган сифимга пропорционал бўлади. Бу сигнални ўлчаш кучланиши частотасининг 150 : 500 КГц оралиғида В-61 типидаги селектив вольтметри билан, частотанинг 10 : 150 КГц оралиғида эса ф-582 типидаги ноль индикатор ёрдамида қучайтириб, у С1—68, С1—76 типидаги осциллограф билан ёки детекторланганидан сўнг икки координатали Н—306 типидаги ўзи ёзгич билан қайд қилинади. Ўзгарувчан ток кўпригига юқори частотали Г—4—94, Г 3—112 типидаги генератордан частотаси $f=10 \div 500$ КГц, бўлган намунага амплитудаси 10 : 50 мВ дан ошмаган куч-

ланиш берилади. Бу қурилма диод баръер сифимининг кинетикасини қайд қилиш имконини беради ва у орқали чукур сатҳнинг электрон билан тўлиш релаксация вақти τ ни аниқлаш мумкин. Агар $\tau > 5c$ бўлса, кўприк мувозанати бузилгандан ҳосил бўлган сифим ўзгаришига пропорционал кучланиш (сигнал) икки координатали ўзи ёзгич ёрдамида, агар $\tau < 5c$ бўлса, τ — метр чизмасини қўллаш орқали осциллографда қайд қилинади. Бунда сатҳнинг электрон билан тўлдириш релаксация вақтини тўғридан-тўғри аниқлаш керак бўлади. τ метр зарядланган конденсатор C ни R_3 ва R_4 қаршиликлар орқали разрядланишига асосланган қурилма. Зарядланган конденсаторни R_3 ва R_4 қаршиликлар орқали разрядланиши R_4 қаршиликда вақт доимийси $\tau_{RC} = C(R_3 + R_4)$ бўлган экспоненциал қонуният бўйича ўзгарувчан кучланиш ҳосил бўлади, бу кучланиш осциллографнинг горизонтал ўқ бўйича ёйиш кучайтиргич киришига берилади. Агар сатҳнинг электрон билан тўлдириш релексация вақти, сифимнинг $(R_3 + R_4)$ қаршилик орқали разрядланиш вақт доимийсига тенг бўлса, осциллограф экранидаги кўприк мувозанати бузилишидан содир бўлган кучланишнинг вақт бўйича ўзгариши чизиқли бўлади. Демак, ҳар бир сатҳнинг берилган температурадаги τ ни аниқлаш учун R_3 ва C шундай танланадики, осциллограф экранидаги сифим релаксация кучланишининг вақт бўйича ўзгариши чизиқли бўлсин. Шуни эслатиб ўтиш керакки, τ — метрнинг сифими (C) чукур сатҳни тўлдириш ($V=0$) ёки тўғри кучланиш пайтида зарядланади. Структура баръер сифимини ўлчашда тескари кучланиши улангандан бошлаб, τ метрни конденсатори $(R_3 + R_4)$ орқали разрядланиб, у сифим релаксация кучланиши $i(t)$ ни осциллограф горизонтал ўқи бўйича ёяди. Чукур сатҳ параметрлари аниқланадиган структура криостаттага жойлаштирилади ва у керакли температурагча совитилади. Намунани белгиланган температурада турғун тутиб туриш ҳар хил тезлиқда чизиқли қонуният бўйича иситиш, совитиш автоматик равища бошқариладиган қурилма ёрдамида амалга оширилади. Тошкент Давлат университети қошидаги амалий физика институти ходимлари томонидан бир қанча қулайликларга эга бўлган азот буғида совитиладиган криостат ҳамда намунани ҳар хил тезлиқда совитиш, иситиш температура-

нинг берилган қийматида $0,01^{\circ}\text{C}$ аниқликда турғун тутадиган температура стабилизатори яратилган. Бу қурилмада температурани ўлчаш ва бошқариш датчиги сифатида диод (КД 105Б), иситгич элементи сифатида транзистор (КТ-808) қўлланилган. Иситгич массаси кичик бўлгани учун температуранинг бошқарилиши тез содир бўлади. Намуна температурасининг ҳар хил тезлиқда чизиқли қонуният бўйича ортиши, пасайиши термик рафбатлантирилган сифим ток усуллари билан чукур сатҳнинг параметрларини тез ва етарли аниқликда ўлчаш имконини беради.

ФОЙДАЛАНИЛГАН АДАБИЁТЛАР

1. Н. Ф. Ковтанюк, Ю. А. Концевой. Измерения параметров полупроводниковых материалов. Изд. "Металлургия". М. 1970 г.
2. Л. П. Павлов. Методы определения основных параметров полупроводниковых материалов. М. "Высшая школа", 1975 г.
3. В. В. Батавин, Ю. А. Концевой, Ю. В. Федорович. Измерение параметров полупроводниковых материалов и структур. М. "Радио и связь", 1985 г.
4. Л. П. Павлов. Методы измерения параметров полупроводниковых материалов. М. "Высшая школа", 1987 г.
5. Ю. В. Воробьев, В. Н. Добропольский, В. И. Стриха. Методы исследования полупроводников. Киев "Высшая школа", 1988 г.
6. В. М. Колешко, Т. Д. Каплон. С—V методы измерения параметров МОП структуры. Обзоры по электронной технике. Сер. 3-микроэлектроника. Вып. 2/456/М. ЦНИИ, Электроника, 1977 г.
7. И. Н. Каримов. "Влияние внешних воздействий на свойства границы разделе полупроводник-диэлектрик МДП — структур". Канд. дис. Ташкент — 1986 г.
8. Л. С. Берман, А. А. Лебедев "Емкостная спектроскопия глубоких центров в полупроводниках". Изд. "Наука" 1981 г.
9. Tegtmann Z. M. Solid State Electronics 1952, 5, 285.

МУНДАРИЖА

Кириш	3
-------------	---

1-боб. ЯРИМЎТКАЗГИЧЛАРДА СОЛИШТИРМА ҚАРШИЛИКНИ ЎЛЧАШ УСУЛЛАРИ

1.1-§. Яримўтказгичли намунанинг солиширма қаршилигини унинг тўла қаршилиги бўйича аниқлаш.....	5
1.2-§. Солиширма қаршиликни ўлчашнинг бир ва икки зондли усуллари	11
1.3-§. Тўрт зондли усул	20
1.4-§. Юпқа қатламларда солиширма қаршиликни тўрт зондли усул билан аниқлаш	34
1.5-§. Эпитаксиал, диффузион қатламларнинг солиширма қаршилигини тўрт зондли усул билан аниқлаш	41
1.6-§. Солиширма қаршиликни тўрт зондли усул билан ўлчашдаги хатоликлар	42
1.7-§. Ван-дер-Пау усули билан солиширма қаршиликни ўлчаш	49
1.8-§. Солиширма қаршиликни нуқтавий контактнинг тарқалган (ёйилган) қаршилик усули билан аниқлаш	59
1.9-§. Солиширма қаршиликни металл-яримўтказгич нуқтавий контактининг тешиниш кучланиши бўйича ўлчаш усули	67

2-боб. ЗАРЯД ТАШУВЧИЛАР КОНЦЕНТРАЦИЯСИ ВА ҲАРАКАТЧАНЛИГИНИ ЎЛЧАШ УСУЛЛАРИ

2.1-§. Холл эфекти ёрдамида заряд ташувчиларнинг концентрацияси ва ҳаракатчанлигини ўлчаш усуллари	73
2.2-§. Холл ЭЮКини ўлчаш усуллари	81
2.3-§. Холл токи	91
2.4-§. Холл токларини ўлчаш ва у орқали яримўтказгич намуналарда заряд ташувчиларнинг концентрацияси ва ҳаракатчанлигини ўлчаш	95

2.5-§. Ван-дер-Пау ва тўрт зондли усул билан яrimўтказгич намуналарда заряд ташувчилар концентрацияси ва ҳаракатчанлигини ўлчаш	100
2.6-§. Холл эффиқтини ўлчашдаги мунтазам (систематик) хатоликларга таъсир этувчи омиллар	105
2.7-§. Яrimўтказгичларда заряд ташувчилар концентрацияси ва ҳаракатчанлигини намунанинг магнитоқаршилиги бўйича аниқлаш.	109
2.8-§. Яrimўтказгичларда тақиқланган зона кенглигини, донор ва акцептор киришма атомларининг концентрацияси ва ионланиш энергиясини аниқлаш	115

3-боб. ЯРИМЎТКАЗГИЧЛАР ПАРАМЕТРЛАРИНИ ОПТИК УСУЛЛАР БИЛАН ЎЛЧАШ

3.1-§. Яrimўтказгичларнинг оптик параметрлари	128
3.2-§. Оптик параметрларни (константаларни) тажрибада аниқлаш усуслари	134
3.3-§. Заряд ташувчилар концентрацияси ва ҳаракатчанлигини ўлчашнинг оптик усуслари	140
3.4-§. Эллипсометрия усули	156

4-боб. НОМУВОЗАНАТ ЗАРЯД ТАШУВЧИЛАР ПАРАМЕТРЛАРИНИ ЎЛЧАШ УСУЛЛАРИ

4.1-§. Номувозанат заряд ташувчилар параметрлари	166
4.2-§. Номувозанат заряд ташувчилар билан инжекцияланган намунанинг ўтказувчанлиги	173
4.3-§. Номувозанат заряд ташувчилар параметрларини ўлчашнинг ностационар усуслари	176
4.4-§. Ток импульси инжекциясига асосланган номувозанат заряд ташувчилар яшаш вақтини аниқлаш усуслари	202
4.5-§. Номувозанат заряд ташувчилар параметрларини ўлчашнинг стационар усуслари	213
4.6-§. Номувозанат заряд ташувчилар параметрларини фотоэлектромагнитик ҳодисаси (Кикоин-Носков эффиқти)дан фойдаланиб аниқлаш усули	225
4.7-§. Яrimўтказгич параметрларини номувозанат заряд ташувчилар тақсимотидан (тўғридан-тўғри) фойдаланиб аниқлаш усуслари	234

4.8-§. <i>P-n</i> ўтишнинг ва Шоттки тўсигининг қисқа туташув фототокини ўлчашга асосланган диффузион узунликни аниқлаш усули	249
---	-----

5-боб. ЧУҚУР САТҲЛИ МАРКАЗЛАР ПАРАМЕТРЛАРИНИ ЎЛЧАШ УСУЛЛАРИ

5.1-§. Чуқур сатҳли марказларнинг параметрлари	255
5.2-§. <i>P-n</i> ўтишда чуқур сатҳларнинг электронлар билан тўлдирилганлиги	260
5.3-§. Чуқур марказли диодларнинг барьер сигими	266
5.4-§. Яrimўтказгичлар чуқур марказлари параметрларини аниқлашнинг сигим спектроскопия усуллари	273
5.5-§. Металл-диэлектрик-яrimўтказгич структура параметрларини ўлчашнинг С—V усули	296
5.6-§. Сигим спектроскопия усуллари билан чуқур сатҳ параметрларини ўлчаш қурилмаси	312
Фойдаланилган адабиётлар	316

Зайнобиддинов Сирожиддин, Акрамов Хидой
**ЯРИМЎТКАЗГИЧЛАР ПАРАМЕТРЛАРИНИ
АНИҚЛАШ УСУЛЛАРИ**

Ўзбек тилида

Бадиий муҳаррир *T. Қаноатов*
Техник муҳаррир *У. Ким*
Мусаҳҳиқ *M. Йўлдошева*
Компьютерда тайёрловчи *E. Гильмутдинова*

Теришга берилди 6.11.2000. Босишга рухсат этилди 6.06.2001.
Бичими $84 \times 108\frac{1}{32}$. Офсет босма усулида босилди. Шартли босма
табоби 16,8. Нашр т. 17,24. Нусхаси 2 000. Буюртмá № 55.
Баҳоси шартнома асосида.

“Ўзбекистон” нашриёти, 700129, Тошкент шаҳри, Навоий кучаси,
Нашр № 61-2000.

Ўзбекистон Республикаси Давлат Матбуот қўмитасининг
1-босмахонасида босилди. Тошкент ш. 700002,
Сағбон кўчаси 1-берк кўча, 2-уй.